



Atlas de Anatomía Humana

Frederic H. Martini, Ph.D.

University of Hawaii

Traducción Nuria Bueno del Romo

Revisión Técnica

Departamento de Anatomía y Embriología Humana I Facultad de Medicina Universidad Complutense de Madrid

> Francisco Valderrama Canales Fermín Viejo Tirado Antonio Janer Puerta Fonollá



San Francisco Boston New York Cape Town Hong Kong London Madrid Mexico City Montreal Munich Paris Singapore Sidney Tokyo Toronto datos de catalogación bibliográfica

ATLAS DE ANATOMÍA HUMANA Frederic H. Martini, Ph.D.

PEARSON EDUCACIÓN, S.A., Madrid, 2004

ISBN: 978-84-782-9122-9 Materia: Anatomía 611

Formato: 195 × 270 mm

Páginas: 128

Queda prohibida, salvo excepción prevista en la Ley, cualquier forma de reproducción, distribución, comunicación pública y transformación de esta obra sin contar con autorización de los titulares de propiedad intelectual. La infracción de los derechos mencionados puede ser constitutiva de delito contra la propiedad intelectual (arts. 270 y sgts. Código Penal).

DERECHOS RESERVADOS © 2004 por PEARSON EDUCACIÓN, S.A. Ribera del Loira, 28 28042 Madrid

ATLAS DE ANATOMÍA HUMANA Frederic H. Martini, Ph.D.

ISBN: 84-7829-070-2

Depósito Legal:

PEARSON ADDISON WESLEY es un sello editorial autorizado de PEARSON EDUCACIÓN, S.A.

Authorized translation from the English language edition, entitled MARTINI'S ATLAS OF THE HUMAN BODY, 6th Edition by MARTINI, FREDERIC H., published by Pearson Education, Inc, publishing as Benjamin Cummings, Copyright © 2004.

All rights reserved. No part of this book may be reproduced or transmitted in any form or by any means, electronic or mechanical, including photocopying, recording or by any information storage retrieval system, without permission form Pearson Education, Inc.

Equipo editorial:

Editora: Isabel Capella

Técnico editorial: Marta Caicoya

Equipo de producción:

Director: José Antonio Clares

Técnico: María Alvear

Diseño de cubierta: Equipo de diseño de Pearson Educación, S.A.

Composición: Artedís, S.L.L.

Impreso por:

IMPRESO EN ESPAÑA - PRINTED IN SPAIN

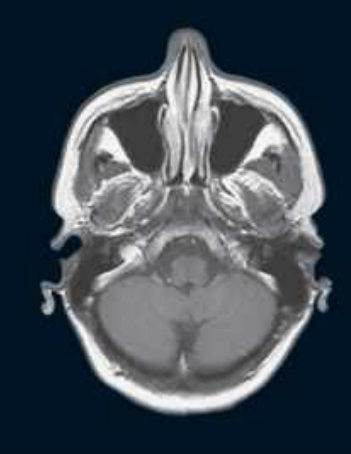
Contenido

	inas de anatomía general	2	5.1b.	Anatomía de superficie de la cabeza y el cuello. Los triángulos cervicales	17	6.5b.	Articulaciones de la muñeca derecha. Sección coronal	32
1.1.	El esqueleto. Vista anterior	2	5.1c.	El triángulo cervical posterior	18	6.6a.	La mano derecha. Vista posterior.	
1.2,	El esqueleto. Vista posterior	2	5.2a,	Disección superficial de la carta. Vista			Modelo	33
2, la.	Cráneo pintado. Vista anterolateral	3		anterolateral	18	6.6b.	La mano derecha. Vista anterior.	-50
2.1b.	Cráneo pintado Vista central	3	5.2b,	2.363/1919(20)	02/28	2000	Disección superficial	33
2.1c.	Cráneo pintado, Vista lateral	4	522V	lateral	19	7.1.	Anatomía de superficie del tronco. Vista anterior	34
2.2a.	Cráneo de un adulto. Vista posterior	4	5.3a.	Estructuras superficiales del cuello. Vista anterolateral	19	7.2.	Anatomía de superficie del tronco.	34
2.2b.	Cráneo de un adulto. Vista superior	4	5.3b.	Estructuras profundas del cuello. Vista	19	7.24	Vista posterior	34
2,2c.	Cráneo de un adulto. Vista lateral	5	3.50.	lateral	20	7.3a.	Anatomía del abdomen, Vista	
2,2d.	Cráneo de un adulto. Vista inferior sin la mandibula	5	5.3c.	Estructuras profundas del cuello. Vista anterior	20	7.3b.	anterolateral Anatomía de superficie del abdomen,	35
2,2e,	Cráneo de un adulto, Vista anterior	6	5.3d.	Sección medio-sagital de la cabeza y el	- 11	(2000)	Vista anterior	35
2.3.	El complejo orbitario	6		quello	21	7.3c.	Pared abdominal, Vista anterior	36
2,4a.	Base del cráneo. Vista superior en forma		5.3e.	Hombro y cuello, Vista anterior	22	7.3d.	Músculos abdominales	36
1000	de diagrama	7	5,4,	Articulación esternoclavicular	22	7.4a.	El corazón y los pulmones	36
2,4b,	Base del cráneo. Vista superior	7	5.5.	Huesos de la cintura escapular derecha.		7.4b.	Molde de corrosión con codificación de	
2,4c,	Meninges craneanas. Vista superior	8		Vista superior	22		colores del árbol bronquial. Vista	-
2,4d.	Pliegues durales	8	6.1a.	Brazo derecho y tronco. Vista lateral	23	53	anterior	37
2,4e,	Hueso palatino, Vistas medial y lateral	9	6.1b.	Brazo derecho y tronco. Vista posterior	23	7.5a.	Cara mediastímica del pulmón derecho	37
2,4f.	Hueso maxilar derecho. Vista media	9	6.1c.	Brazo derecho y tronco. Vista anterior	24	7.5b.	Cara mediastímica del pulmón izquierdo	37
2,4g,	Huesos mandibula y maxilar con		6.1d.	Sección horizontal del hombro derecho		7.5c.	Segmentos broncopulmonares del	31
2.	dentes sin erupcionar expuestos	10	6.le.	Tronco. Vista posterior	25	,,,,,,,,	tulmón derecho. Vista lateral	38
2.5a.	Tronco del encefalo. Vista lateral	10	6.1f.	Tronco, Vista anterior	26	7.5d.	Segmentos broncopulmonares del	
2.5b.	Tronco del encéfalo. Vista posterior	10	6.2a.	Nervios y vasos sanguíneos. Región axilar derecha	27		pulmón izquierdo, Vista lateral	38
2.5c.	Mesencéfalo, Vista posterior	11	62 h	Nervios y vasos sanguíneos. Brazo		7.5e.	Segmentos broncopulmonares del	
2.6a.	Molde de un ventrículo. Vista lateral	11	92.0	derecho y antebrazo	27	200	pulmón derecho. Vista anterior	38
3,1,	Sección medio-sagital de la cabeza y el cuello	12	6.2c.	[H.H.H.H.] [H.H.H.H.H.H.H.H.H.H.H.H.H.H.H.H.H.H.H.	28	7.5£,	Segmentos broncopulmonares del pulmón izquierdo. Vista anterior	38
3,2,	Estructuras accesorias del ojo. Vista	au.	6.2d.	Huesos de la extremidad inferior		7.5g.	Diafragma. Vista superior	39
Service 1	superior	12	255005550	derecha. Vista lateral	28	7.6a.	Organos torácicos. Vista superficial.	-20
3.3.	Sección horizontal del cráneo	13	6.3a.	Extremidad superior derecha. Superficie		790	Modelo	39
3.4.	Circulación arterial al cerebro. Vista hteral de un molde de corrosión	13		anterior. Anatomía de superficie	29	7.6b.	Organos torácicos. Vista intermedia. Modelo	40
3.5.	Arterias de la superficie interior del	150	6.3b.	기도 할아 있는 것이 있었다. 나이 맛이 맛 없었다. 프로그램 사람이 그 그 아이를 하는데 하나 하는데 모르는데 하다 그 때 그 때 그 때 그 때 그 때 그 때 그 때 그 때 그 때 그		7.6c.	Órganos torácicos. Vista en profundidad	
W14-074	œrebro	13	6.3c.	anterior. Músculos Extremidad superior derecha, Vista	29		Modelo	40
4,1,	La columna vertebral y los nervios		6.50.	anterior, Disección superficial	30	7.6d.	La cavidad torácica	41
	raquídeos	14	6.4a.	Extremidad superior derecha, Superficie		7.6e.	Vísceras abdominopélvicas. Vista anterio	
4,2,	Las regiones cervical y torácica de la			posterior. Posiciones de referencia	30	99	superficial	41
	médula espinal. Vista posterior	14	6.4b.	Extremidad superior derecha. Vista		7.7a.	Parte superior de la cavidad abdominopélvica. Vista anterior	42
43.	La médula espinal inferior y la cola de	2500		posterior. Disección superficial	30	7.7b.	Parte inferior de la cavidad	42
(2020	aballo	14	6.4c.	(2015) 시원이네일의 (SEC) (2015)	22		abdominopélvica. Vista anterior	42
4.4.	La columna vertebral. Vista lateral	15	6.4d.	Vista superior Extremo distal del húmero derecho.	31	7.7c.	Disección abdominal, Epiplón mayor	
4.5a.	Atlas, Vista superior	15	0.40.	Vista inferior	31		æflejado superiormente	43
4.5b.	Atlas, Vista inferior	15	6.4e.	Articulación del codo derecho. Vista	57	7.7d.	Higado y vesícula biliar in situ	43
	Axis. Vista superior	15	SHE	posterior	31	7.7e.	Disección abdominal, Región duodenal	44
	Axis. Vista inferior	16	6.4f.	Articulación del codo derecho. Vista		7.7£,	Duodeno	44
4.5e.	Atlas y axis articulados. Vista posterosuperior	16		anterior	31	7.7g.	Colonoscopia normal y anómala	44
4,6a.	Vértebra lumbar, Vista superior	16	6.4g.	Cúbito derecho, Vista lateral.	31	7.7h.	Ramas de la arteria mesentérica superior	
4.6b.	Vértebra torácica y costilla. Vista superior		6.4h.	Superficies articulares dentro de la	22	7.7i.	Vasos mesentéricos inferiores	45
	Costilla representativa, Vista posterior	16	£ 42	articulación del codo derecho El codo, Sección oblicua, Modelo	32	7.8a.	Hígado y vesícula biliar aislados. Vista superior	46
4.6c. 5.1a.	Anatomía de superficie de la cabeza y el	10	6.4i. 6.5a.	Huesos de la muñeca derecha. Vista	32	7.8b.	Higado y vesícula biliar aislados. Vista	40
A1 4444	cuello. Vista anterior	17	O.JIL	anterior	32	7.004	interior	46
	CONTROL AND	550			1387		ENTRANCE:	937

7.8c.	Molde de corrosión del hígado	47	8,14c.	Disección superficial del pie derecho.	Orace:	11a.	Angiografía pulmonar	80
7.8d.	Bazo, Vista anterior	47	Take was de-	Vista anterosuperior	62	11b.	Angiografía aórtica	81
7.8e.	Molde de corrosión del los vasos	1944		El pie derecho, Sección sagital	62	11c.	Angiografía œrebral	81
~~	esplénicos y pancreáticos	47		Tobillo y pie. Vista posterior	63	11d.	Angiografía coronaria, Vista lateral	82
7.9a.	Cavidad abdominal. Sección horizontal en T12	48		Huesos del pie derecho. Vista lateral Huesos del pie derecho. Vista inferior	63	11e.	Arteriografia abdominal	82
7.9b.	Cavidad abdominal, Sección horizontal		a isc.	(plantar)	63	11f.	Angiografia abdominal	83
	en L1	48	8.16a.	Disección superficial del pie derecho.		12a.	Radiografia gástrica	83
7.9c.	Testículos y epidídimo	49		Vista plantar	64	12b.	Radiografía pilórica	83
7.9d.	Sección frontal de un pene disecado	49	8.16b.	Sección frontal del pie derecho. Vista		12c.	Colangiopancreatograma (conductos pancreáticos y biliar)	83
7.10a.	La pared abdominal posterior	49		posterior	64	12d.	Motilidad gástrica, Vista anterior,	
7.10b.	Riñón izquierdo. Vista anterior	50	8.17a.	Esqueleto de un feto después de 10 semanas de desarrollo	ee		Tiempos 1 y 2	84
7.10c.	Molde de corrosión de las arterias	_11	8.17b.	Esqueleto de un feto después de 16	65	12e.	Radiografía de contraste del colon y el	
-101	renales, uréteres y pelvis renal	50		semanas de desarrollo	65		recto. Proyección antero-posterior	84
7,10d,	La cavidad abdominopélvica, Vista anterior, Modelo	50			7.00	13a.	Linfangiografía del tórax, Proyección antero-posterior	85
7.10e.	La cavidad abdominopélvica. Vista	-	Control of the control		66	13b.	Linfangiografía de la pelvis. Proyección	
(Malaein	anterior, Modelo masculino	51	la-c.	Imágenes de RMN del encéfalo.		355	antero-posterior	85
7.10£	Cuadrante inferior derecho. Varón	51		Secciones horizontales. Secuencia de superior a inferior	66	14,	Histerosalpingografía	86
7.11a.	Región pélvica de un varón. Sección		ld.	Imagen de RMN del encéfalo. Sección	00	15.	Xeromamografía	86
	sagital y media	52		parasagital	67	***************************************		
7.11b.	Región pélvica de una mujer, Sección	1500	le.	Imagen de RMN del encéfalo. Sección		Rest	ımen de embriología	87
	sagital y media	52		sagital y media	67	1.	La formación de los tejidos	88
8.1a.	Disección superficial de la región		2 a-d,	Imágenes de RMN del encéfalo.		2.	Desarrollo de los epitelios	89
0 1L	glútea. Vista posterior	53 53		Secciones frontales. Secuencia de	68	3.	Los orígenes de los tejidos conjuntivos	90
8.1b.	Región glútea y muslos		2.	anterior a posterior		4,	El desarrollo de los sistemas orgánicos	
8.2.	Vasos sanguíneos, nervios y músculos de la mitad izquierda de la pelvis	53	3a.	Imagen de RMN, Sección frontal (coronal que muestra los senos paranasales	69	5.	El desarrollo del sistema integumentari	
8.3.	Anatomía de superficie del muslo. Vista	T.	3b.	Radiografia de las vértebras cervicales		6.	Desarrollo del cráneo	94
	lateral	54		superiores. Proyección antero-posterior	69	7.	Desarrollo de la columna vertebral	96
84.	Sección coronal de la cadera izquierda	54	3c.	Imagen de RMN de la región cervical.		8.	Desarrollo del esqueleto apendicular	98
8.5a.	Disección de la región inguinal derecha.			Sección sagital	70	9,	Desarrollo del sistema muscular	100
	Varón	54	3d.	Imagen de RMN del tronco. Sección	70	10.	Introducción al desarrollo del sistema nervioso	102
8.5b.	Músculos de la cadera y el muslo. Vista			sagital	70	11.	Desarrollo de la médula espinal y de	300
140 - 11	anterior	55	4a.	Imagen de RMN de la región pélvica. Sección frontal	71	511000	los nervios raquídeos: Parte A	103
8.6.	Músculos de la pared izquierda de la	EE	4b.	Radiografia de la pelvis y de las partes	nt:	11.	Desarrollo de la médula espinal y de	
07.	pelvis. Vista media	55	777	proximales del fémur. Proyección			los nervios raquídeos: Parte B	104
8.7a.	Disección superficial del miembro inferior derecho. Vista anterior	56		antero-posterior	71	12,	Desarrollo del cerebro y de los nervios	
8.7b.	Anatomía superficial del musio derecho.		4c.	Radiografía de la articulación de la cader		10	craneales: Parte A	105
200	Vista anterior	56		derecha. Proyección antero-posterior	71	12,	El desarrollo del cerebro y de los nervio craneales: Parte B	106
8.7c.	Disección superficial del muslo derecho.		5.	TC tridimensional que muestra una fractura del cuerpo de una vértebra		13,	Desarrollo de los órganos sensoriales	
	Vista anterior	56		himbar	72	100	especiales: Parte A	107
8.7d.	Fémur derecho, Vista superior	57	ба.	TC tridimensional de la articulación del		13.	Desarrollo de los órganos sensoriales	
8.7e.	Cabeza del fémur derecho. Vista lateral	57		codo. Vista superior	72		especiales: Parte B	108
8.7f,	Fémur derecho, Vista inferior	57	6b.	Radiografia de la articulación del codo.		14,	Desarrollo del sistema endocrino:	
8.8a.	Disección superficial de la cadera y el	50	5-525A (w.). (c)	Proyección medial-lateral	72	40417	Parte A	109
on of a	muslo derechos. Vista posterior.	58	7a-b.	Imágenes de RMN de la rodilla derecha.		14.	Desarrollo del sistema endocrino: Parte B	110
8.8b.	Anatomía superficial del muslo derecho. Vista posterior	58		Secciones horizontales. Secuencia de superior a inferior	73	15.	Desarrollo del corazón	111
89.	La rodilla, sección parasagital, Modelo	58	7c-d.	[발발기(항기) 10개 (10개) (10개) [10개] (10개) (10개) (10개) (10개) (10개) (10개)	7.50	16.	Desarrollo del sistema cardiovascular	112
	Extremo proximal de la tibia derecha.	444	Diame	Secciones horizontales. Secuencia de		17.	Desarrollo del sistema linfático	114
DI 1041	Vista superior	59		superior a inferior	74	18.	Desarrollo del aparato respiratorio:	
8.10b.	Extremo distal de la tibia y el peroné.		7e-f.	Imágenes de RMN de la rodilla derecha.			Parte A	115
	Vista inferior	59		Secciones frontales. Secuencia de posterior a anterior	75	18.	Desarrollo del aparato respiratorio:	
8.11a.	Vista posterior de la articulación de la	PD20	7g.	Radiografia de la rodilla derecha	100.00	cerr	Parte B	116
2022	rodilla. Se ha resecado la cápsula articular	59	101	extendida. Proyección antero-posterior	76	19.	Desarrollo del aparato digestivo: Parte A	3135
8,11b.	Vista anterior de la articulación de la rodilla. Se ha resecado la cápsula articular	50	7h.,	Radiografia de la rodilla derecha		19.		117
9 120	Disección superficial de la pierna y el pie			parcialmente flexionada. Proyección	0202	19.	Desarrollo de la aparato digestivo: Parte B	118
0,128.	derechos. Vista anterior	60		lateral	76	20.	Desarrollo del sistema urinario:	
8.12b.	Disección superficial de la pierna y el	22.0	8a.	Radiografia del tobilio derecho. Proyección medio-lateral	76		Parte A	119
	pie derechos. Vista anterolateral	60	8b.	Imagen de RMN del tobillo derecho.	76	20.	Desarrollo del sistema urinario:	
8.12c.	Anatomía superficial de la pierna y el		OU.	Sección sagital	77		Parte B	120
	pie derechos. Vista anterior	60	8c.	Imagen de RMN del tobillo derecho.		21.	Desarrollo de la sistema reproductor:	1999
8.13a.	Disección superficial de la pierna y el	Seri		Sección frontal	77	21.	Parte A	121
	pie derechos. Vista posterior	61	9a-f.	Imágenes de RMN del tronco, Secciones		21.	Desarrollo de la sistema reproductor: Parte B	122
8,13b,	Anatomía superficial de la pierna y el pie derechos. Vista posterior	61		horizontales. Secuencia de superior a inferior	70	21.	Desarrollo de la sistema reproductor:	127-00
R 1.4a	Disección superficial del pie derecho.	01	9a-£	Imágenes de RMN del tronco. Secciones	78		Parte C	123
A - 40.	Vista lateral	61	24.74	horizontales. Secuencia de superior a		01		
8,14b.	Anatomía de superficie del pie derecho.			inferior	79		litos relativos a las	5050
	Vista anterosuperior	62	10	Broncografia	80	foto	grafías	124







Láminas de anatomía general		٠	•	٠	•	•	•	•	2
Imágenes de radiodiagnóstico	٠	•	•	•	•	٠	•	•	66
Resúmenes de embriología			•	0.	•	8.00	•	•	87
Créditos relativos a las fotografías				٠	•		•		124

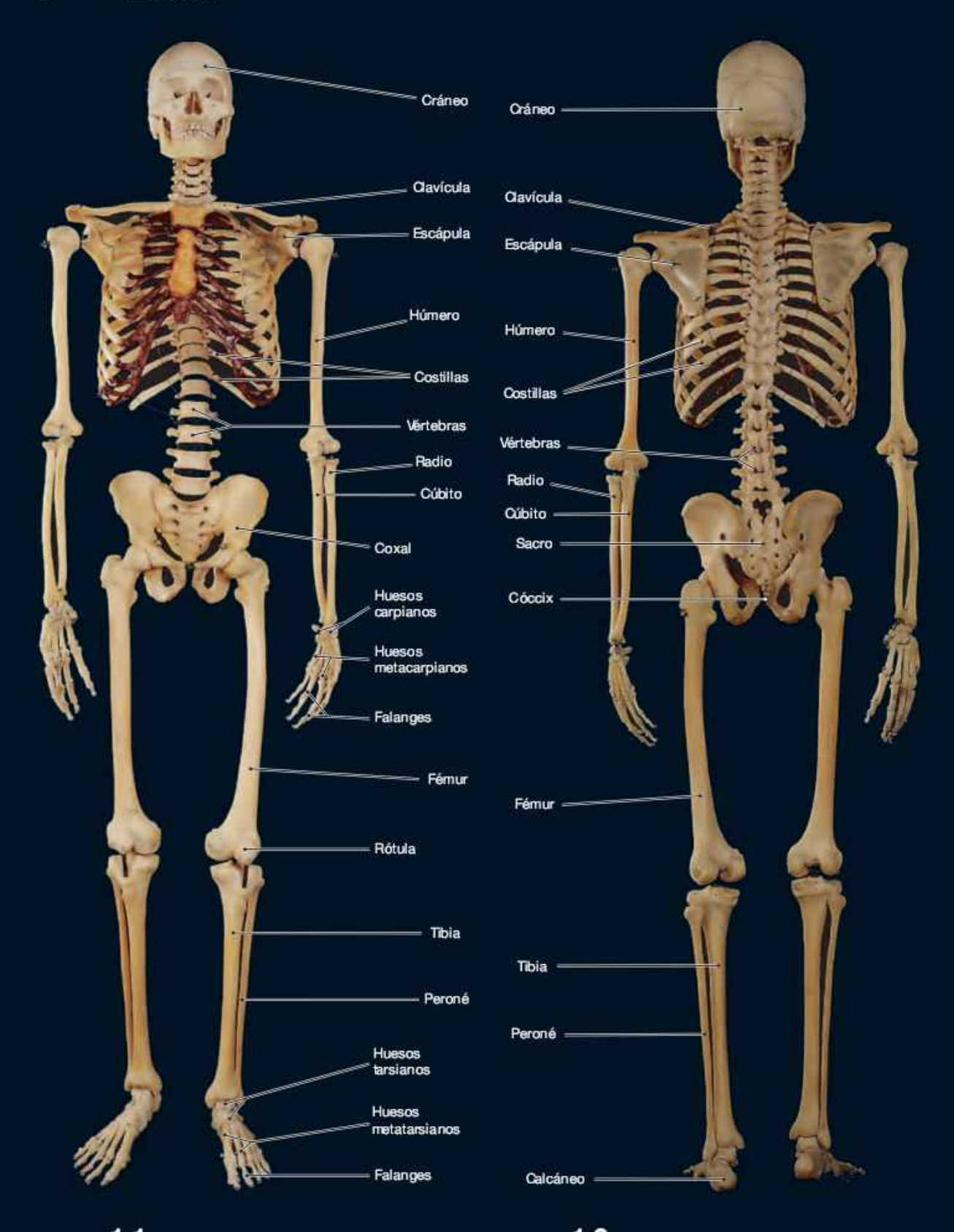
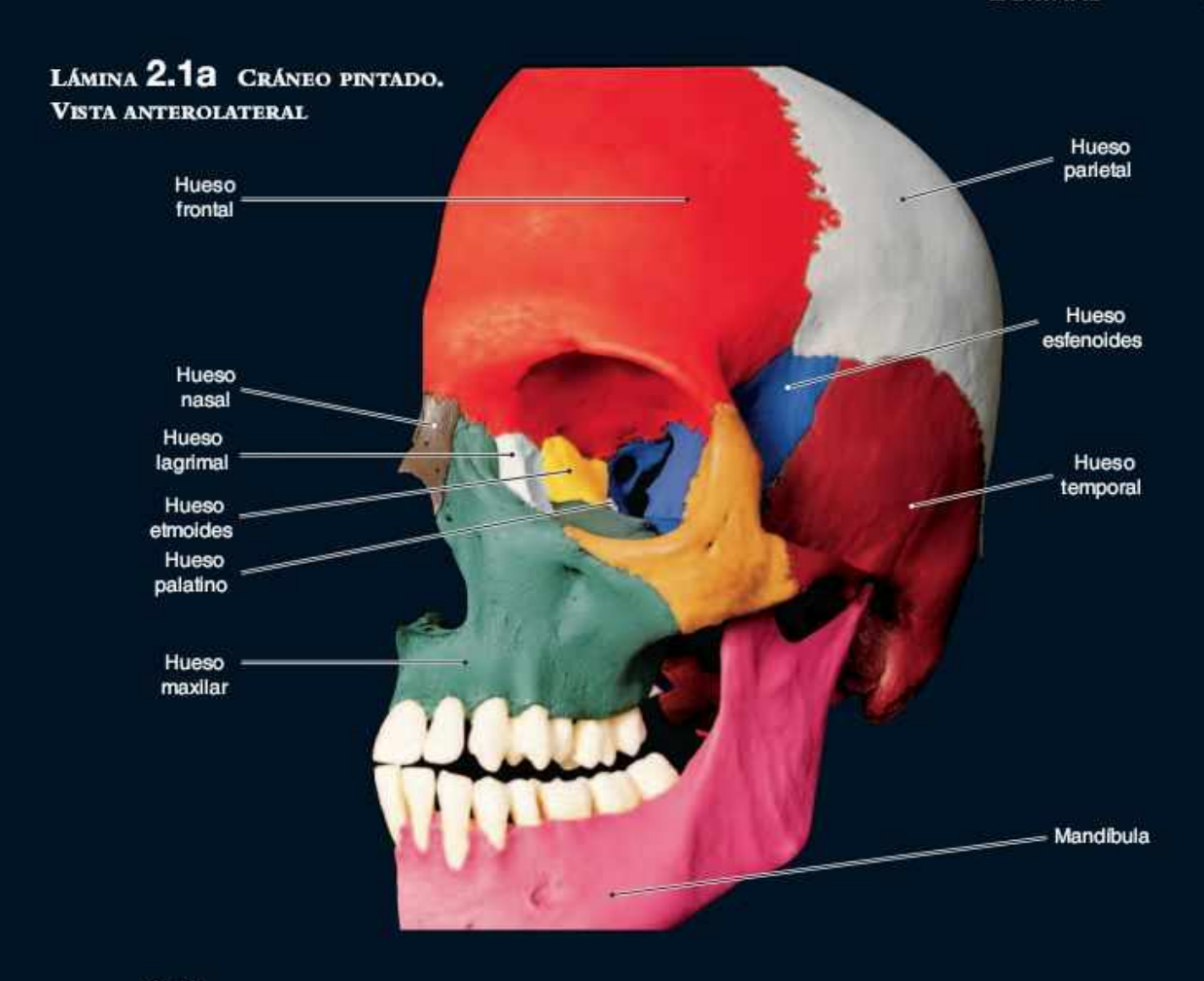


LÁMINA 1.1 EL ESQUELETO, VISTA ANTERIOR

Lámina 1.2 El esqueleto. Vista posterior



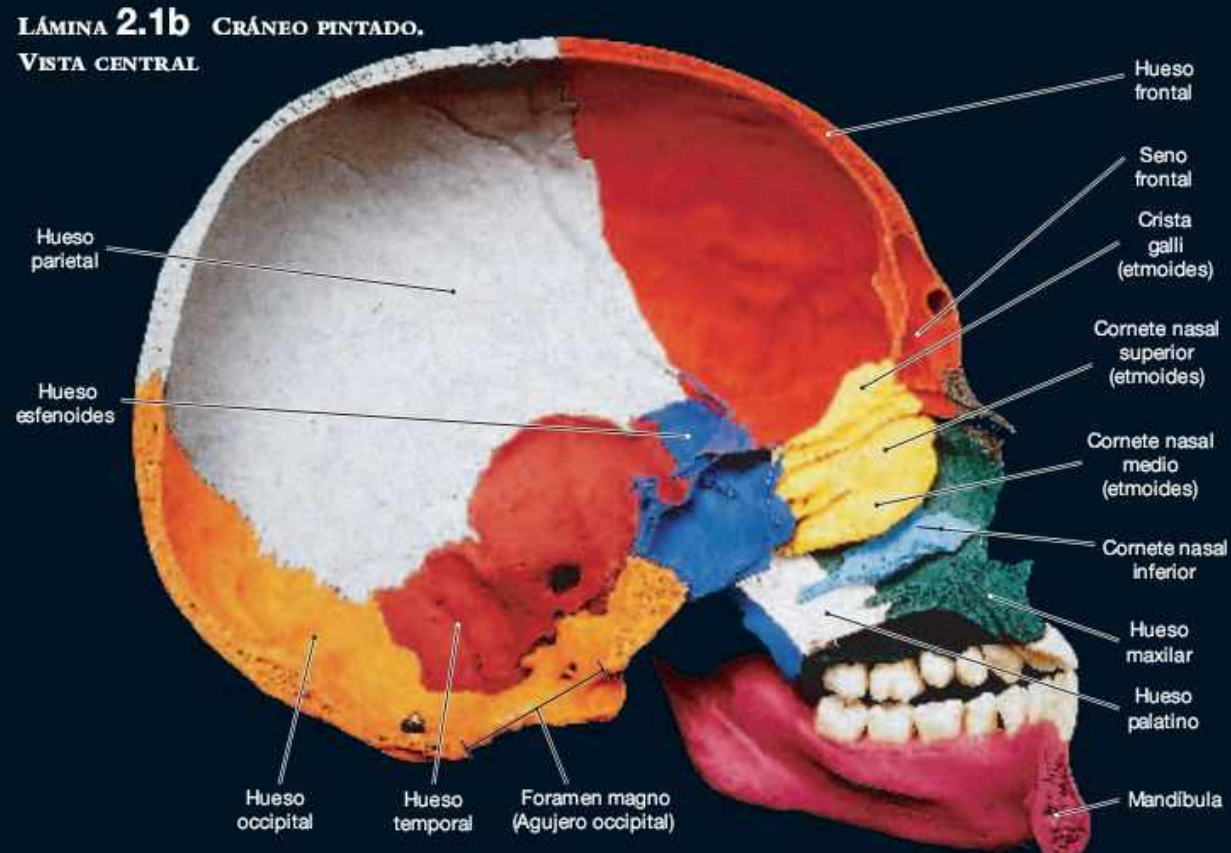
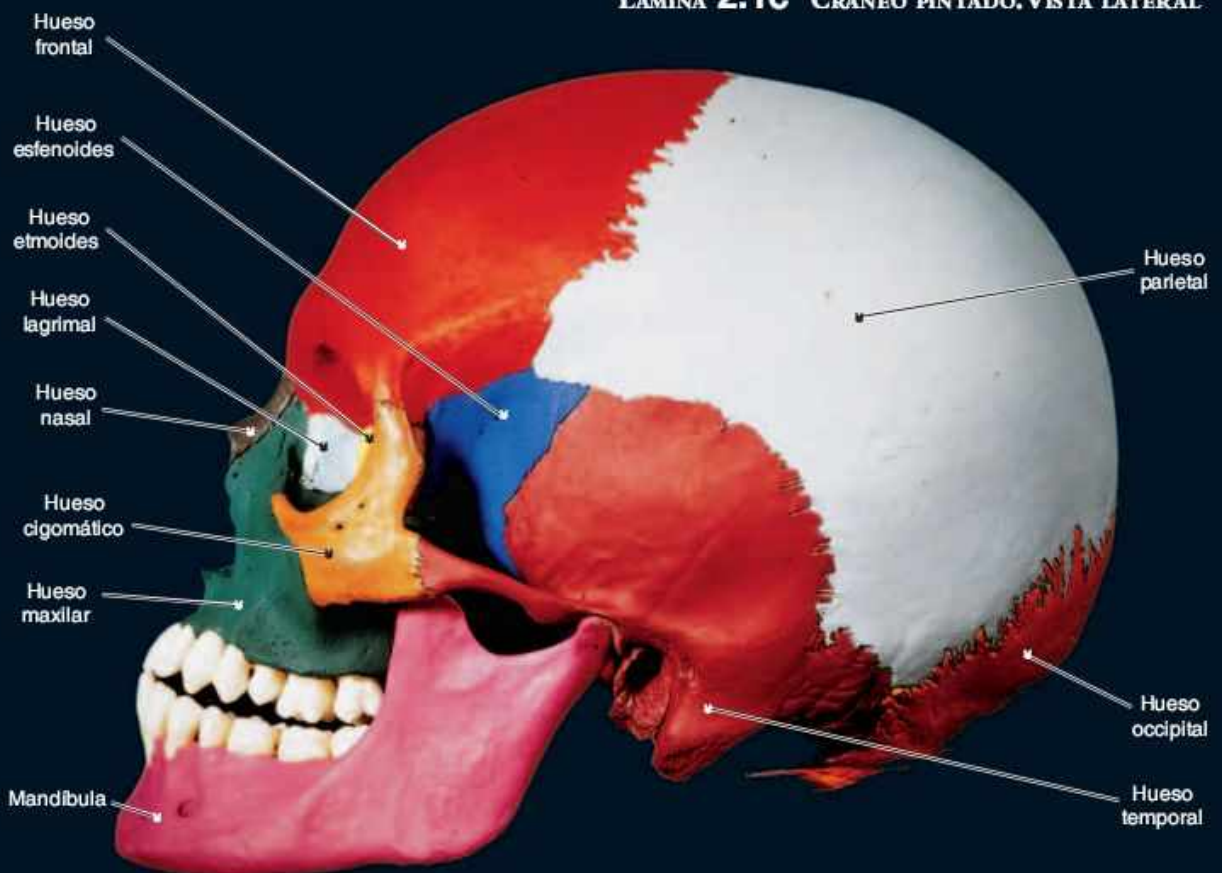


LÁMINA 2.1C CRÁNEO PINTADO. VISTA LATERAL



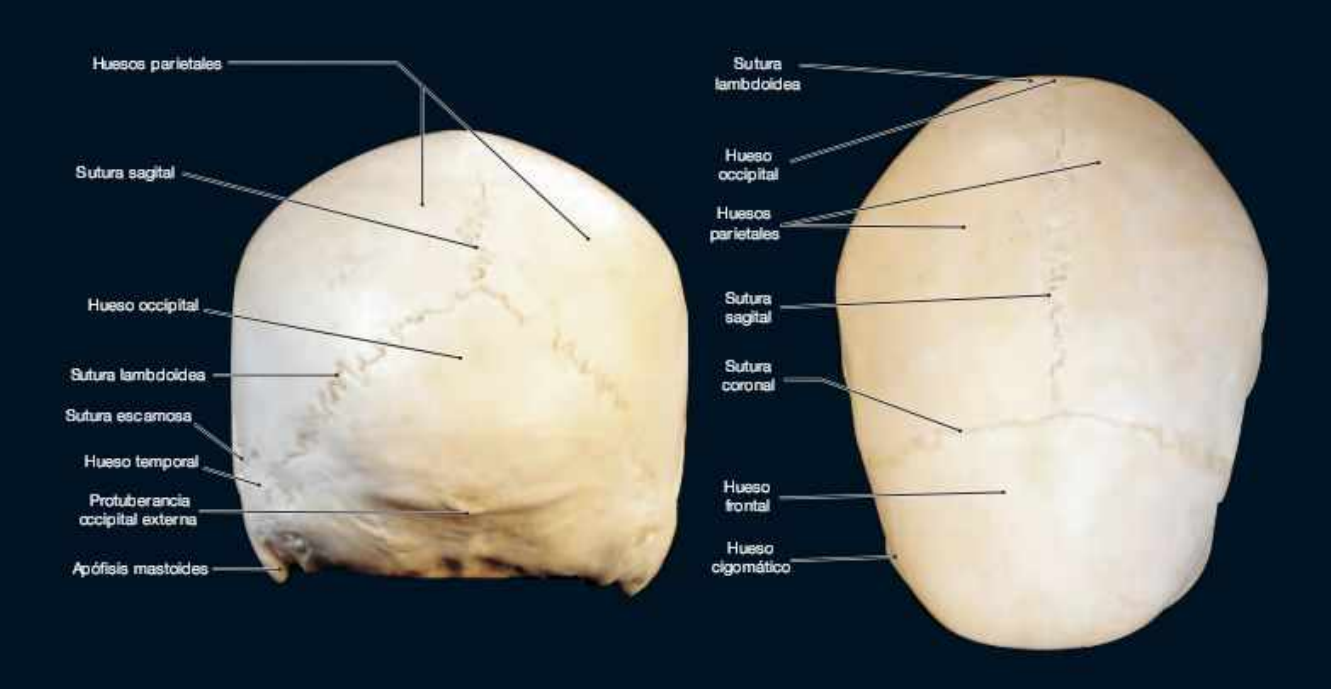
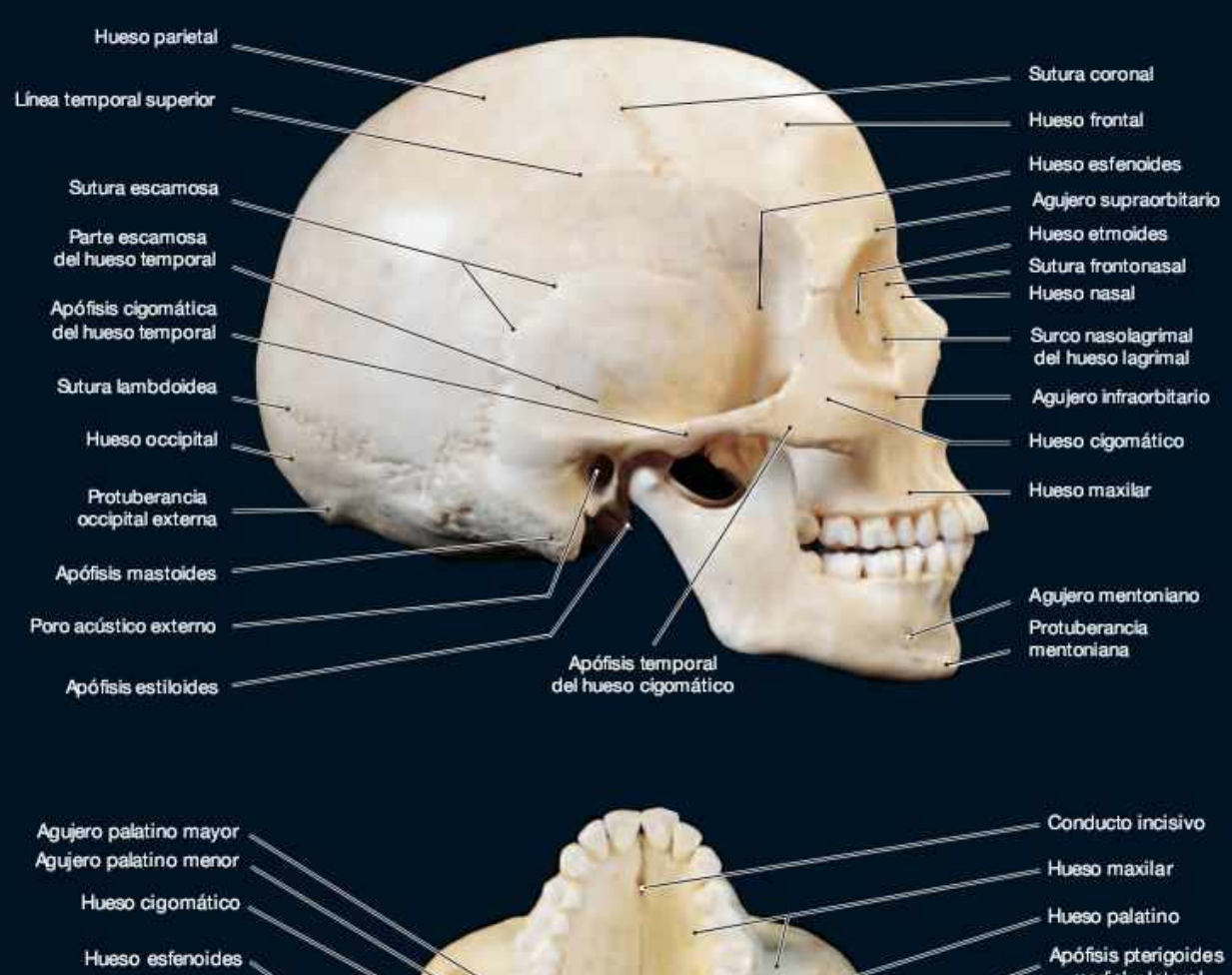


Lámina 2.2a Cráneo de un adulto. Vista posterior

LÁMINA 2.2b CRÁNEO DE UN ADULTO.
VISTA SUPERIOR

LÁMINA 2.2C CRÁNEO DE UN ADULTO, VISTA LATERAL



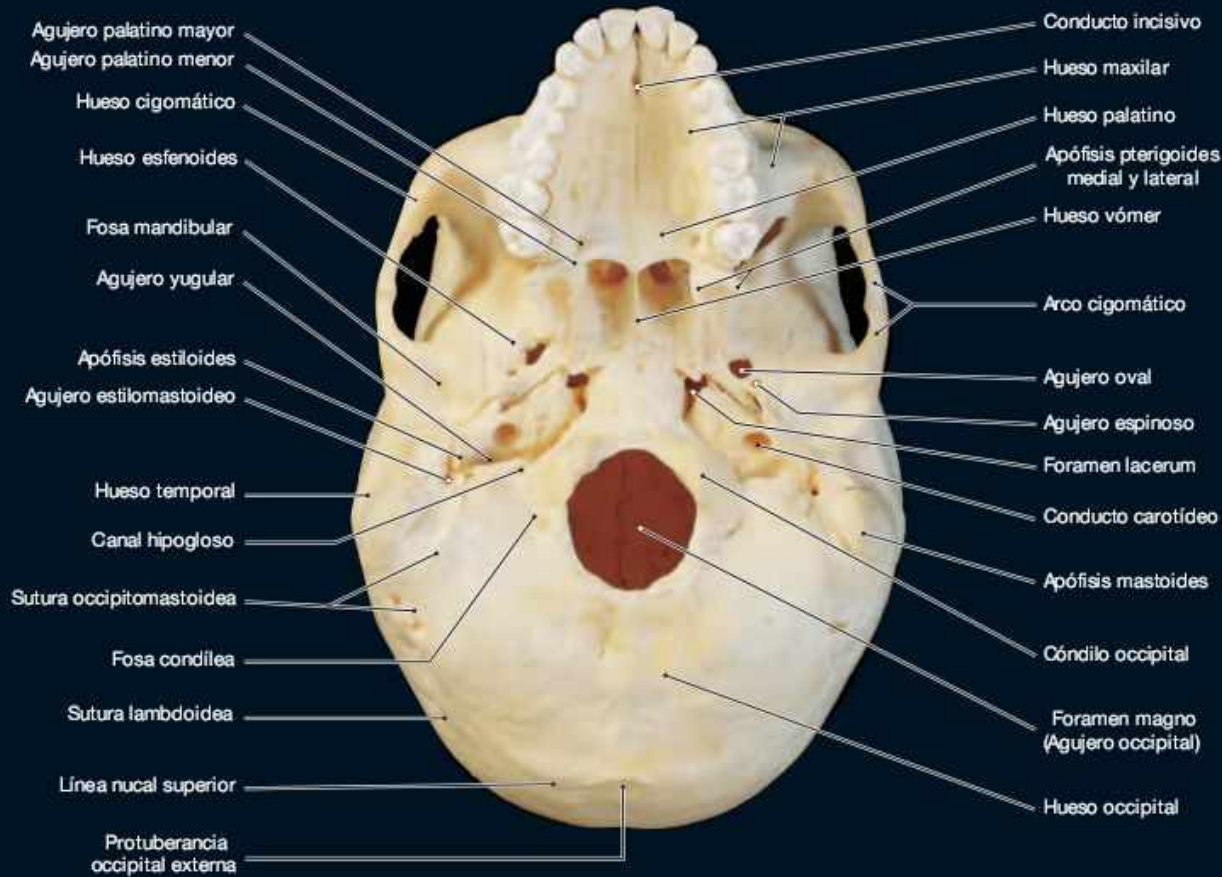
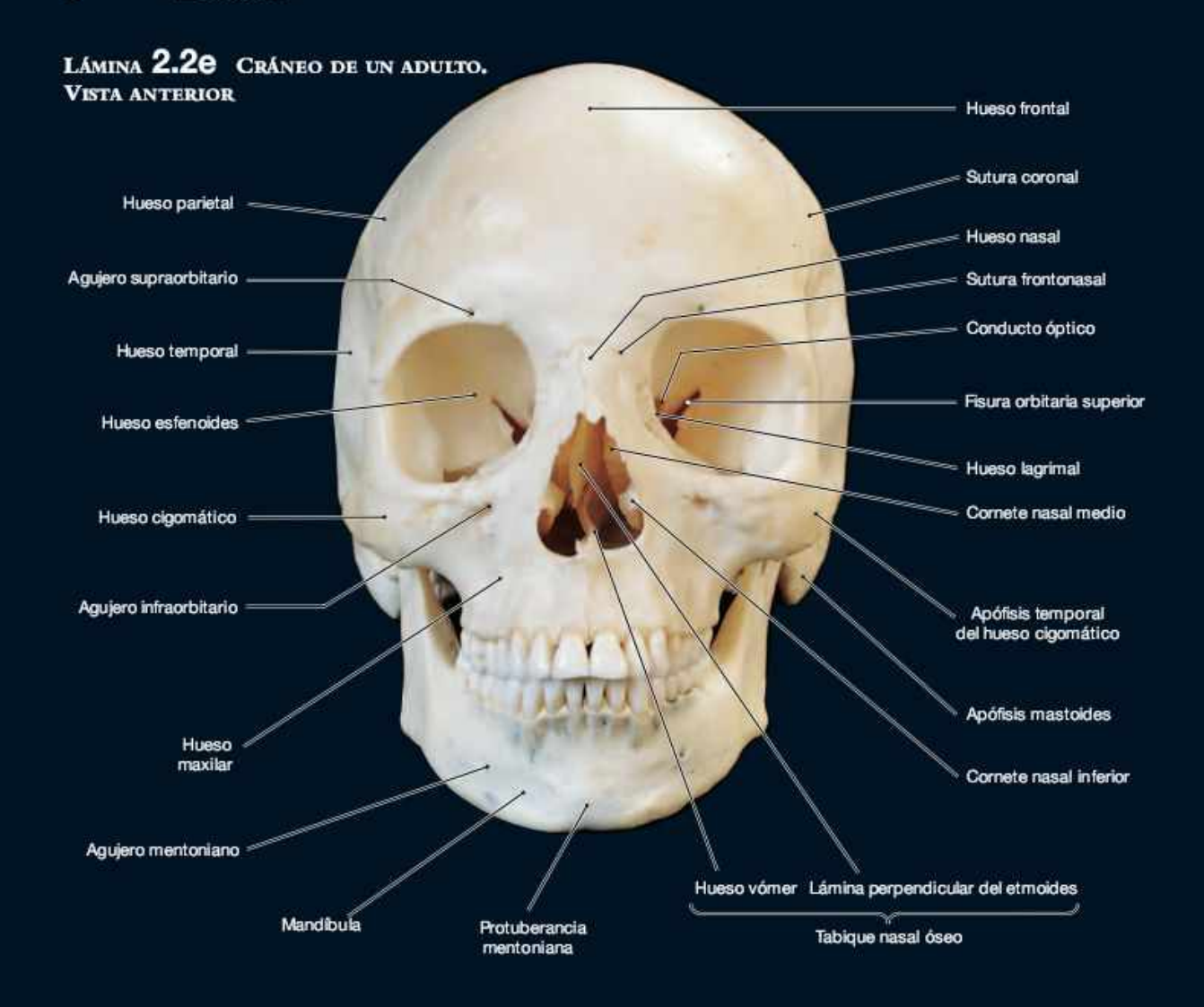
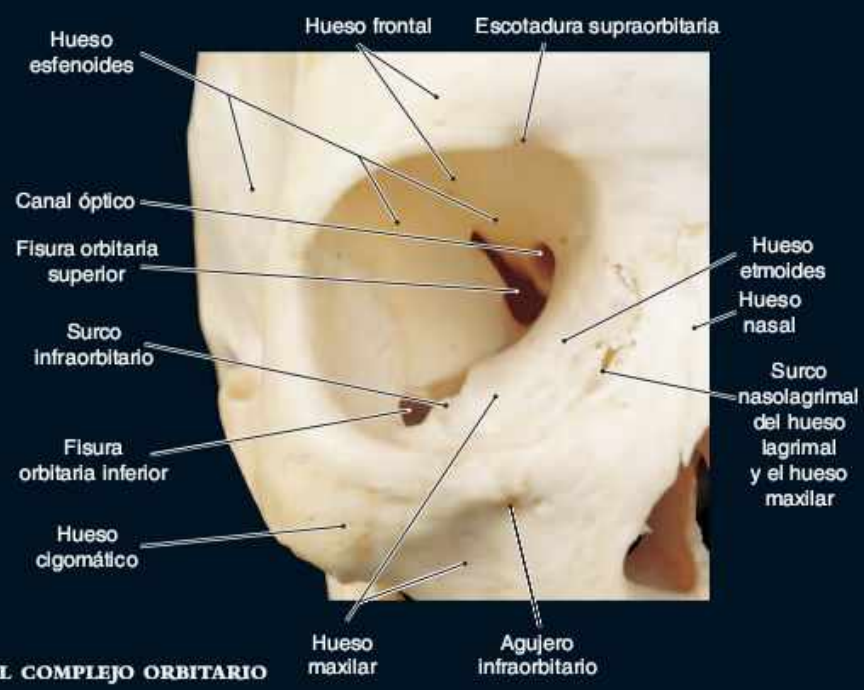
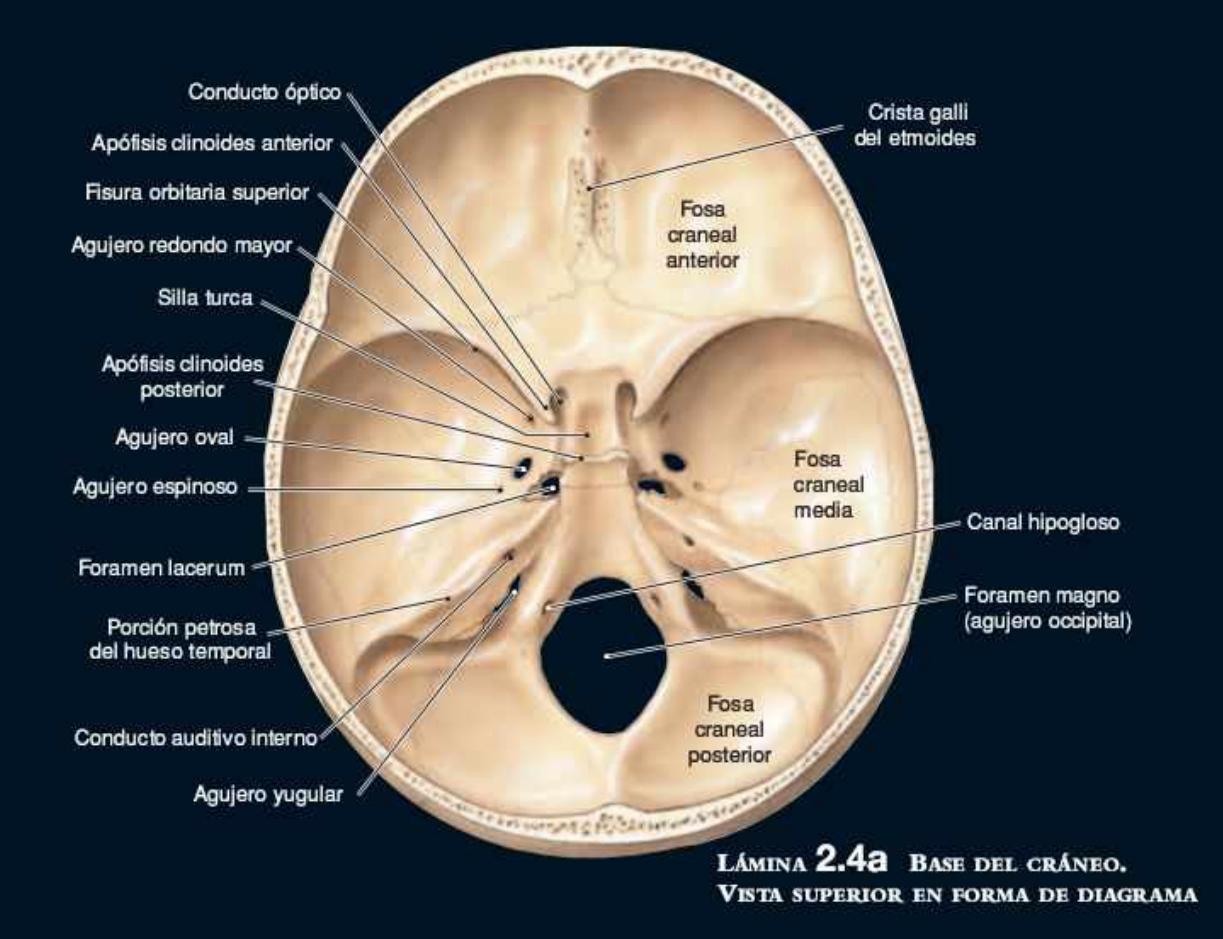


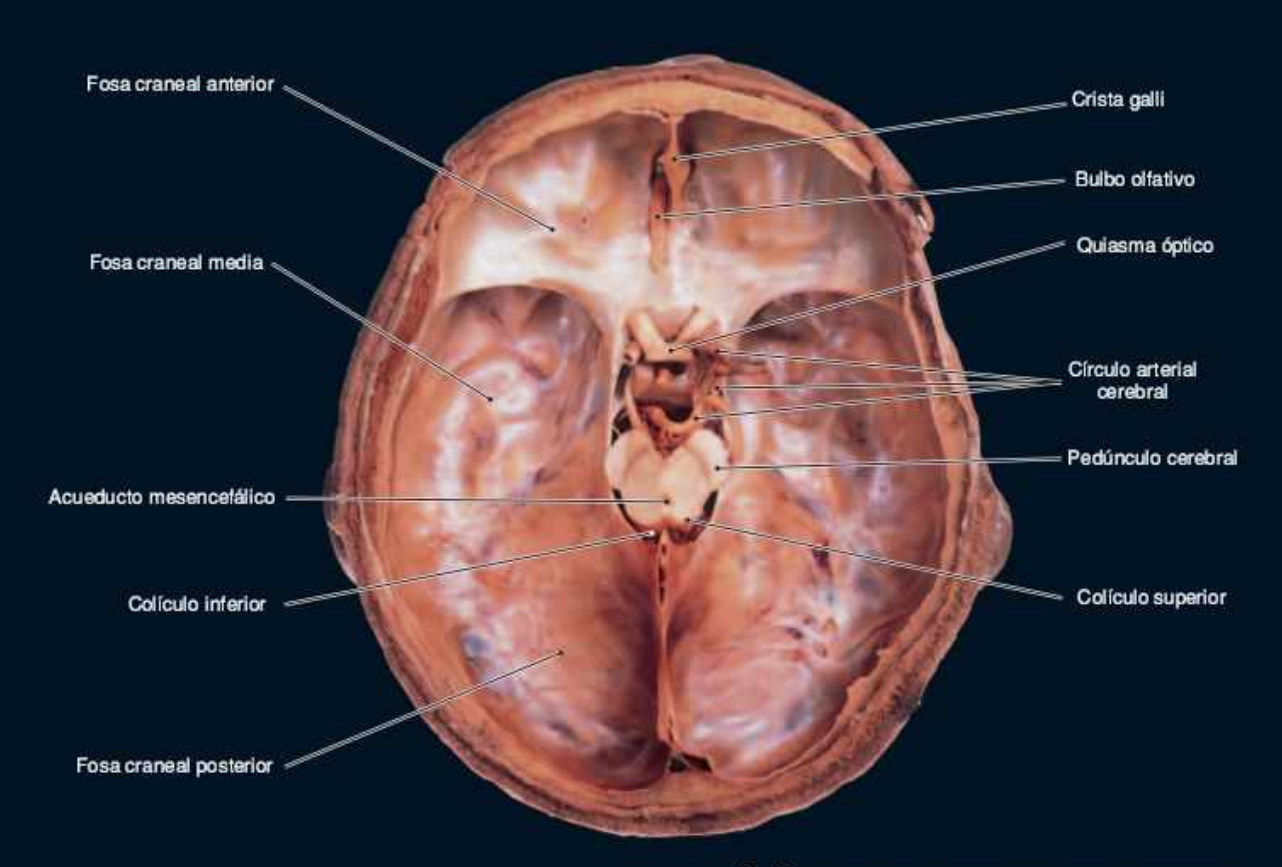
LÁMINA 2.2d CRÁNEO DE UN ADULTO. VISTA INFERIOR SIN LA MANDÍBULA

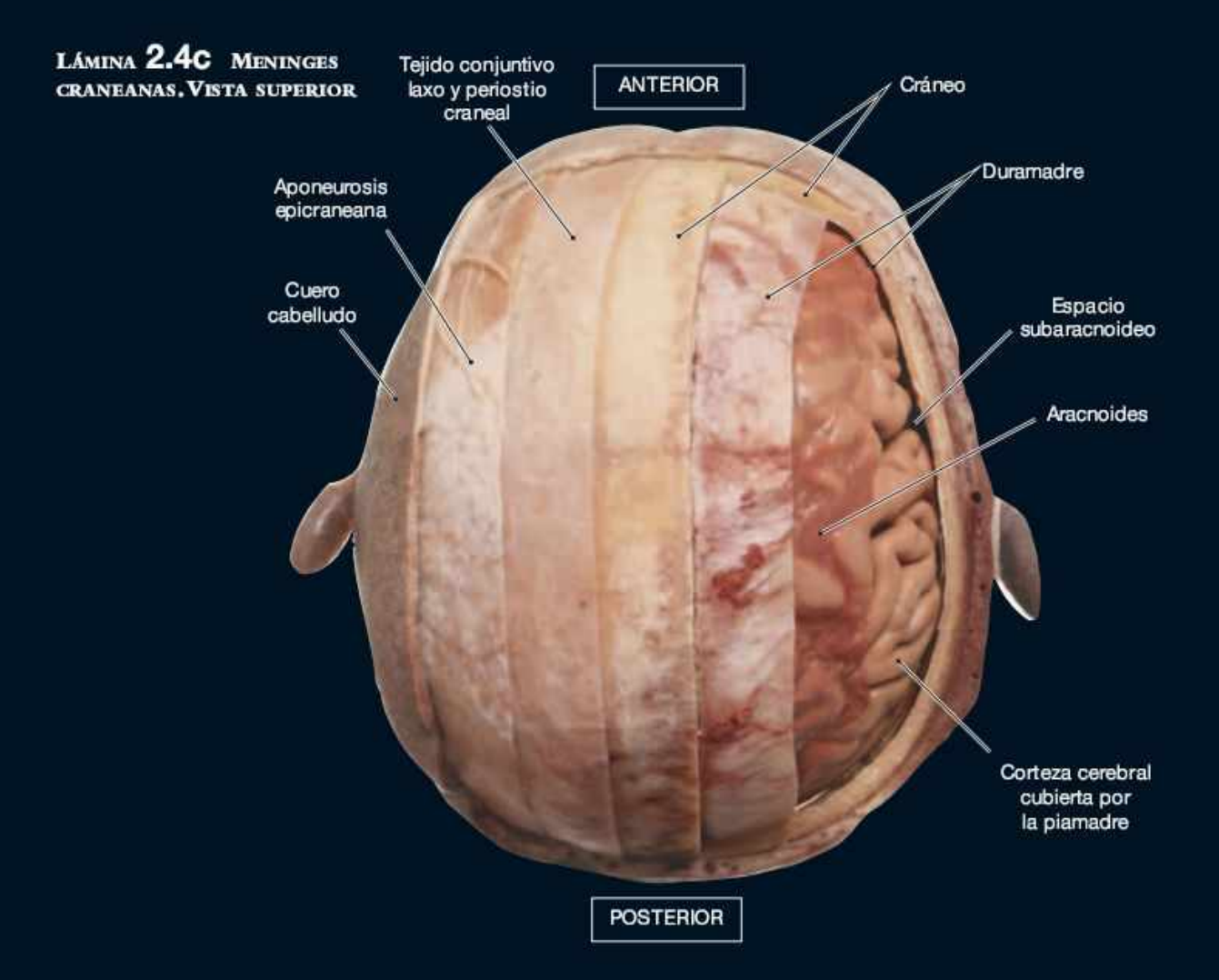
6 LÁMINAS

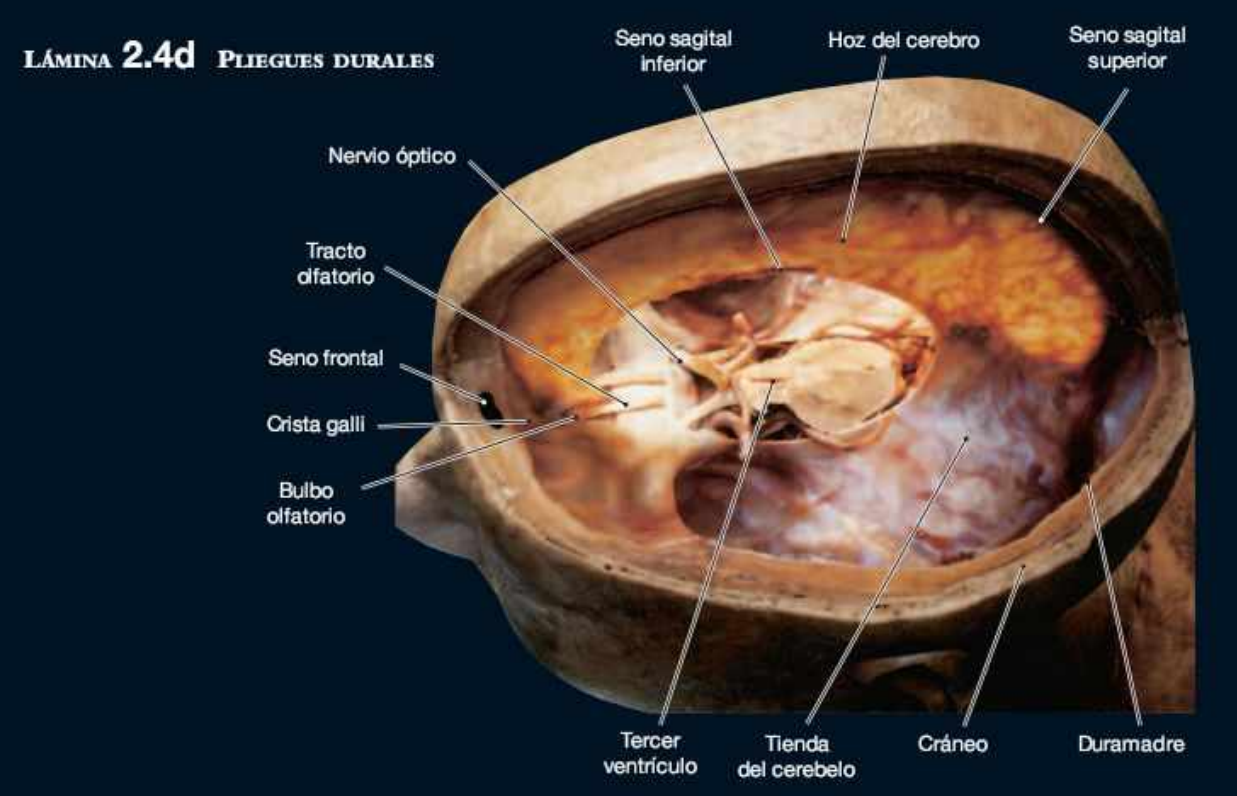












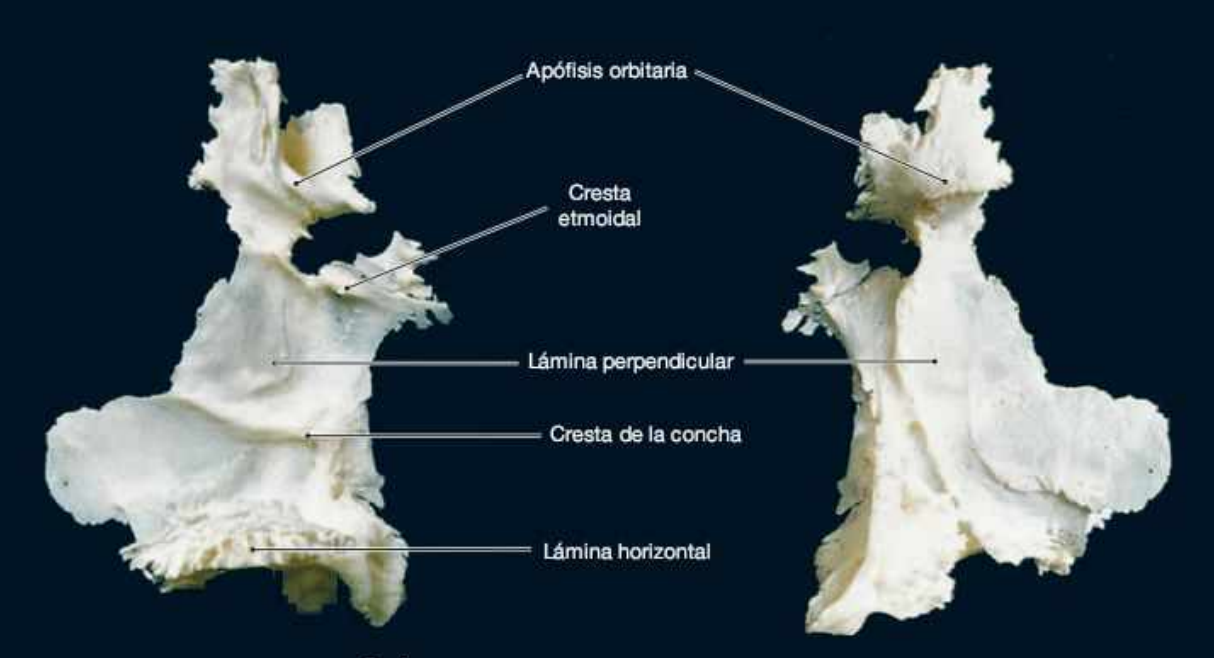


LÁMINA 2.46 HUESO PALATINO. VISTAS MEDIAL Y LATERAL

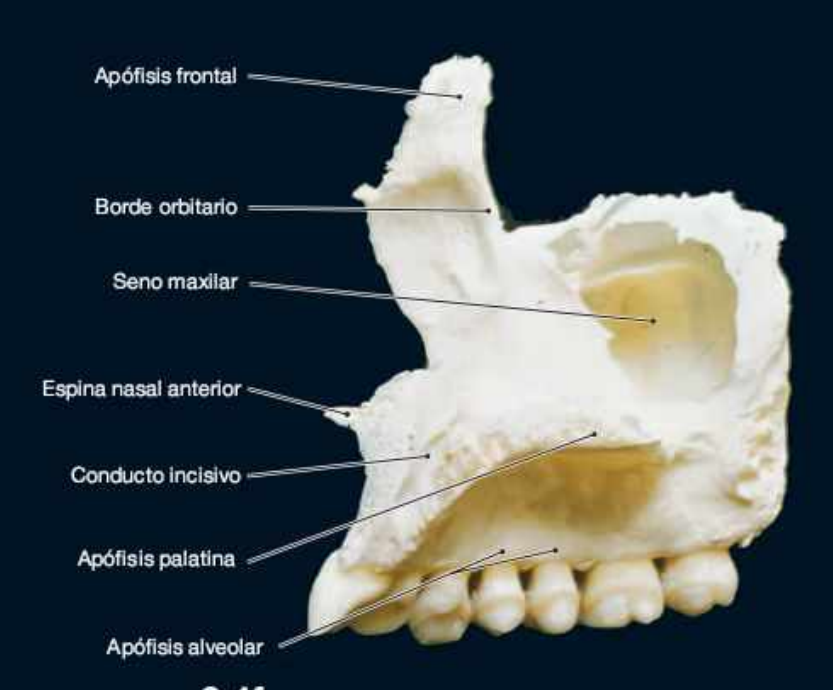


LÁMINA 2.4f HUESO MAXILAR DERECHO, VISTA MEDIA



LÁMINA 2.5b TRONCO DEL ENCÉFALO. VISTA POSTERIOR

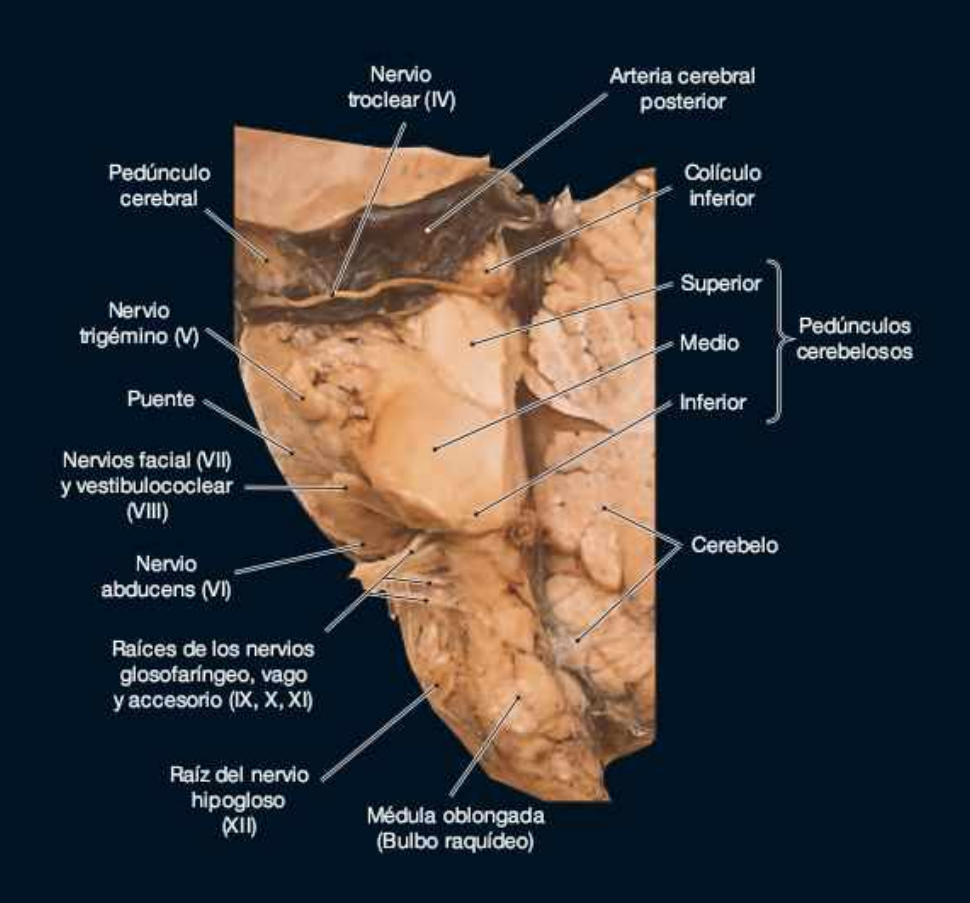


Lámina 2.5a Tronco del encépalo, Vista lateral

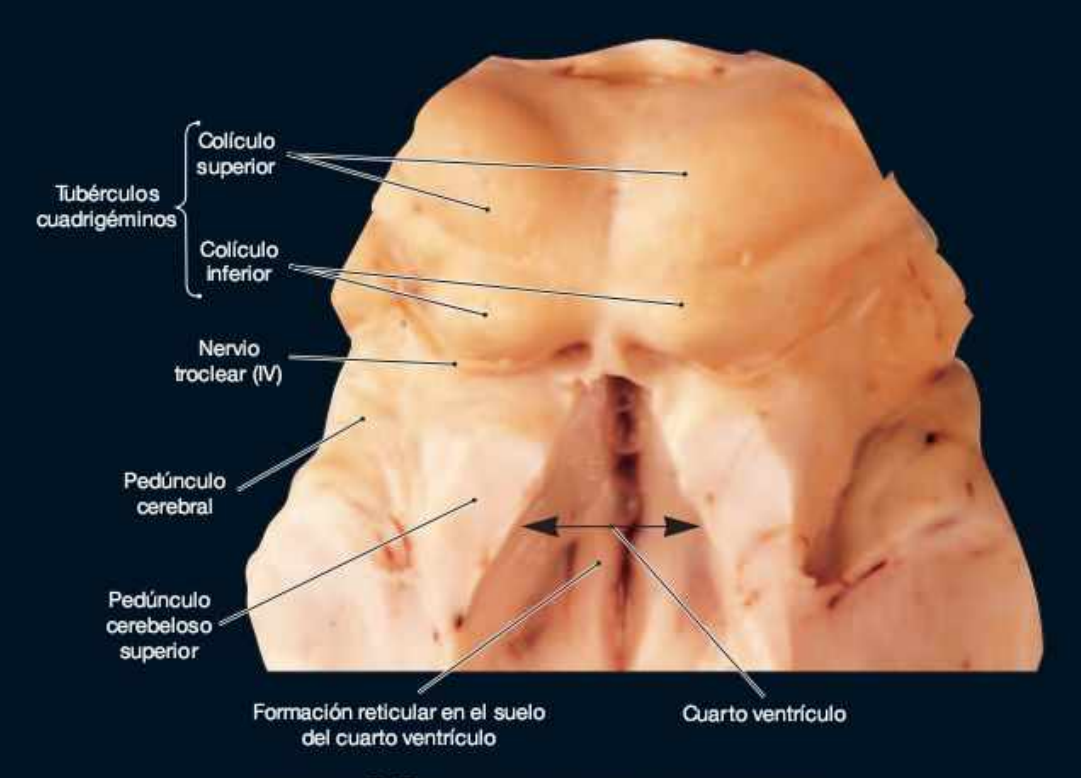


LÁMINA 2.5C MISENCÉFALO. VISTA POSTERIOR

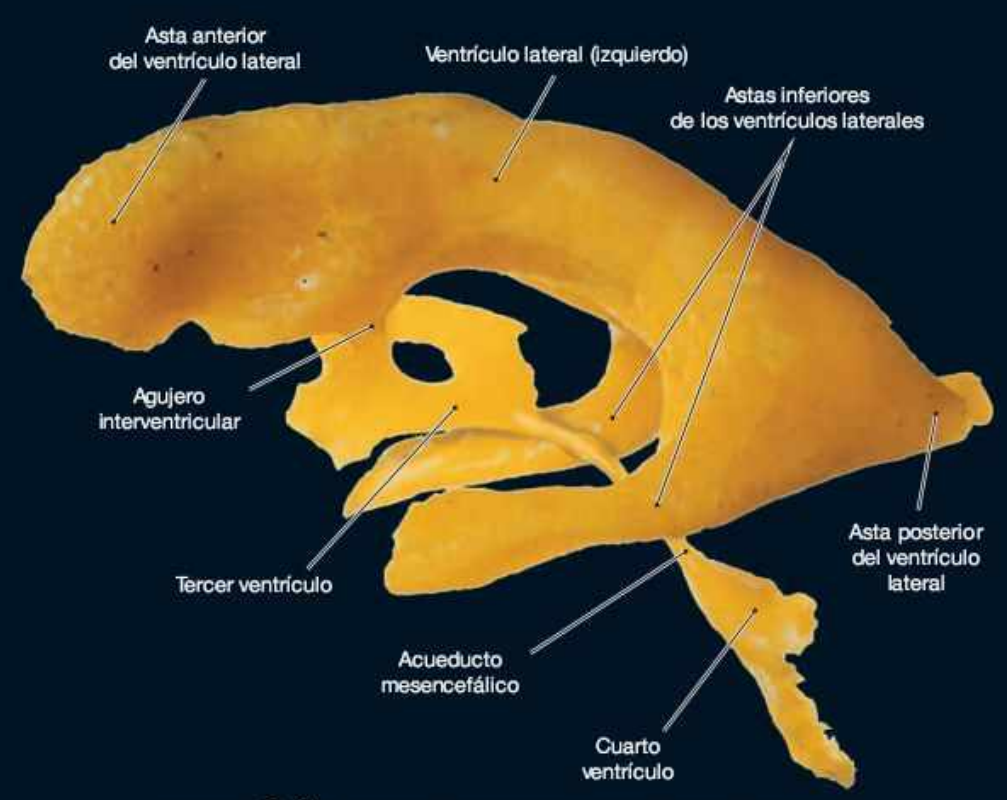
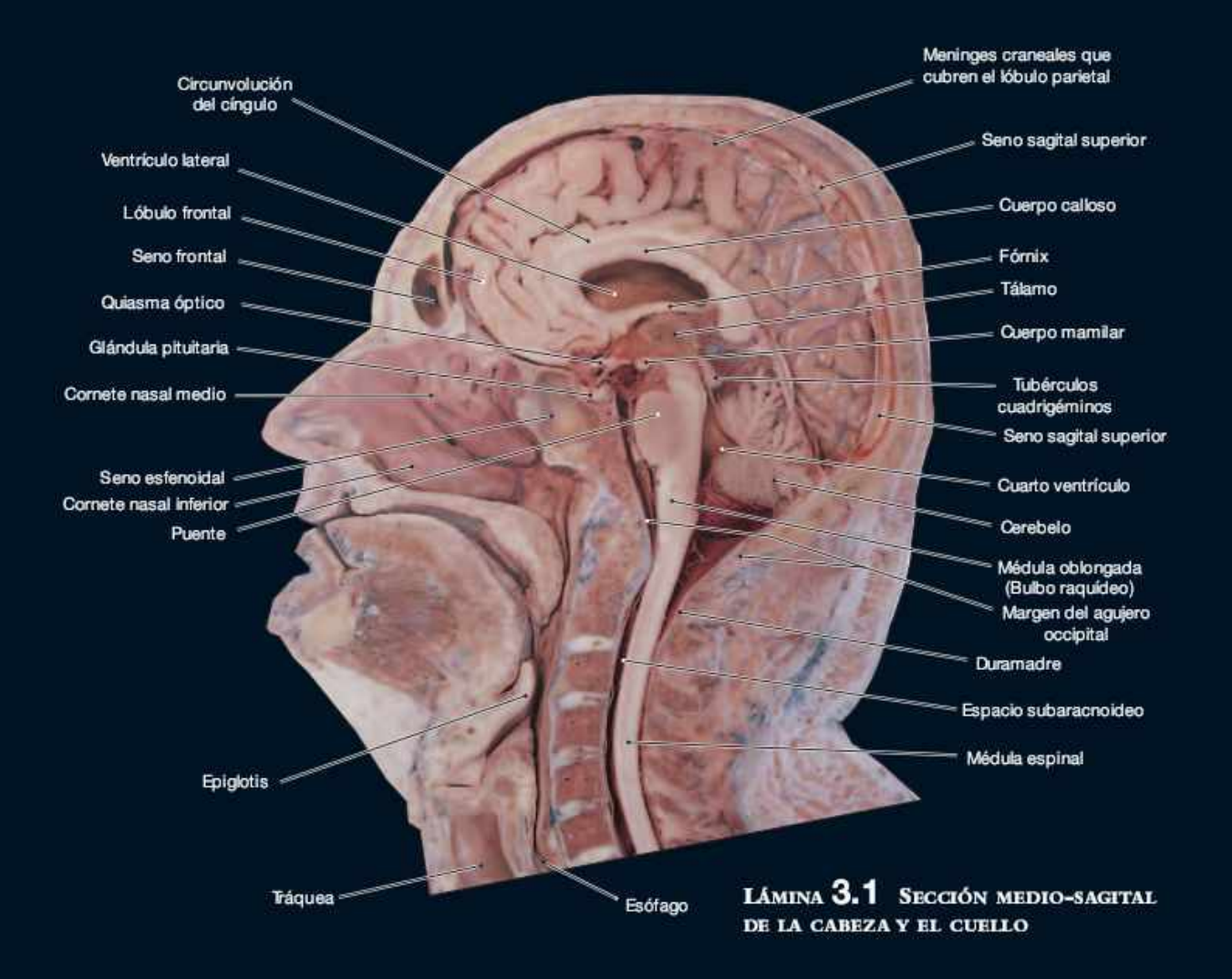


LÁMINA 2.6a MOLDE DE UN VENTRÍCULO, VISTA LATERAL



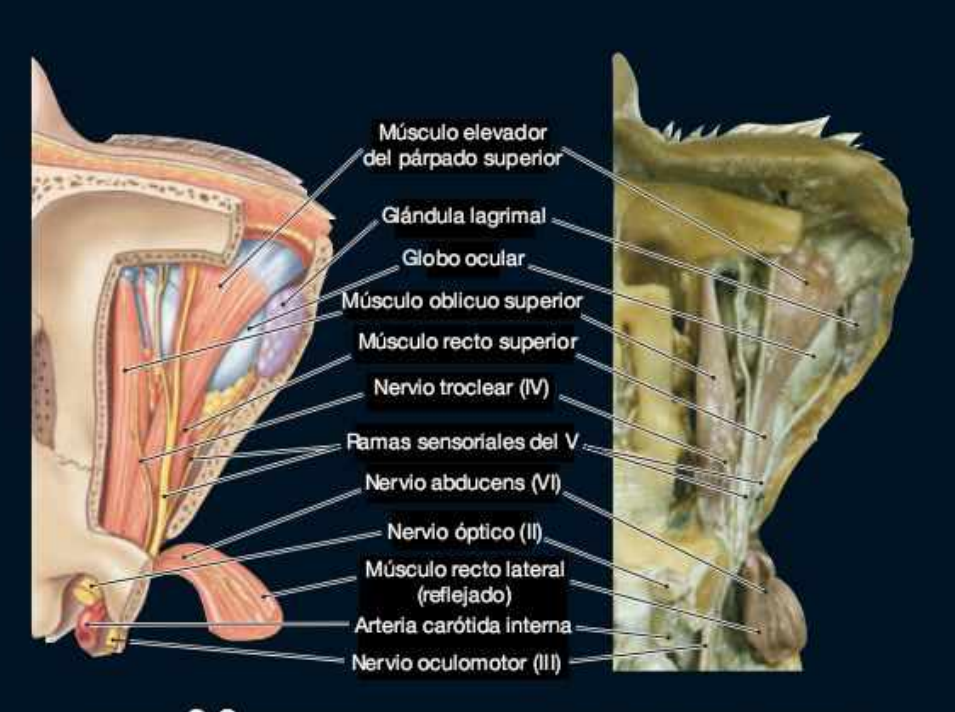


LÁMINA 3.2 ESTRUCTURAS ACCESORIAS DEL OJO. VISTA SUPERIOR

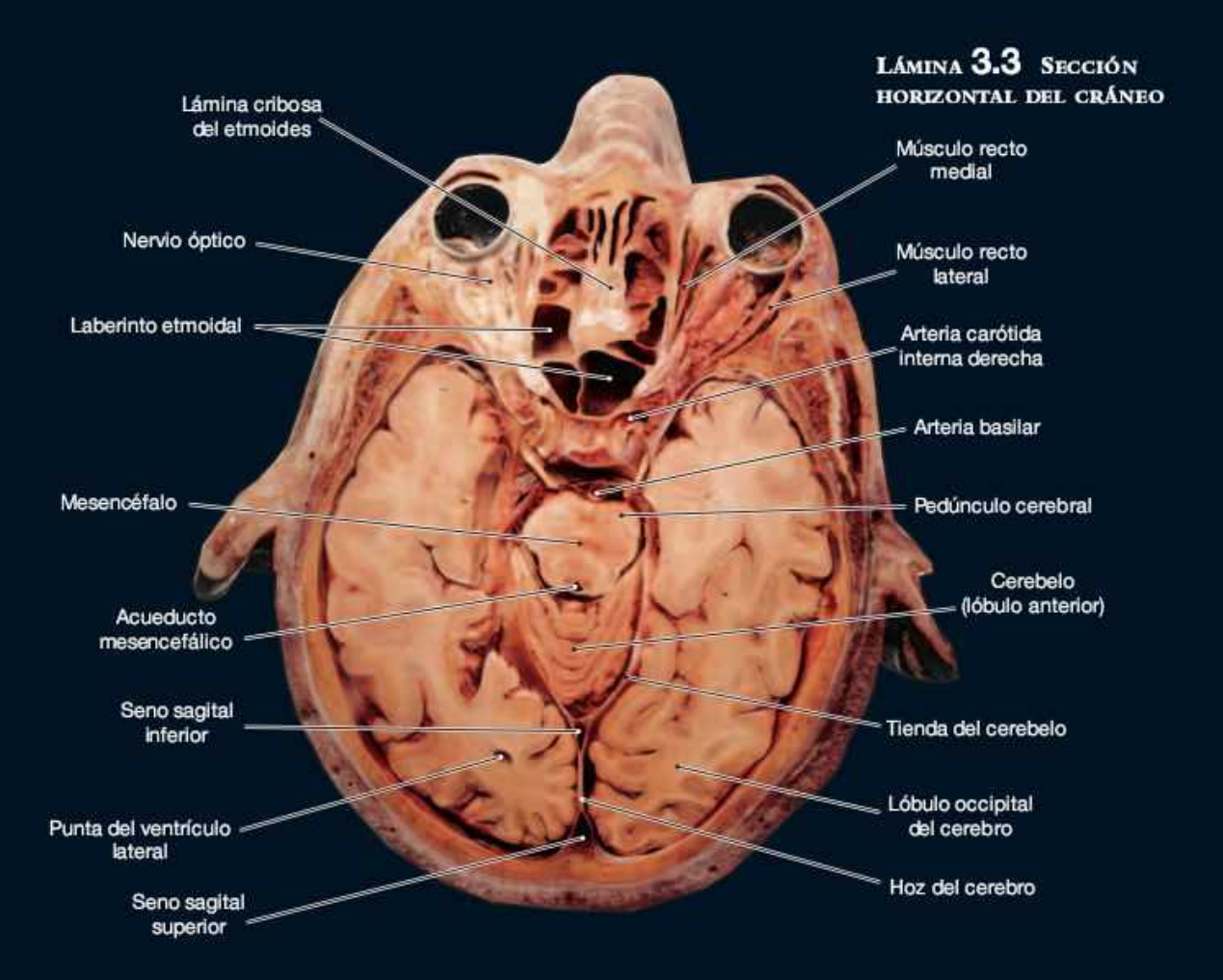




LÁMINA 3.4 CIRCULACIÓN ARTERIAL AL CEREBRO. VISTA LATERAL DE UN MOLDE DE CORROSIÓN

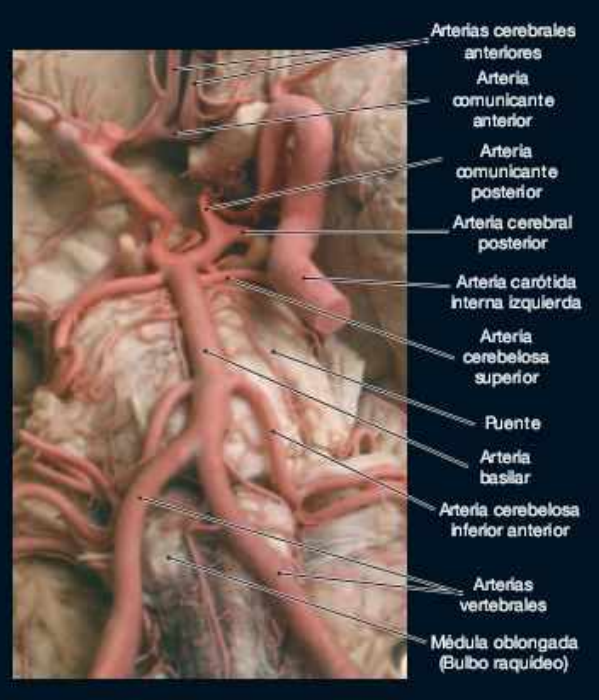
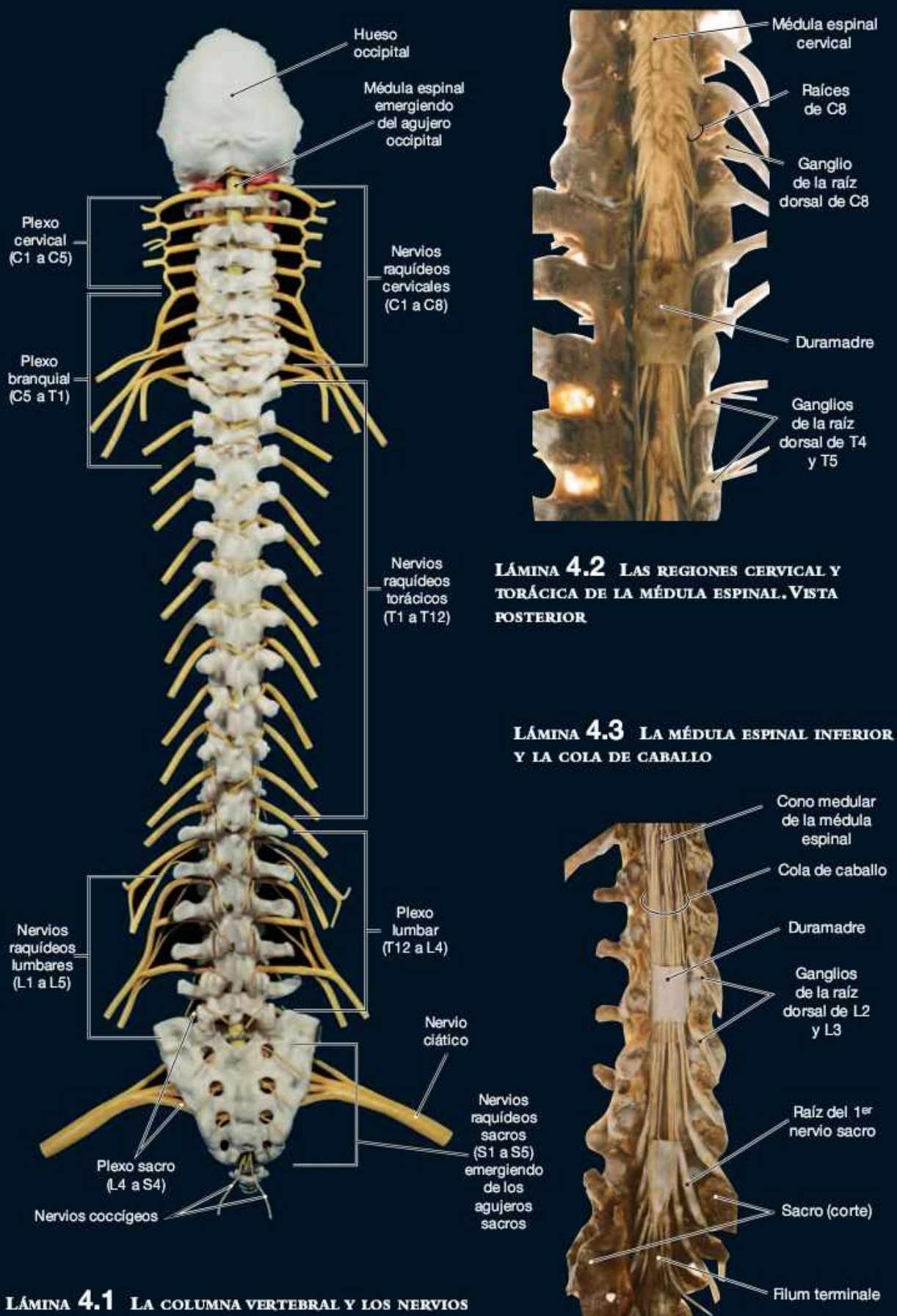


LÁMINA 3.5 ARTERIAS DE LA SUPERFICIE INTERIOR DEL CEREBRO



RAQUÍDEOS

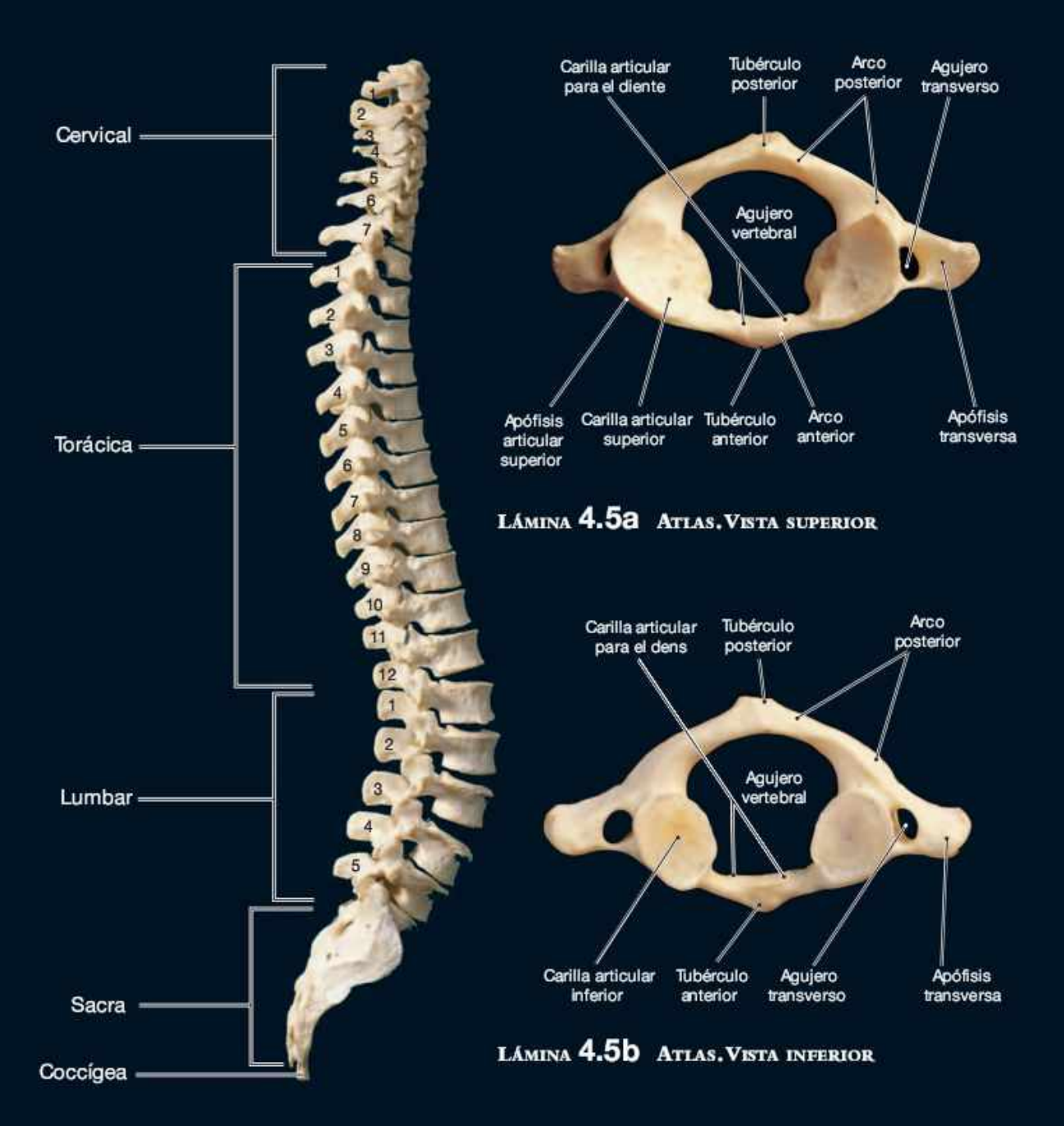


LÁMINA 4.4 LA COLUMNA VERTEBRAL.
VISTA LATERAL



LÁMINA 4.5C Axis. VISTA SUPERIOR

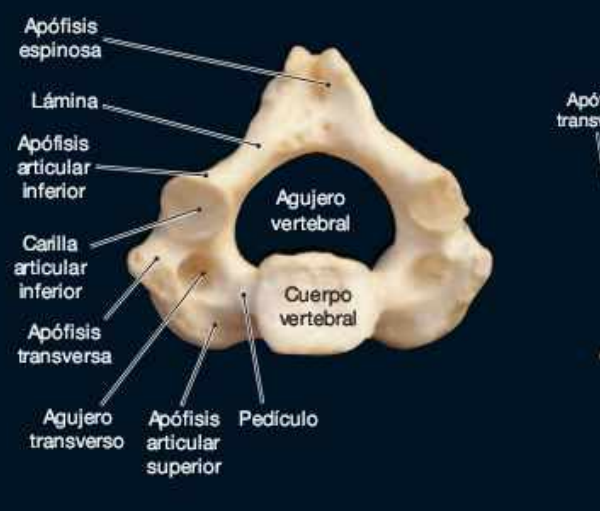


LÁMINA 4.5d AXIS. VISTA INFERIOR

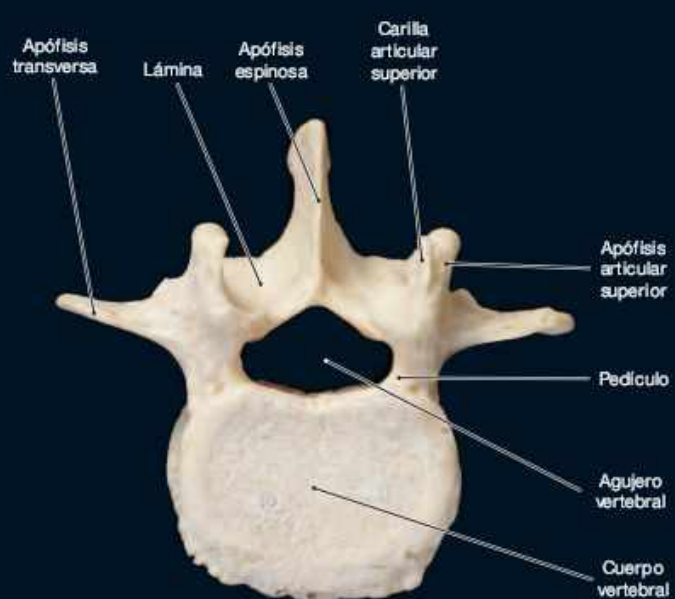


Lámina 4.6a Vértebra lumbar. Vista superior

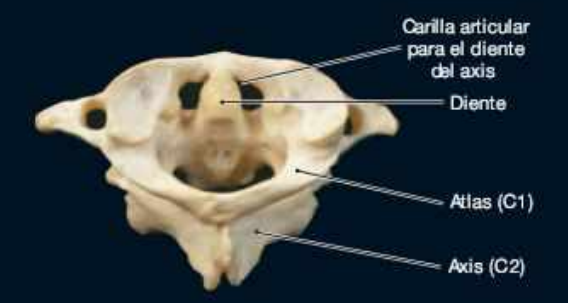


LÁMINA 4.5e ATIAS Y AXIS ARTICULADOS. VISTA POSTEROSUPERIOR

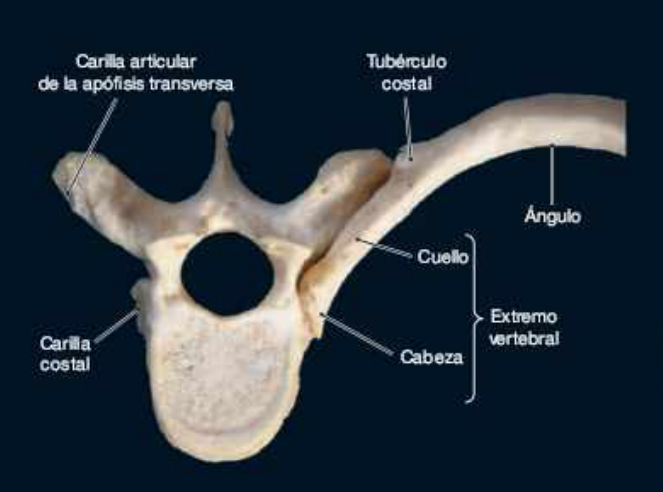
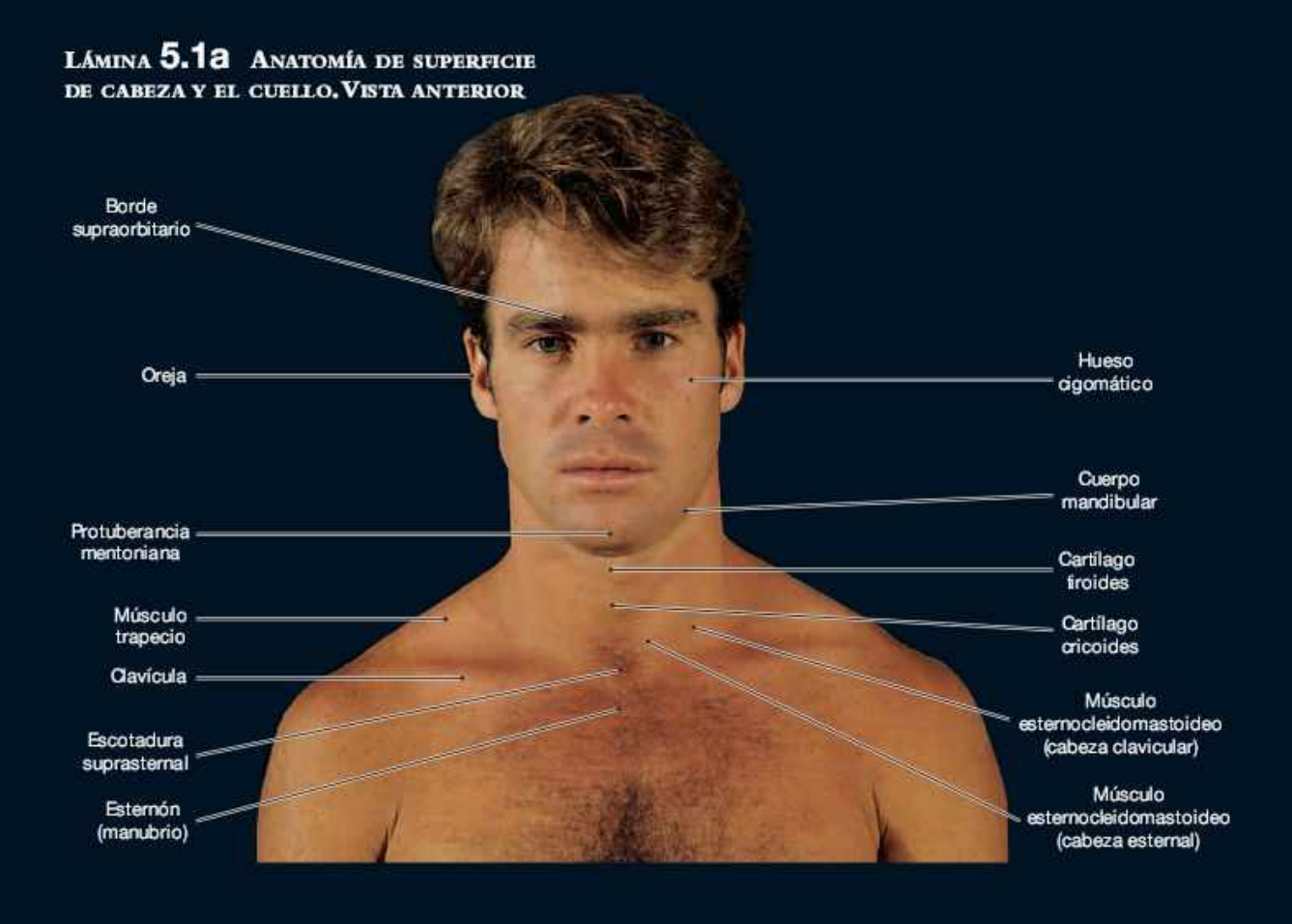


LÁMINA 4.6b VÉRTEBRA TORÁCICA Y COSTILIA. VISTA SUPERIOR



Lámina 4.6C Costilla representativa. Vista posterior



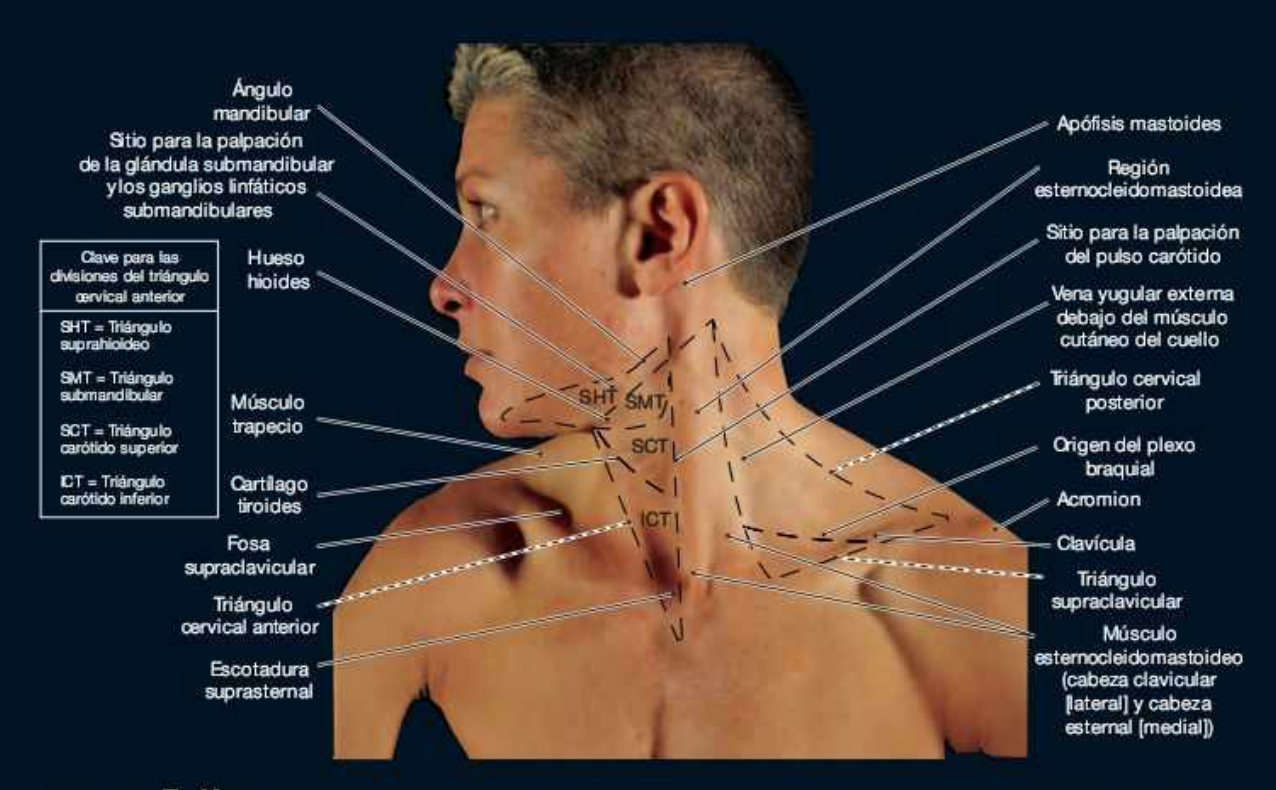
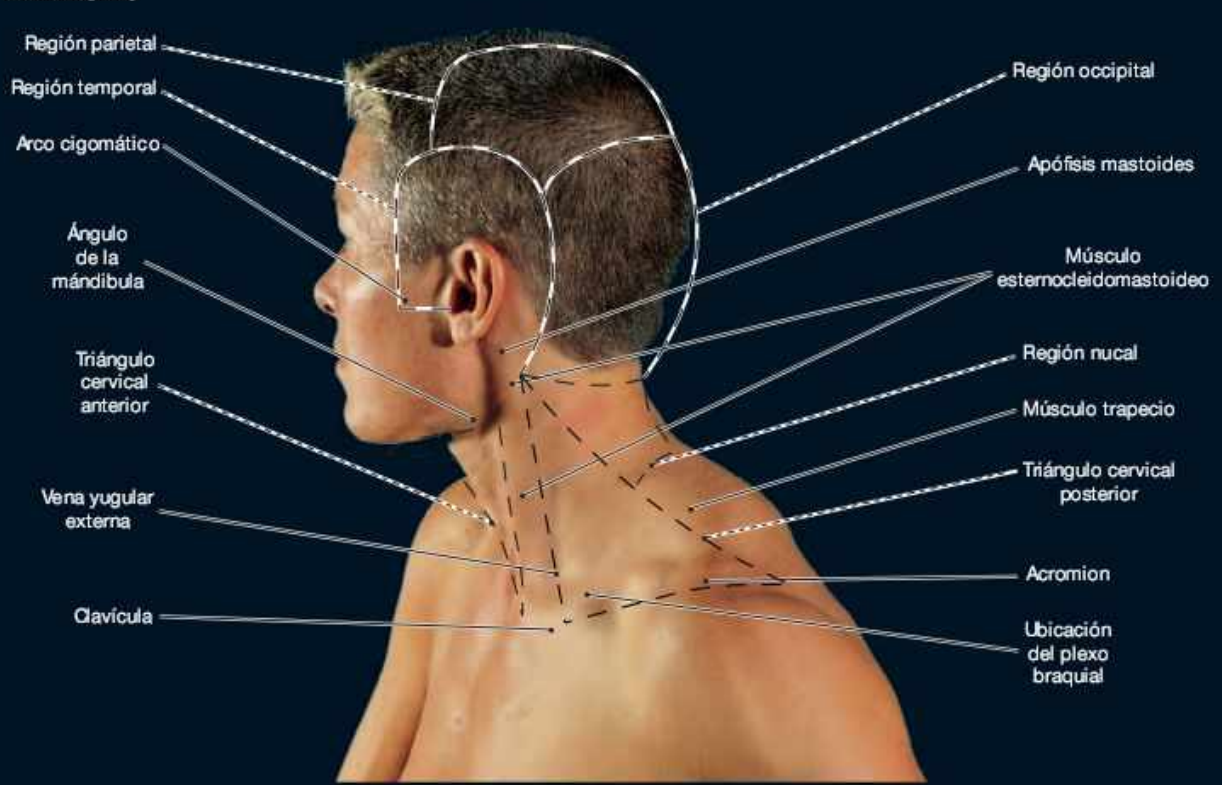
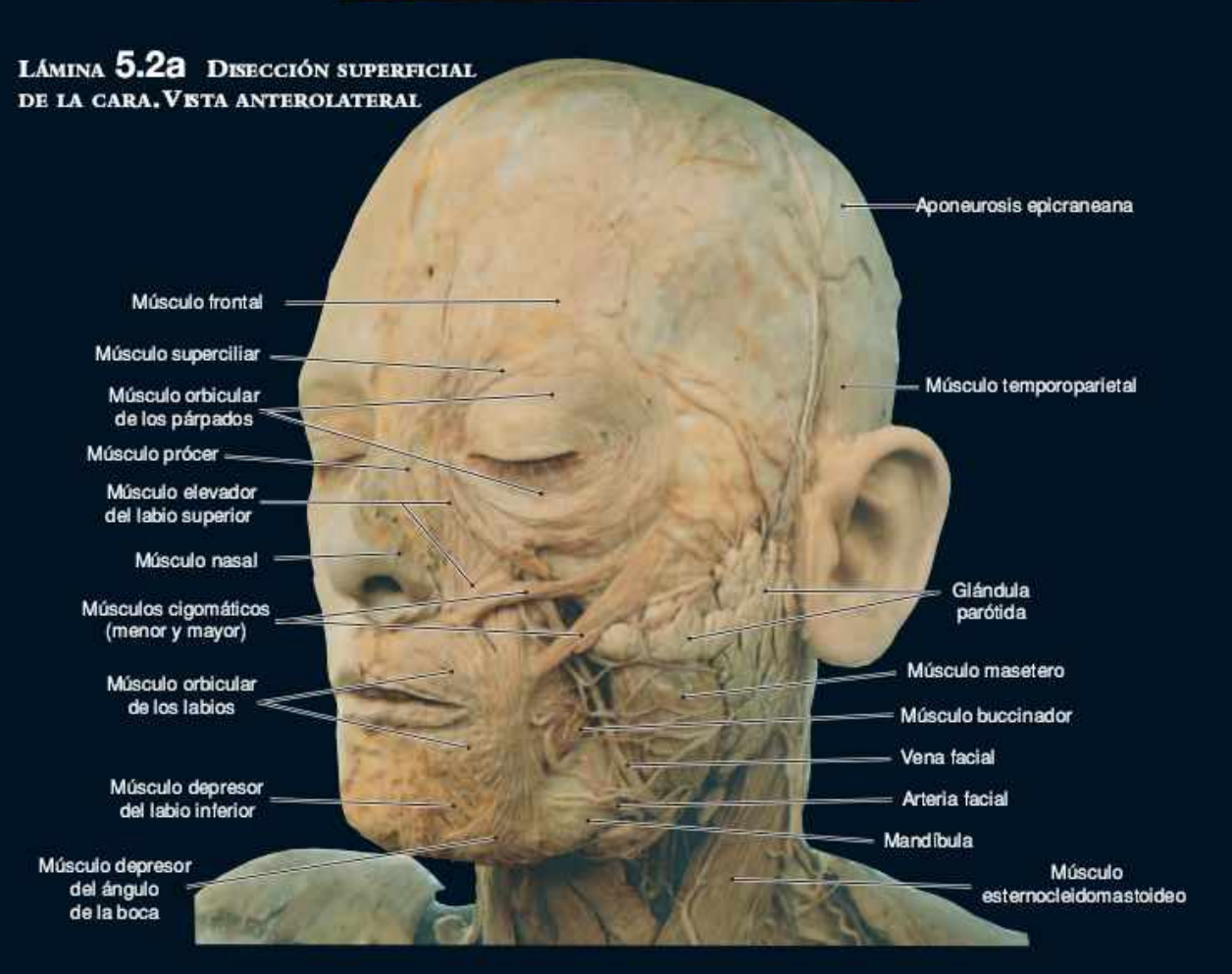
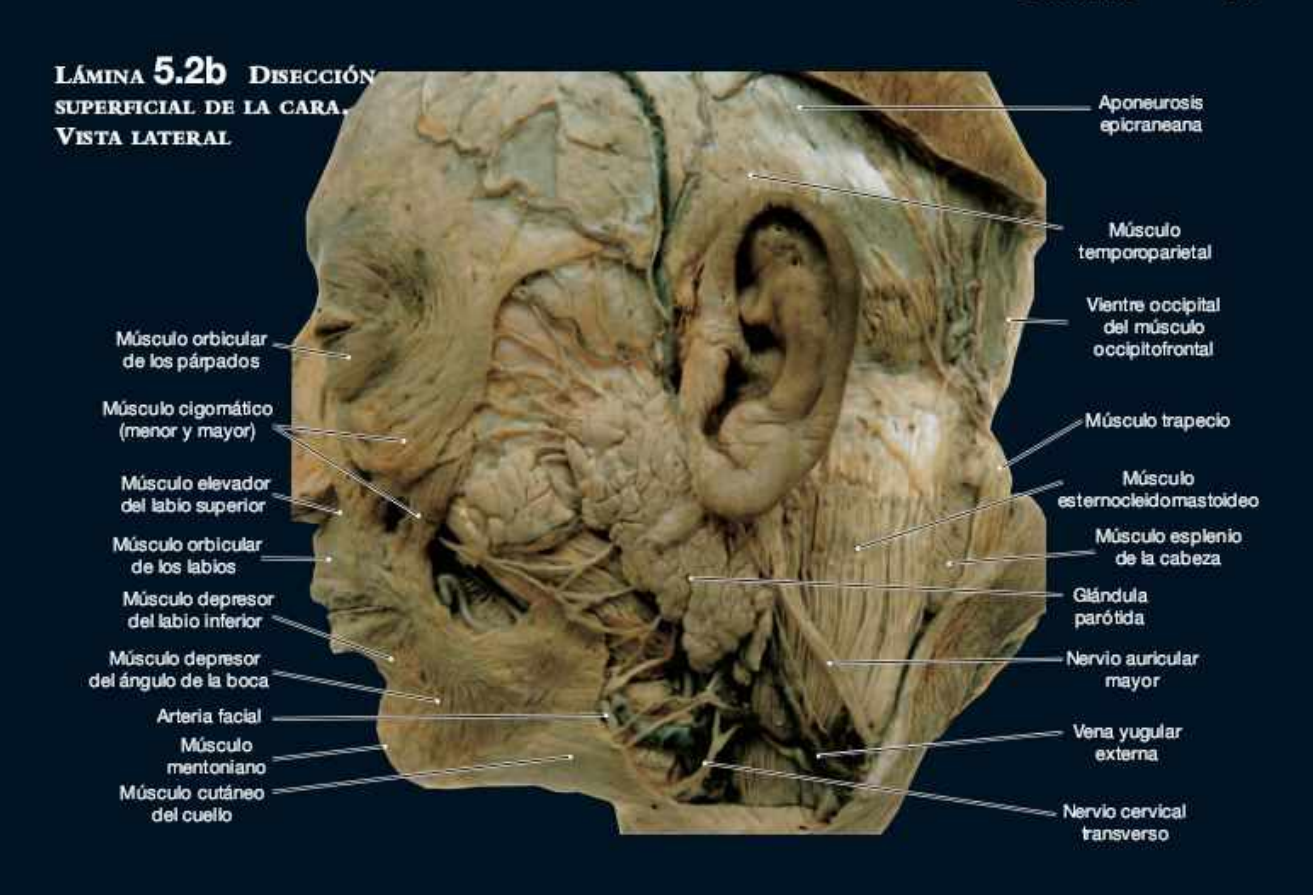


LÁMINA 5.1b ANATOMÍA DE SUPERFICIE DE LA CABEZA Y EL CUELLO. LOS TRIÁNGULOS CERVICALES

LÁMINA 5.1C EL TRIÁNGULO CERVICAL POSTERIOR







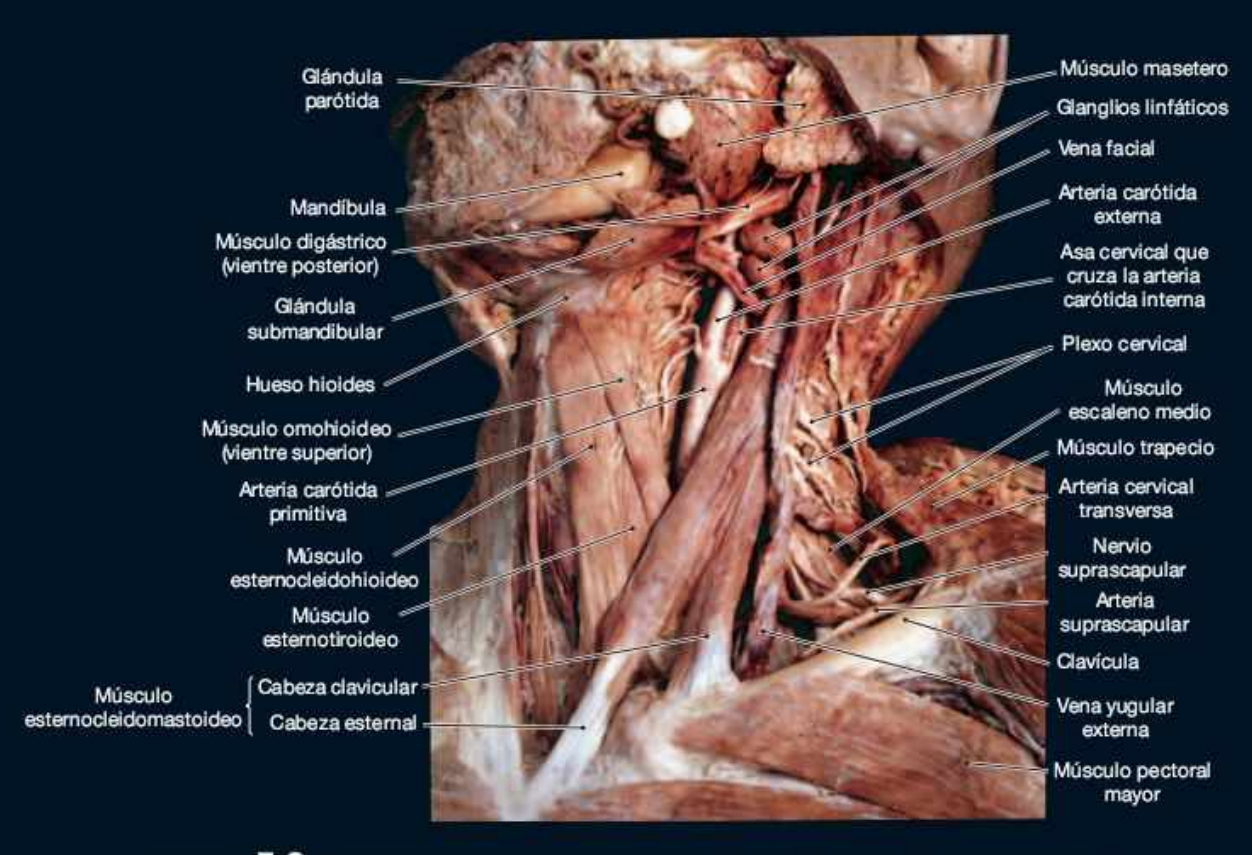


LÁMINA 5.38 ESTRUCTURAS SUPERFICIALES DEL CUELLO, VISTA ANTEROLATERAL

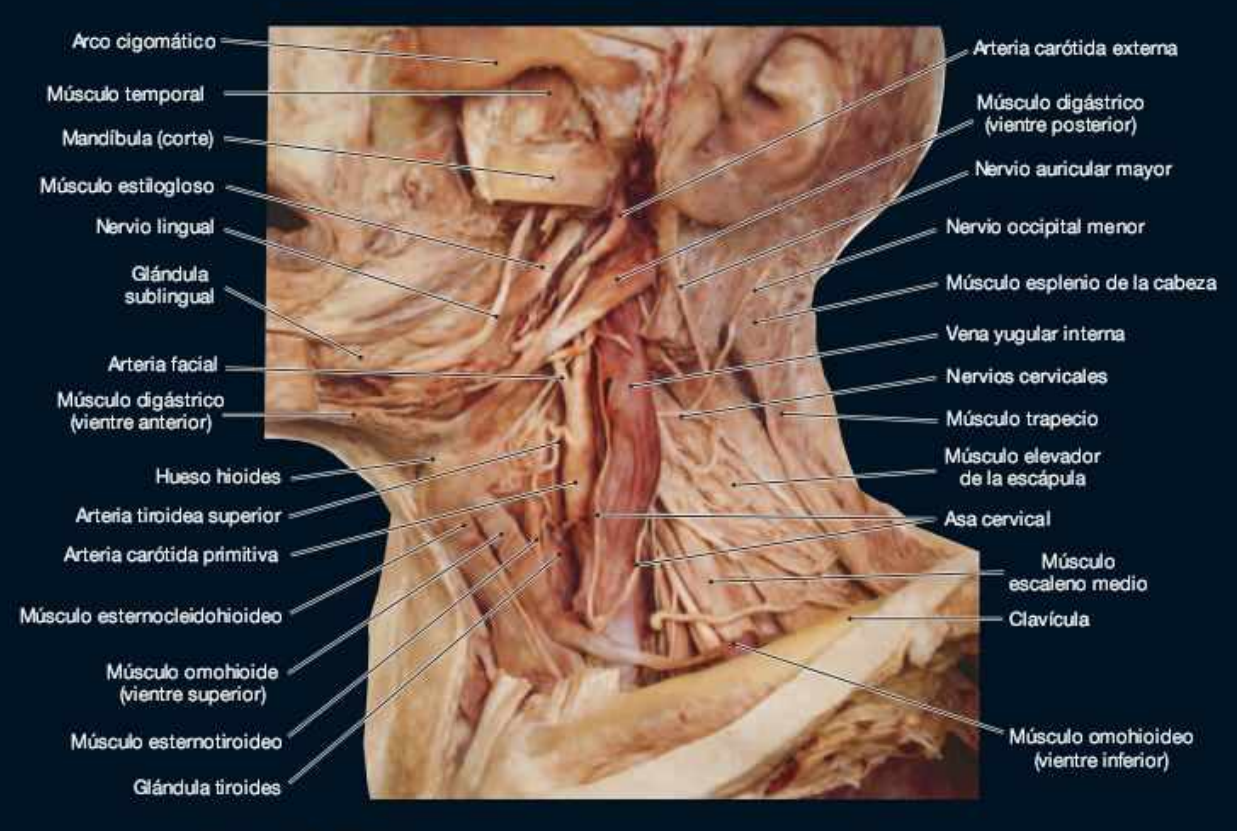


LÁMINA 5.3b ESTRUCTURAS PROFUNDAS DEL CUELLO, VISTA LATERAL

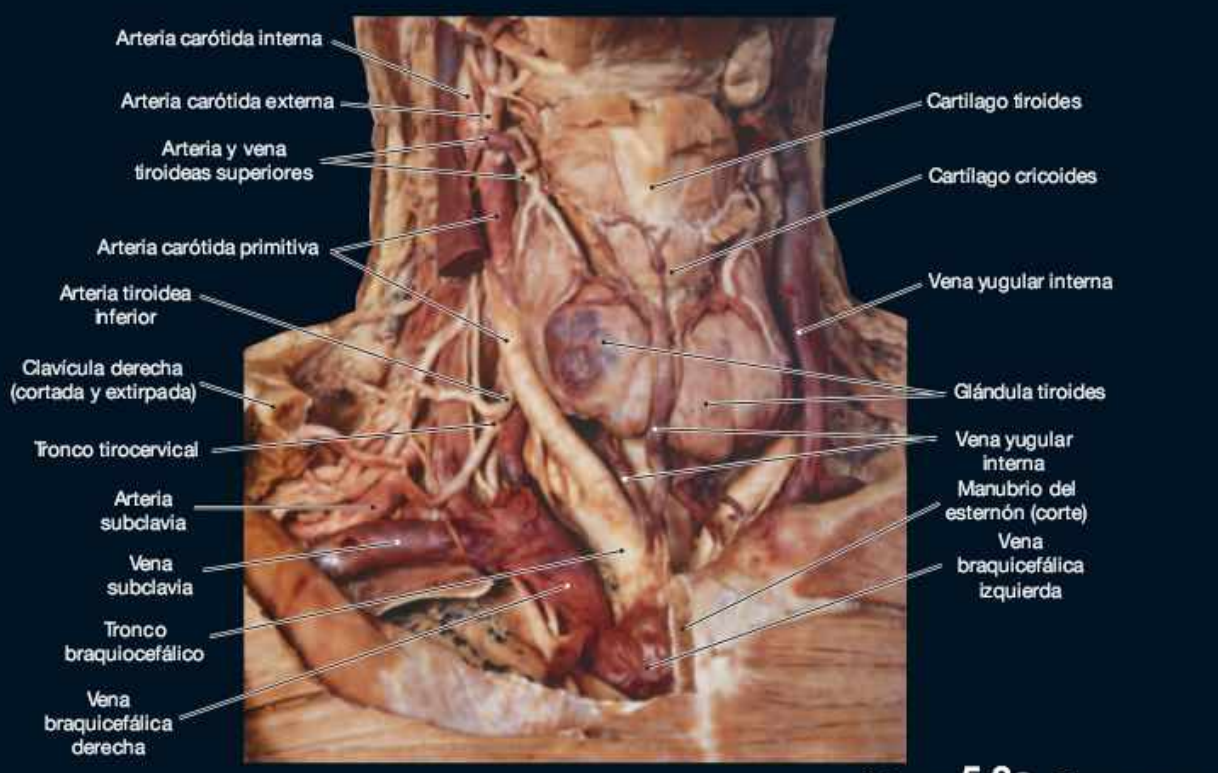


LÁMINA 5.3C ESTRUCTURAS PROFUNDAS DEL CUELLO. VISTA ANTERIOR

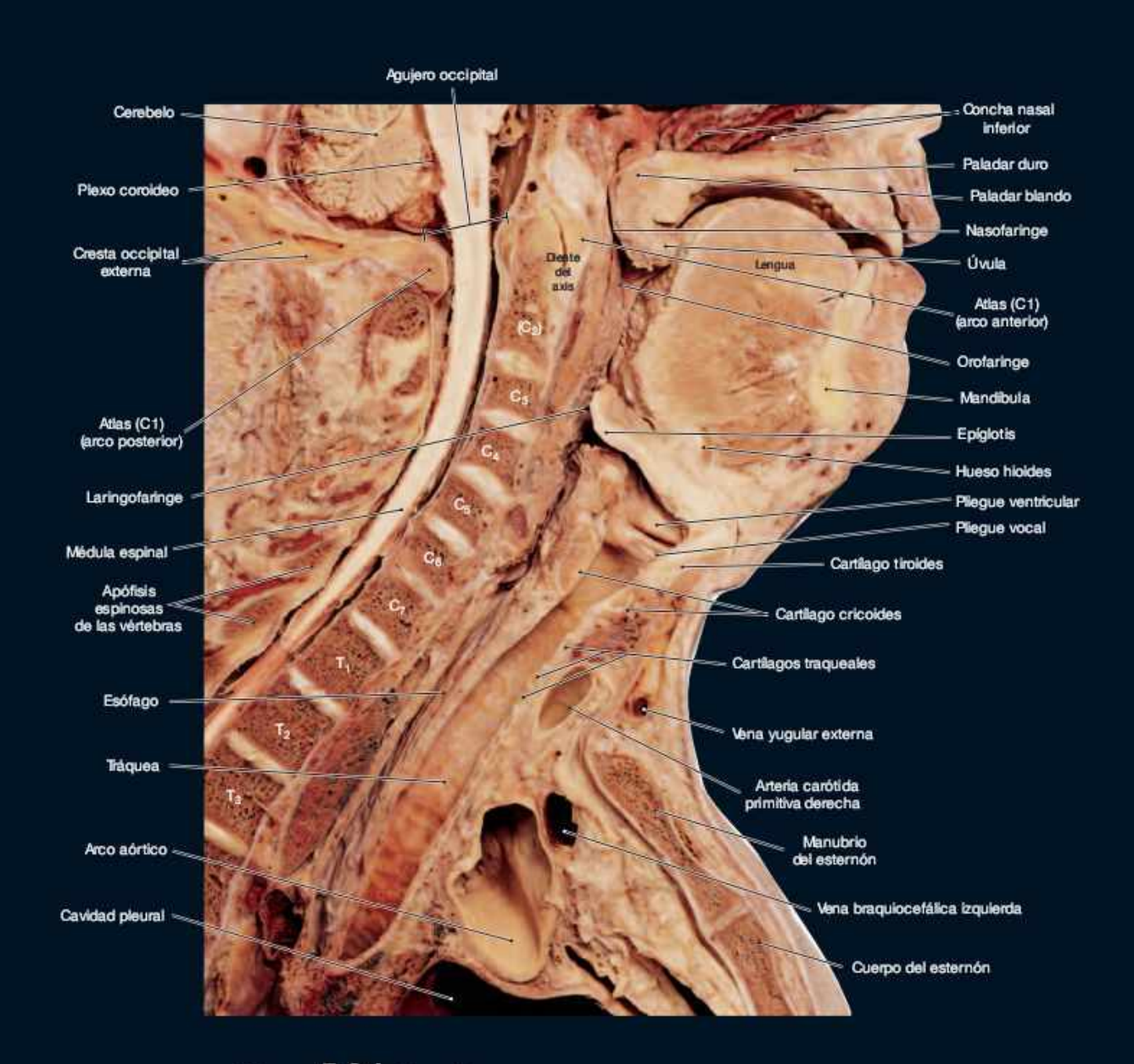


LÁMINA 5.3d SECCIÓN MEDIO-SAGITAL DE LA CABEZA Y EL CUEILO



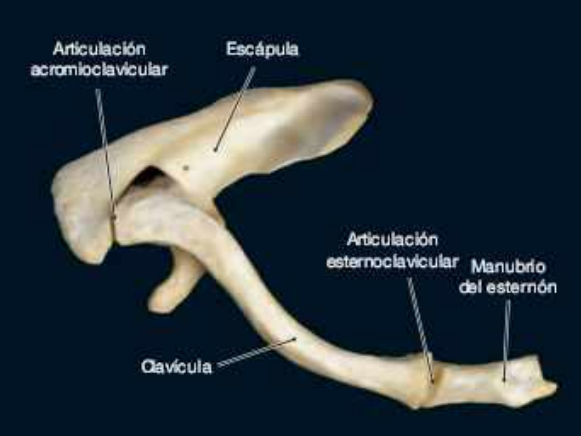


LÁMINA 5.3e HOMBRO Y CUELLO. VISTA ANTERIOR

LÁMINA 5.5 HUESOS DE LA CINTURA ESCAPULAR DERECHA. VISTA SUPERIOR

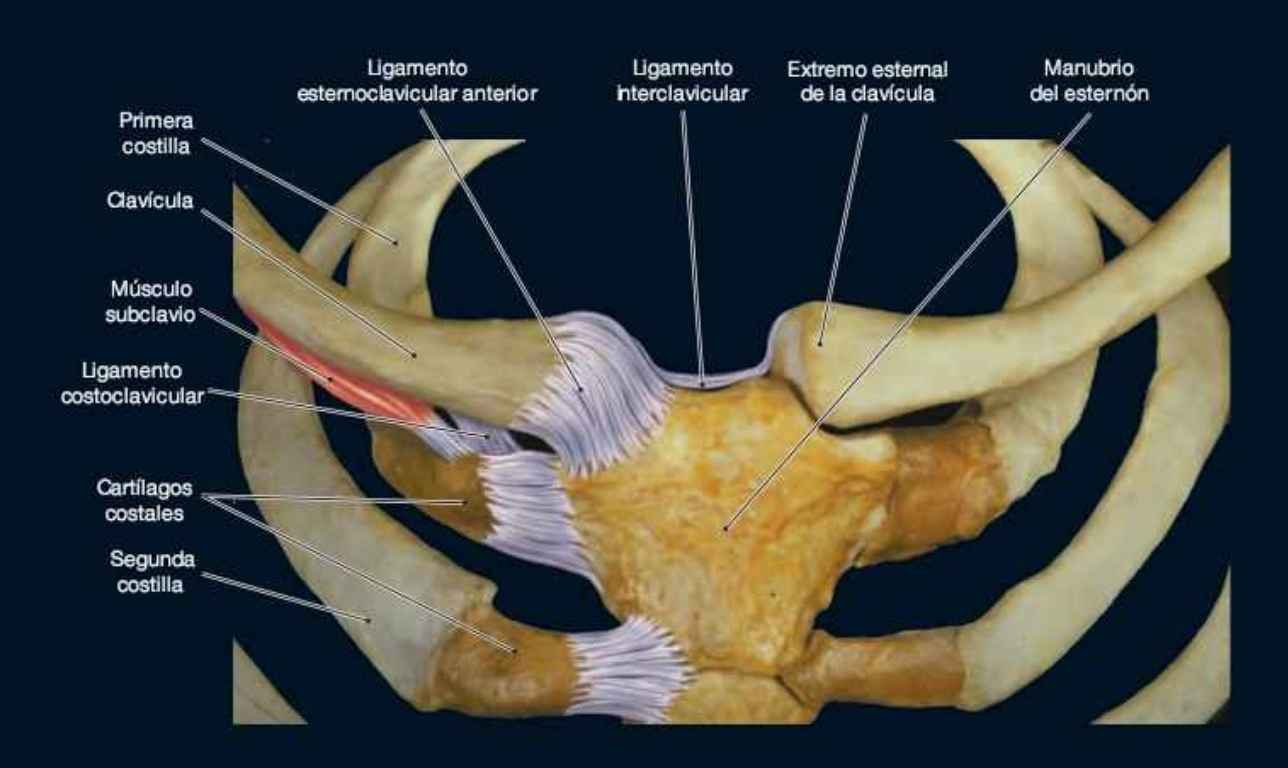
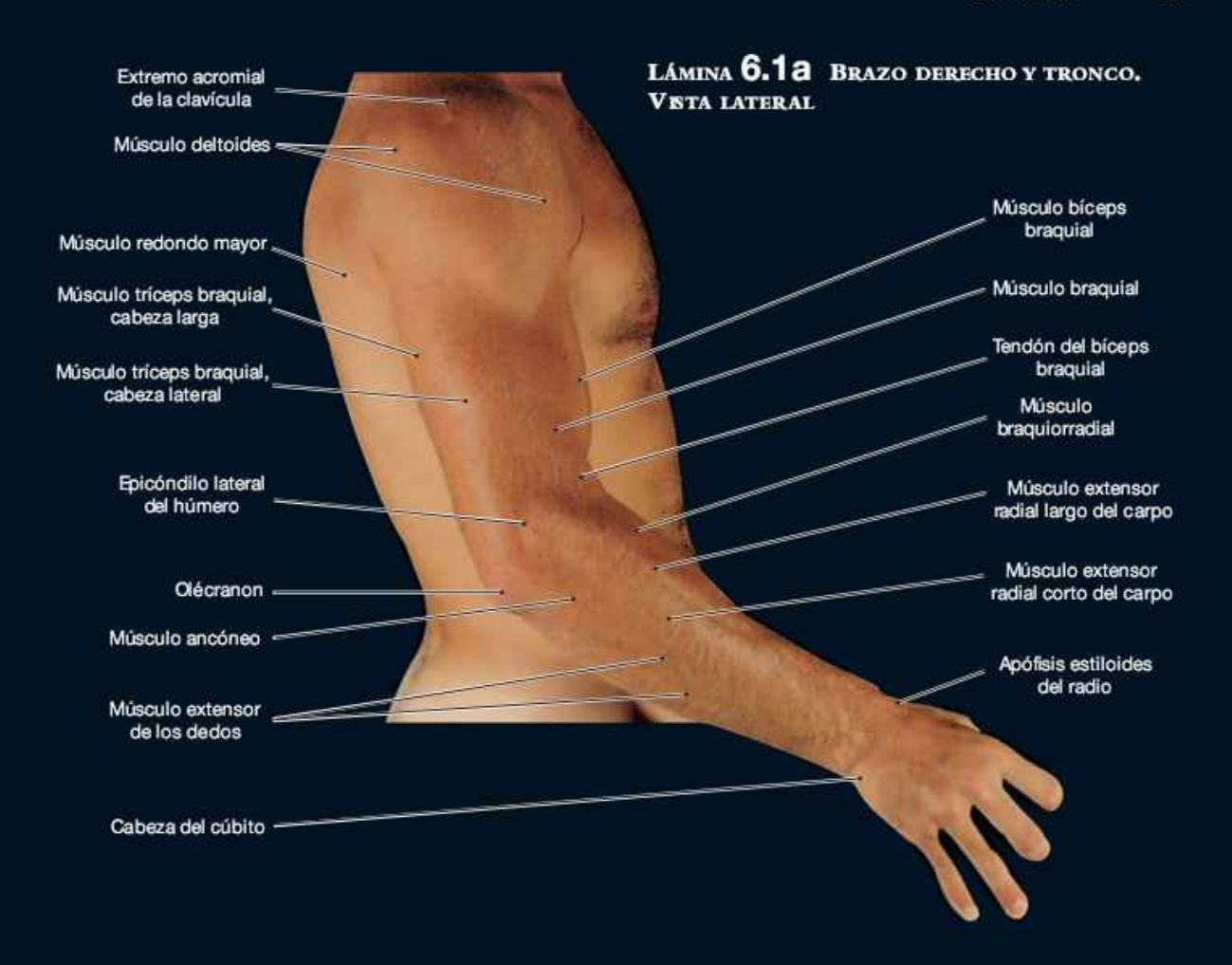


LÁMINA 5.4 ARTICULACIÓN ESTERNOCIAVICULAR



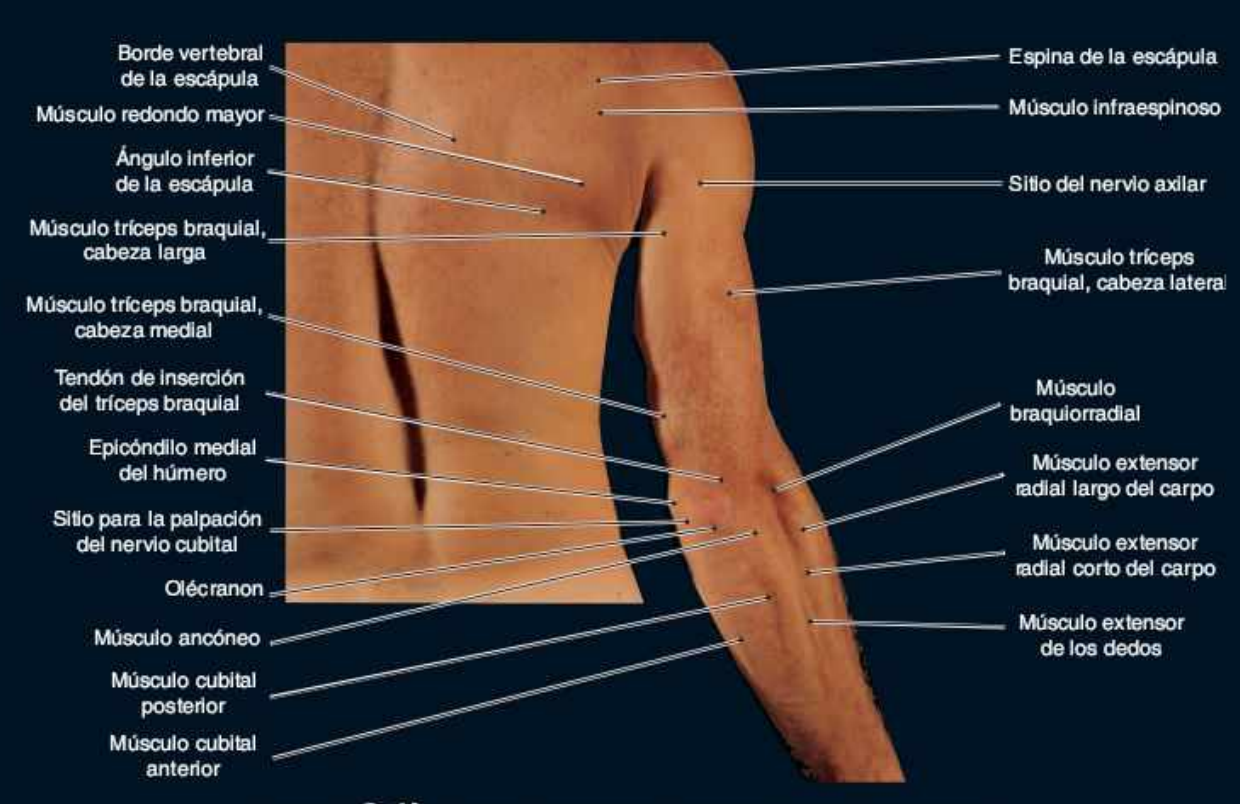


Lámina 6.1b Brazo derecho y tronco, Vista posterior

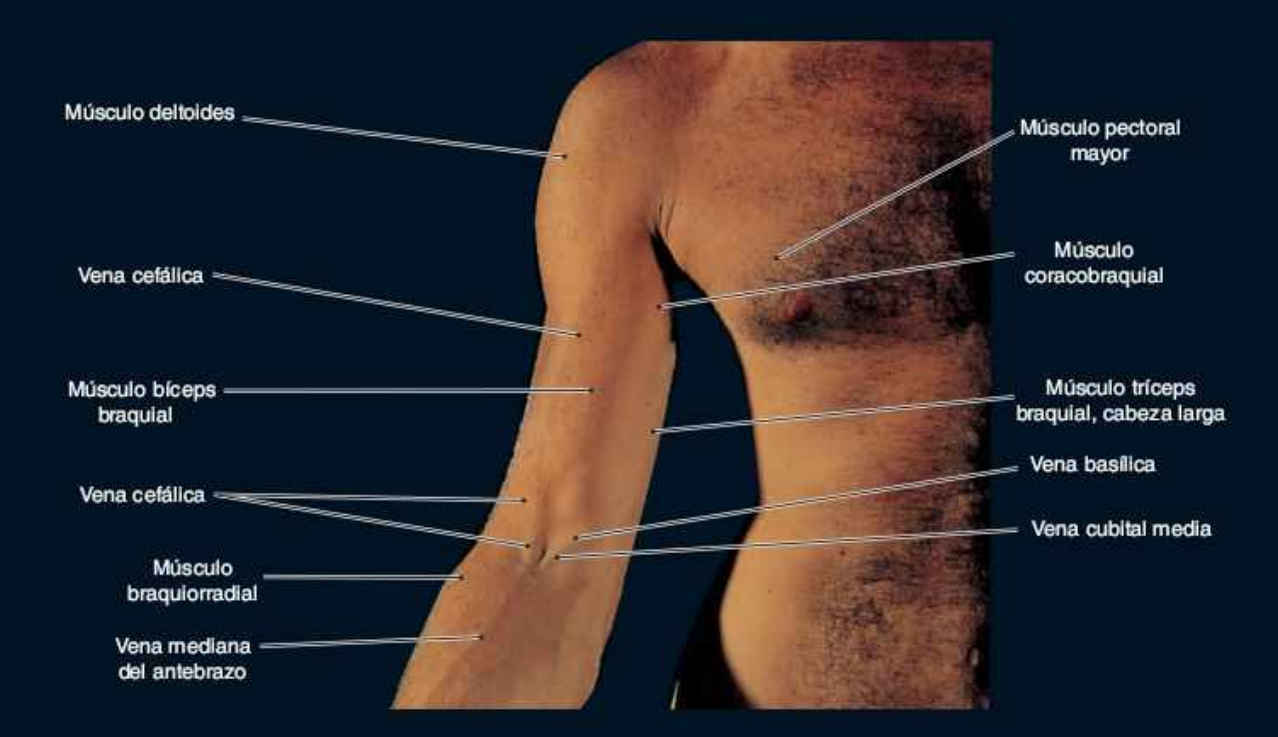


LÁMINA 6.1C BRAZO DERECHO Y TRONCO. VISTA ANTERIOR

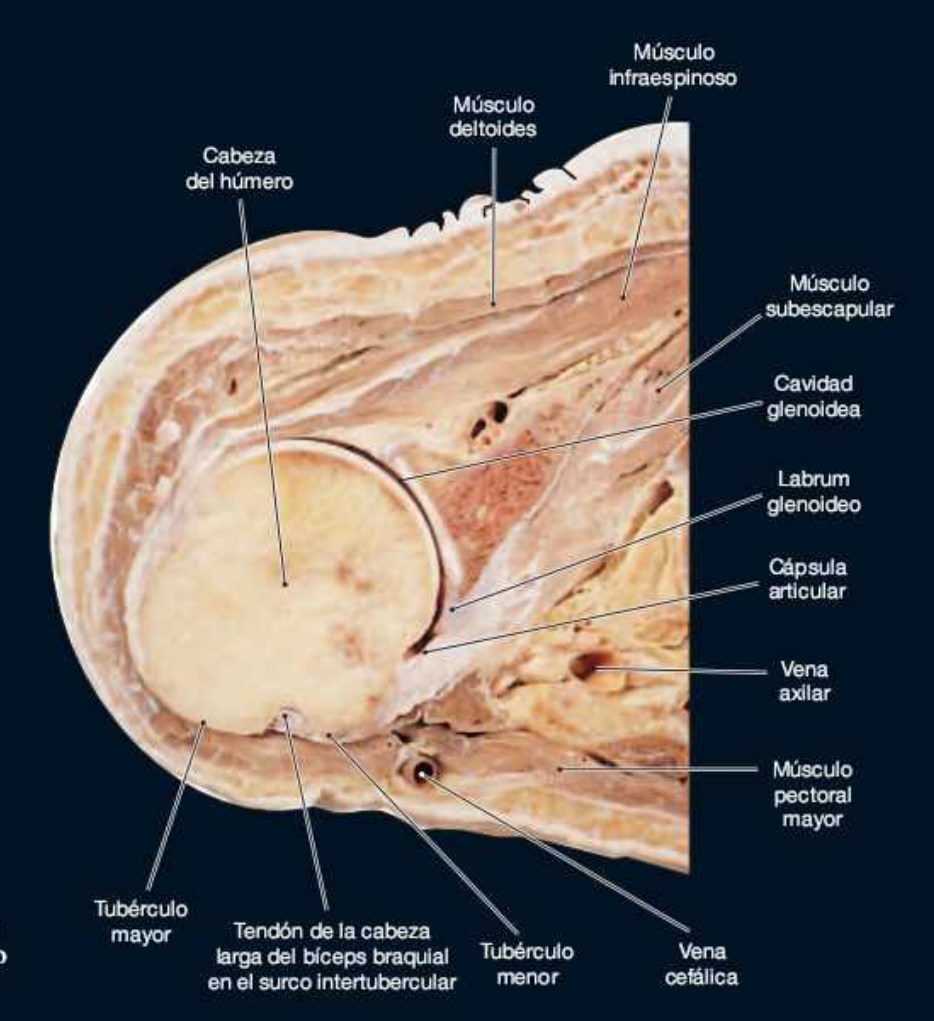


LÁMINA 6.1d SECCIÓN HORIZONTAL DEL HOMBRO DERECHO

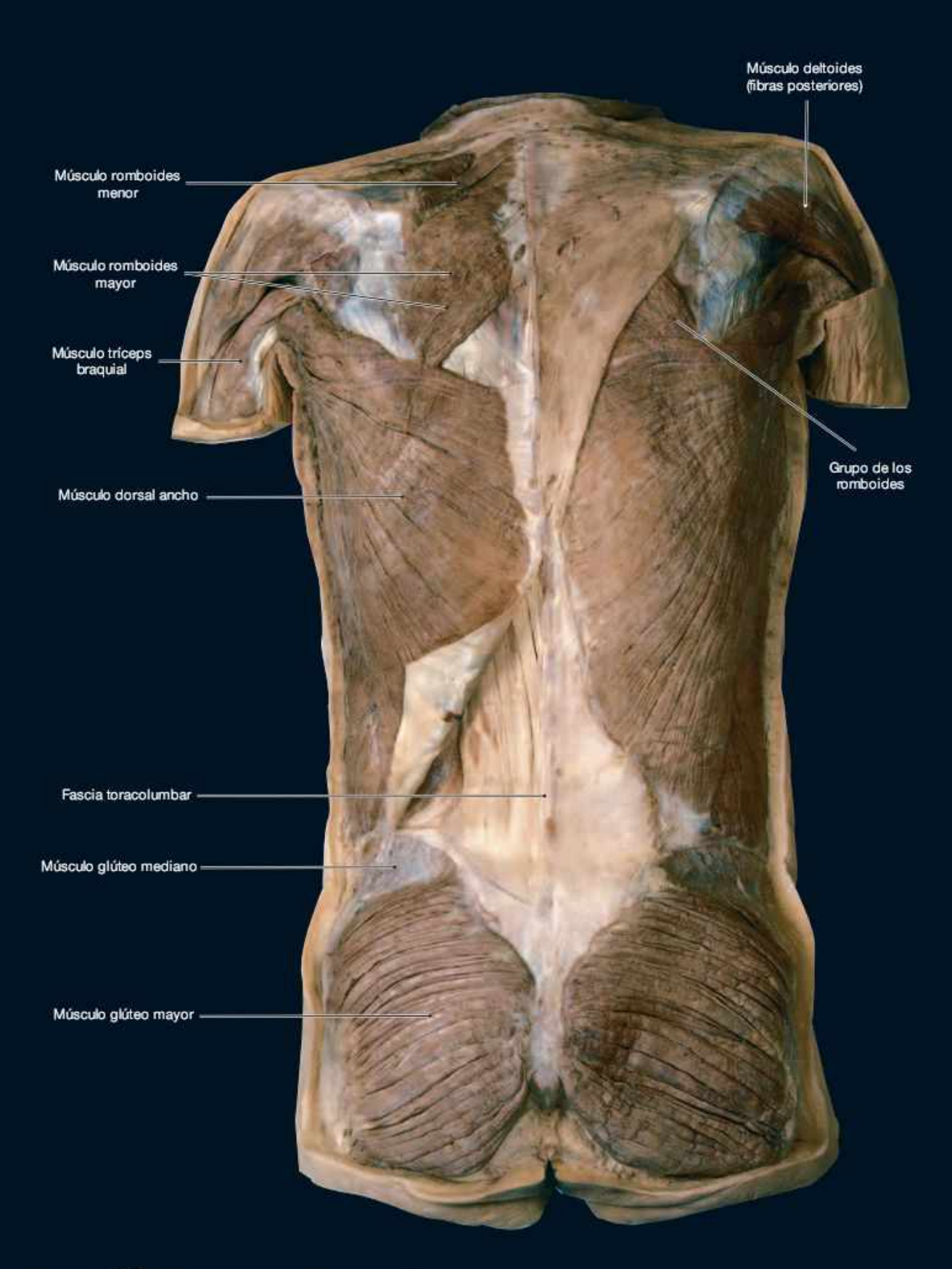


LÁMINA 6.16 TRONCO. VISTA POSTERIOR

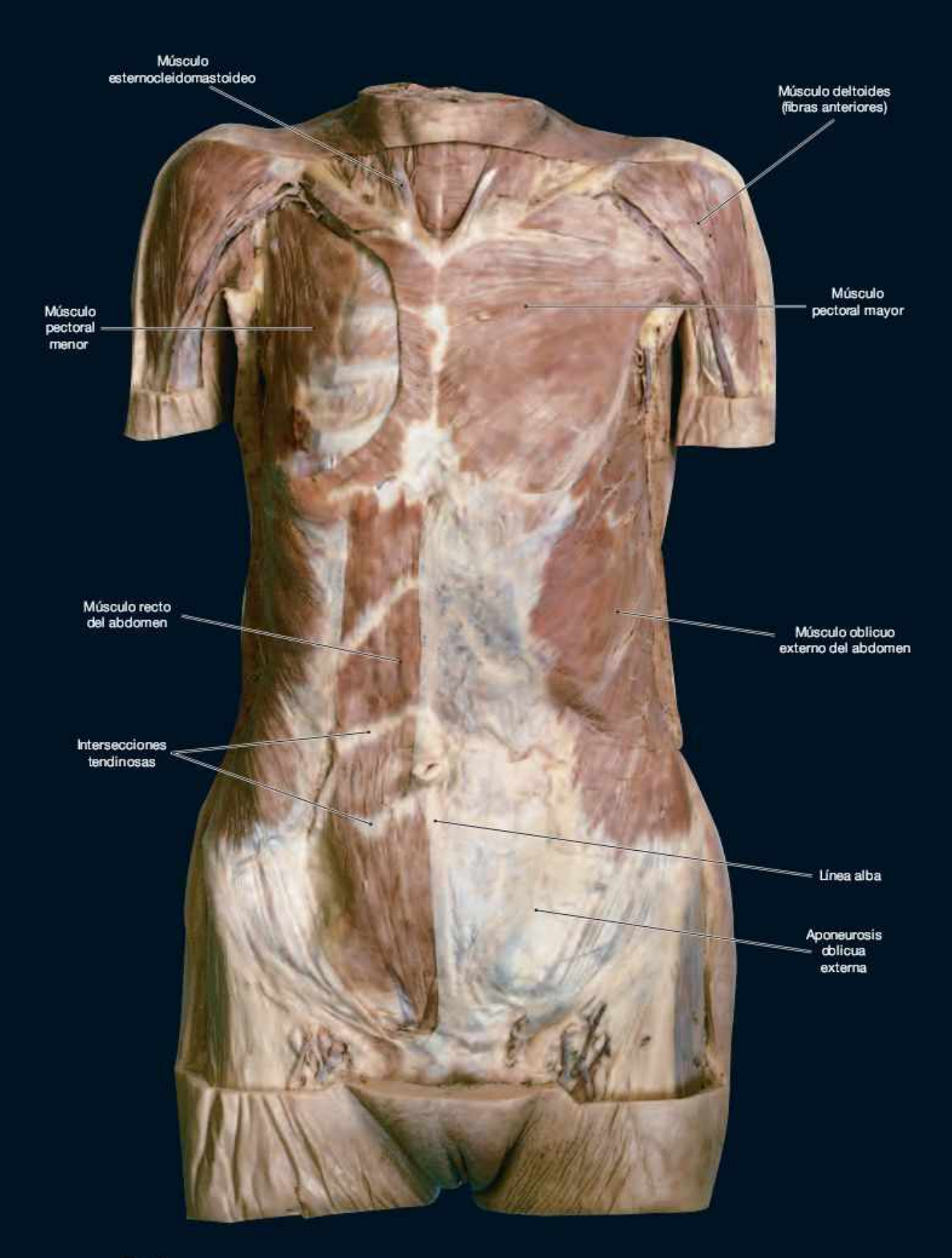
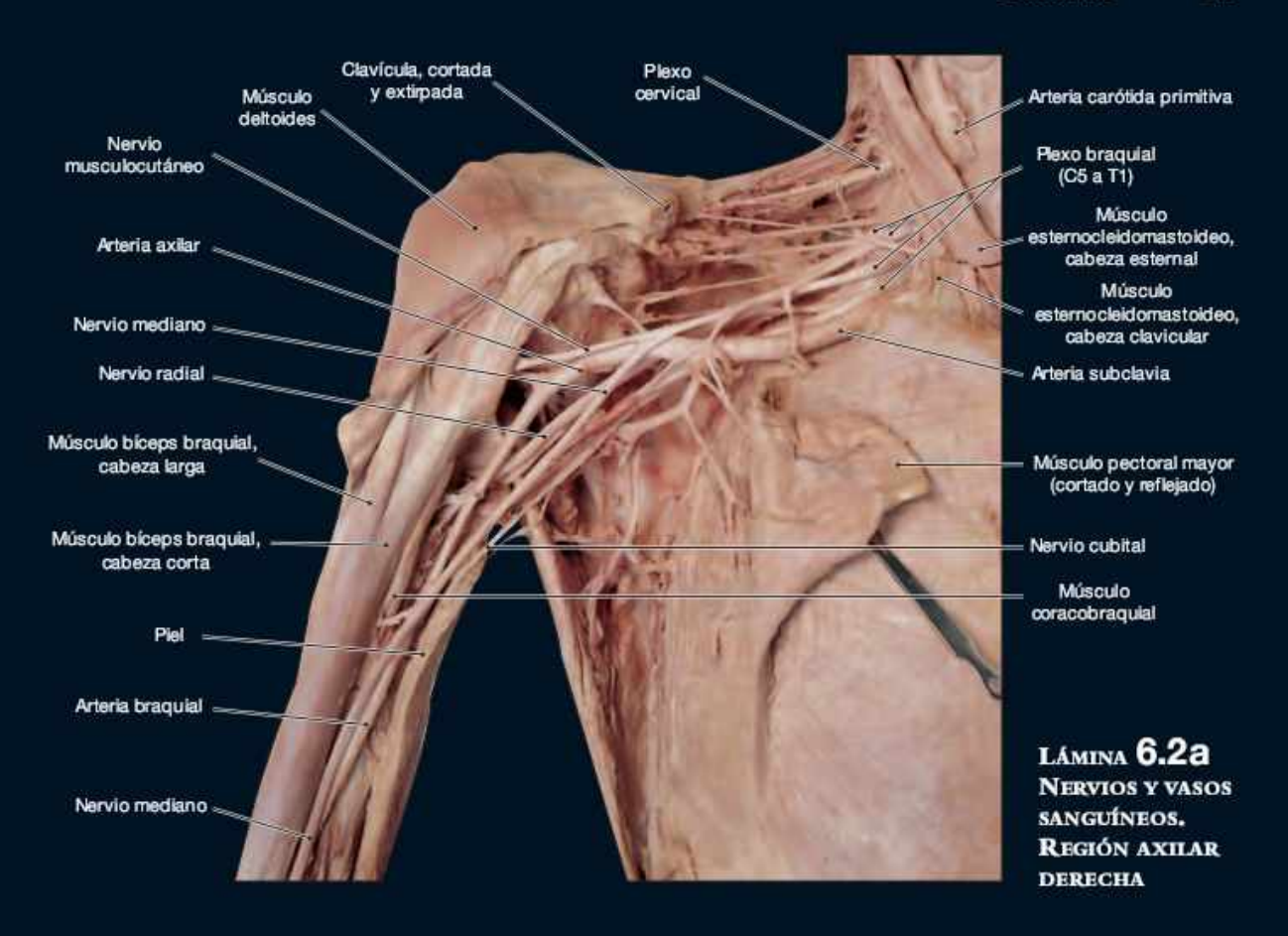
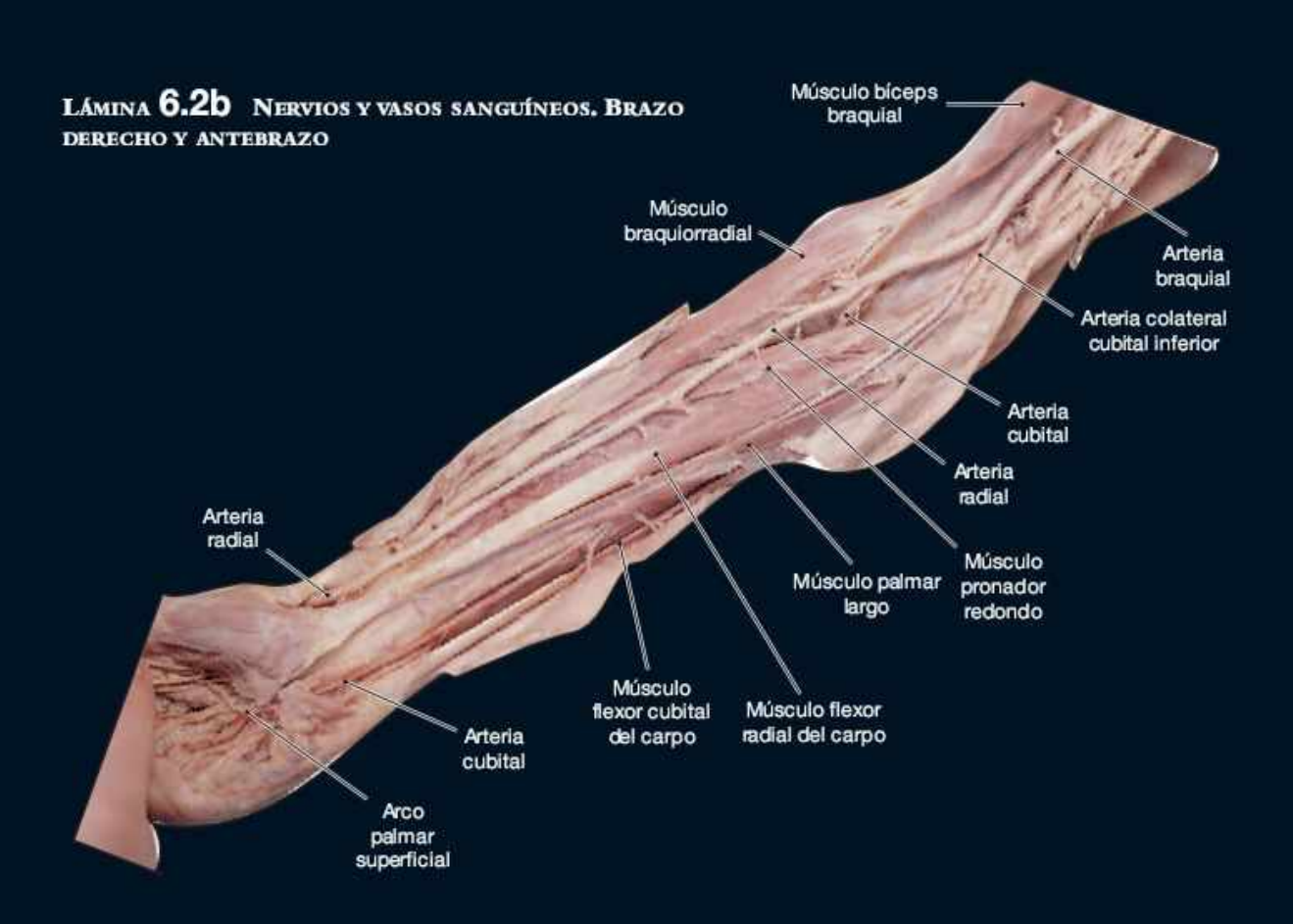


LÁMINA 6.1f TRONCO, VISTA ANTERIOR





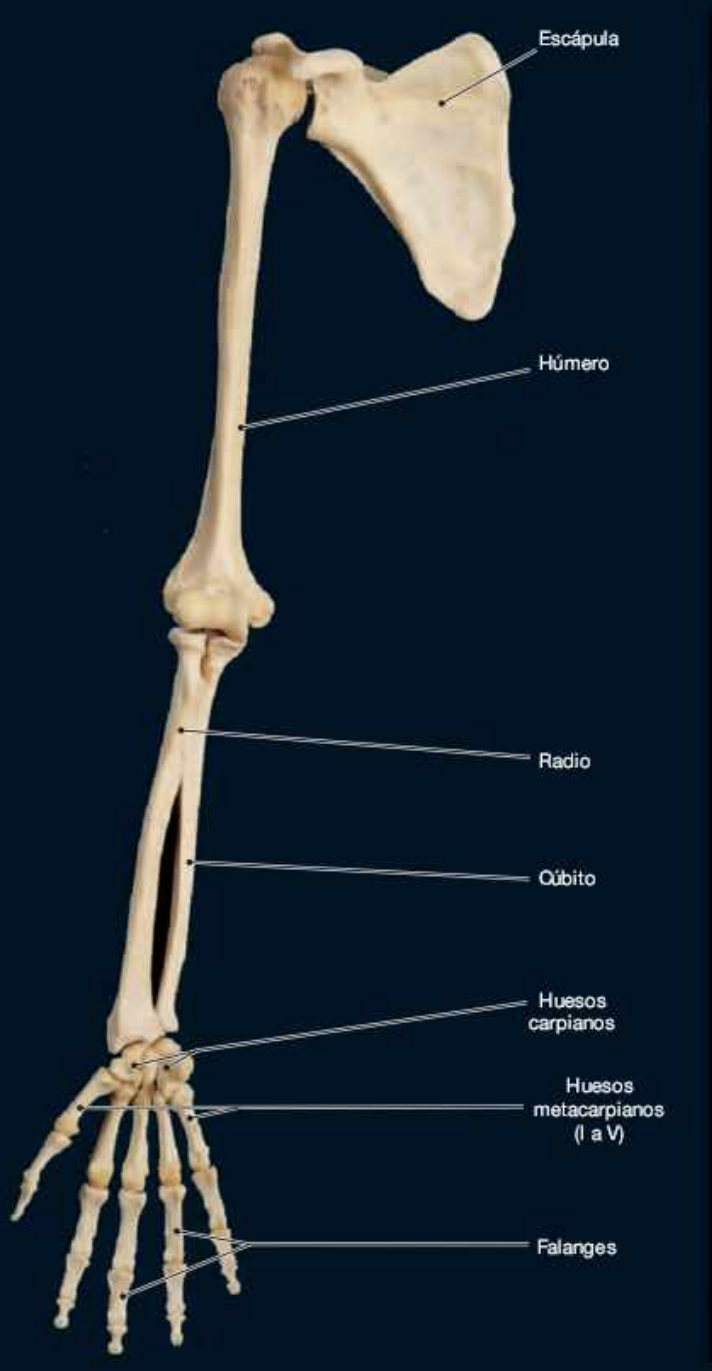






LÁMINA 6.2d HUESOS DE LA EXTREMIDAD INFERIOR DERECHA. VISTA LATERAL



LÁMINA 6.3a EXTREMIDAD SUPERIOR DERECHA. SUPERFICIE ANTERIOR. ANATOMÍA DE SUPERFICIE



LÁMINA 6.3b EXTREMIDAD SUPERIOR DERECHA, SUPERFICIE ANTERIOR, MÚSCULOS

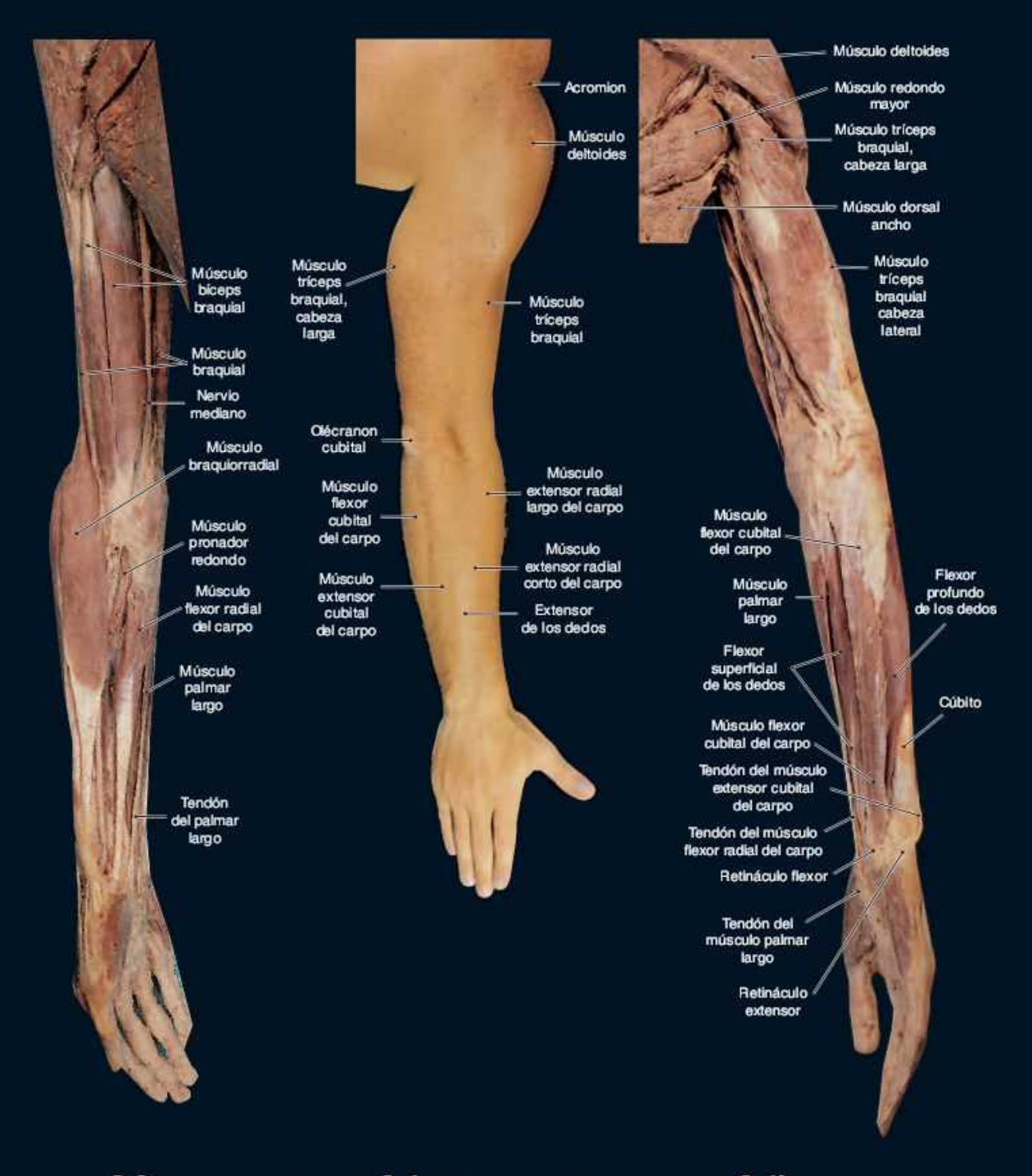
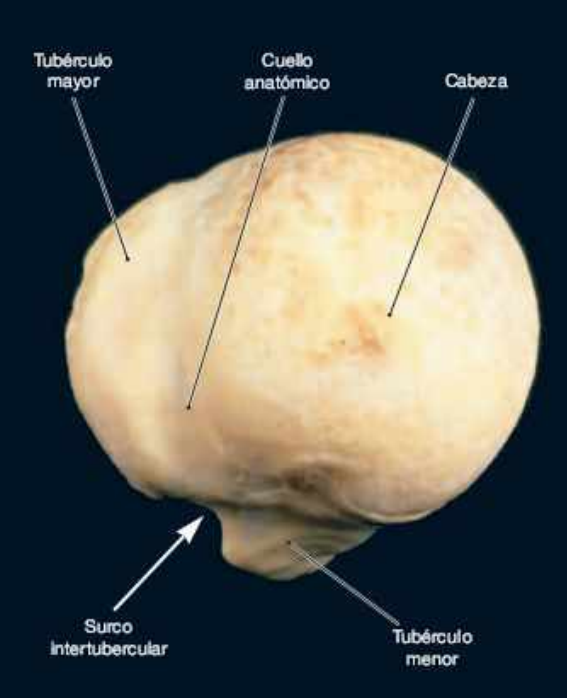


LÁMINA 6.3C
EXTREMIDAD SUPERIOR
DERECHA, VISTA
ANTERIOR, DISECCIÓN
SUPERFICIAL

LÁMINA 6.4a EXTREMIDAD SUPERIOR DERECHA. SUPERFICIE POSTERIOR. POSICIONES DE REFERENCIA

LÁMINA 6.4b EXTREMIDAD SUPERIOR DERECHA. VISTA POSTERIOR. D'SECCIÓN SUPERFICIAL



Epicóndilo Fosa Epicóndilo lateral decraneana Epicóndilo medial

LÁMINA 6.4d EXTREMO DISTAL DEL HÚMERO DERECHO. VISTA INFERIOR

LÁMINA 6.4C EXTREMO PROXIMAL DEL HÚMERO DERECHO, VISTA SUPERIOR



LÁMINA 6.4e ARTICULACIÓN DEL CODO DERECHO. VISTA POSTERIOR

LÁMINA 6.4f ARTICULACIÓN DEL CODO DERECHO, VISTA ANTERIOR

LÁMINA 6.49 CÚBITO DERECHO, VISTA LATERAL



LÁMINA 6.4h SUPERFICIES ARTICULARES DENTRO DE LA ARTICULACIÓN DEL CODO DERECHO



LÁMINA 6.4 EL CODO, SECCIÓN OBLICUA, MODELO

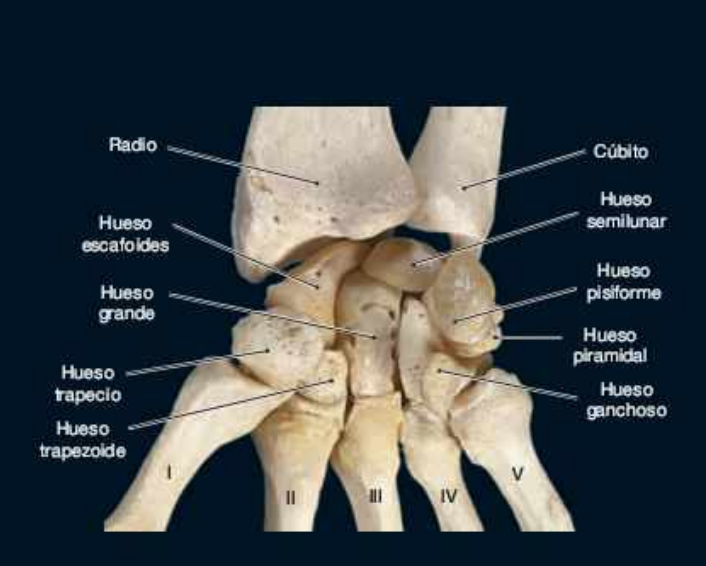


LÁMINA 6.5a HUESOS DE LA MUÑECA DERECHA.
VISTA ANTERIOR

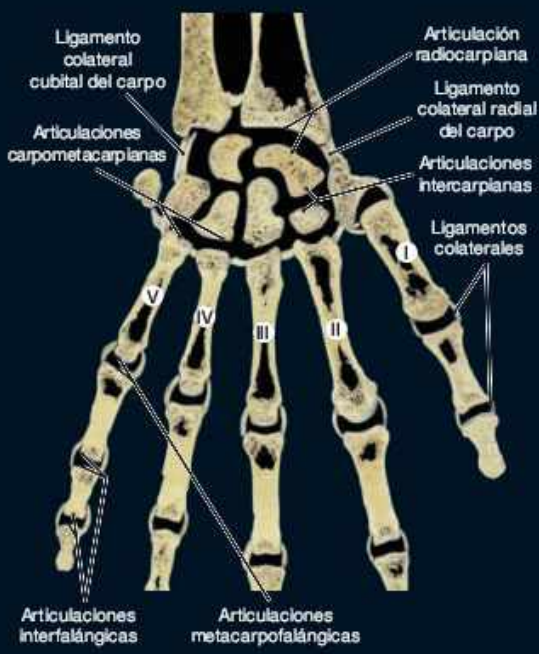


LÁMINA 6.5b ARTICULACIONES DE LA MUÑECA DERECHA. SECCIÓN CORONAL

LÁMINA **6.63** LA MANO DERECHA. VISTA POSTERIOR. MODELO



LÁMINA 6.6b LA MANO DERECHA. VISTA ANTERIOR. DISECCIÓN SUPERFICIAL



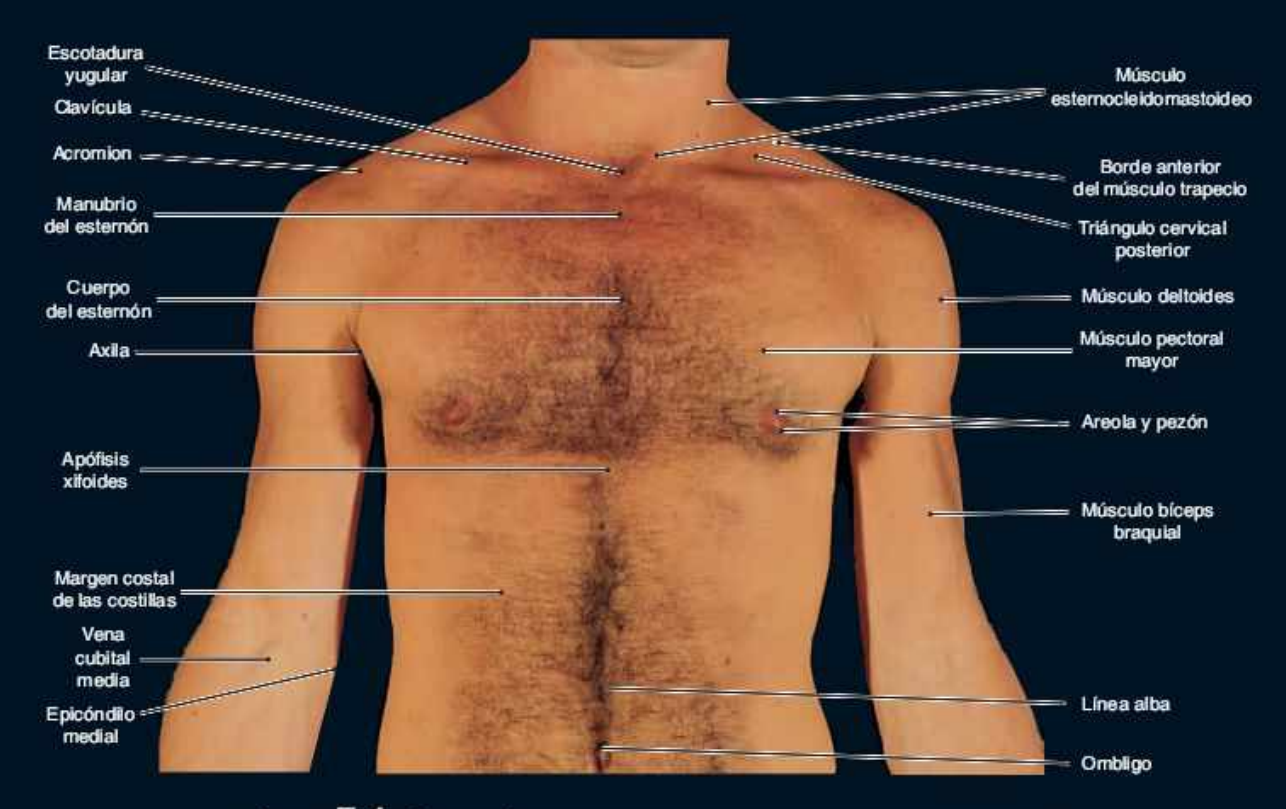


LÁMINA 7.1 ANATOMÍA DE SUPERFICIE DEL TRONCO. VISTA ANTERIOR

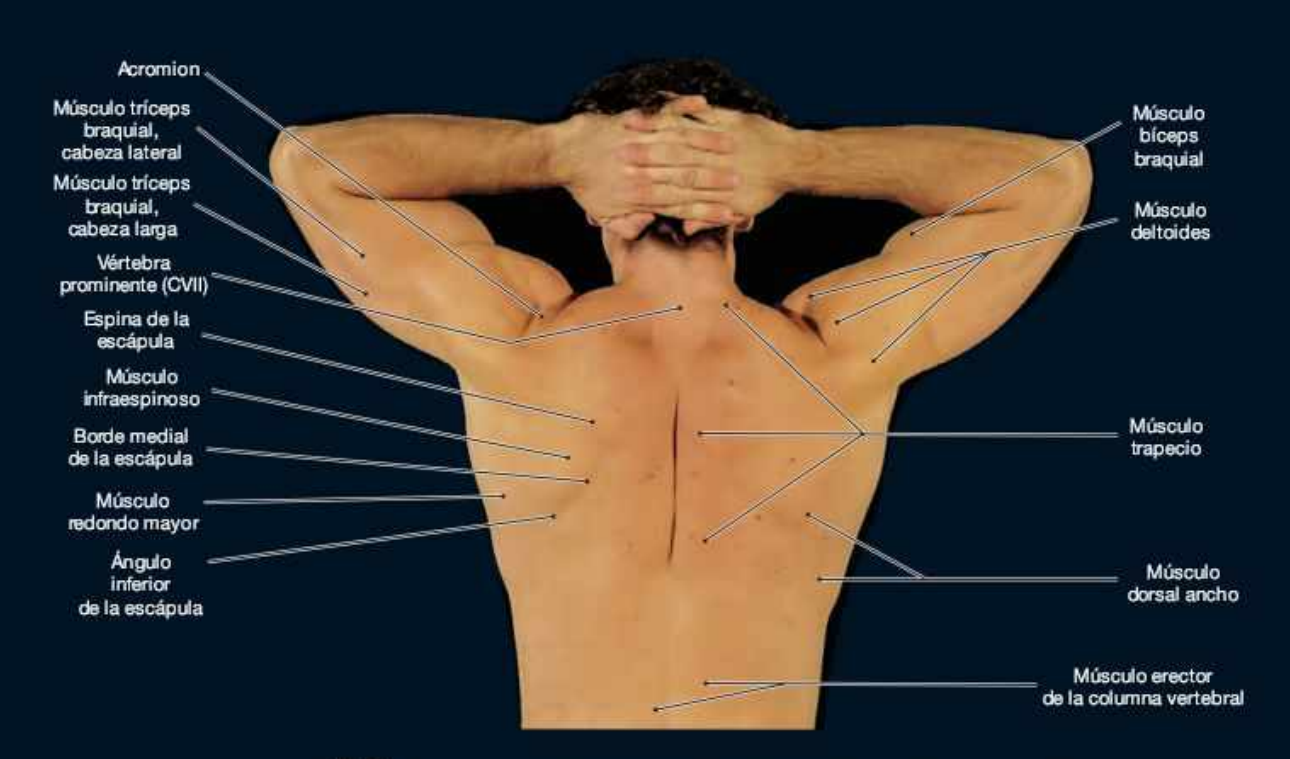


LÁMINA 7.2 ANATOMÍA DE SUPERFICIE DEL TRONCO. VISTA POSTERIOR

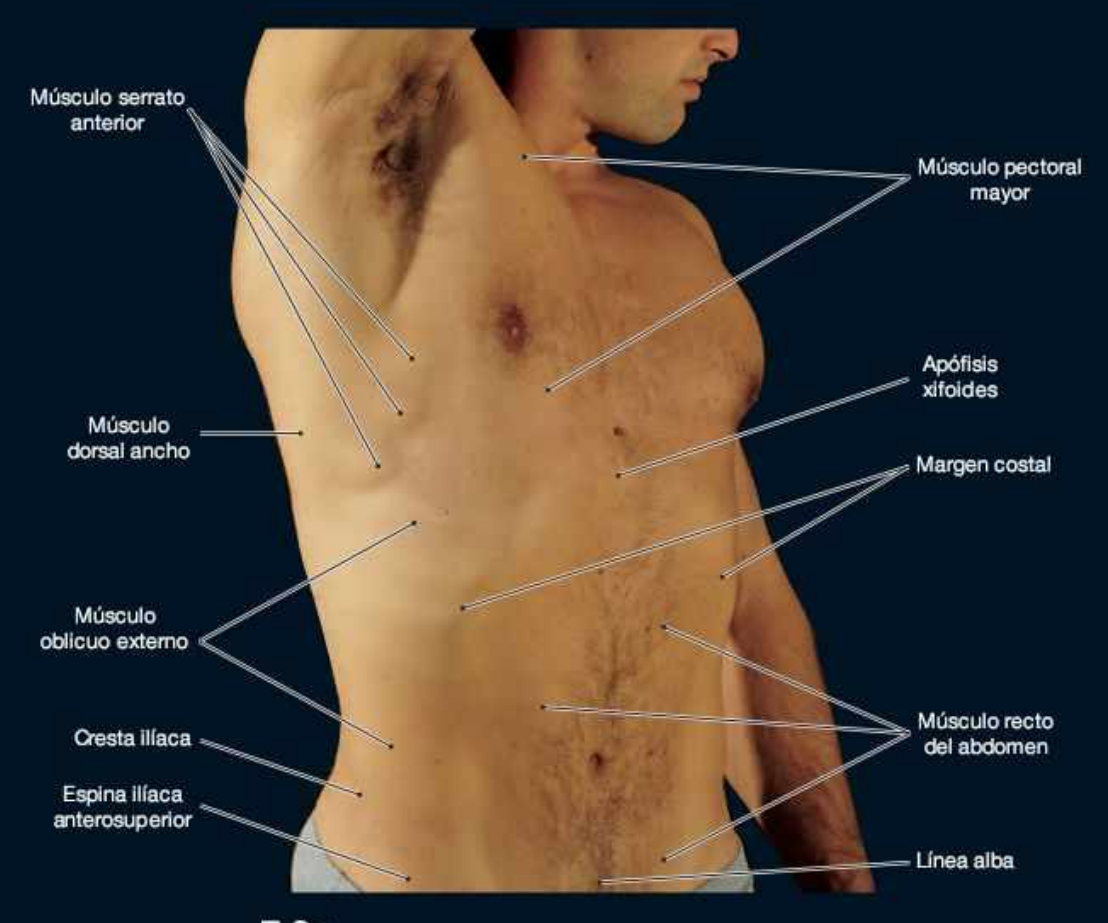


LÁMINA 7.3a ANATOMÍA DEL ABDOMEN, VISTA ANTEROLATERAL

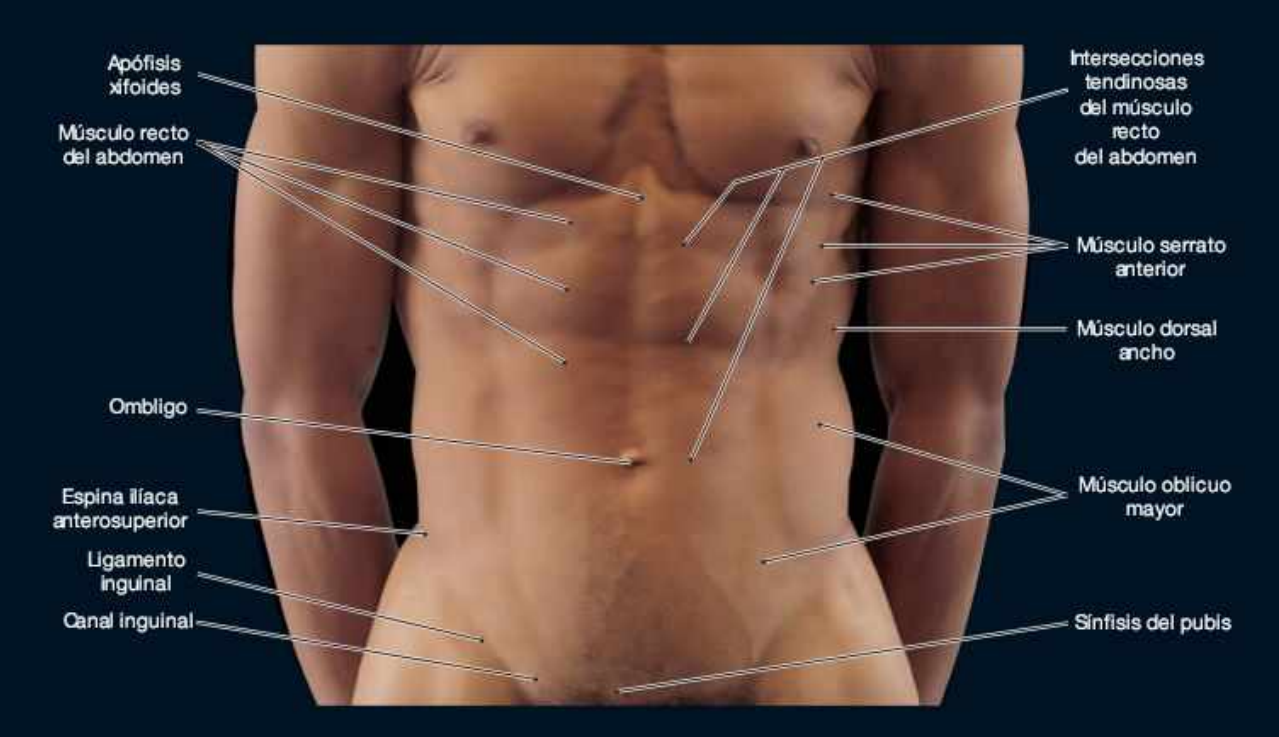
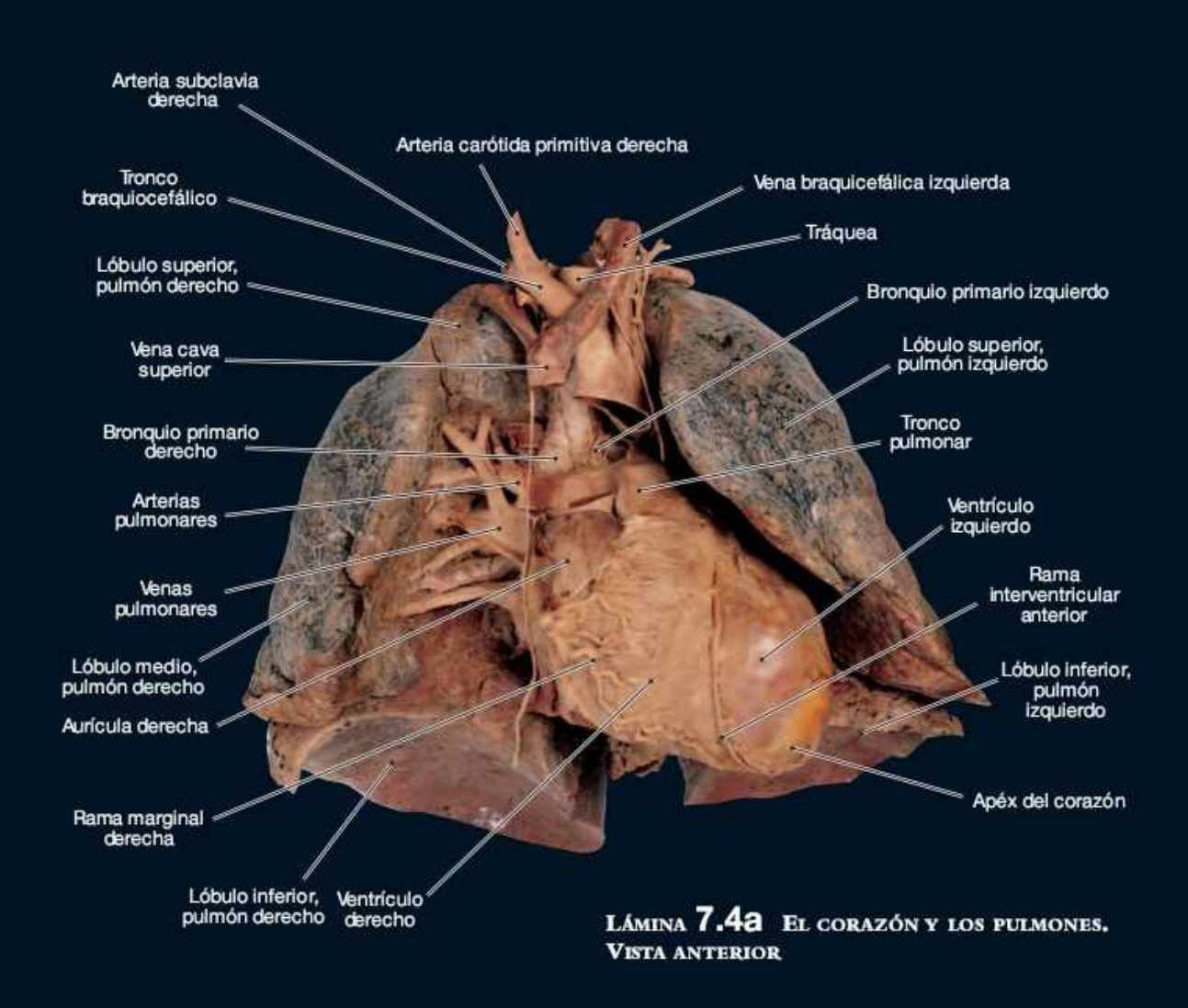


LÁMINA 7.3b ANATOMÍA DE SUPERFICIE DEL ABDOMEN. VISTA ANTERIOR



LÁMINA 7.3C PARED ABDOMINAL. VISTA ANTERIOR

LÁMINA 7.3d MÚSCULOS ABDOMINALES



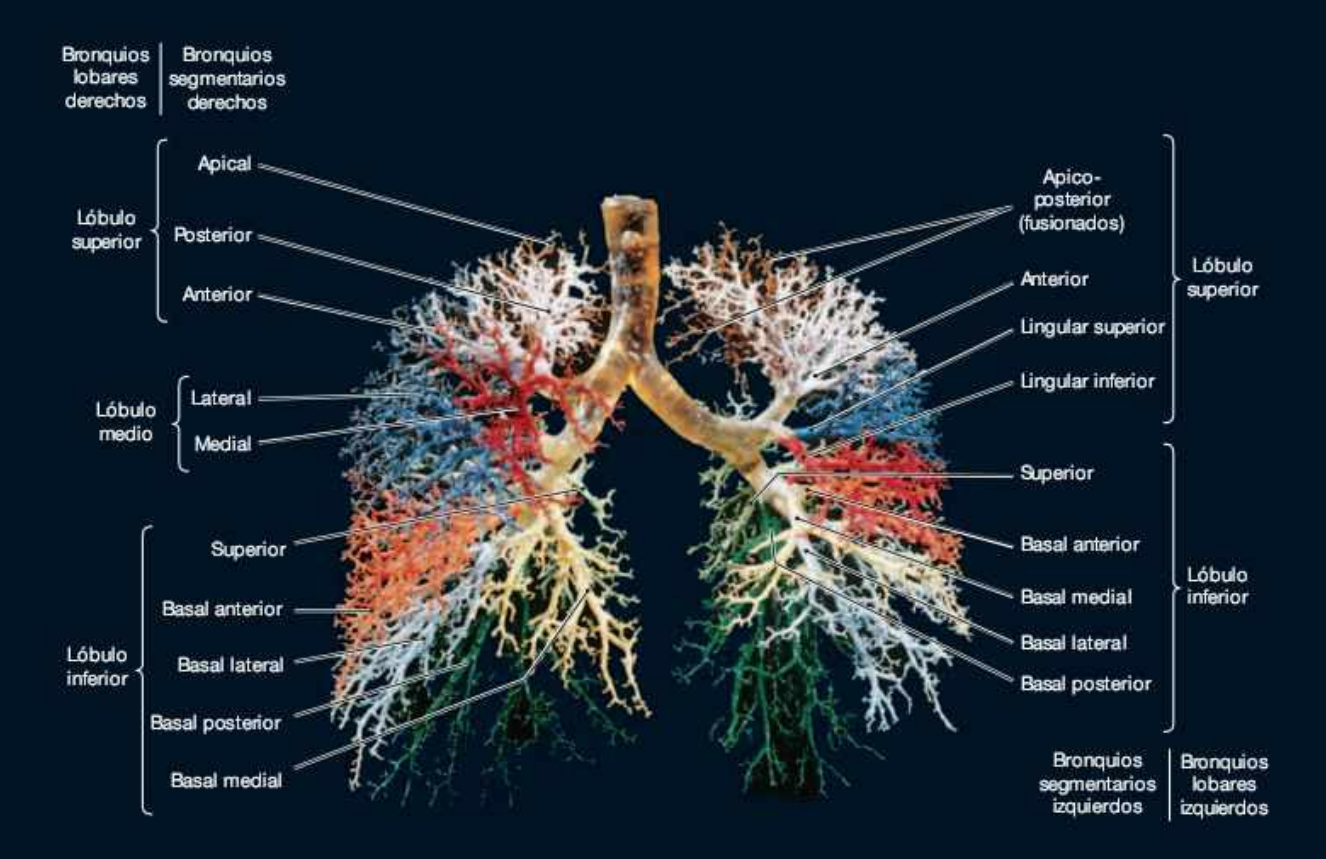


LÁMINA 7.4b Molde de corrosión con codificación de colores del árbol bronquial.

Vista anterior

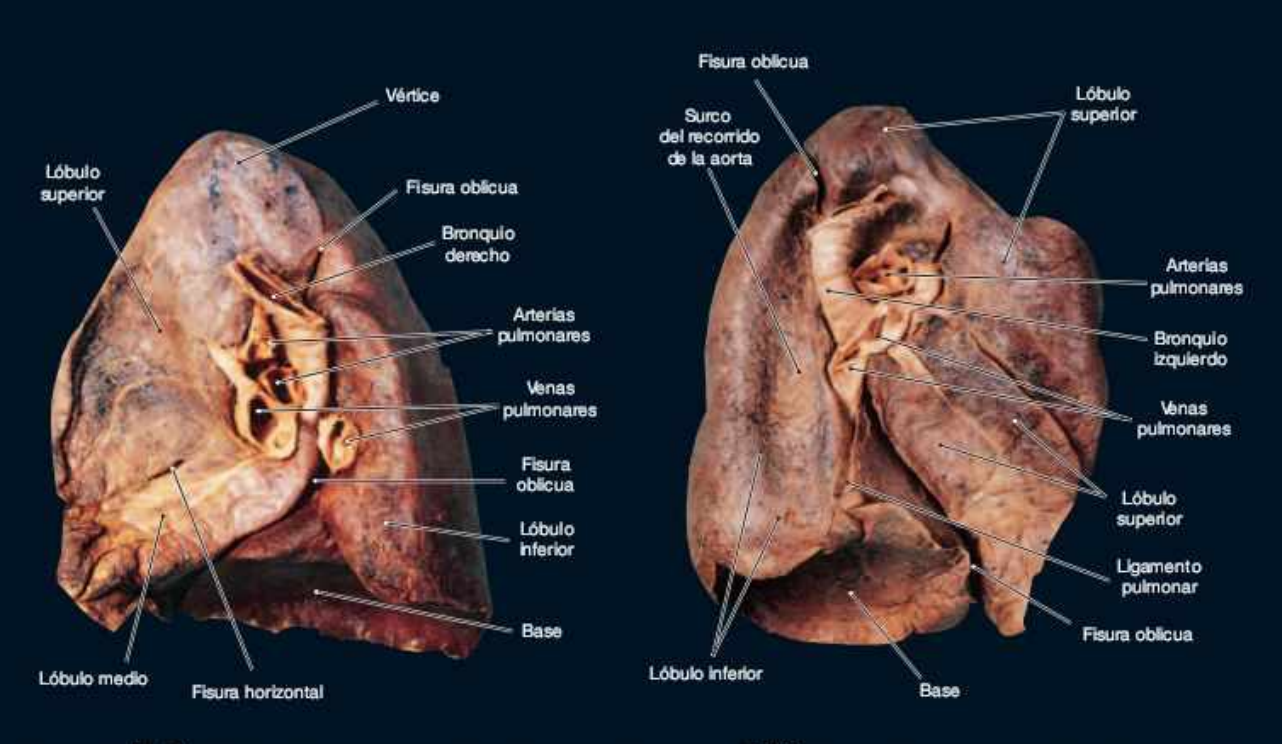


LÁMINA 7.58 CARA MEDIASTÍNICA DEL PULMÓN LÁMINA 7.5b CARA MEDIASTÍNICA DEL PULMÓN EQUIERDO



LÁMINA 7.5C SEGMENTOS BRONCOPULMONARES LÁMINA 7.5C SEGMENTOS BRONCOPULMONARES DEL PULMÓN DERECHO, VISTA LATERAL

DEL PULMÓN IZQUIERDO. VISTA LATERAL

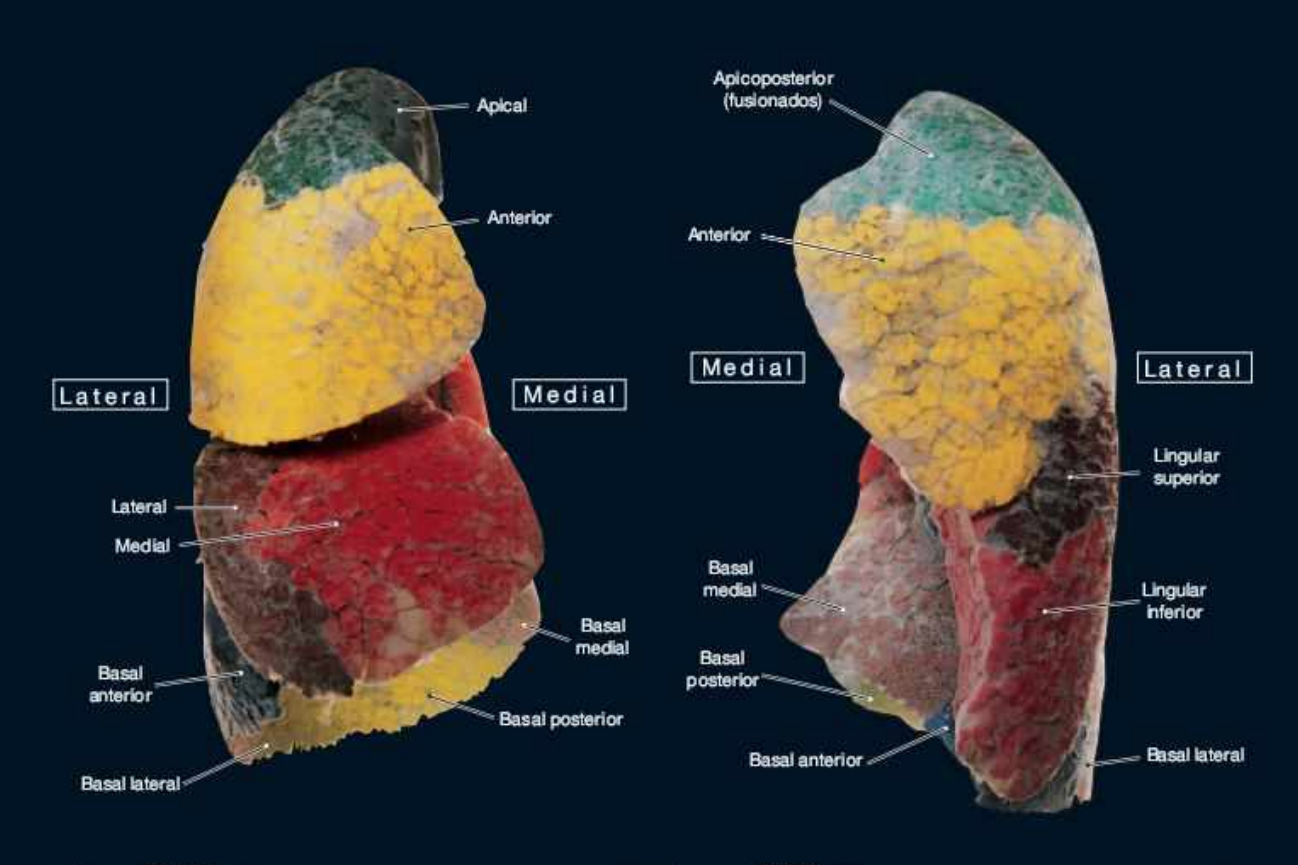


LÁMINA 7.50 SEGMENTOS BRONCOPULMONARES DEL PULMÓN DERECHO. VISTA ANTERIOR

LÁMINA 7.5f SEGMENTOS BRONCOPULMONARES DEL PULMÓN IZQUIERDO, VISTA ANTERIOR

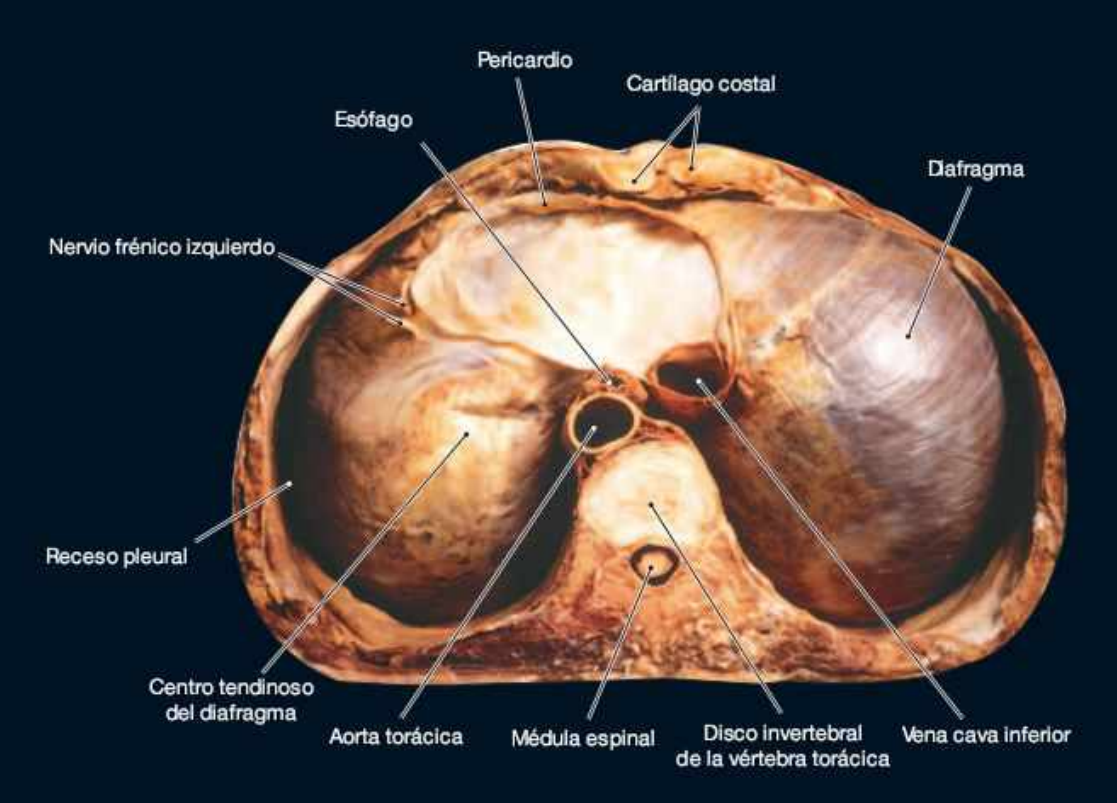


Lámina 7.5g Diafragma. Vista superior

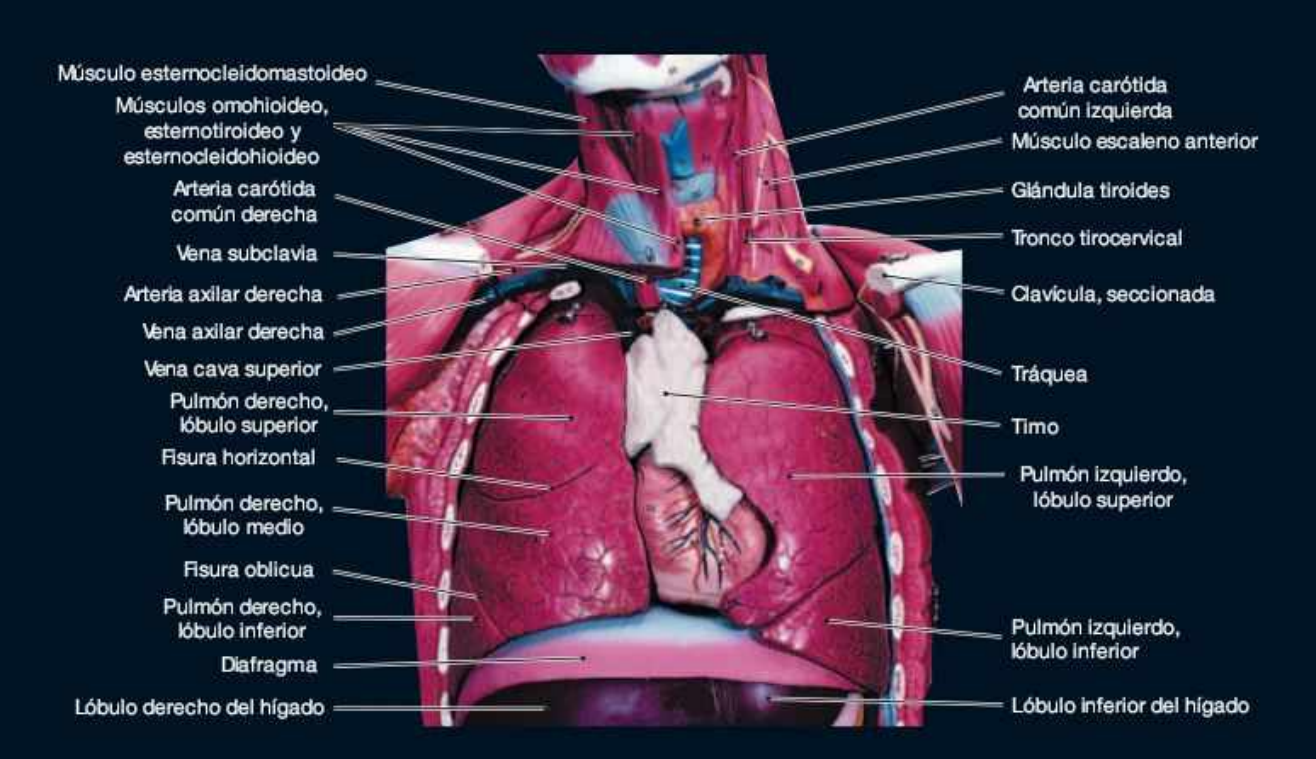


Lámina 7.6a Órganos torácicos. Vista superficial, Modelo

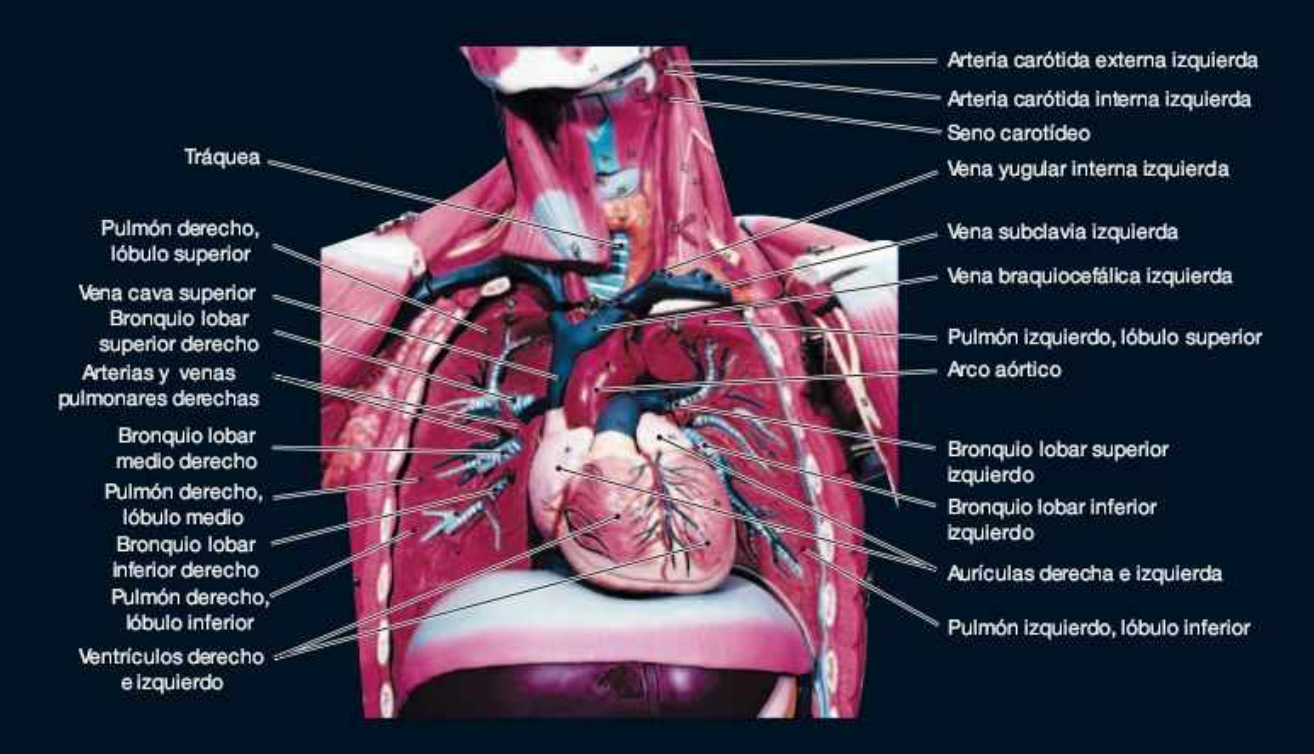


LÁMINA 7.6b ÓRGANOS TORÁCICOS, VISTA INTERMEDIA, MODELO

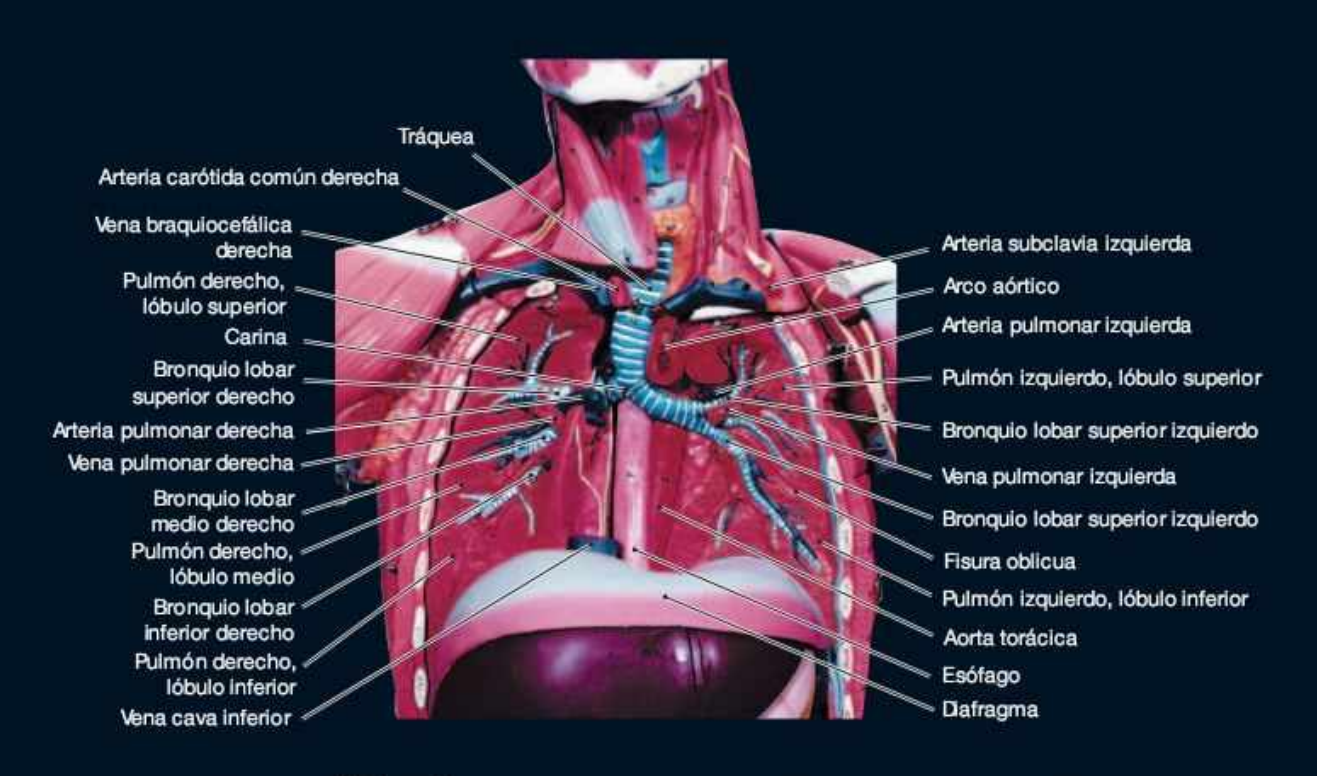


LÁMINA 7.6¢ ÓRGANOS TORÁCICOS. VISTA EN PROFUNDIDAD, MODELO

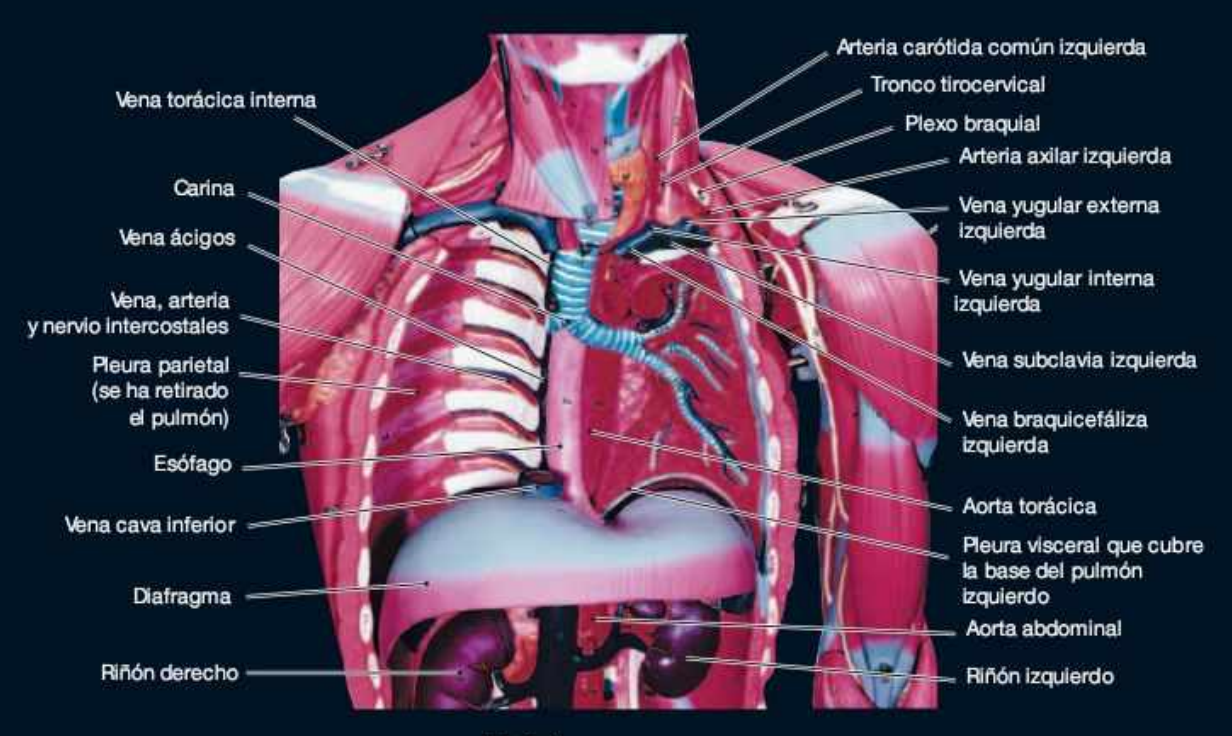


LÁMINA 7.6d LA CAVIDAD TORÁCICA

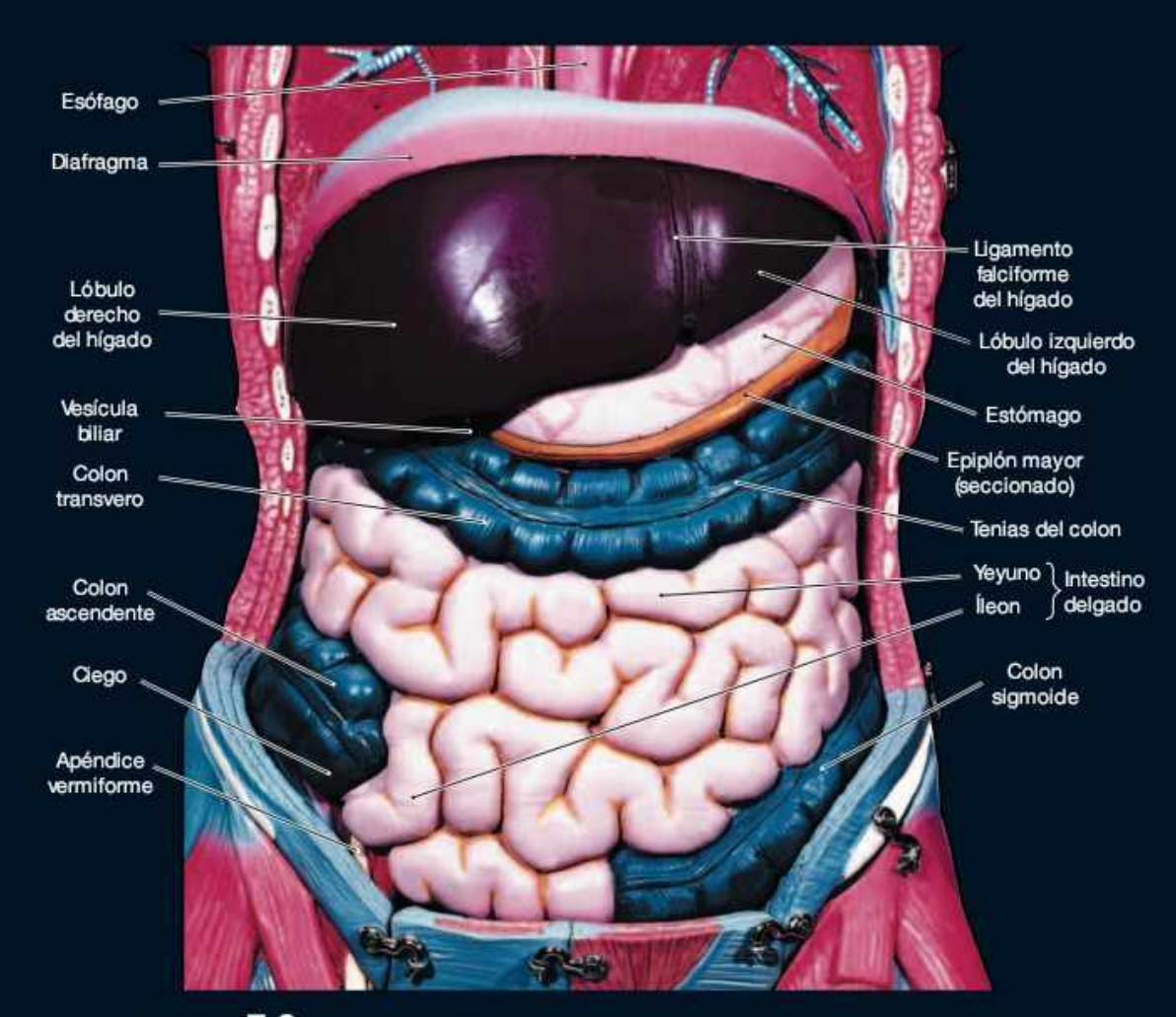


LÁMINA 7.6e VÍSCERAS ABDOMINOPÉLVICAS, VISTA ANTERIOR SUPERFICIAL



LÁMINA 7.78 PARTE SUPERIOR DE LA CAVIDAD ABDOMINOPÉLVICA. VISTA ANTERIOR

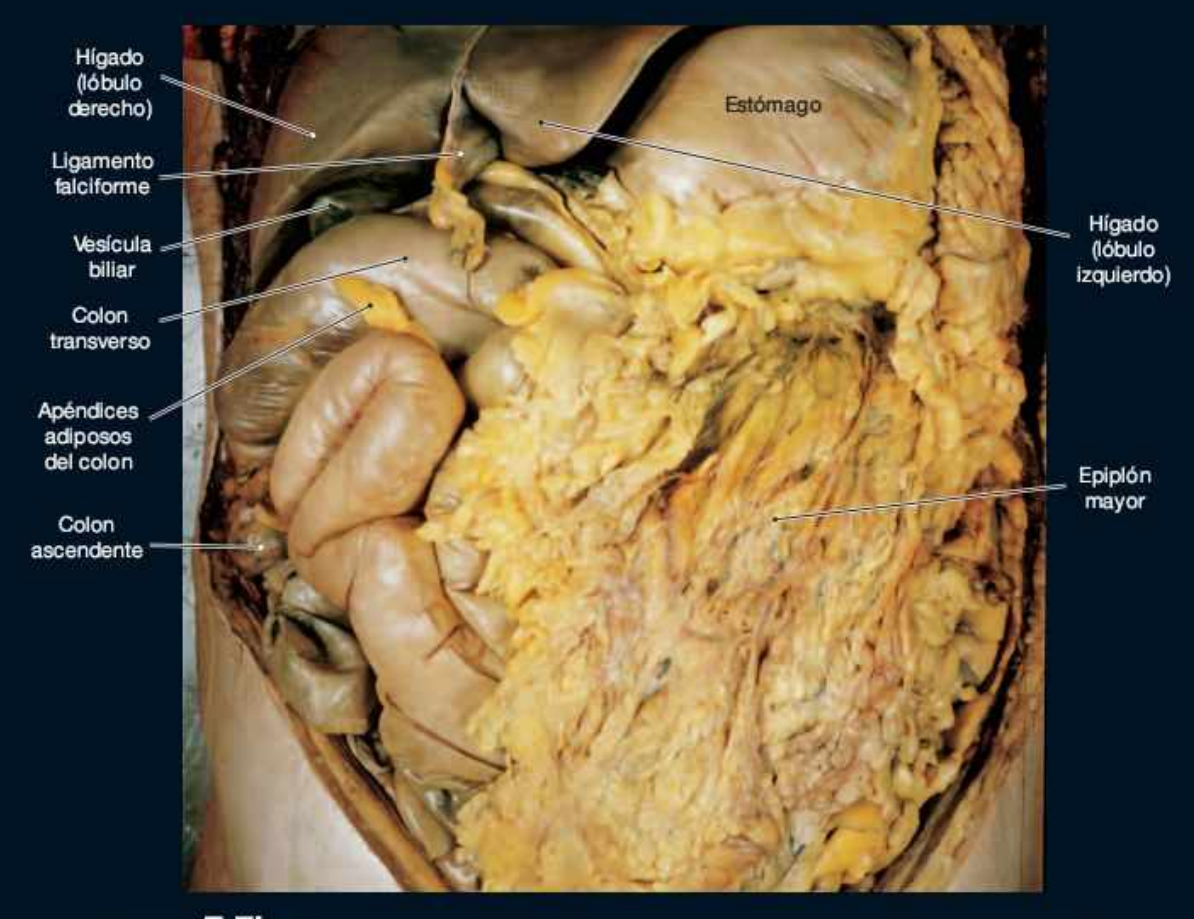


LÁMINA 7.7b PARTE INFERIOR DE LA CAVIDAD ABDOMINOPÉLVICA. VISTA ANTERIOR



LÁMINA 7.7C DISECCIÓN ABDOMINAL, EPIPLÓN MAYOR REFLEJADO SUPERIORMENTE

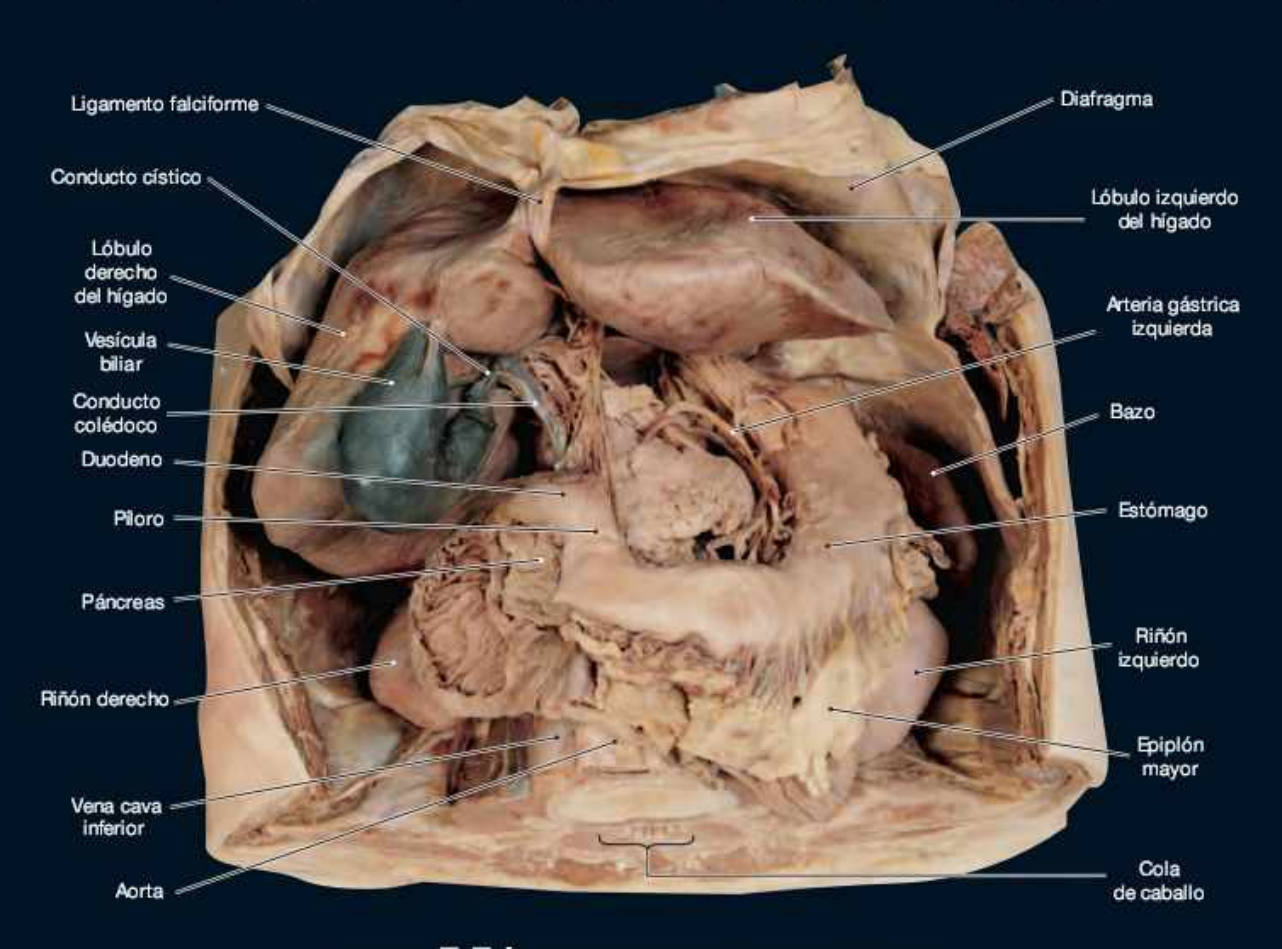


LÁMINA 7.7d HÍGADO Y VESÍCULA BILIAR IN SITU

44 LÁMINAS

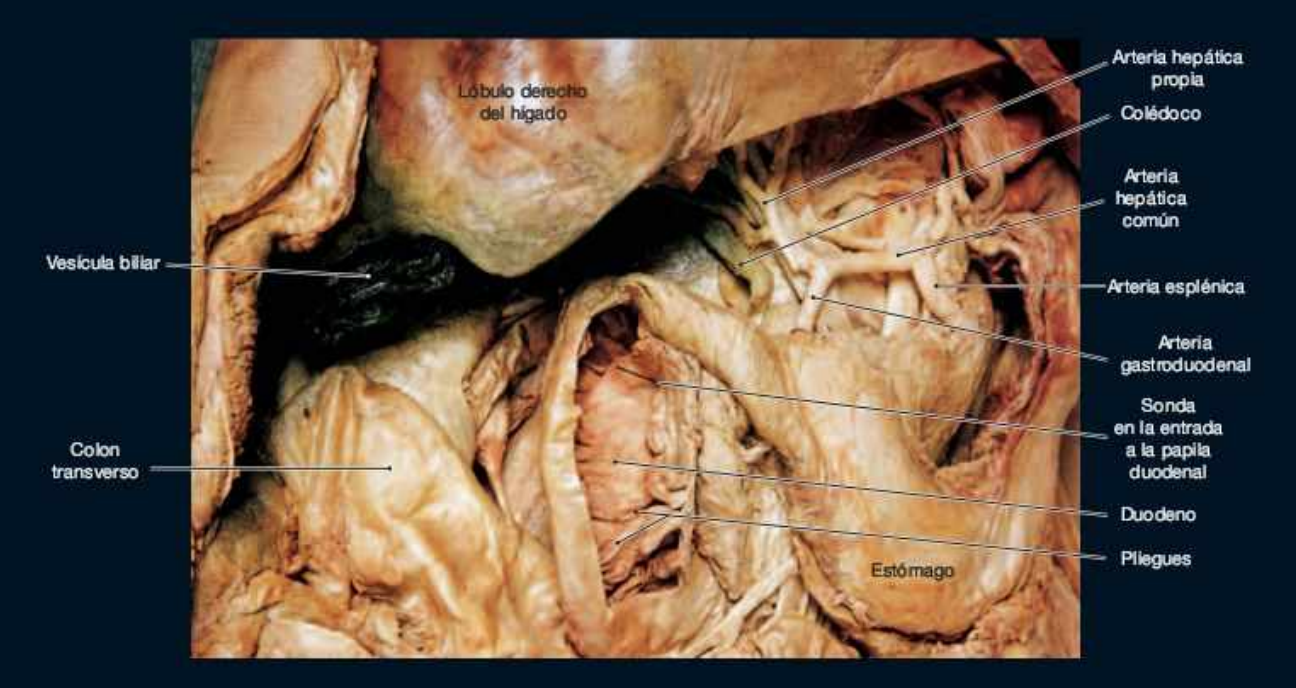
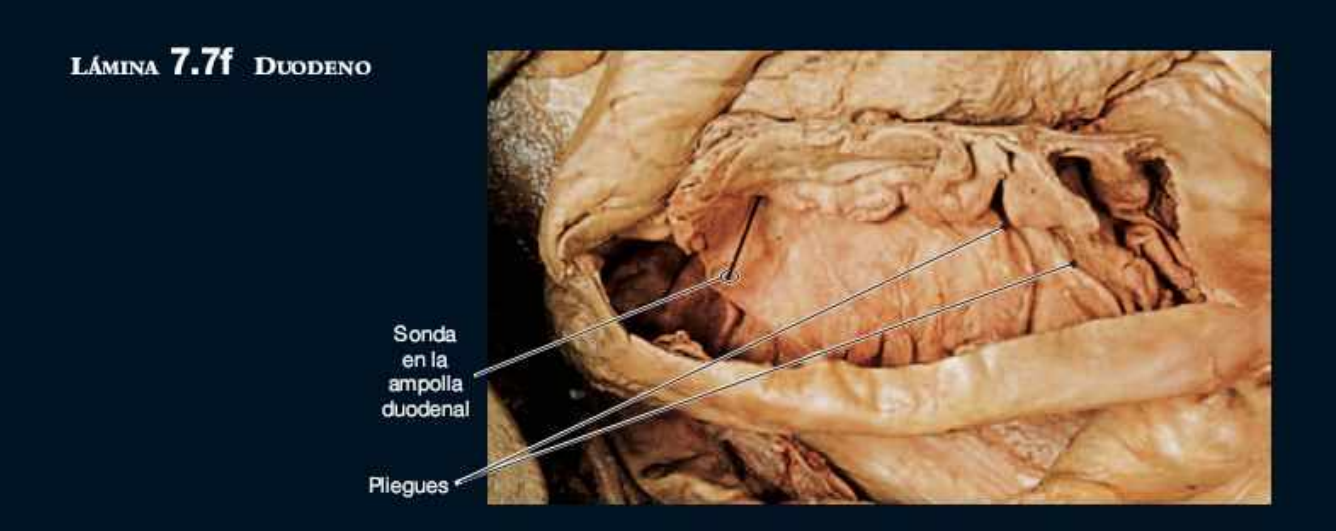


LÁMINA 7.76 DISECCIÓN ABDOMINAL. REGIÓN DUODENAL



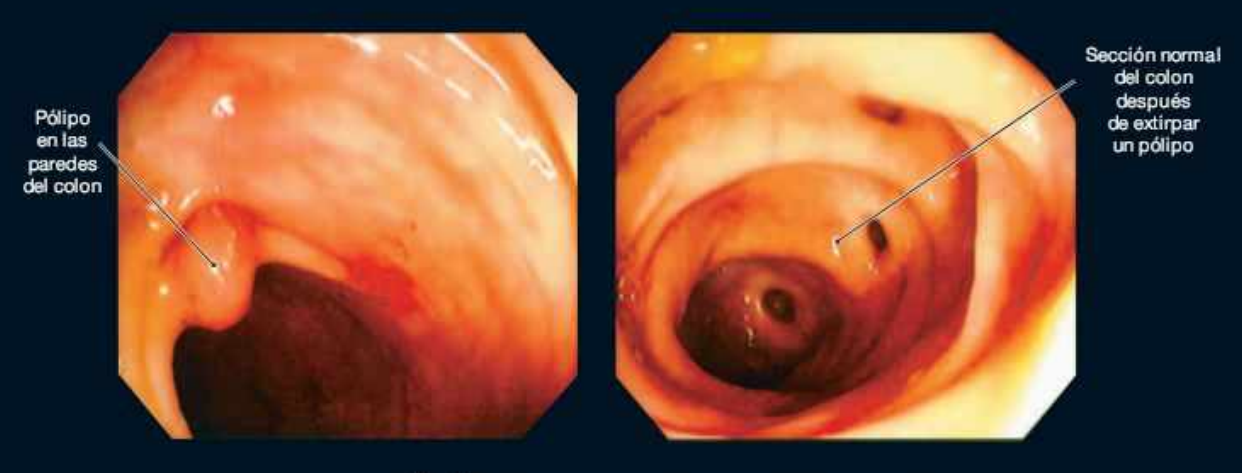
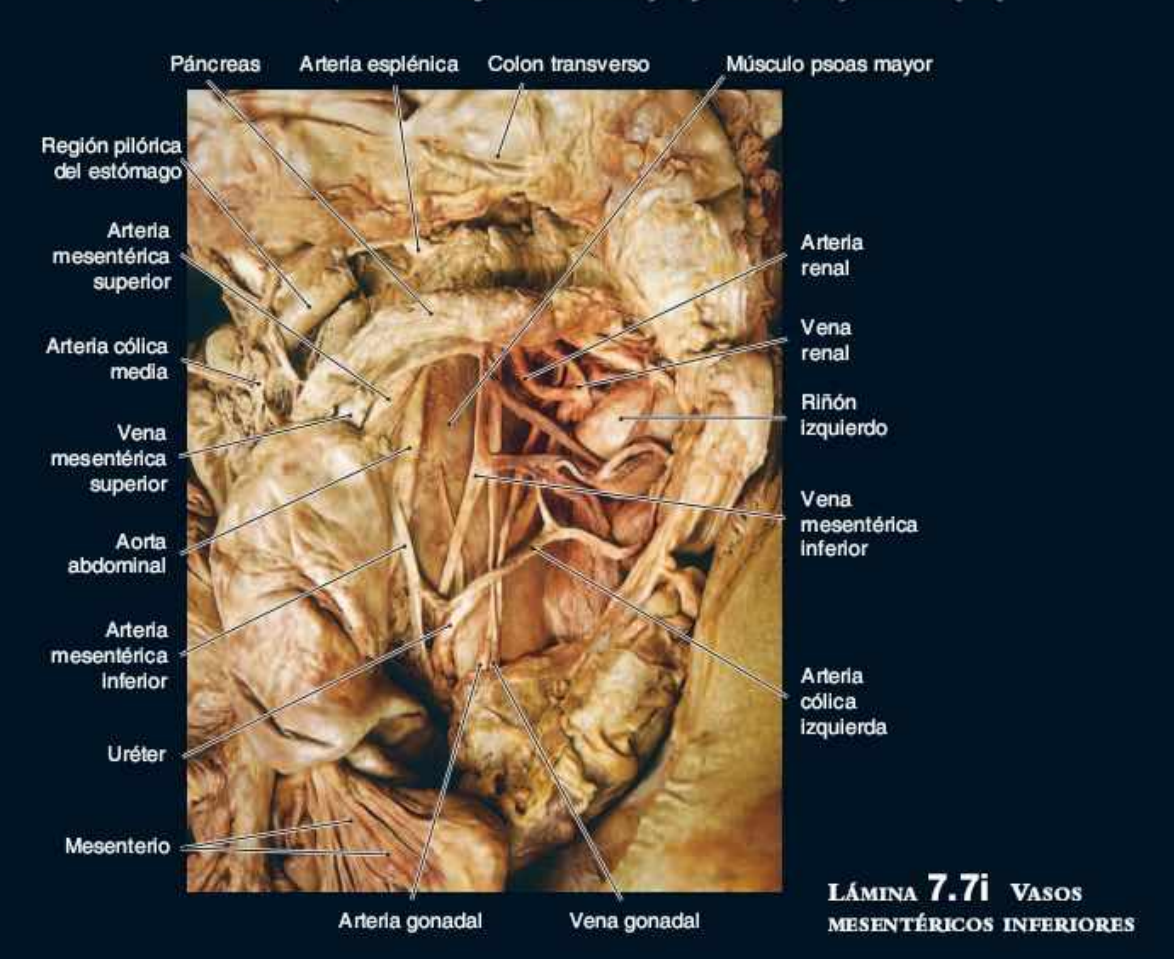


LÁMINA 7.79 COLONOSCOPIA NORMAL Y ANÓMALA



LÁMINA 7.7h RAMAS DE LA ARTERIA MESENTÉRICA SUPERIOR



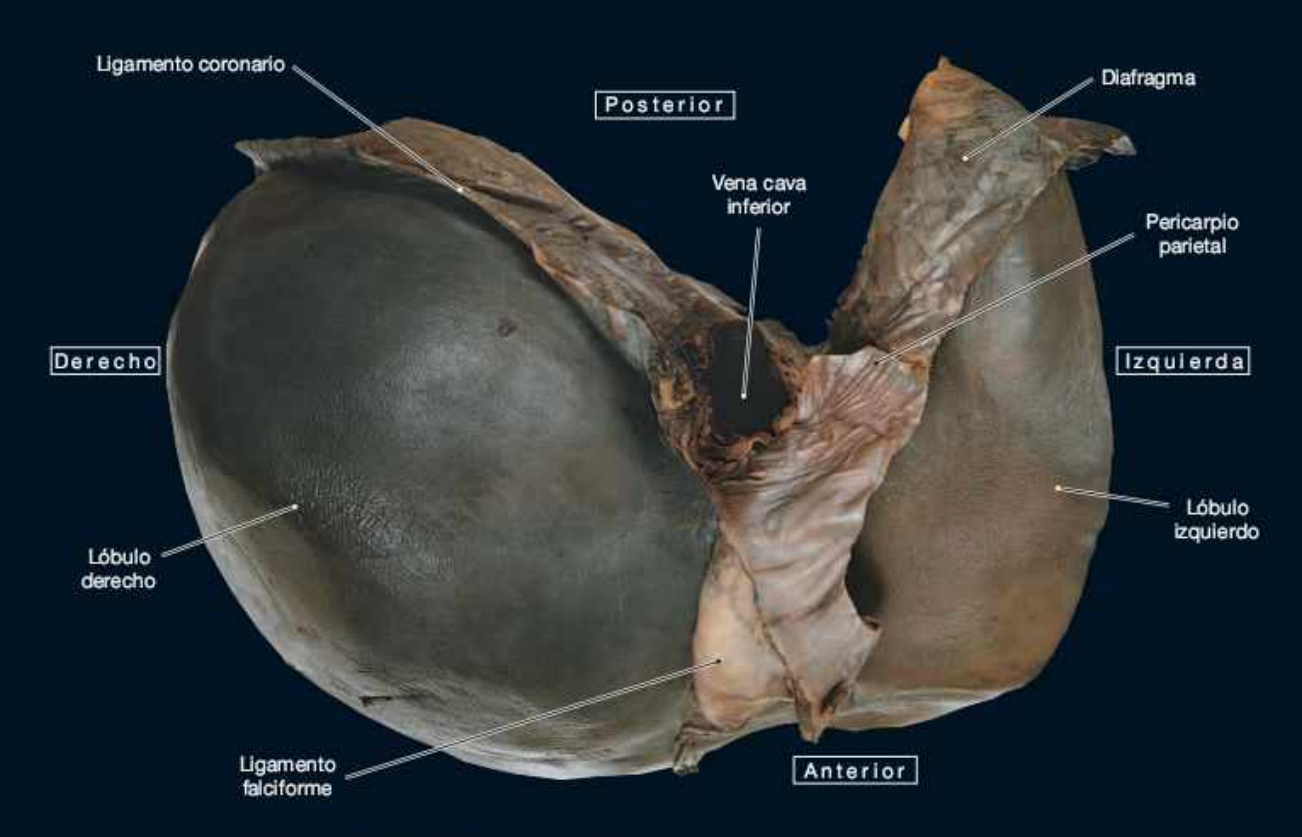


LÁMINA 7.8a HÍGADO Y VESÍCULA BILIAR AISLADOS. VISTA SUPERIOR

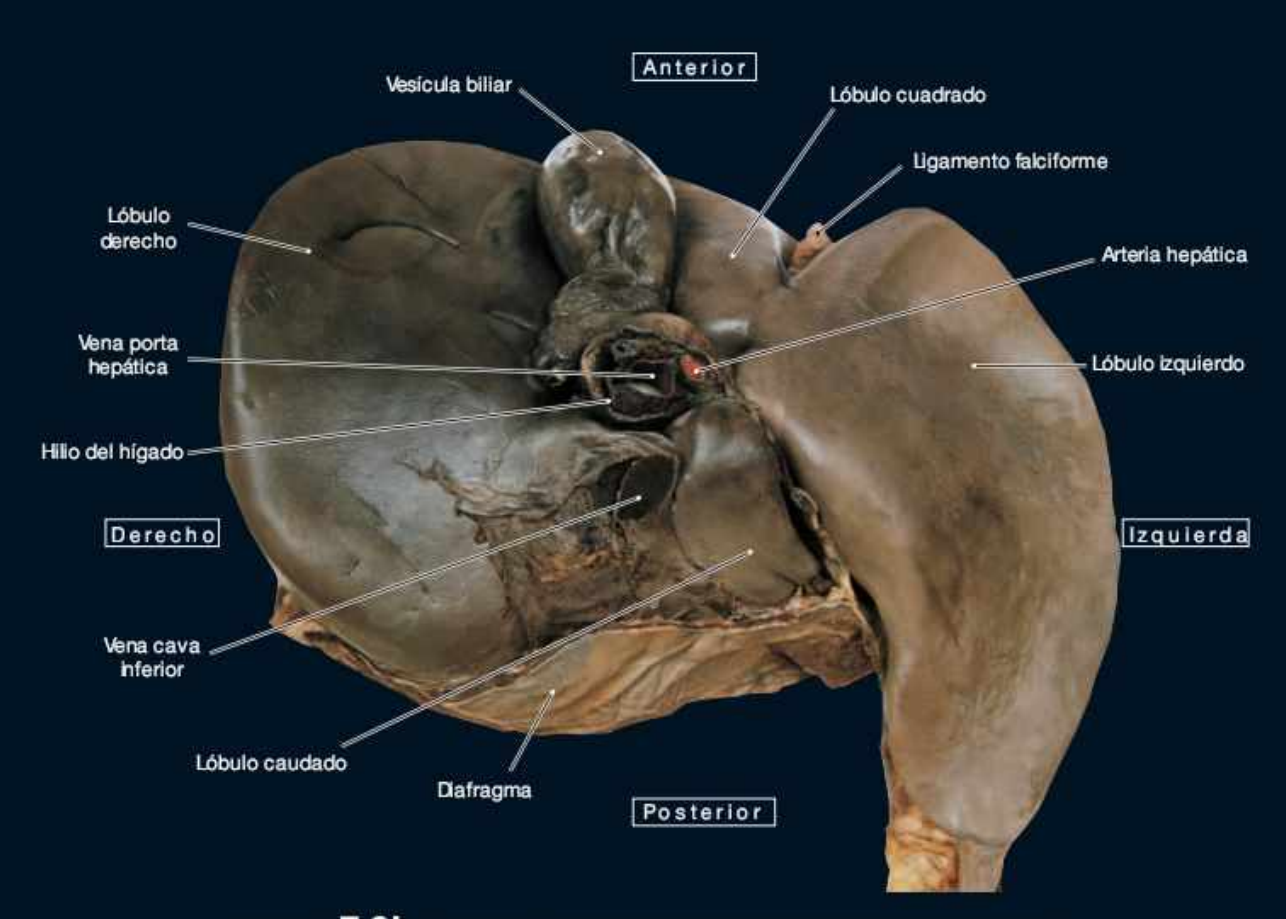
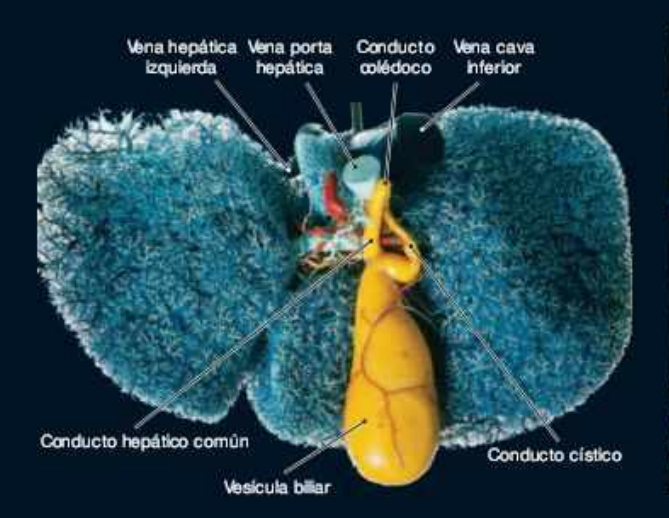


LÁMINA 7.8b HÍGADO Y VESÍCULA BILIAR AISLADOS. VISTA INFERIOR



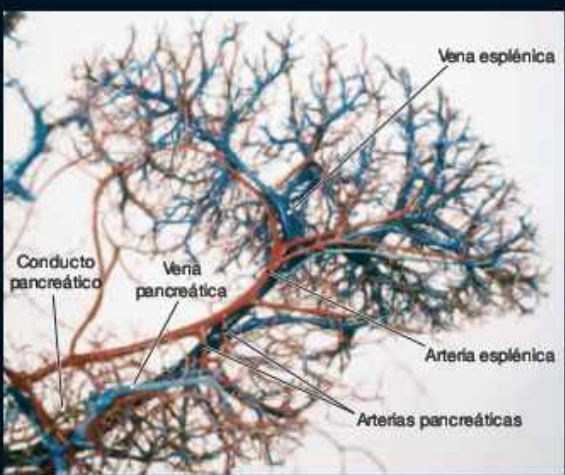
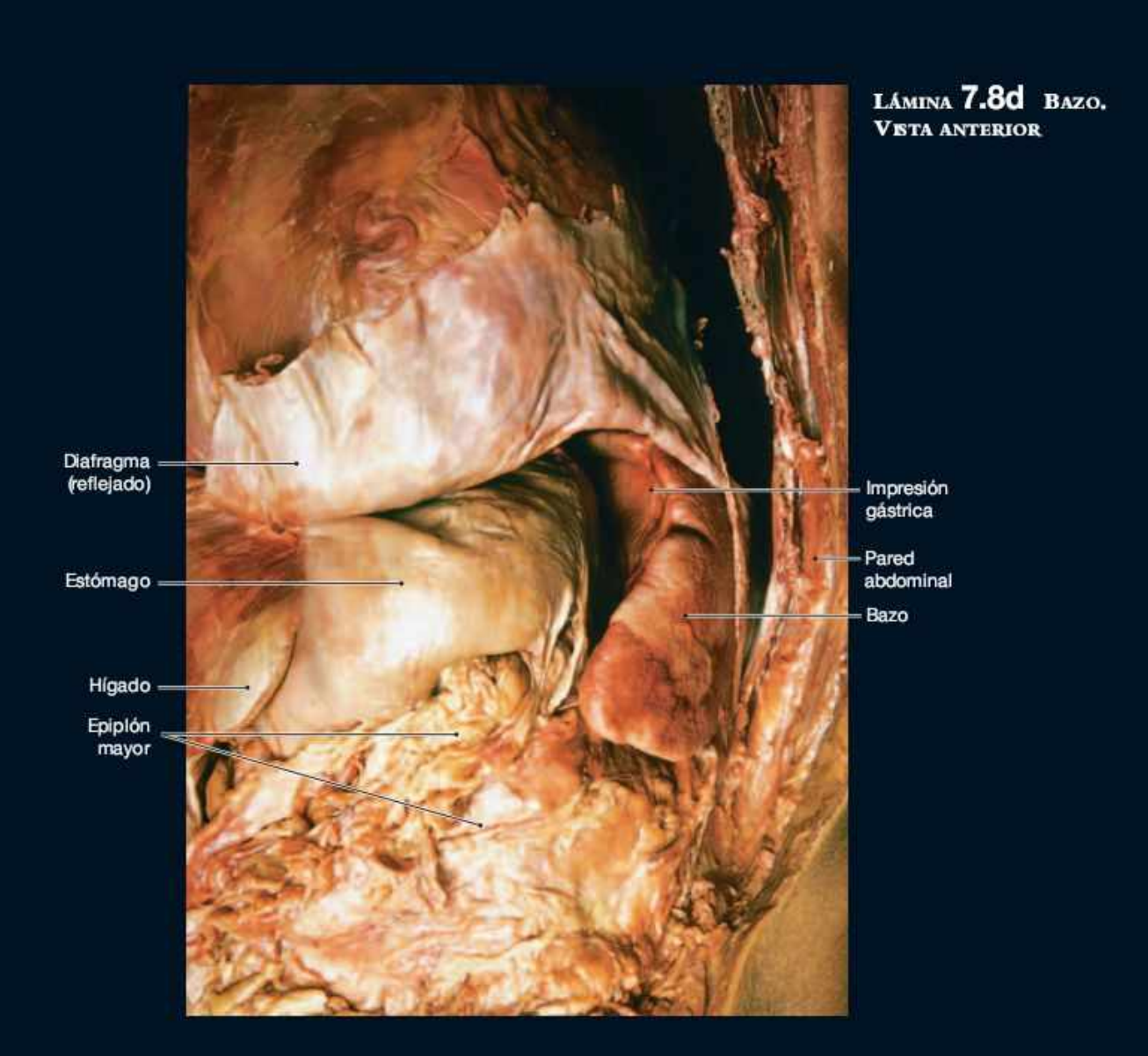


LÁMINA 7.8C MOLDE DE CORROSIÓN DEL HÍGADO

LÁMINA 7.8e Molde de corrosión de los vasos esplénicos y pancreáticos



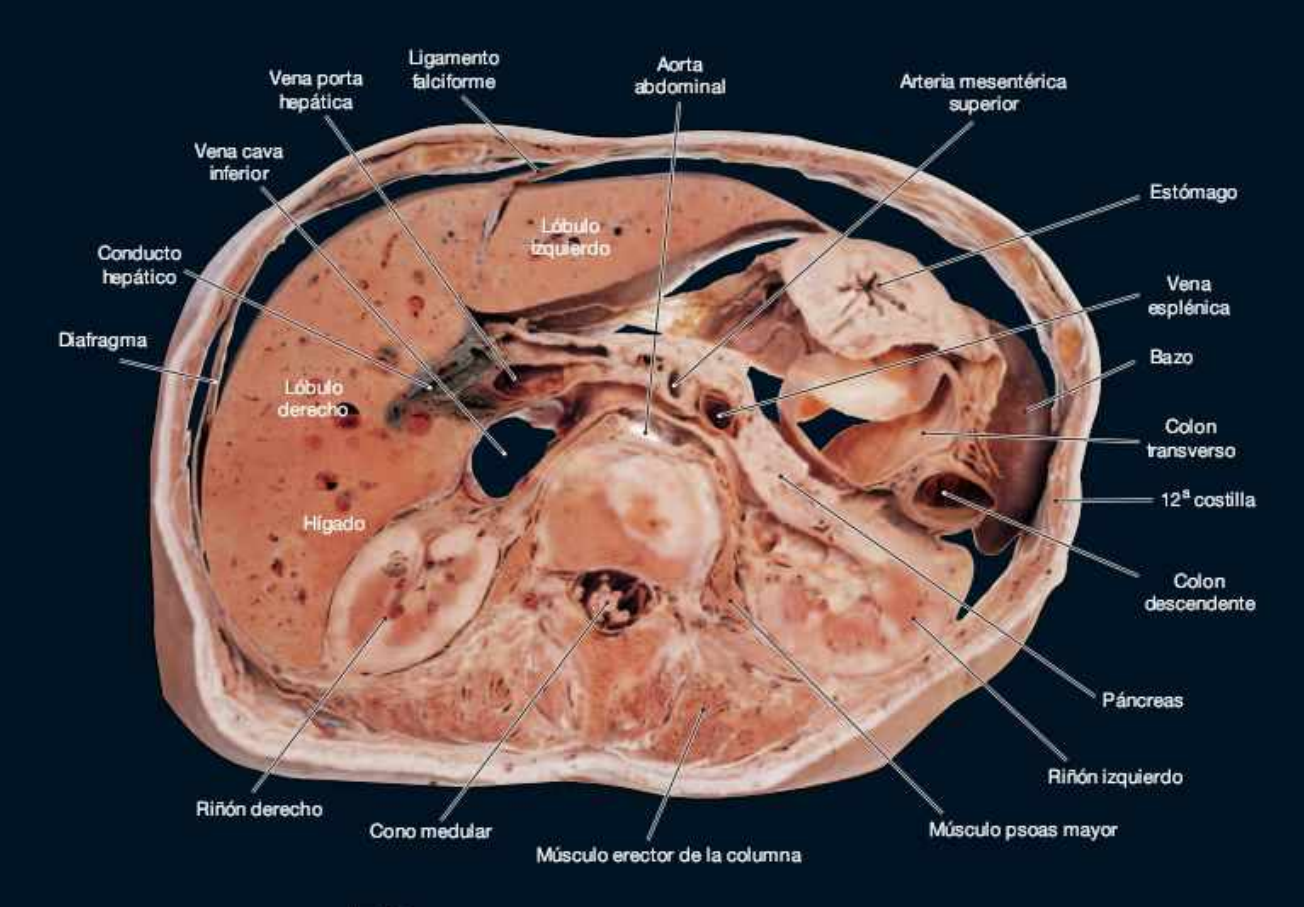


LÁMINA 7.9a CAVIDAD ABDOMINAL, SECCIÓN HORIZONTAL EN T12

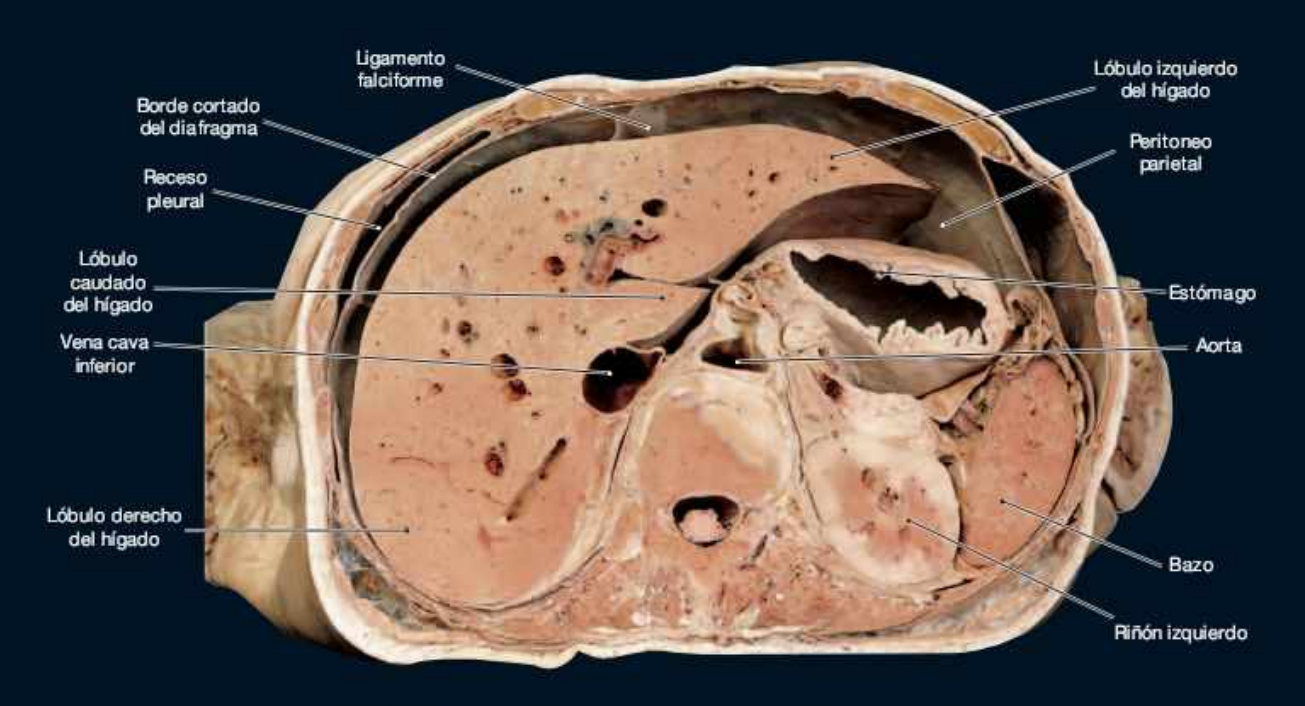


LÁMINA 7.9b CAVIDAD ABDOMINAL, SECCIÓN HORIZONTAL EN L1

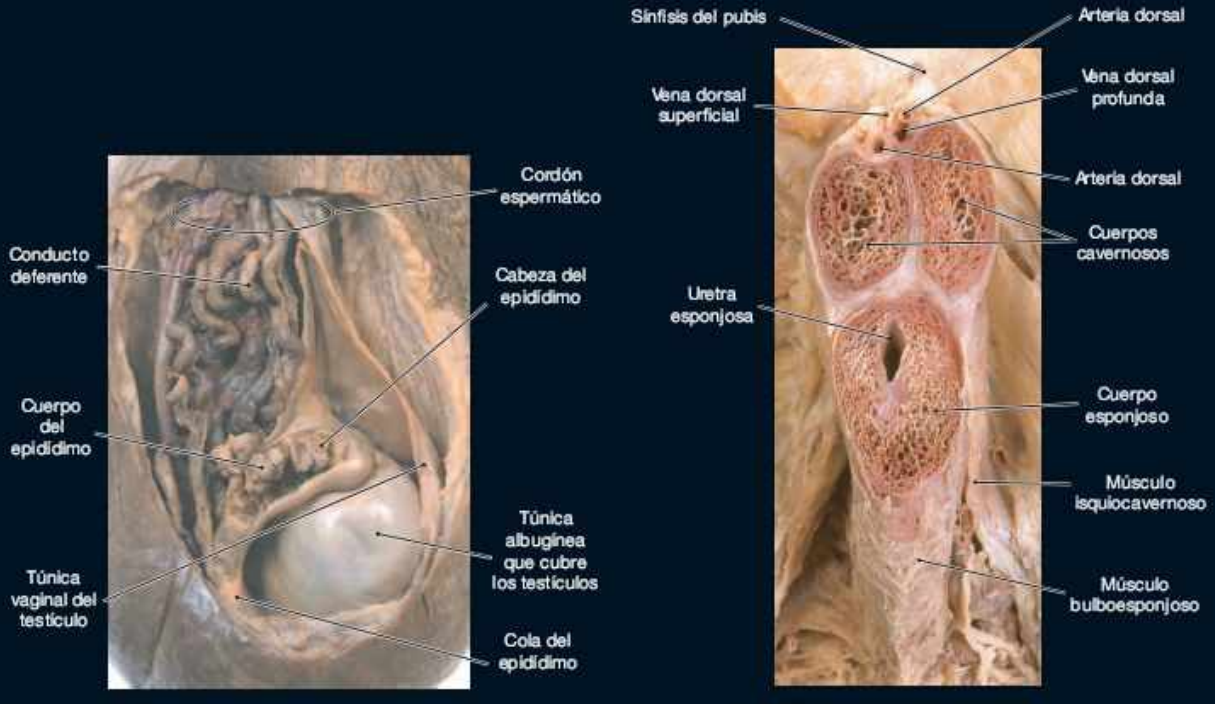


LÁMINA 7.9C TESTÍCULOS Y EPIDÍDIMO

LÁMINA 7.9d SECCIÓN FRONTAL DE UN PENE DISECADO

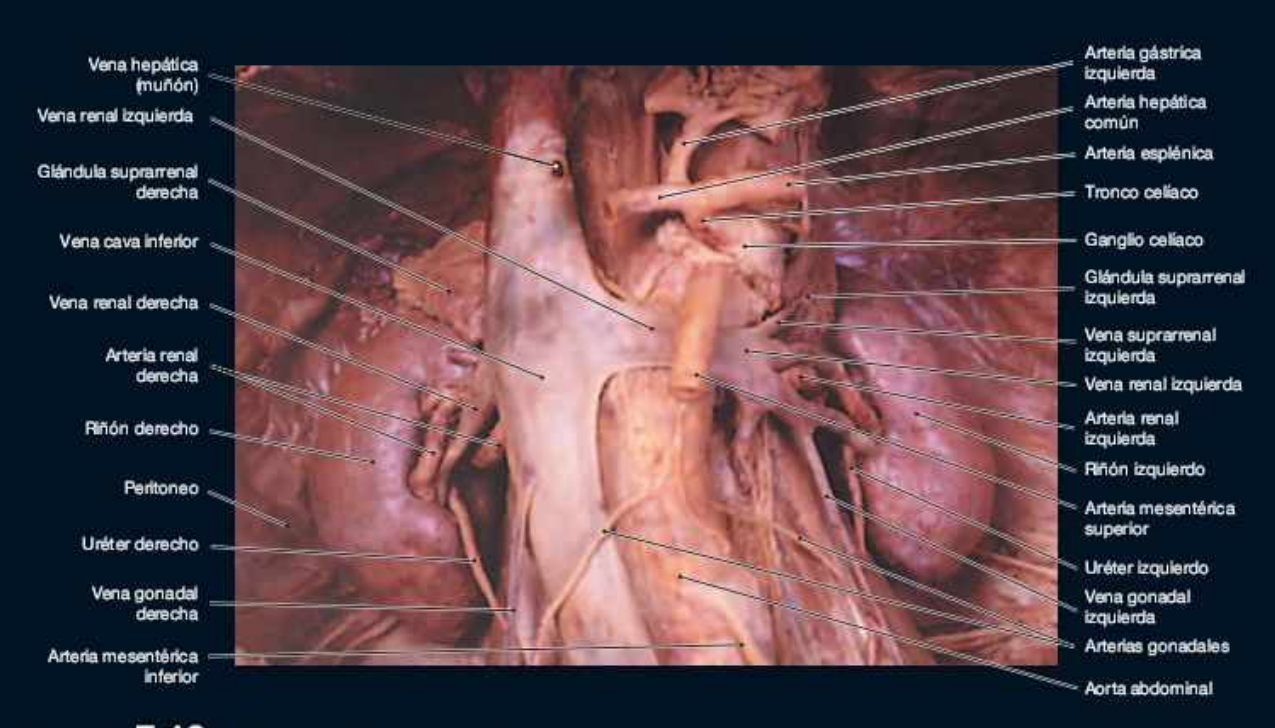
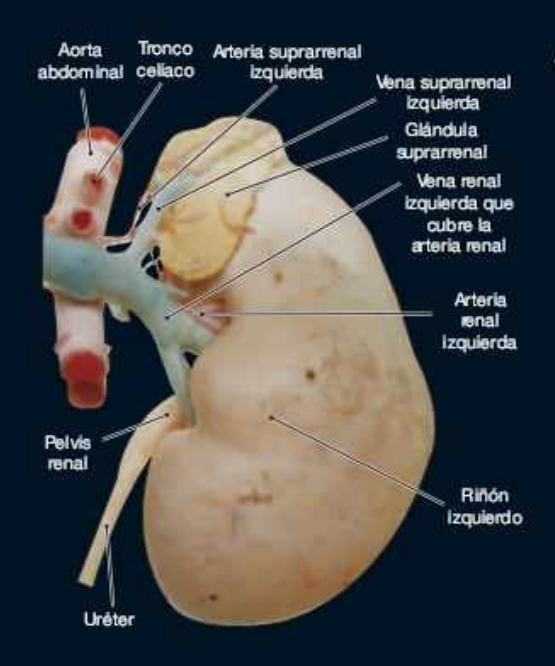


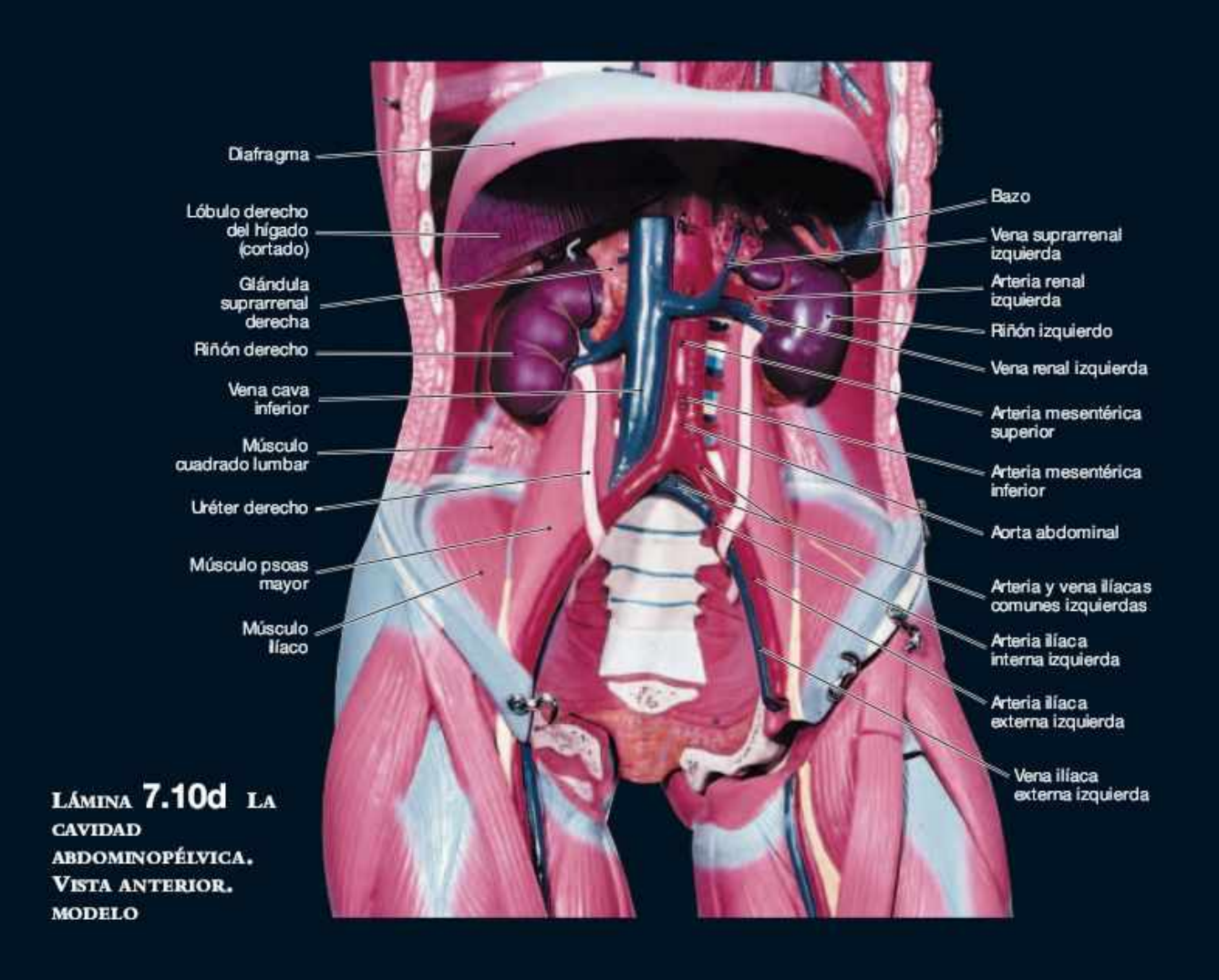
LÁMINA 7.10a LA PARED ABDOMINAL POSTERIOR



Arteria renal Arteria mesentérica Tronco celiaco Arteria renal derecha superior izquierda Cáliz menor Pelvis Aorta renal ab dominal Cáliz mayor RIÑÓN IZQUIERDO Uréter

LÁMINA 7.10b RIÑÓN IZQUIERDO. VISTA ANTERIOR

LÁMINA 7.10C MOLDE DE CORROSIÓN DE LAS ARTERIAS RENALES, URÉTERES Y PELVIS RENAL



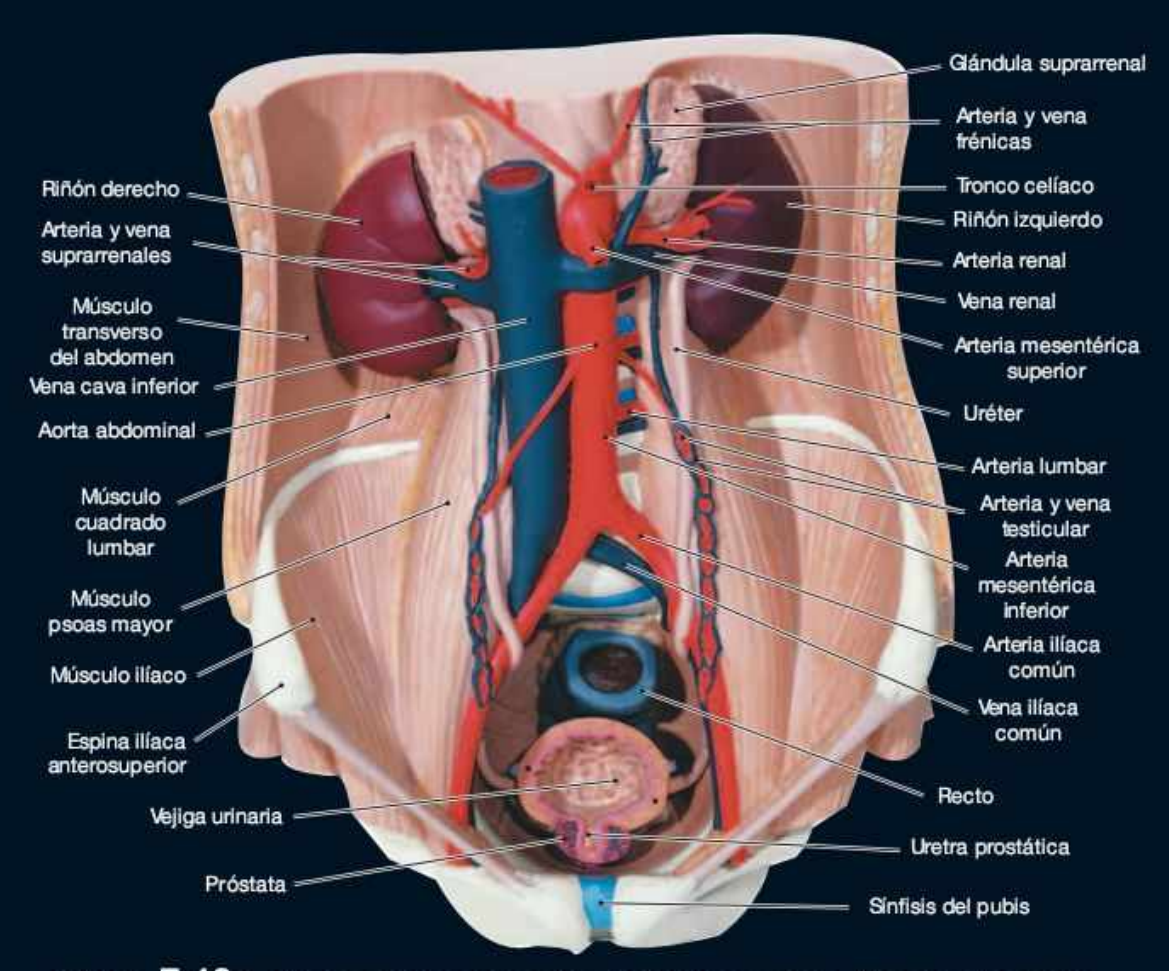
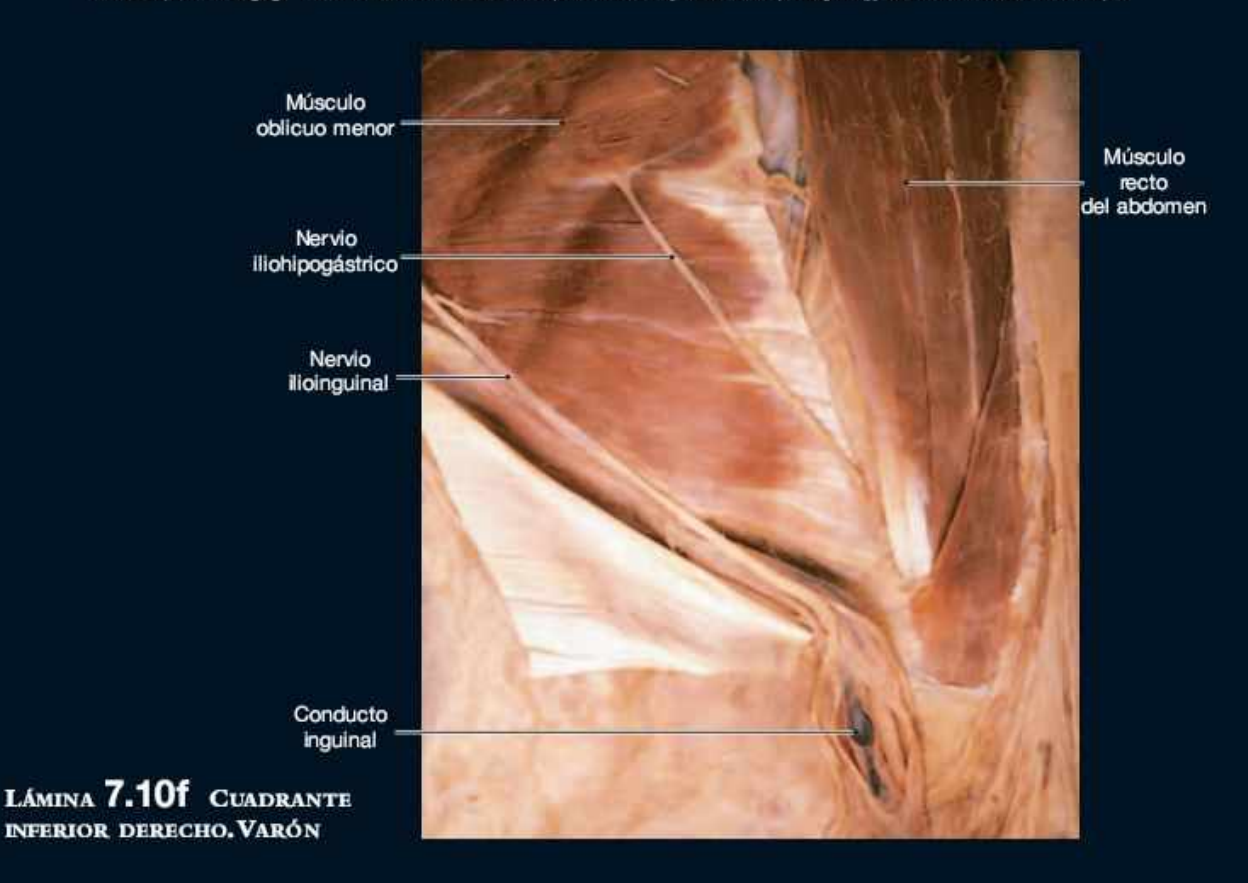


LÁMINA 7.10e LA CAVIDAD ABDOMINOPÉLVICA. VISTA ANTERIOR. MODELO MASCULINO



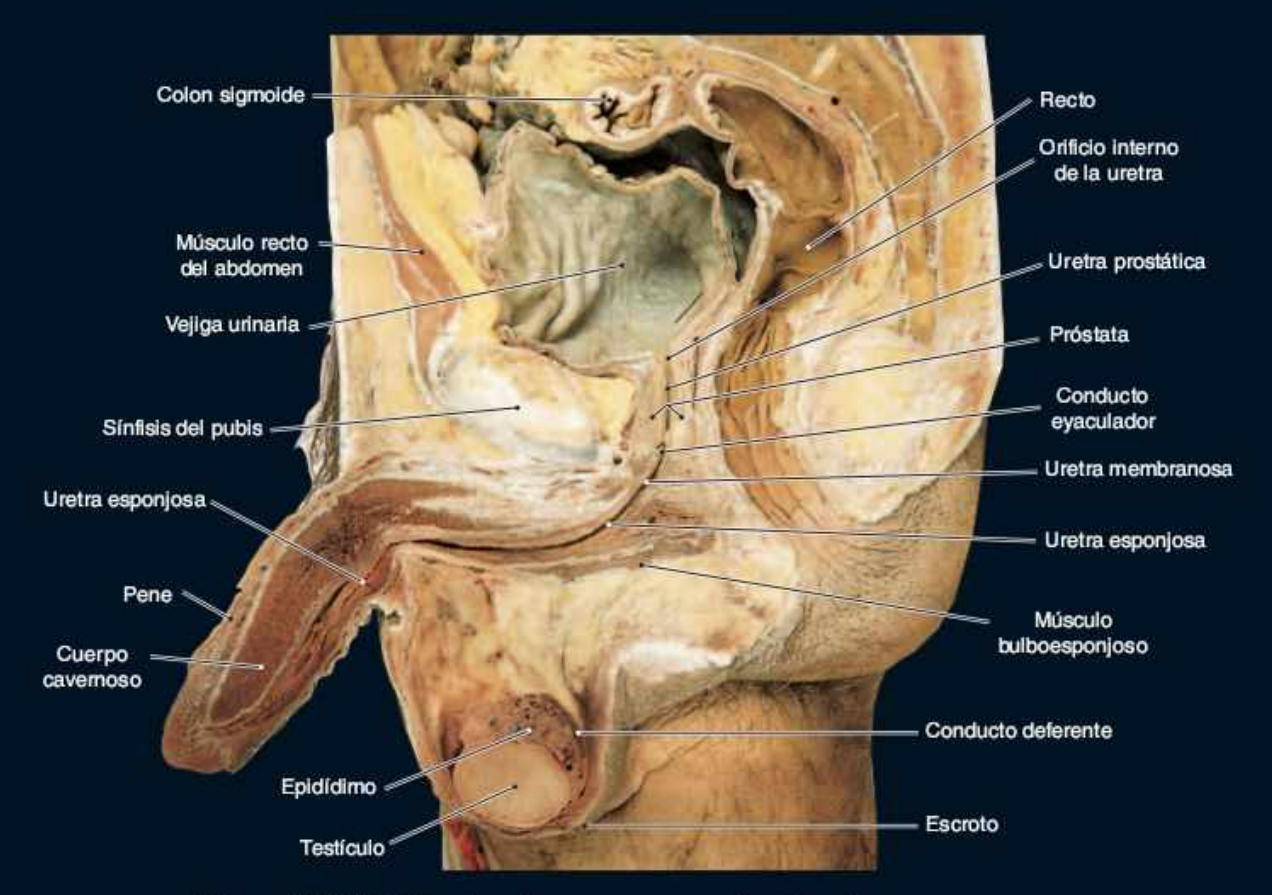


LÁMINA 7.11a REGIÓN PÉLVICA DE UN VARIÓN. SECCIÓN SAGITAL Y MEDIA

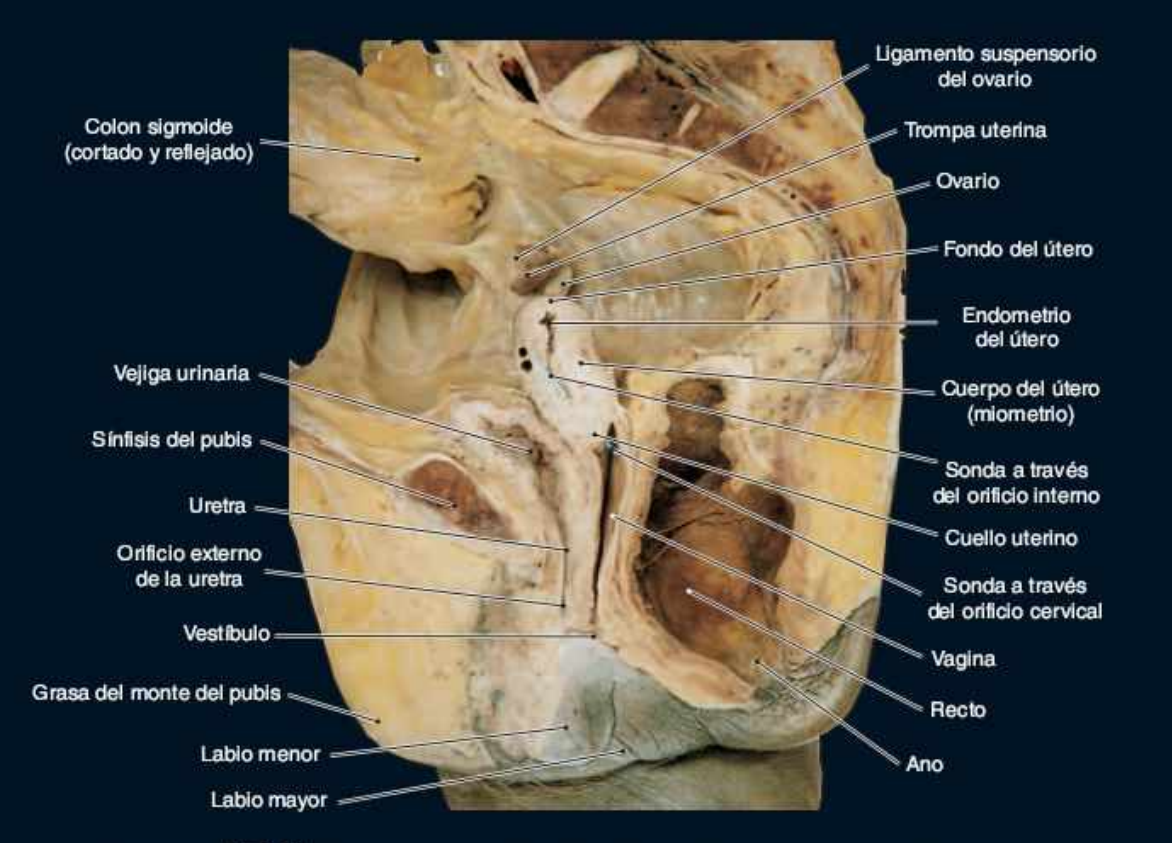


LÁMINA 7.11b REGIÓN PÉLVICA DE UNA MUJER. SECCIÓN SAGITAL Y MEDIA



LÁMINA 8.1b REGIÓN GLÚTEA Y MUSLOS

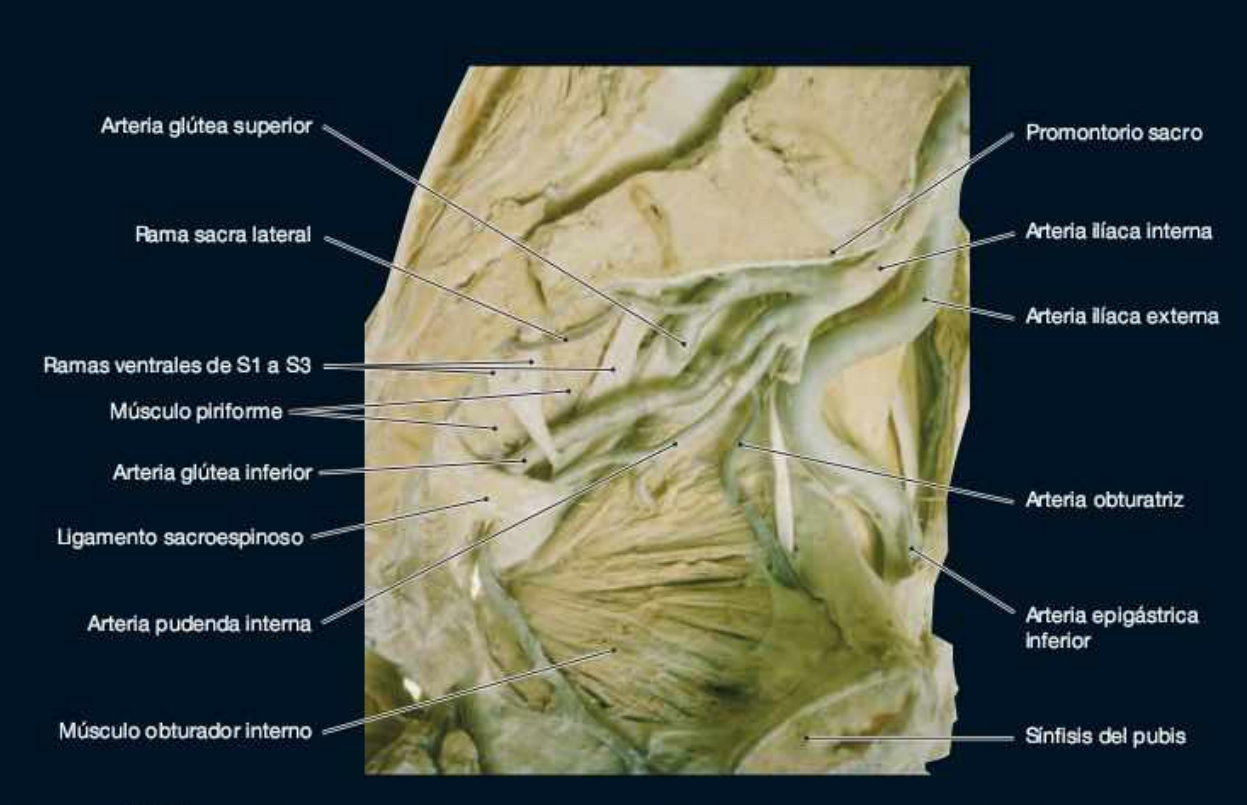


LÁMINA 8.2 VASOS SANGUÍNEOS, NERVIOS Y MÚSCULOS DE LA MITAD IZQUIERDA DE LA PELVIS

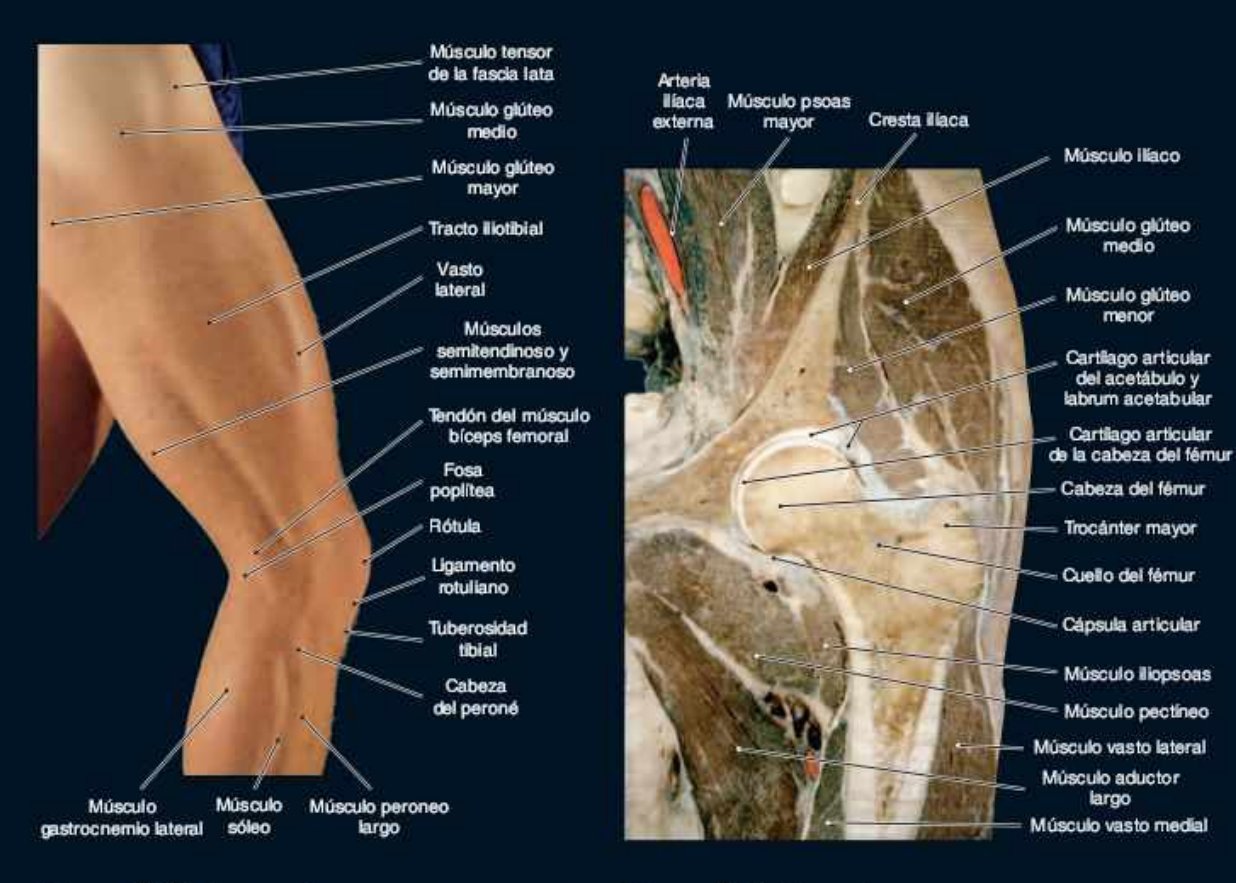


LÁMINA 8.3 ANATOMÍA DE SUPERFICIE DEL MUSLO. VISTA LATERAL

LÁMINA 8.4 SECCIÓN CORONAL DE LA CADERA IZQUIERDA

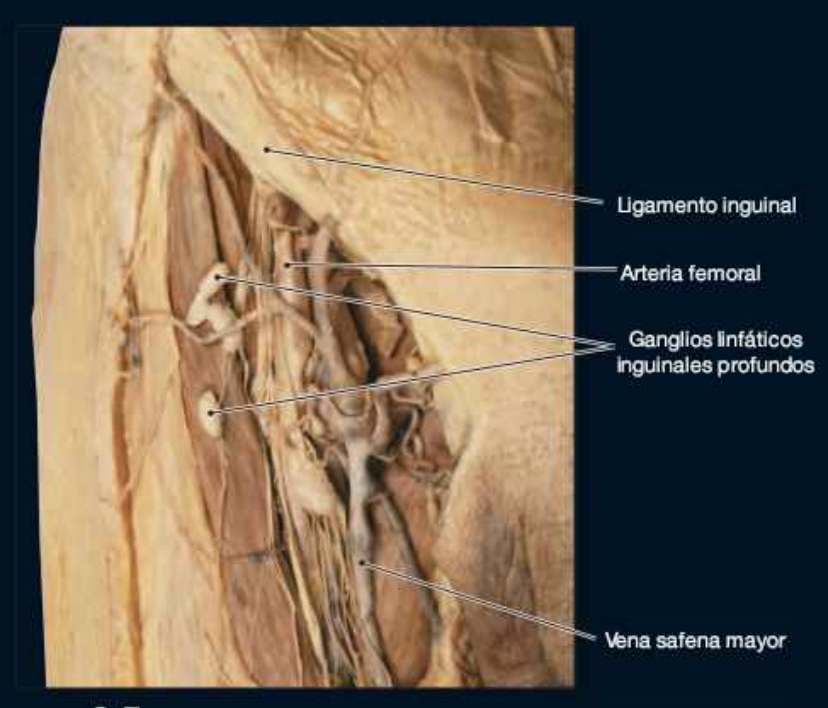
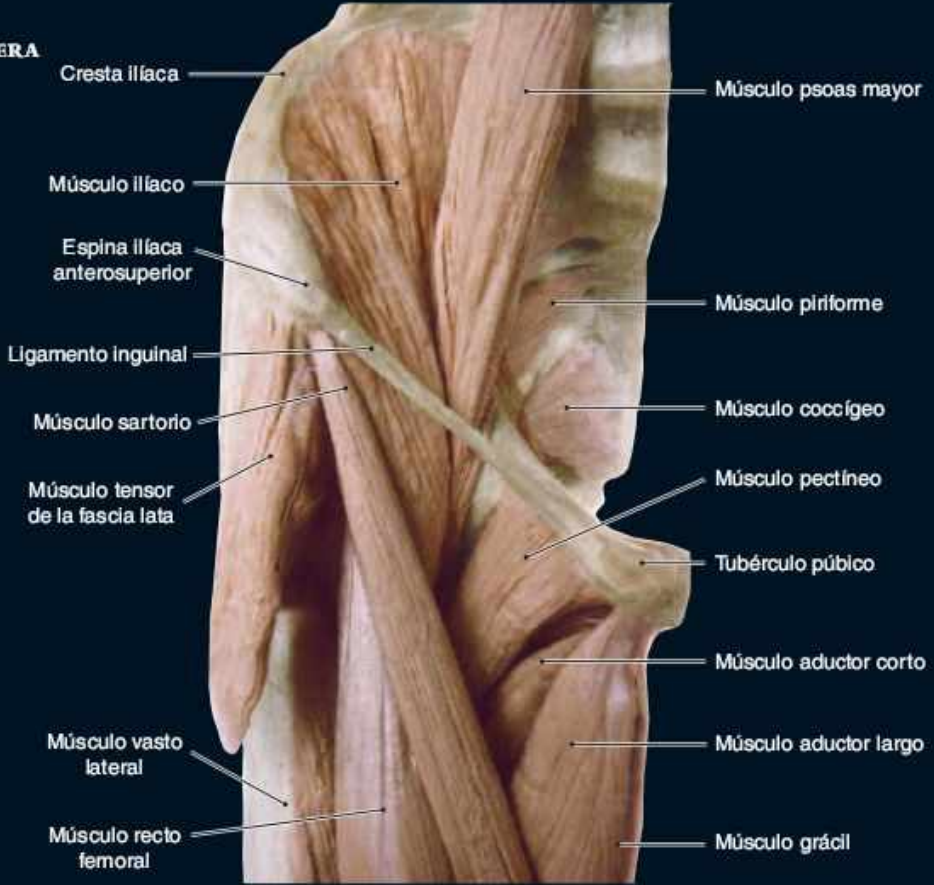
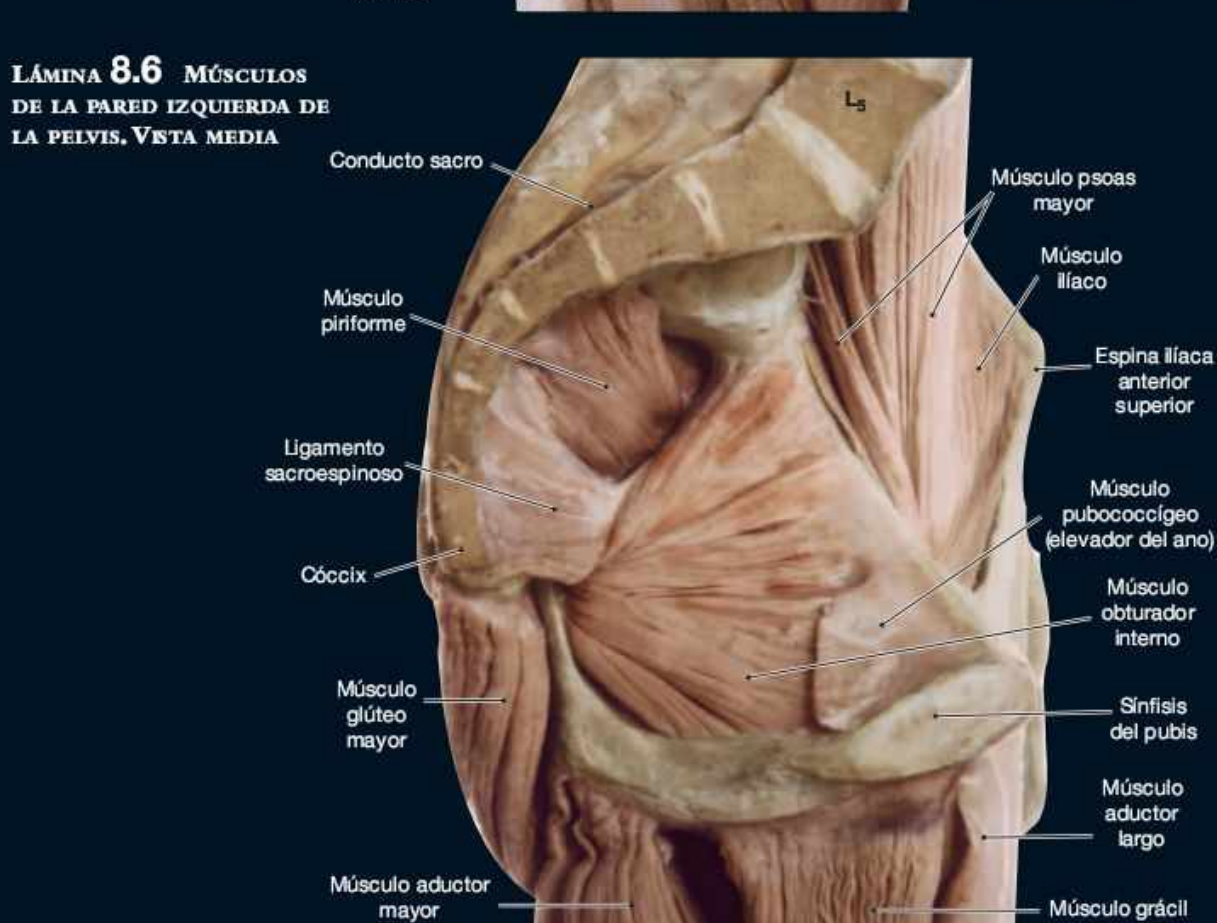


Lámina 8.5a disección de la región inguinal derecha. Varón

LÁMINA 8.5b MÚSCULOS DE LA CADERA Y EL MUSLO. VISTA ANTERIOR





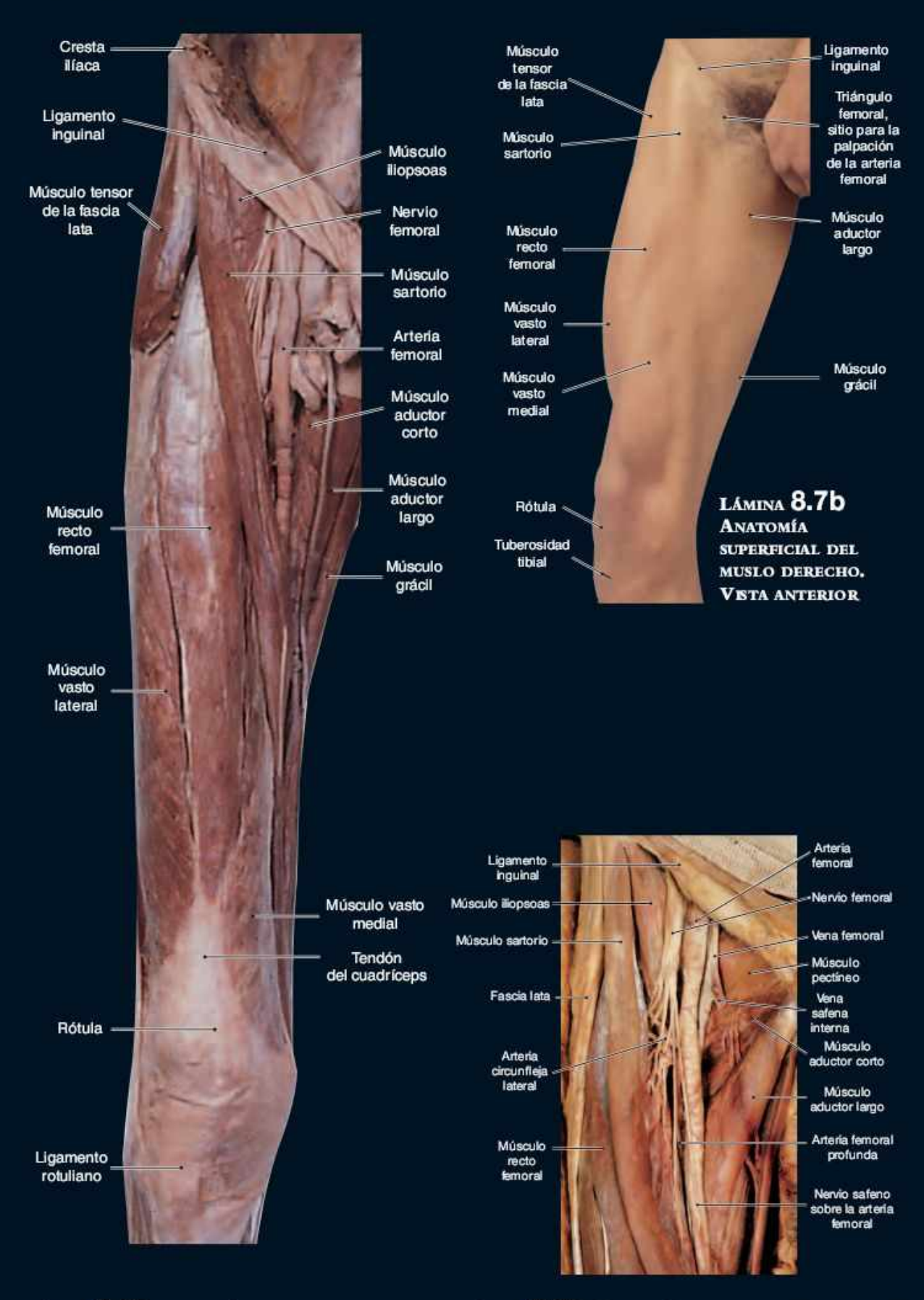


LÁMINA 8.7a disección superficial del miembro inferior derecho. Vista anterior

LÁMINA **8.7c** DISECCIÓN SUPERFICIAL DEL MUSLO DERECHO, VISTA ANTERIOR

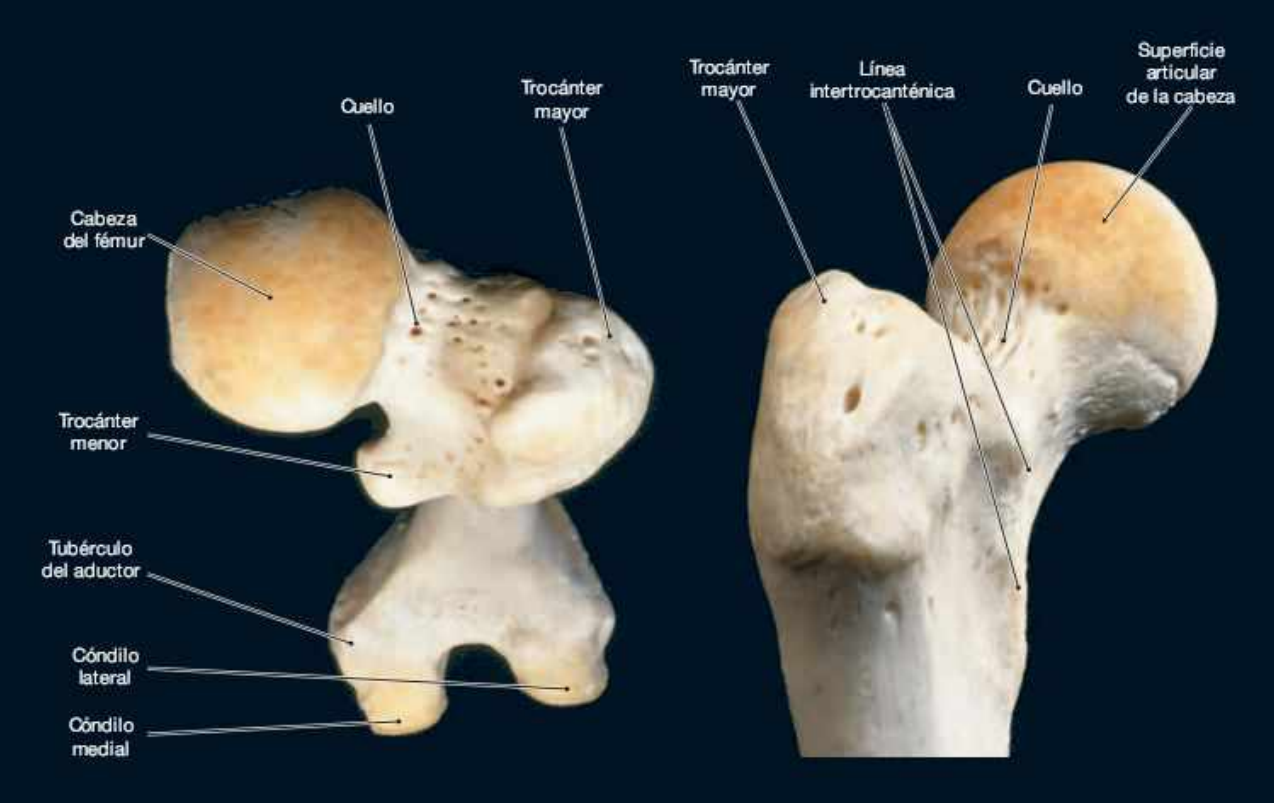


LÁMINA 8.7d FÉMUR DERECHO. VISTA SUPERIOR

LÁMINA 8.76 CABEZA DEL FÉMUR DERECHO. VISTA LATERAL

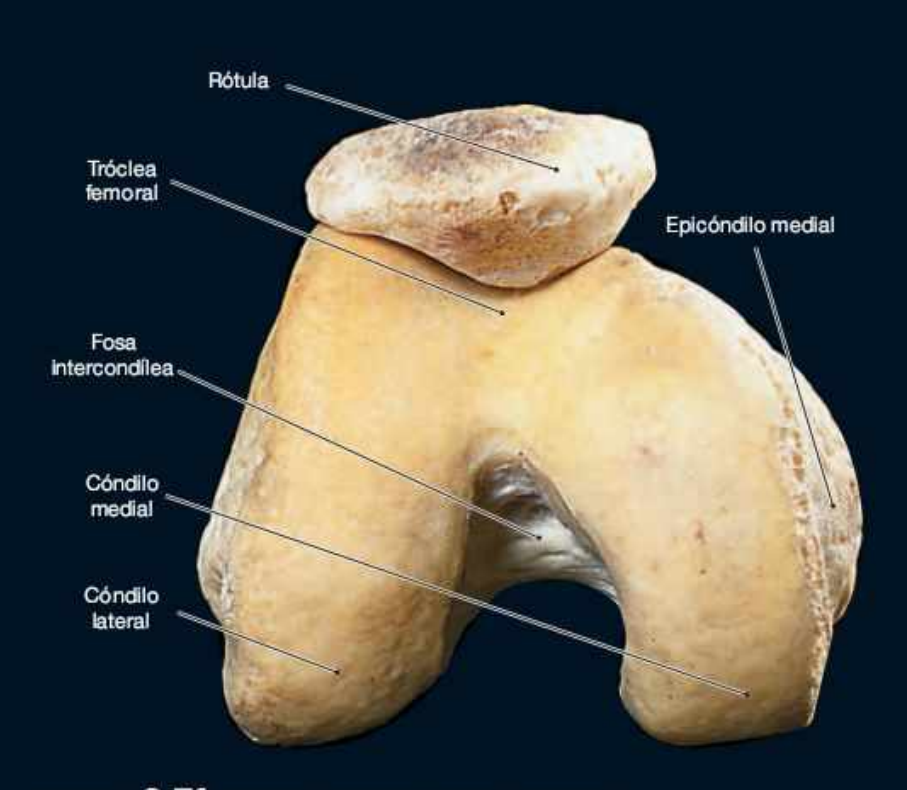


Lámina 8.7f Fémur derecho. Vista interior



LÁMINA 8.8a DISECCIÓN SUPERFICIAL DE LA CADERA Y EL MUSLO DERECHOS. VISTA POSTERIOR

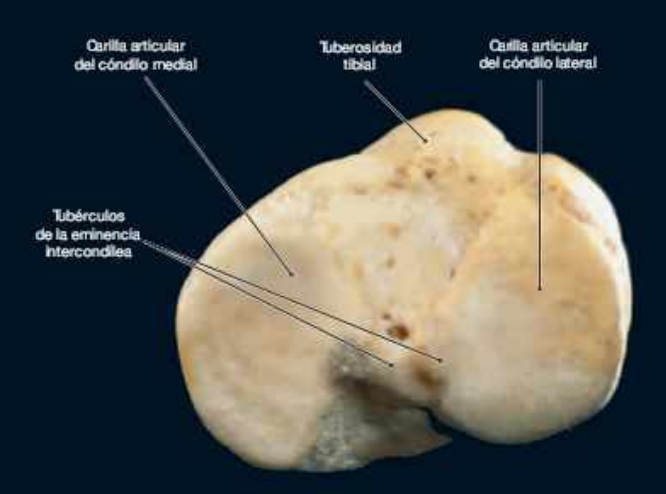


LÁMINA 8.8b ANATOMÍA SUPERFICIAL DEL MUSLO DERECHO. VISTA POSTERIOR



Lámina 8.9 La rodilla, sección parasagital.

Modelo



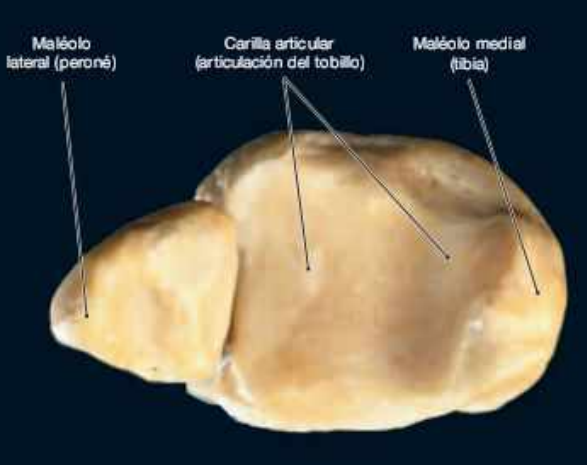


LÁMINA 8.10a EXTREMO PROXIMAL DE LA TIBIA DERECHA. VISTA SUPERIOR

LÁMINA 8.10b EXTREMO DISTAL DE LA TIBIA Y EL PERONÉ. VISTA INFERIOR



Lámina 8.11a Vista posterior de la articulación de la rodilla. Se ha resecado la cápsula articular

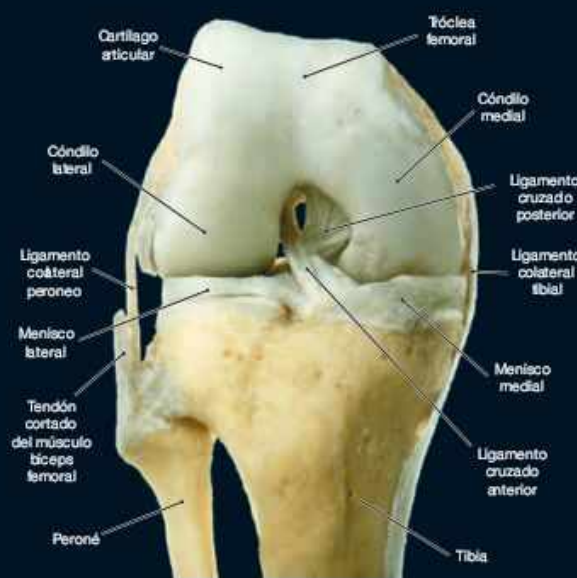
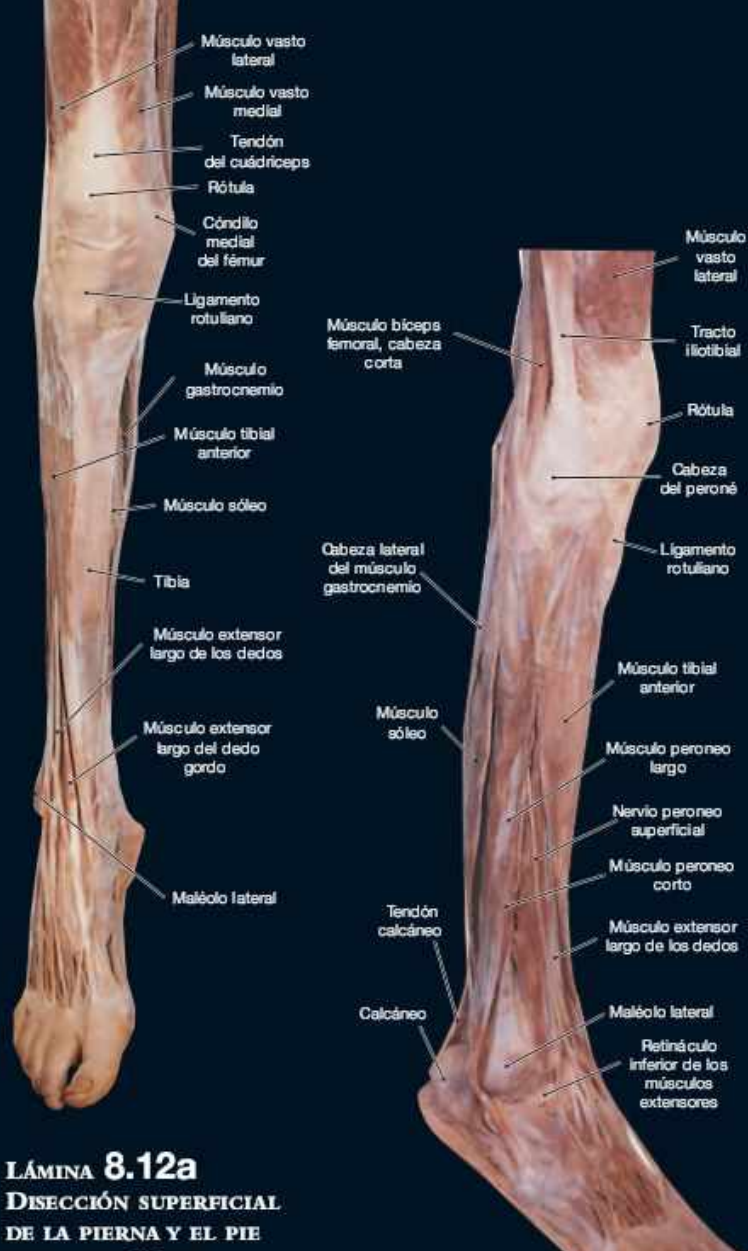


LÁMINA 8.11b VISTA ANTERIOR DE LA ARTICULACIÓN DE LA RODILLA. SE HA RESECADO LA CÁPSULA ARTICULAR



DISECCIÓN SUPERFICIAL DE LA PIERNA Y EL PIE DERECHOS, VISTA ANTERIOR

LÁMINA 8.12b DISECCIÓN SUPERFICIAL DE LA PIERNA Y EL PIE DERECHOS. VISTA ANTEROLATERAL



Lámina 8.12C Anatomía SUPERFICIAL DE LA PIERNA Y EL PIE DERECHOS, VISTA ANTERIOR

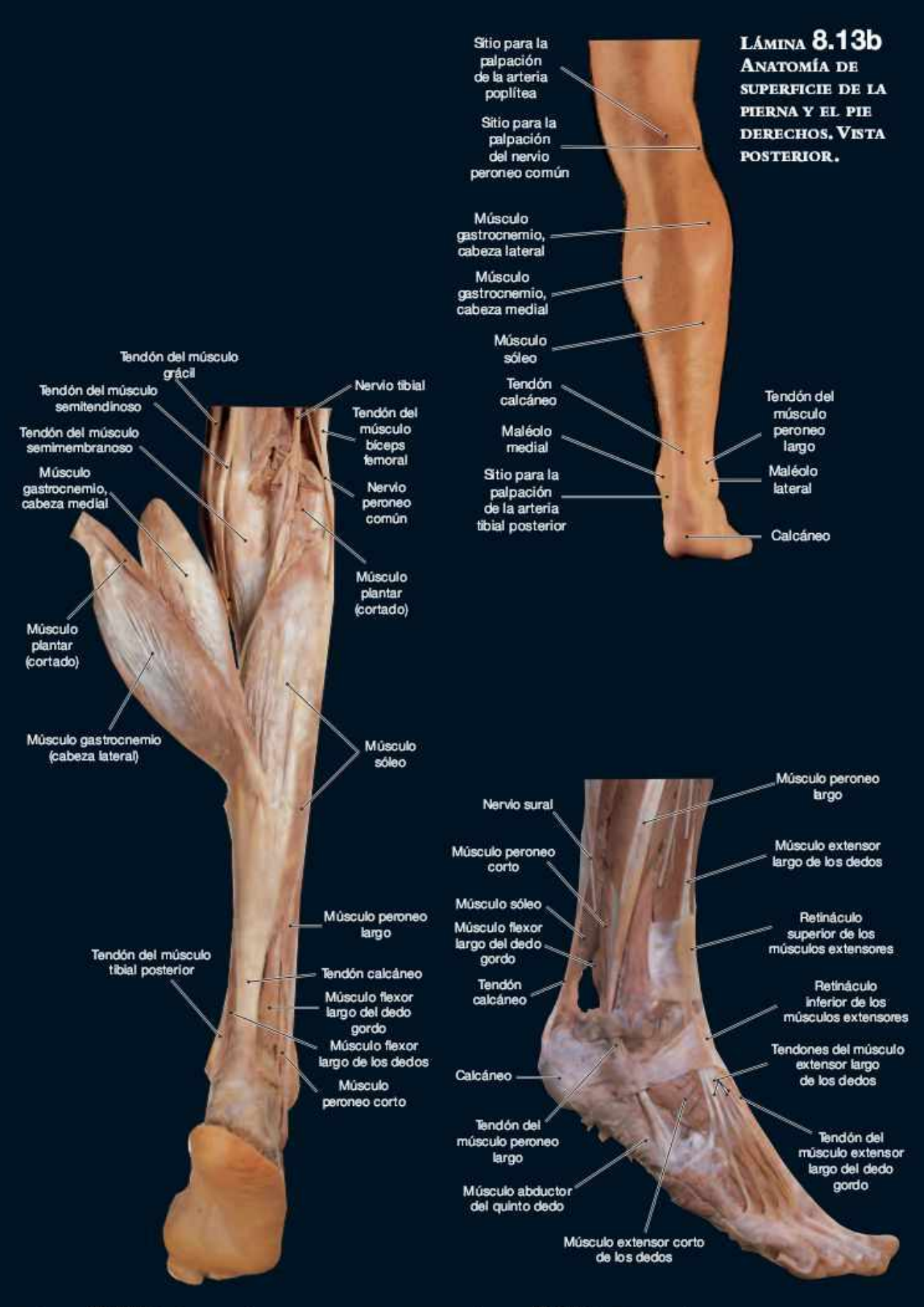


LÁMINA 8.13a DISECCIÓN SUPERFICIAL DE LA PIERNA Y EL PIE DERECHOS. VISTA POSTERIOR

LÁMINA 8.14a DISECCIÓN SUPERFICIAL DEL PIE DERECHO, VISTA LATERAL



LÁMINA 8.14C DISECCIÓN SUPERFICIAL DEL PIE DERECHO, VISTA ANTEROSUPERIOR





LÁMINA 8.15a TOBILLO Y PIE, VISTA POSTERIOR

LÁMINA 8.15C HUESOS DEL PIE DERECHO. VISTA INFERIOR (PLANTAR)



LÁMINA 8.15b HUESOS DEL PIE DERECHO, VISTA LATERAL

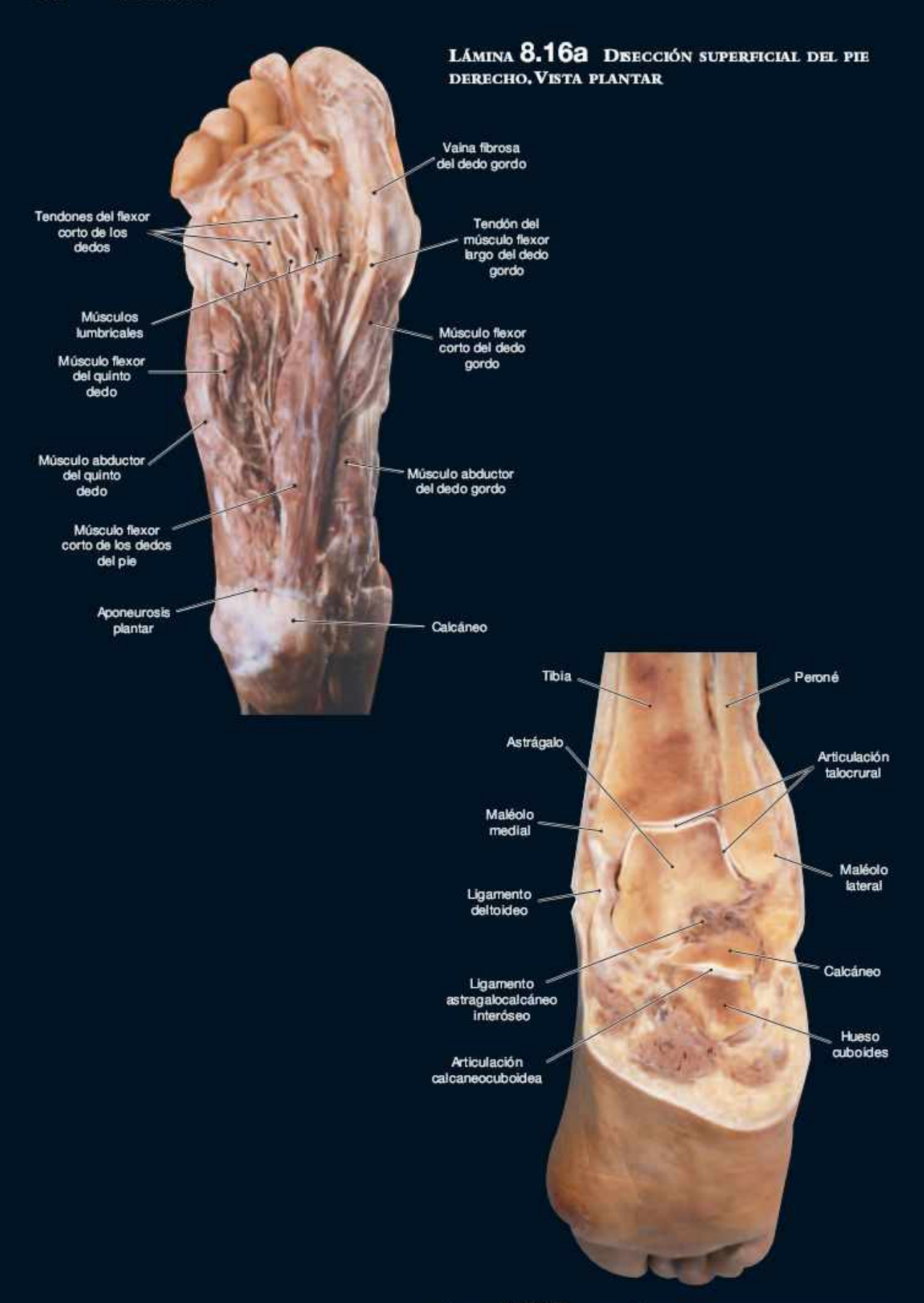


LÁMINA 8.16b SECCIÓN FRONTAL DEL PIE DERECHO. VISTA POSTERIOR

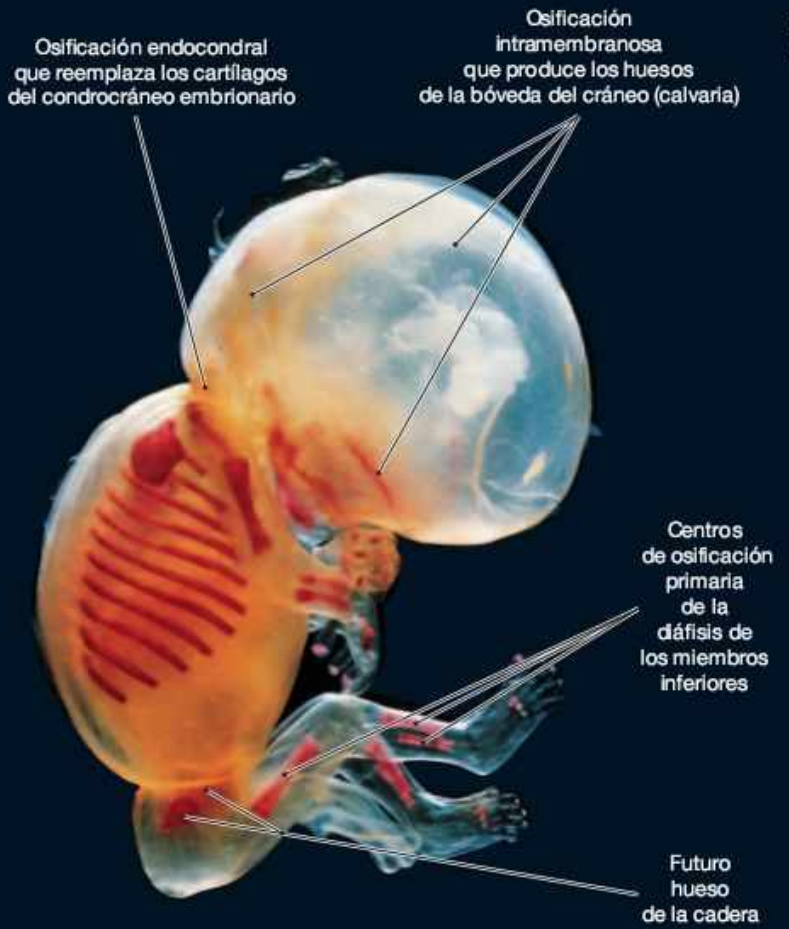
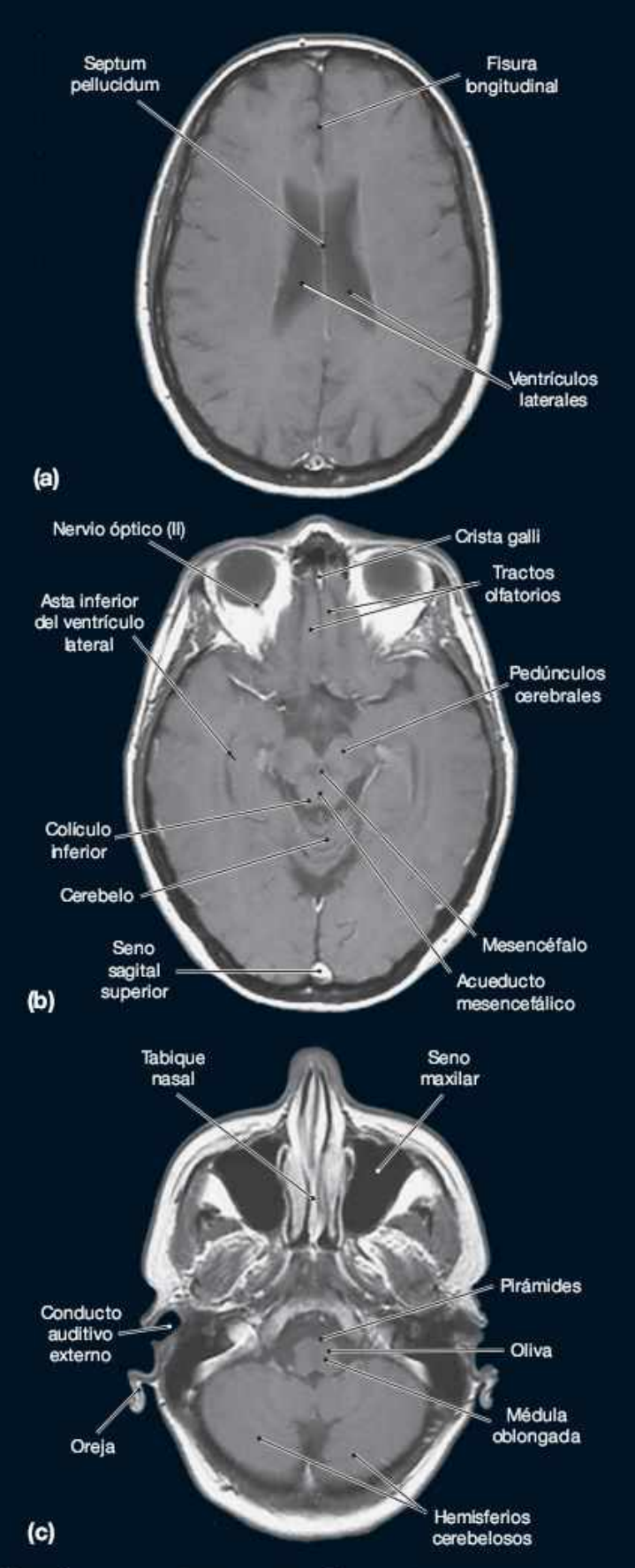


LÁMINA 8.17a ESQUELETO DE UN FETO DESPUÉS DE 10 SEMANAS DE DESARROLLO





IMÁGENES 1a-C IMÁGENES DE RMN DEL ENCÉFALO, SECCIONES HORIZONTALES, SECUENCIA DE SUPERIOR A INFERIOR

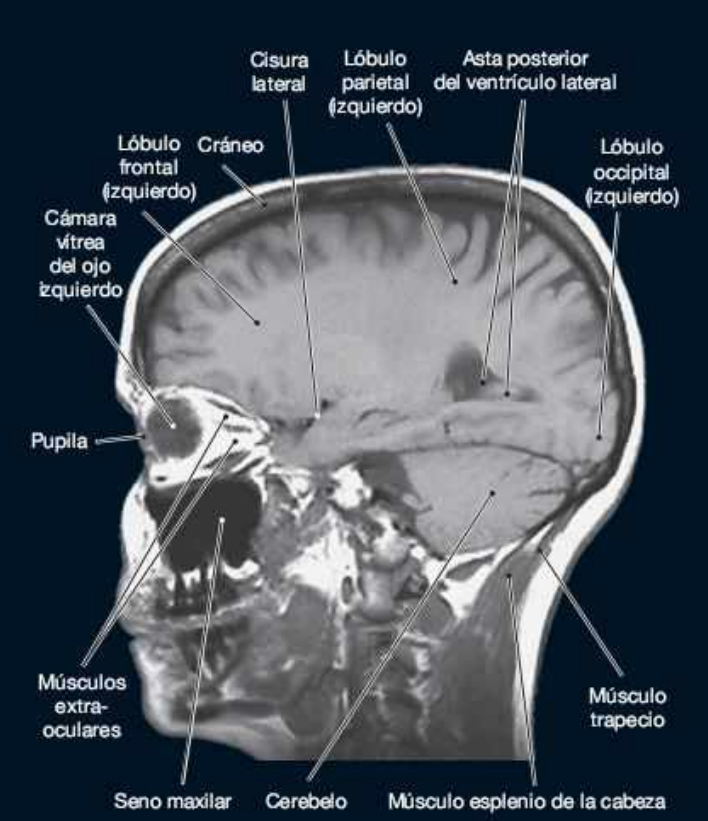


IMAGEN 1d IMAGEN DE RMN DEL ENCÉFALO. SECCIÓN PARASAGITAL

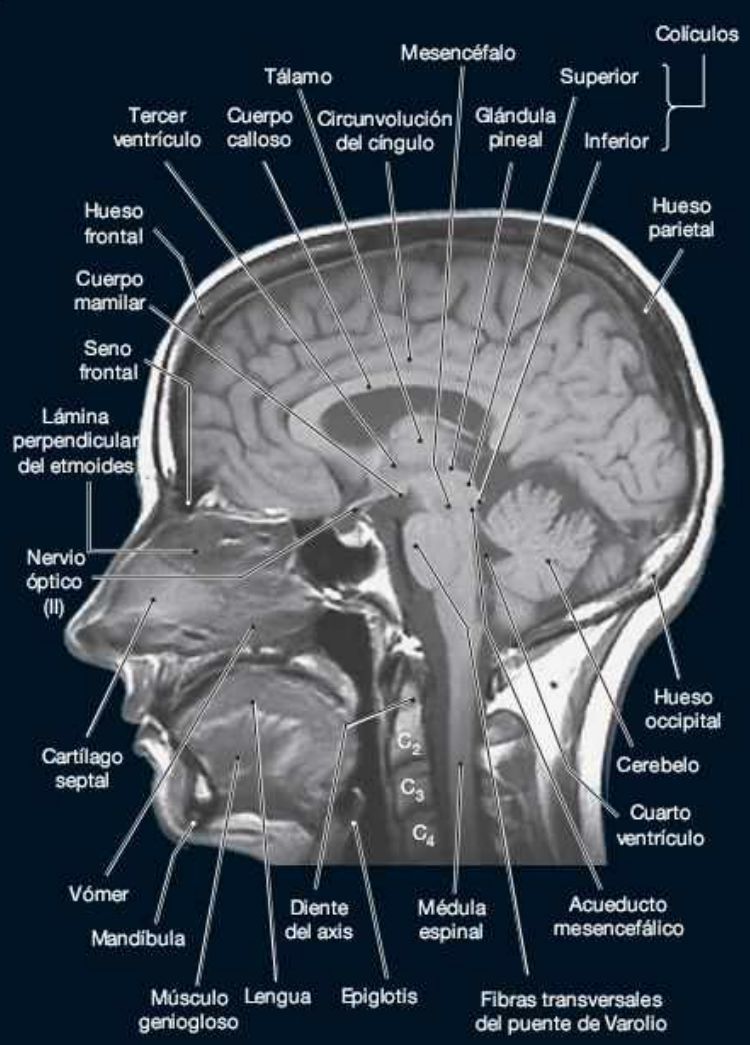
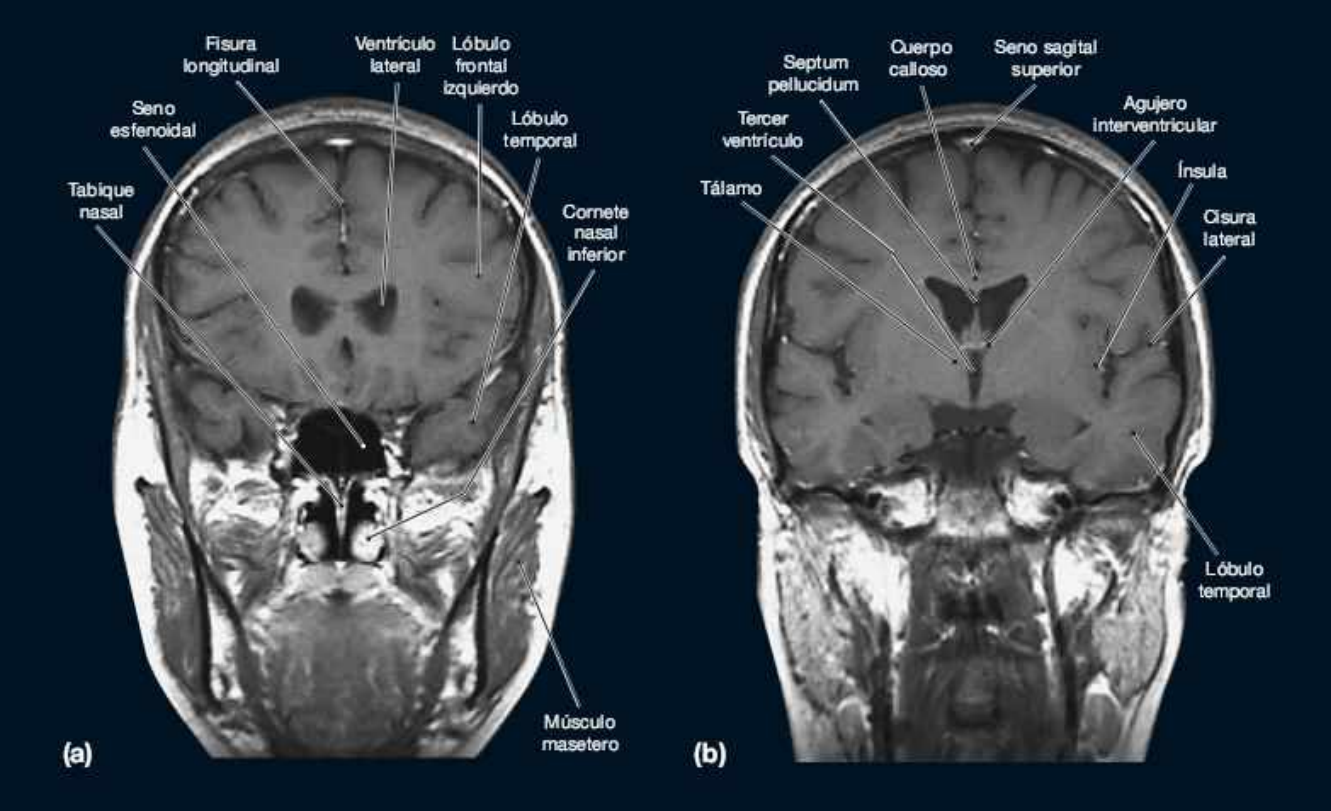
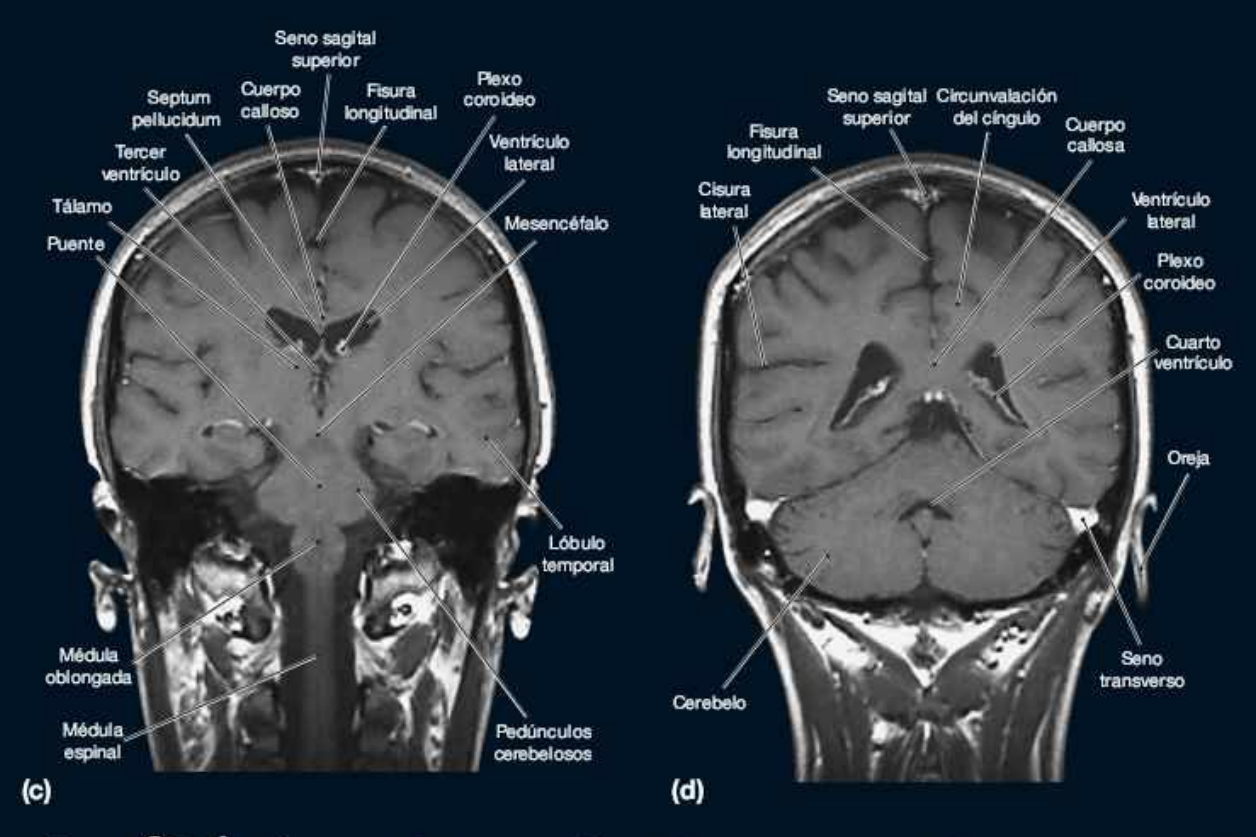
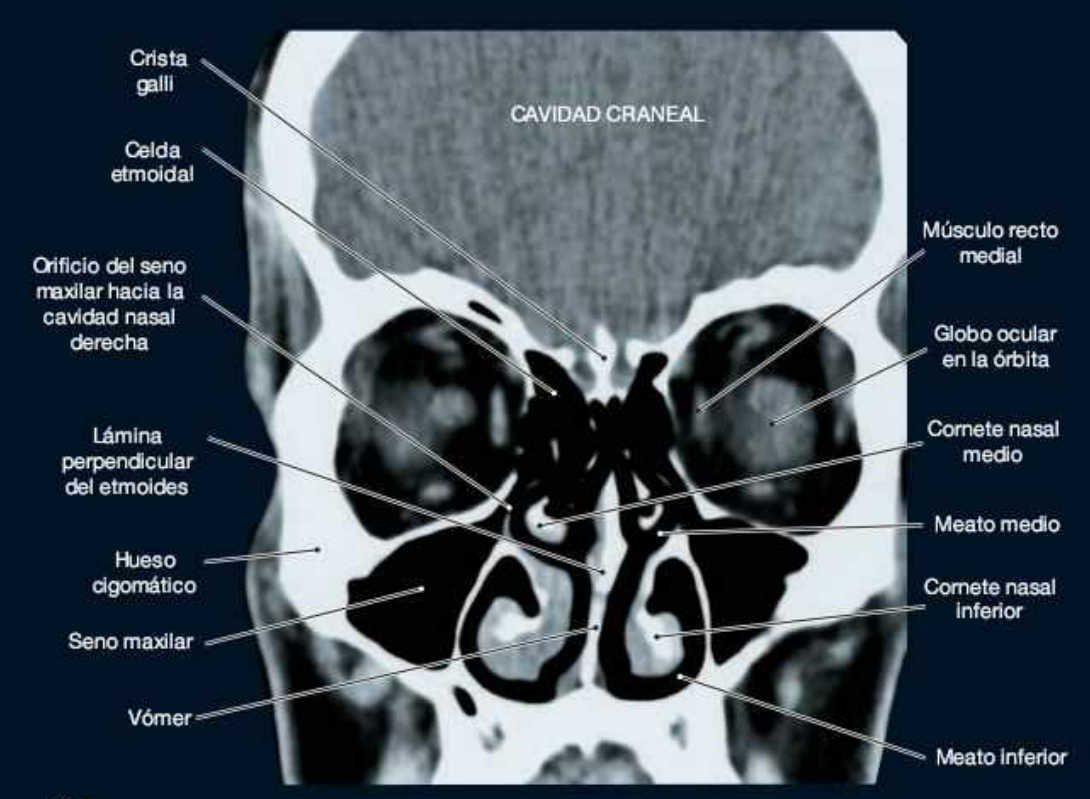


IMAGEN 16 IMAGEN DE RMN DEL ENCÉFALO. SECCIÓN SAGITAL Y MEDIA





Imágenes 2a-d Imágenes de RMN del encéfalo. Secciones frontales, Secuencia de anterior a posterior



IMÁGEN 38 IMAGEN DE RMN. SECCIÓN FRONTAL (CORONAL) QUE MUESTRA LOS SENOS PARANASALES



IMAGEN 3b RADIOGRAFÍA DE LAS VÉRTEBRAS CERVICALES SUPERIORES, PROYECCIÓN ANTEROPOSTERIOR

IMAGEN 3C IMAGEN DE RMN DE LA REGIÓN CERVICAL, SECCIÓN SAGITAL





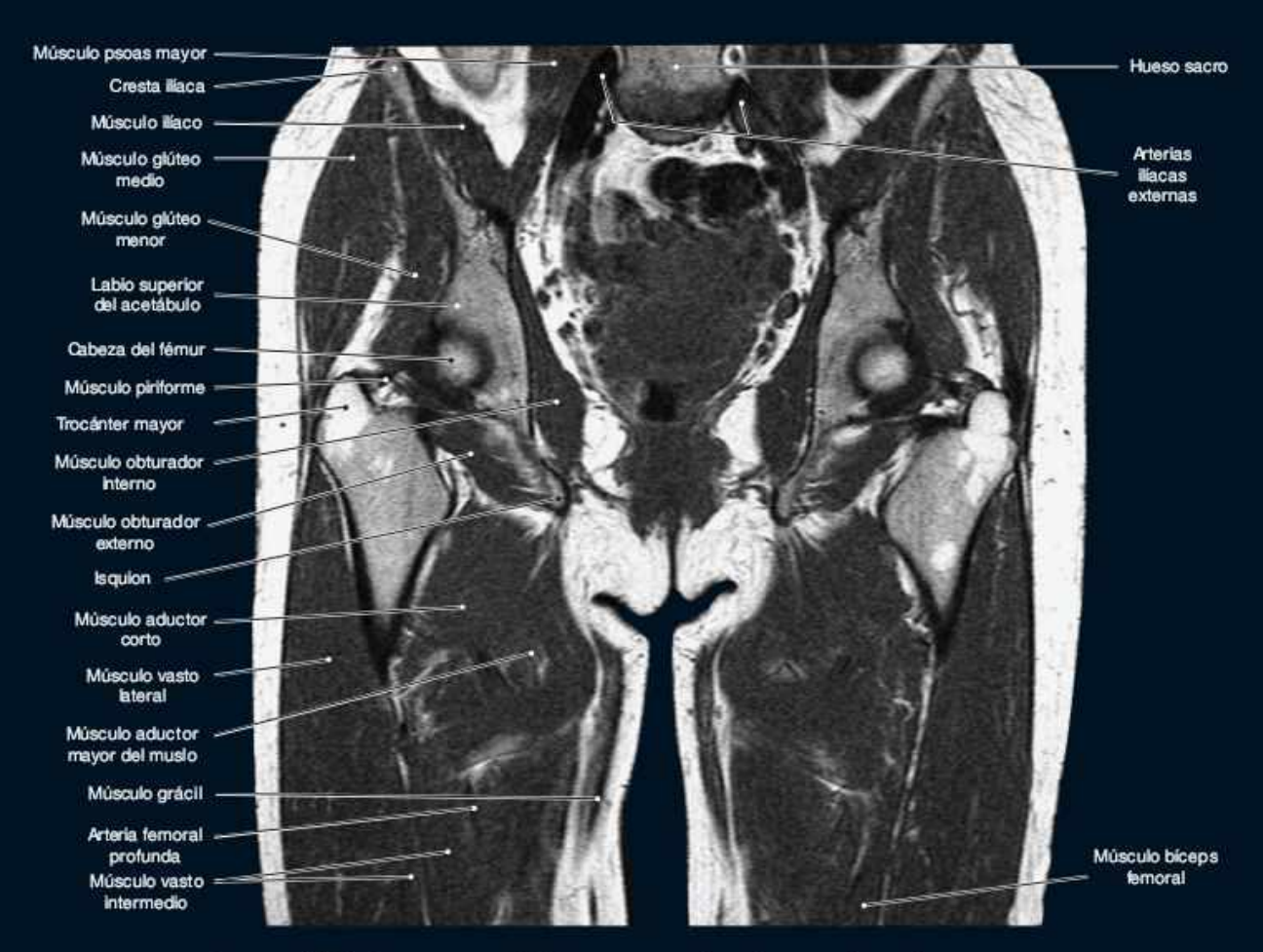


IMAGEN 4a IMAGEN DE RMN DE LA REGIÓN PÉLVICA. SECCIÓN FRONTAL

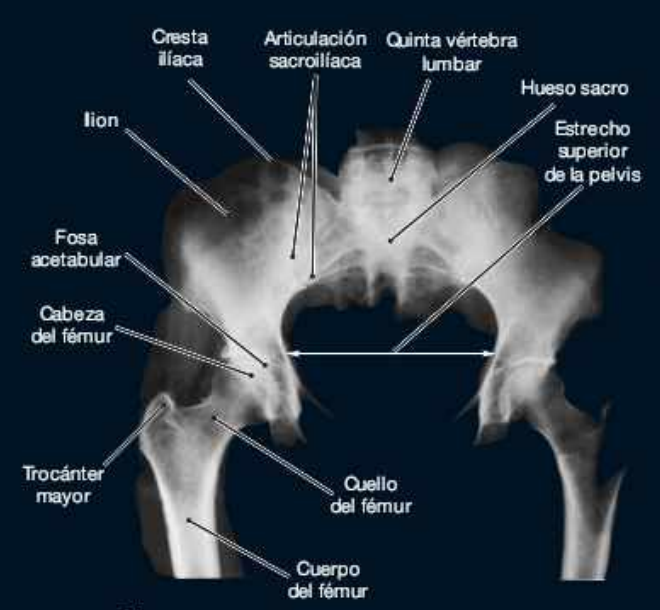


IMAGEN 4b RADIOGRAFÍA DE LA PELVIS Y DE LAS PARTES PROXIMALES DEL FÉMUR. PROYECCIÓN ANTERO-POSTERIOR

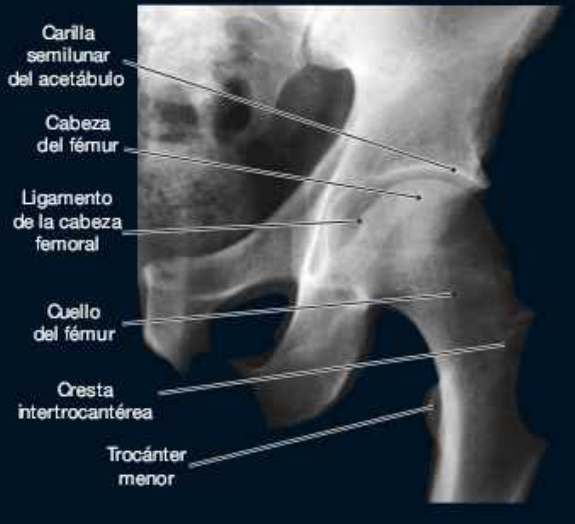


Imagen 4C Radiografía de la articulación de la cadera derecha. Proyección antero-posterior

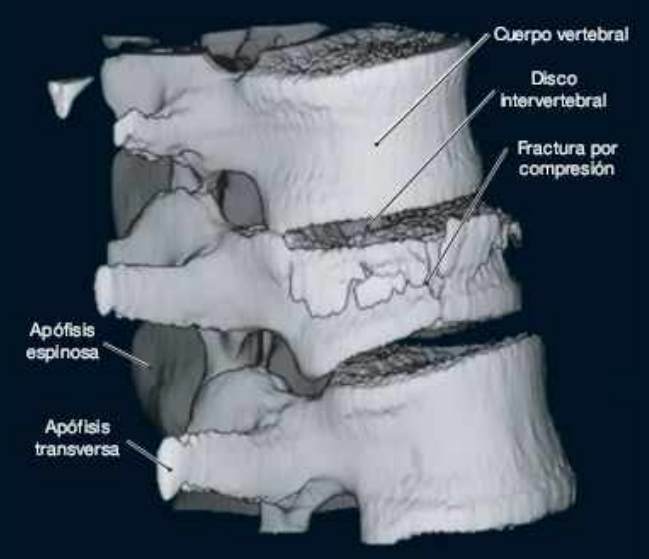


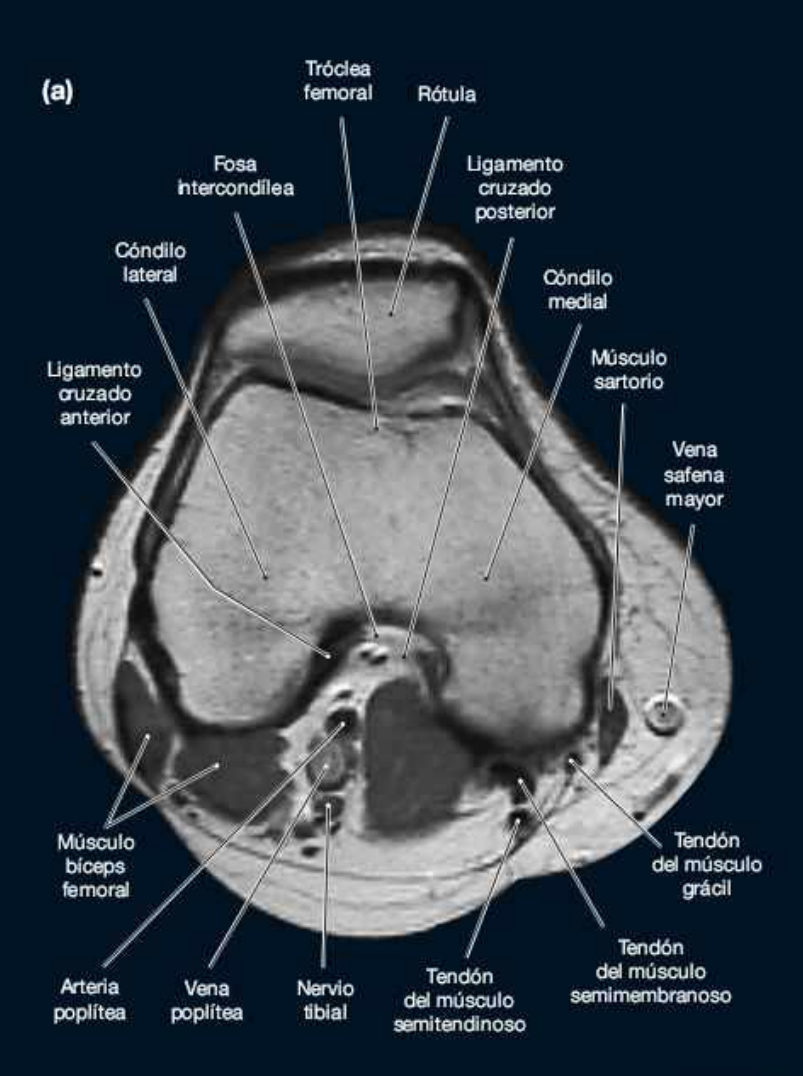
IMAGEN 5 TC TRIDIMENSIONAL QUE MUESTRA UNA FRACTURA DEL CUERPO DE UNA VÉRTEBRA LUMBAR

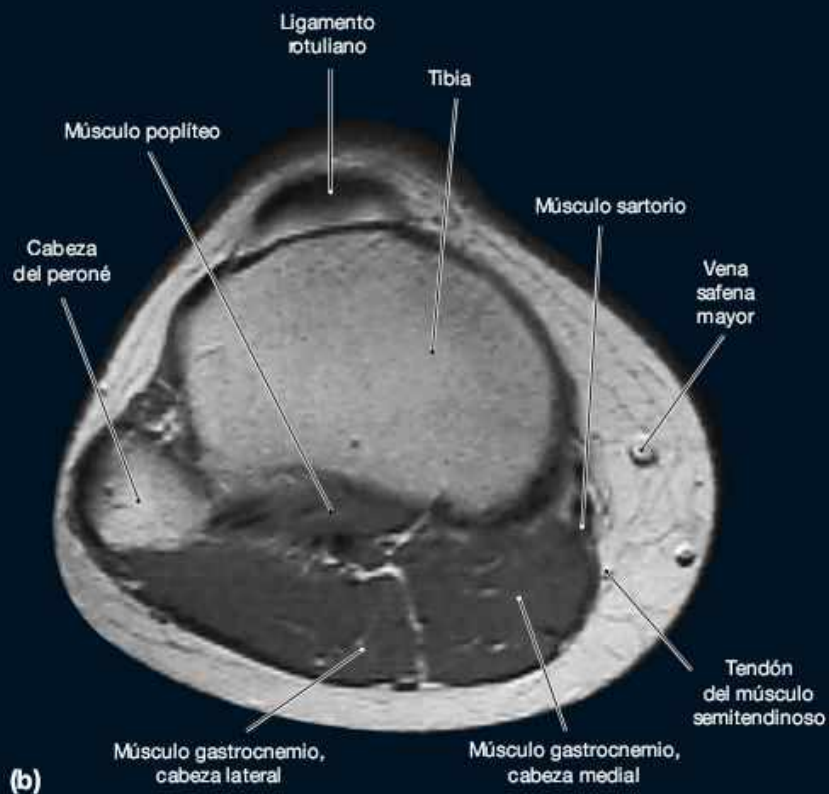


IMAGEN 6a TC TRIDIMENSIONAL DE LA ARTICULACIÓN DEL CODO. VISTA SUPERIOR



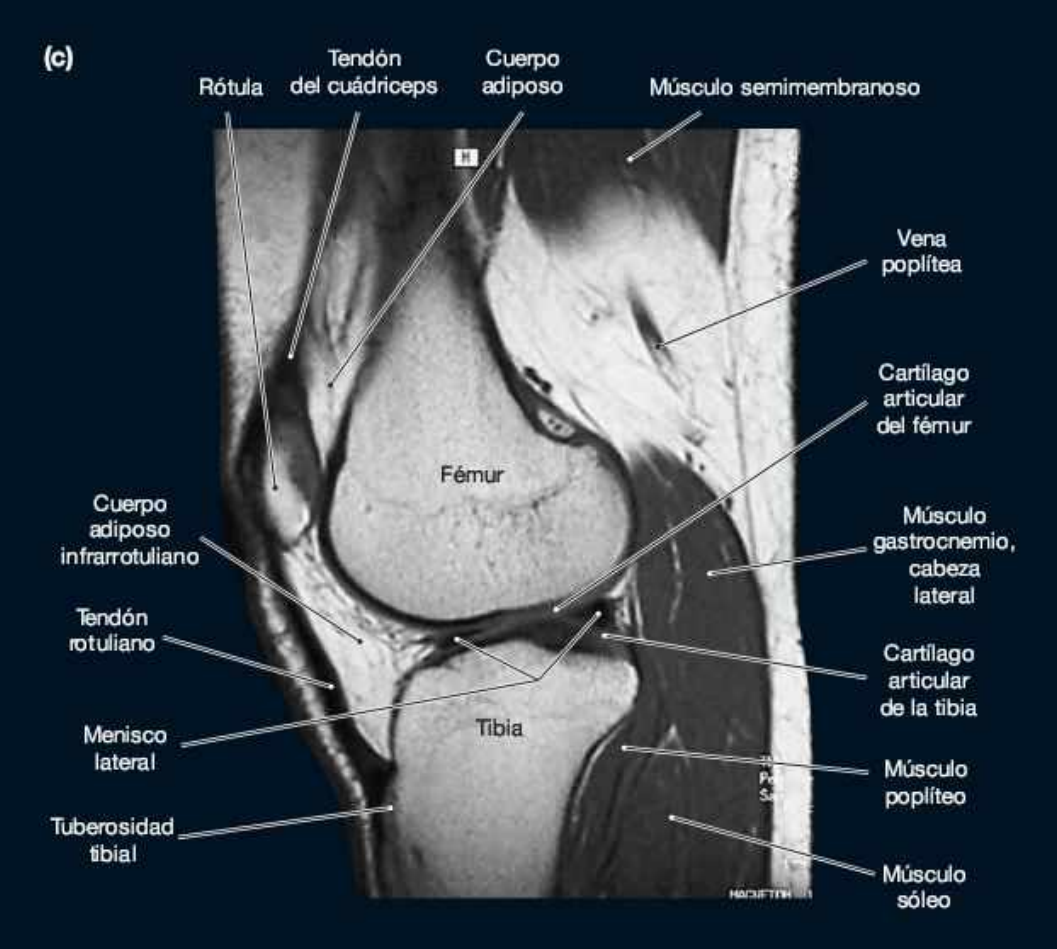
IMAGEN 6b RADIOGRAFÍA DE LA ARTICULACIÓN DEL CODO. PROYECCIÓN MEDIAL-LATERAL

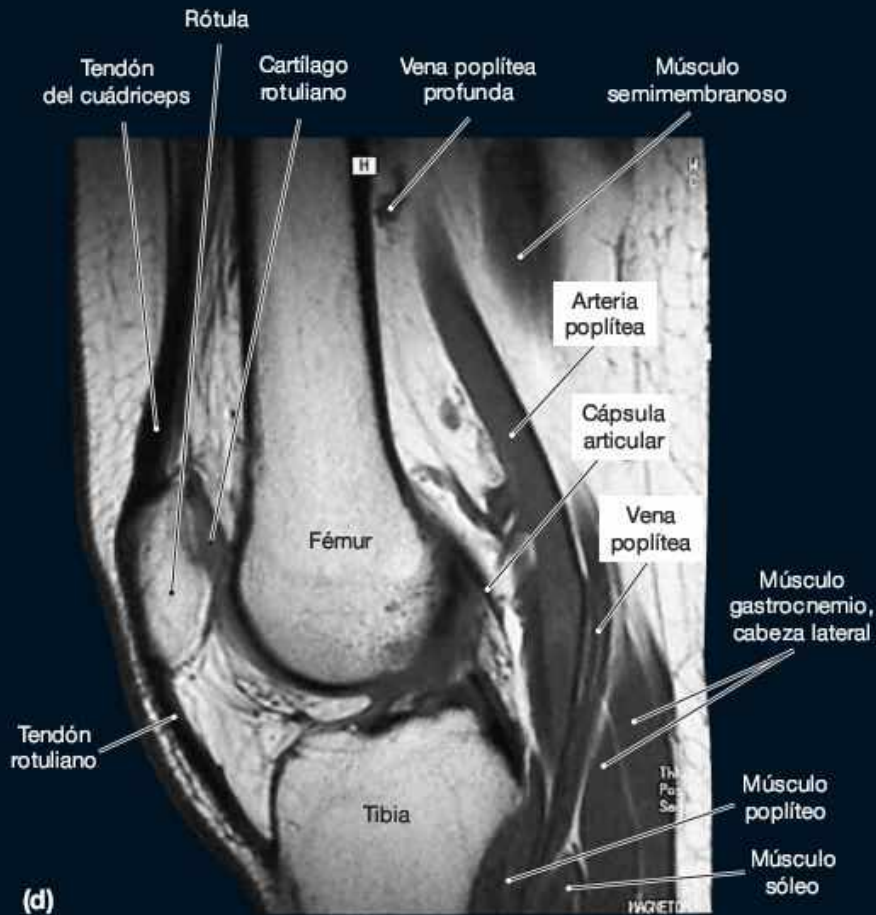




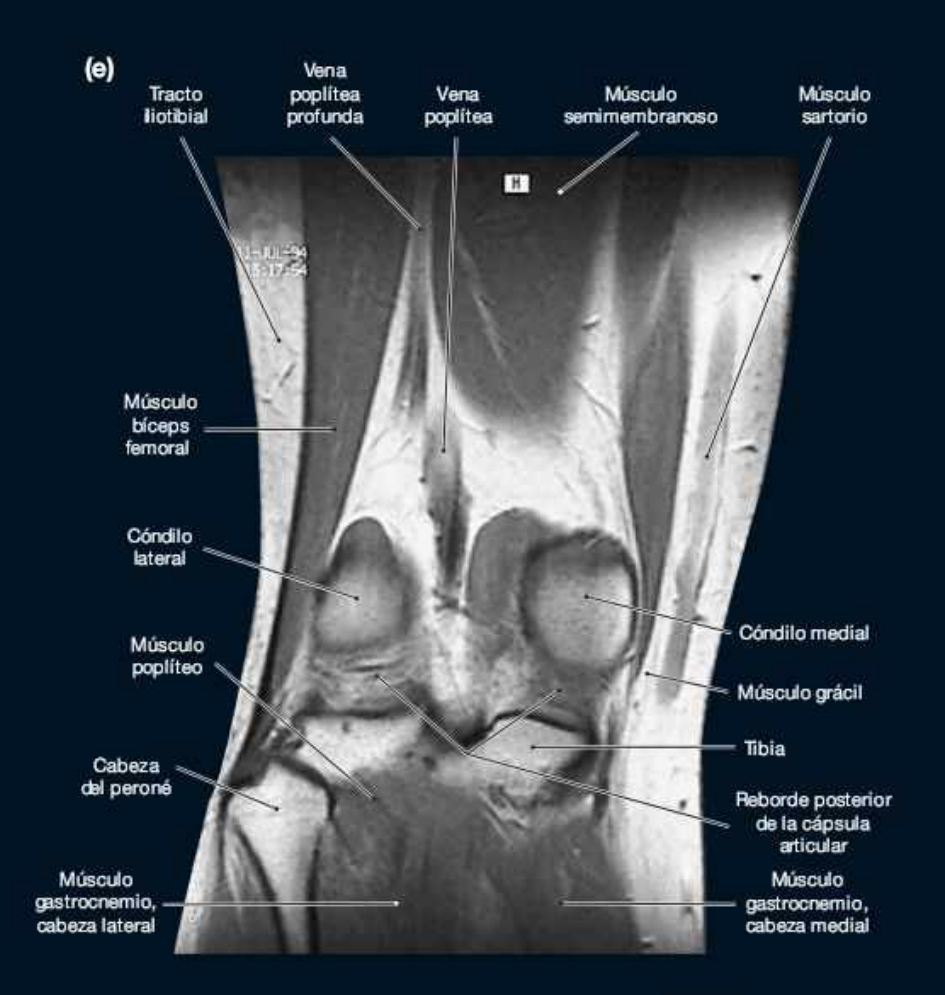
IMAGENES 7a-b IMÁGENES DE RMN DE LA RODILIA DERECHA. SECCIONES HORIZONTALES. SECUENCIA DE SUPERIOR A INFERIOR

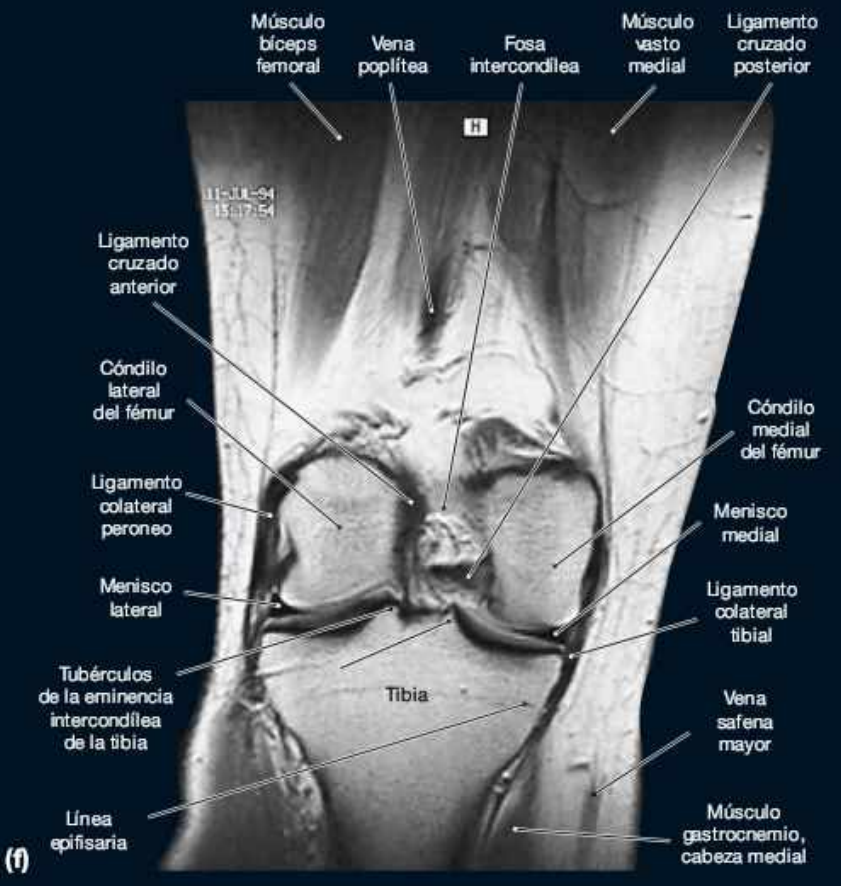
74 IMÁGENES





IMÁGENES 7C-d
IMÁGENES DE RMN DE LA
RODILLA DERECHA.
SECCIONES HORIZONTALES,
SECUENCIA DE SUPERIOR A
INFERIOR





IMÁGENES 7e-f IMÁGENES DE RMN DE LA RODILLA DERECHA. SECCIONES FRONTALES. SECUENCIA DE POSTERIOR A ANTERIOR

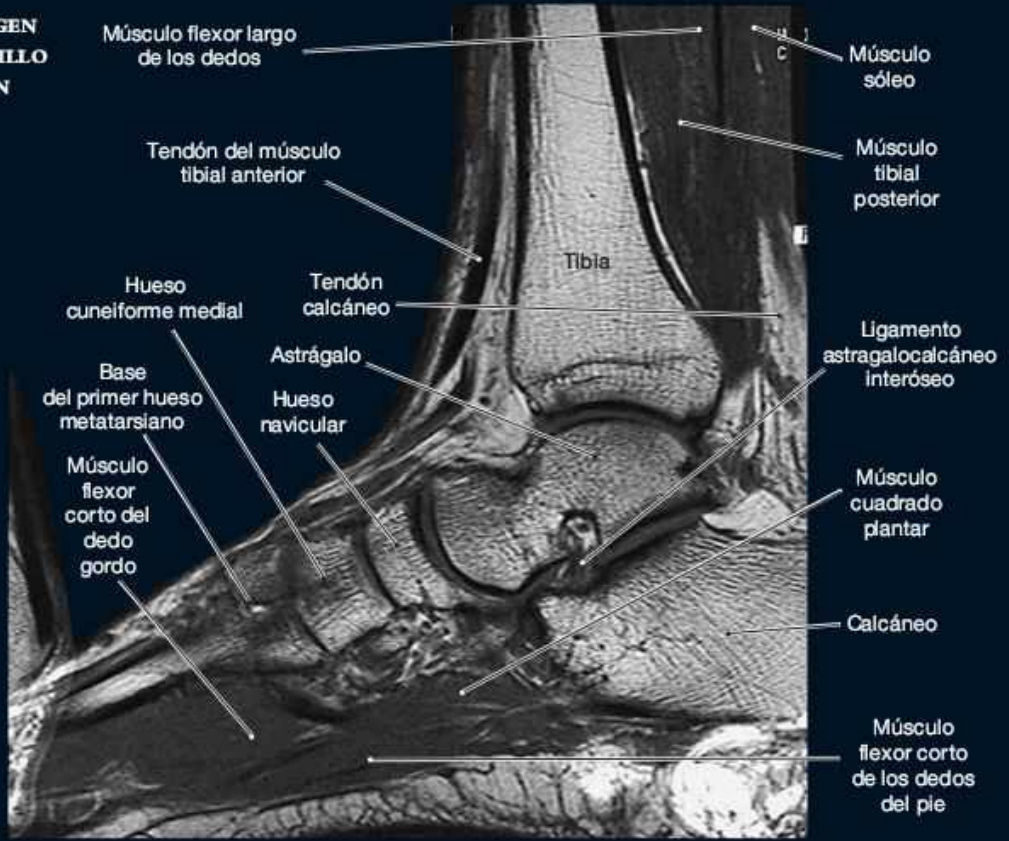


IMAGEN 7g RADIOGRAFÍA DE LA RODILLA DERCHA EXTENDIDA. PROYECCIÓN ANTERO-POSTERIOR

IMAGEN 7h RADIO GRAFÍA DE LA RODILLA DERECHA PARCIALMENTE FLEXIONADA, PROYECCIÓN LATERAL



IMAGEN 8b IMAGEN DE RMN DEL TOBILLO DERECHO, SECCIÓN SAGITAL



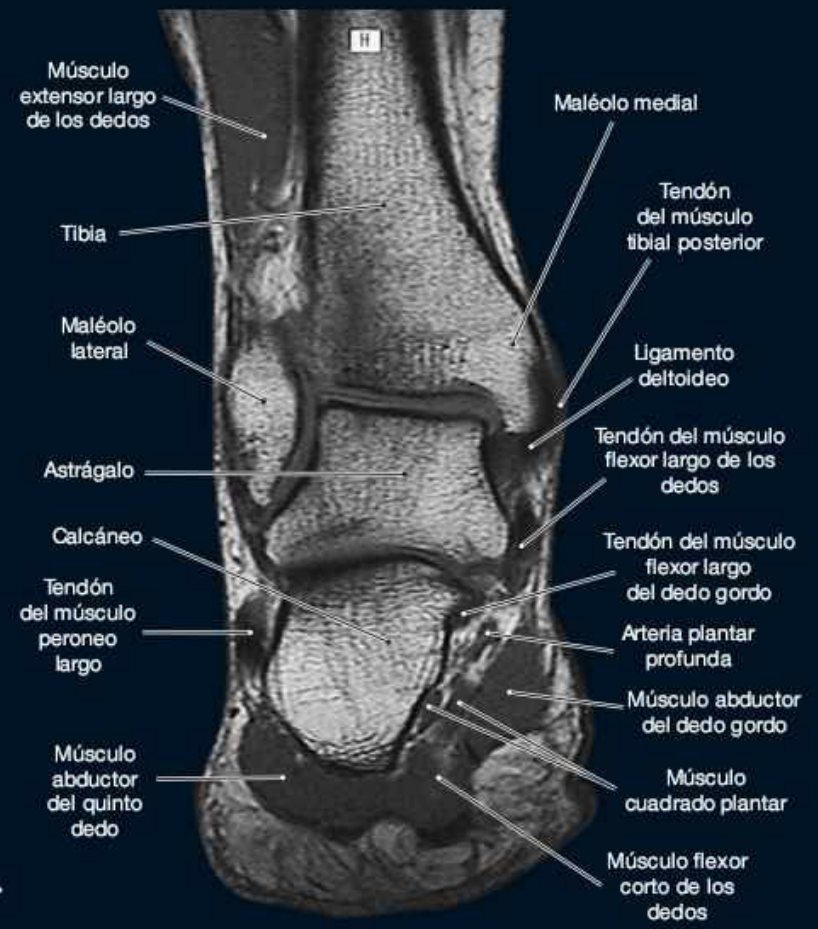


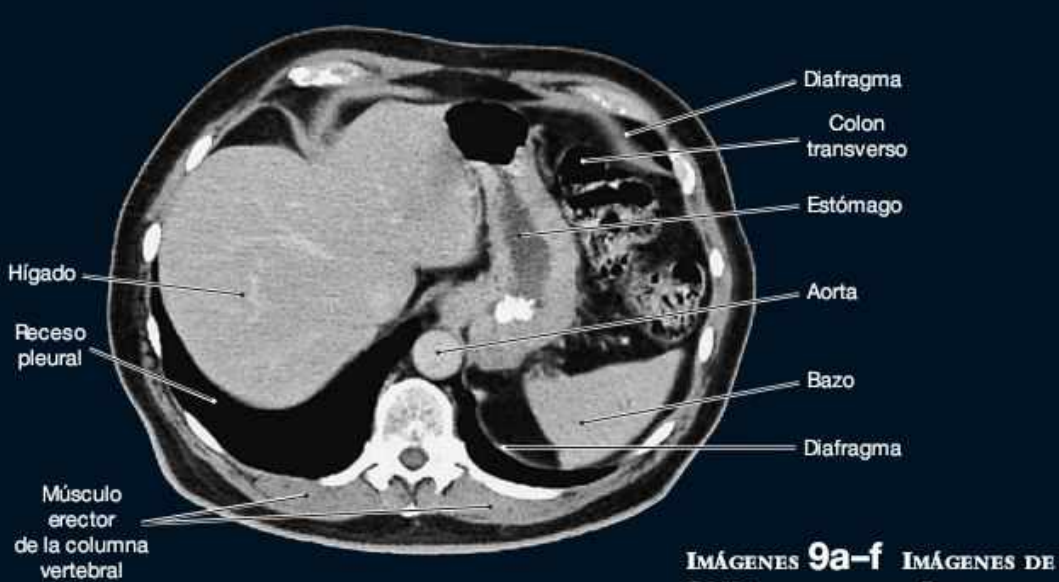
IMAGEN 8C IMAGEN DE RMN DEL TOBILLO DERECHO. SECCIÓN FRONTAL



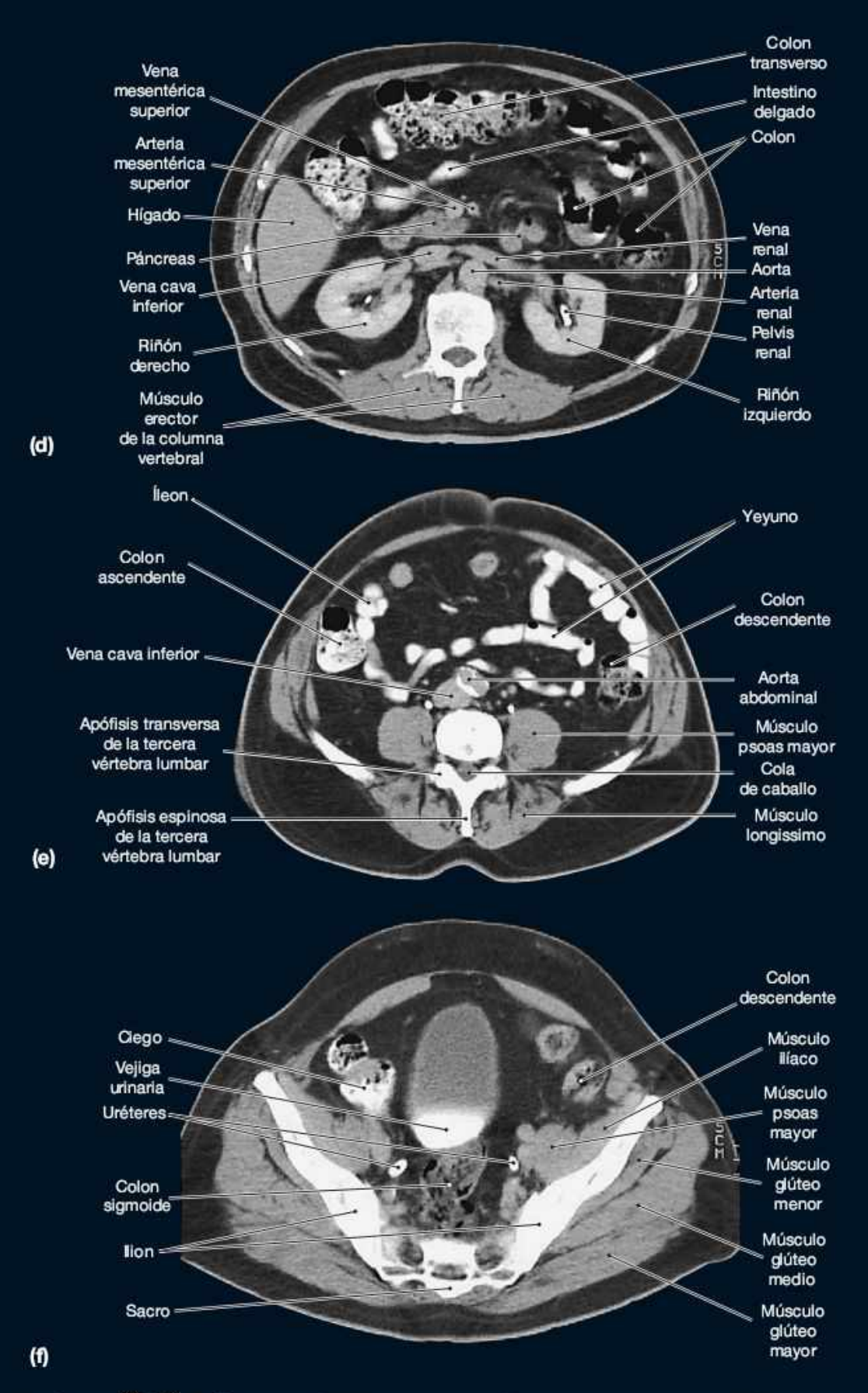


(b)

(c)



RMN DEL TRONCO, SECCIONES HORIZONTALES, SECUENCIA DE SUPERIOR A INFERIOR



Imágenes 9a-f Imágenes de RMN del tronco. Secciones horizontales. Secuencia de superior a inferior

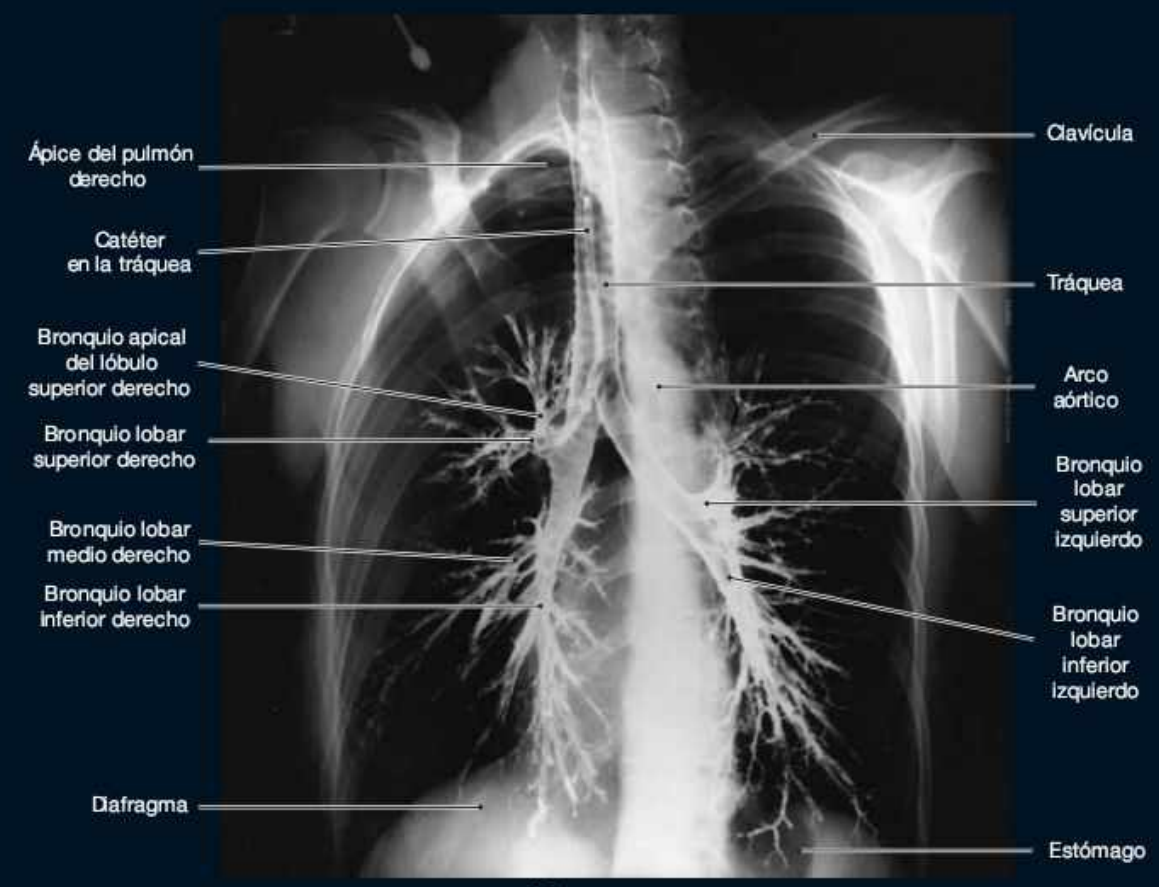


IMAGEN 10 BRONCOGRAFÍA



IMAGEN 11a ANGIOGRAFÍA PULMONAR

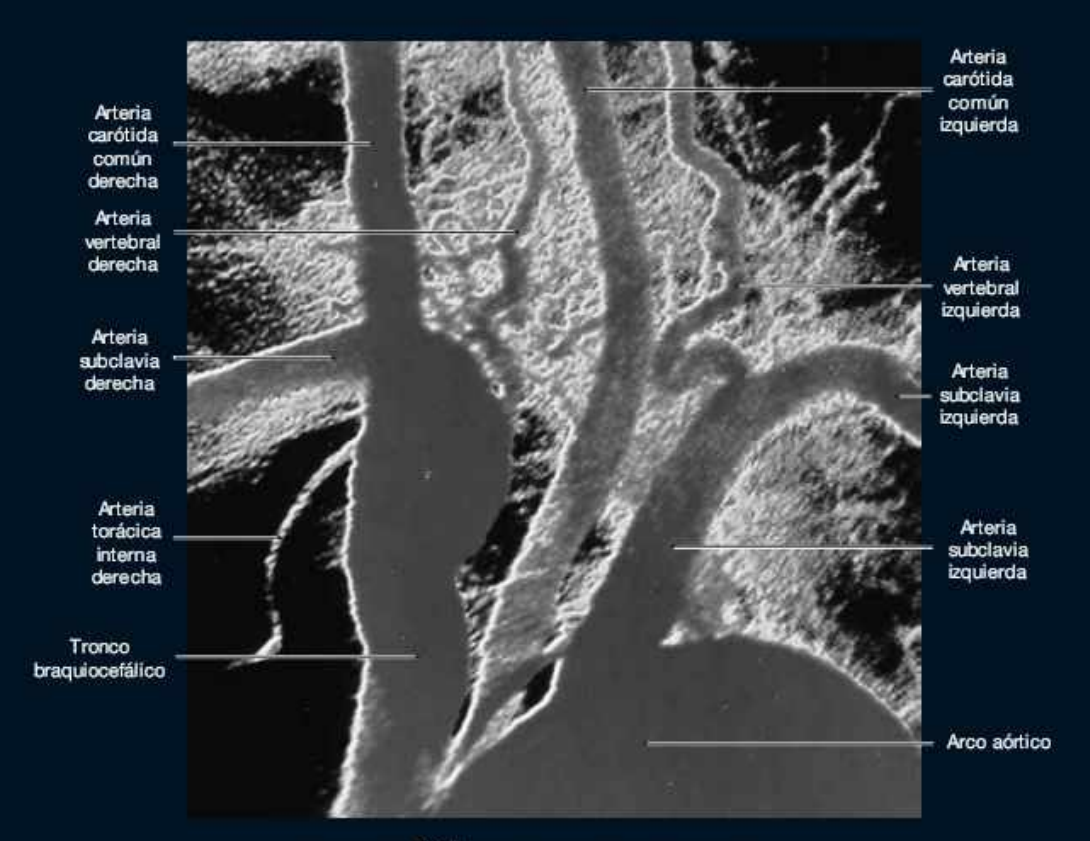


IMAGEN 11b ANGIOGRAFÍA AÓRTICA



IMAGEN 11C ANGIOGRAFÍA CEREBRAL

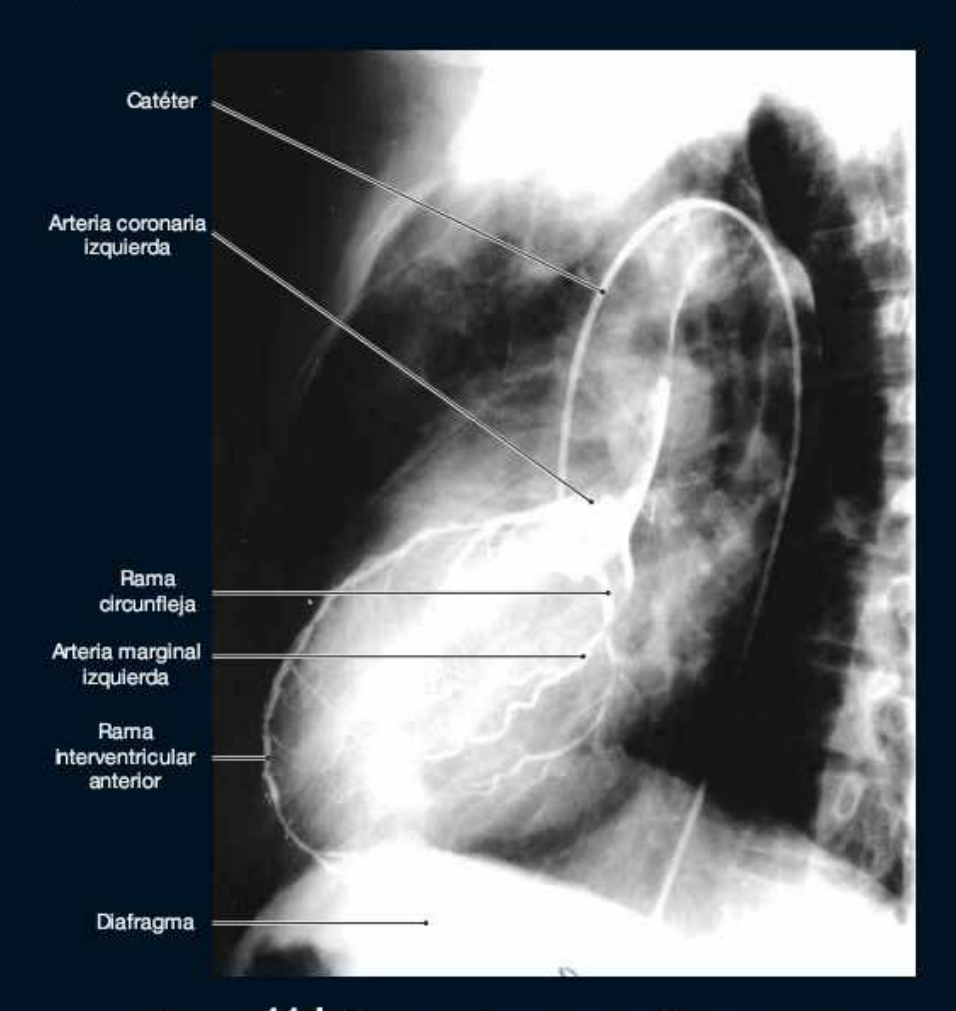


IMAGEN 11d ANGIOGRAFÍA CORONARIA. VISTA LATERAL

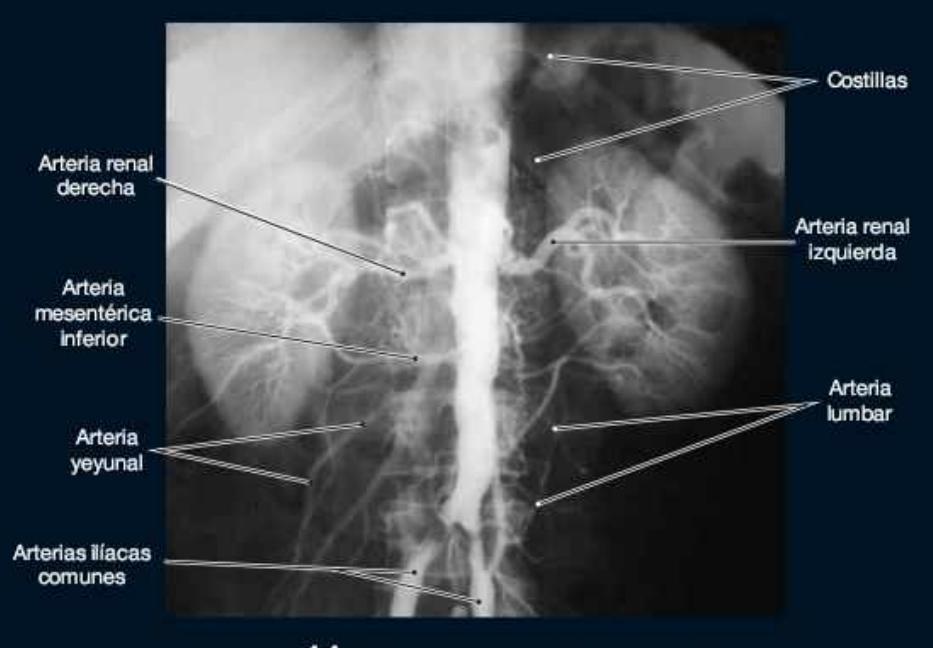


IMAGEN 11e ARTERIOGRAFÍA ABDOMINAL

IMÁGEN 11f Angiografía abdominal



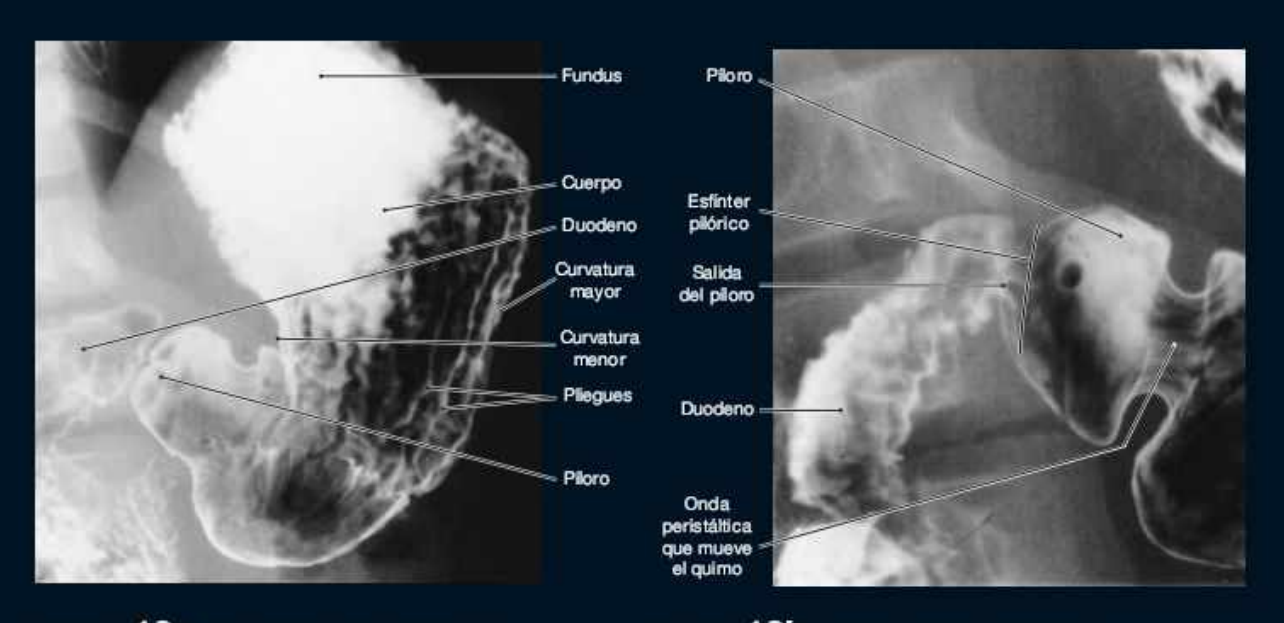


IMAGEN 12a RADIOGRAFÍA GÁSTRICA

IMAGEN 12b RADIOGRAFÍA PILÓRICA





IMAGEN 12d MOTILIDAD GÁSTRICA. VISTA ANTERIOR. TIEMPOS 1 Y 2

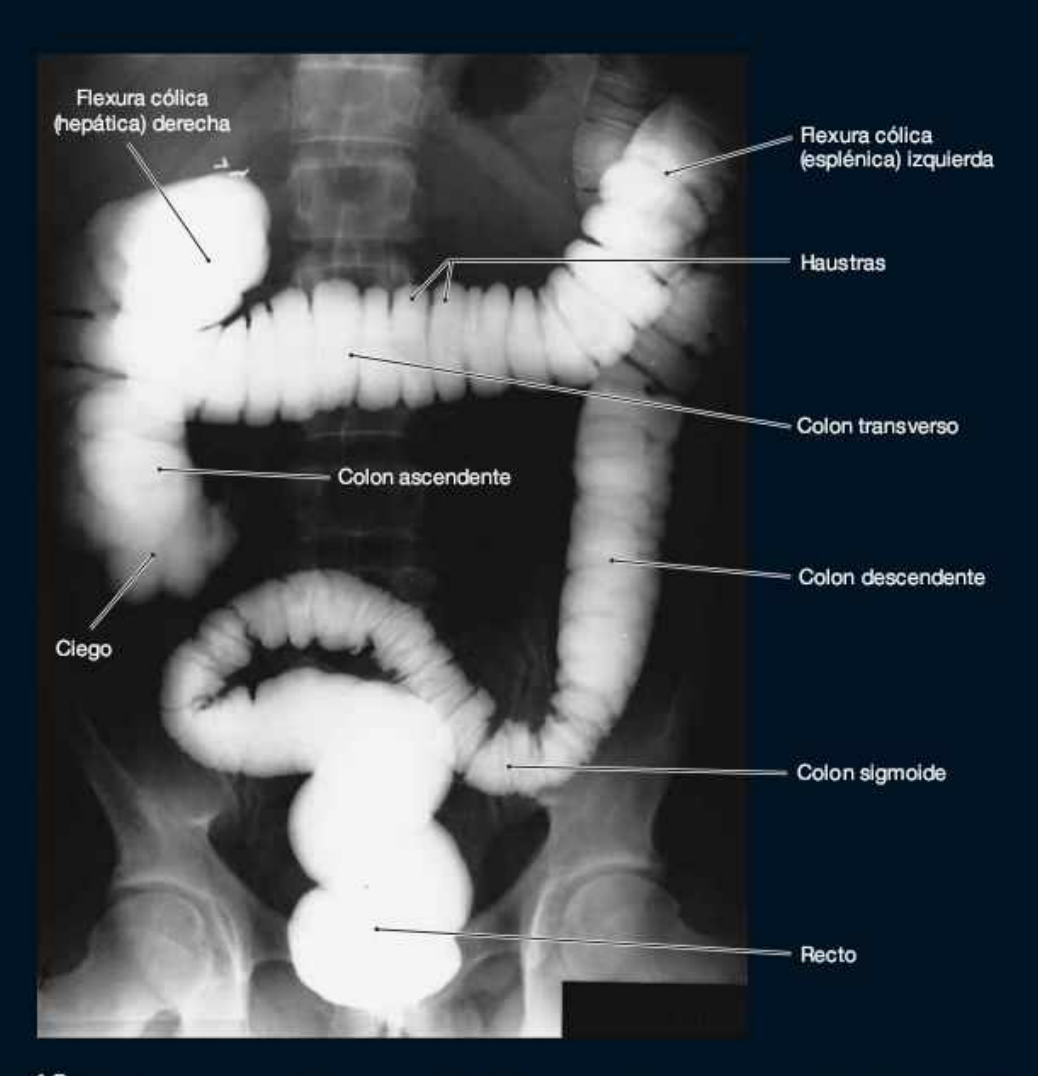


IMAGEN 12e RADIOGRAFÍA DE CONTRASTE DEL COLON Y EL RECTO. PROYECCIÓN ANTERO-POSTERIOR

IMAGEN 13a LINFANGIOGRAFÍA DEL TÓRAX. PROYECCIÓN ANTERO-POSTERIOR

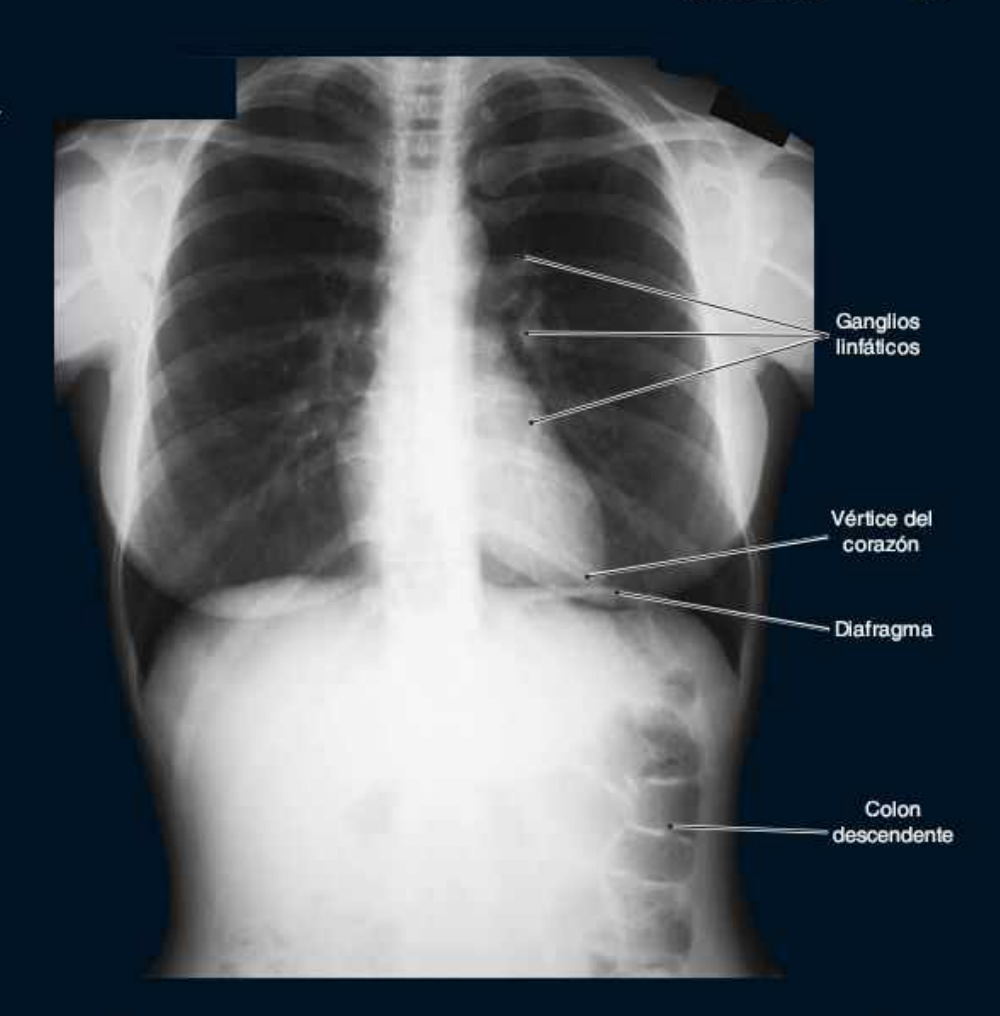


IMAGEN 13b LINFANGIOGRAFÍA DE LA PELVIS. PROYECCIÓN ANTERO-POSTERIOR

Sínfisis



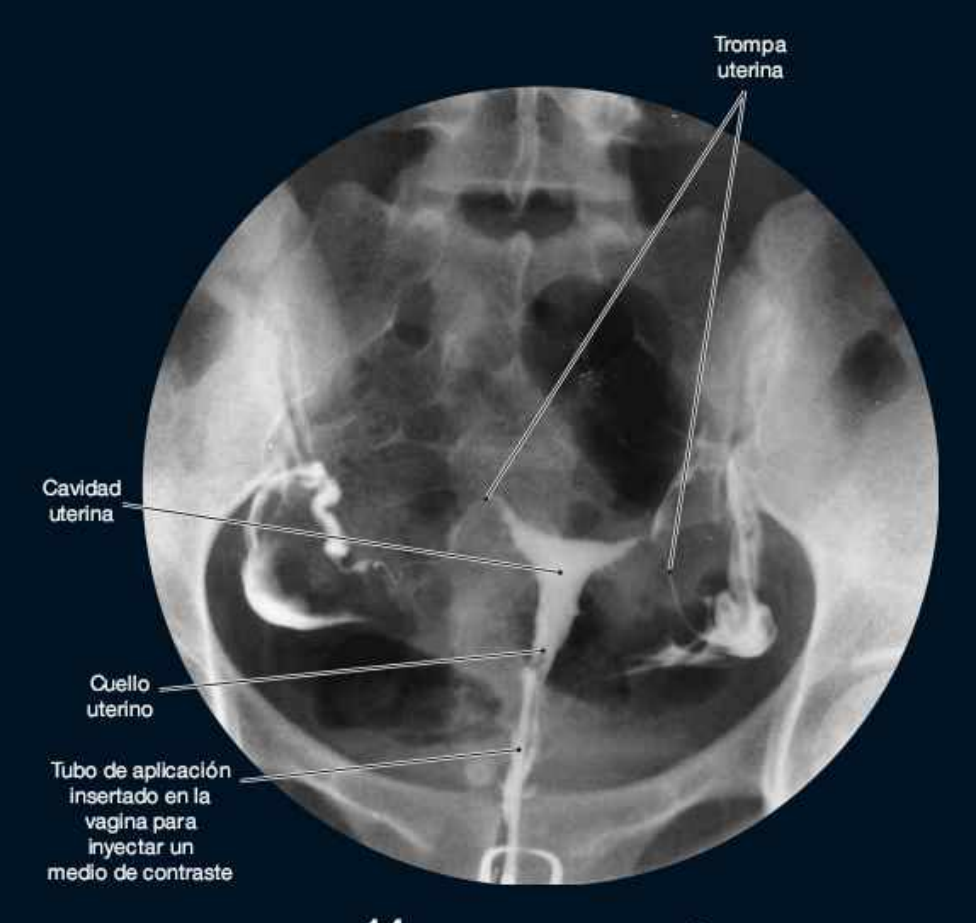


IMAGEN 14 HISTEROSALPINGOGRAFÍA

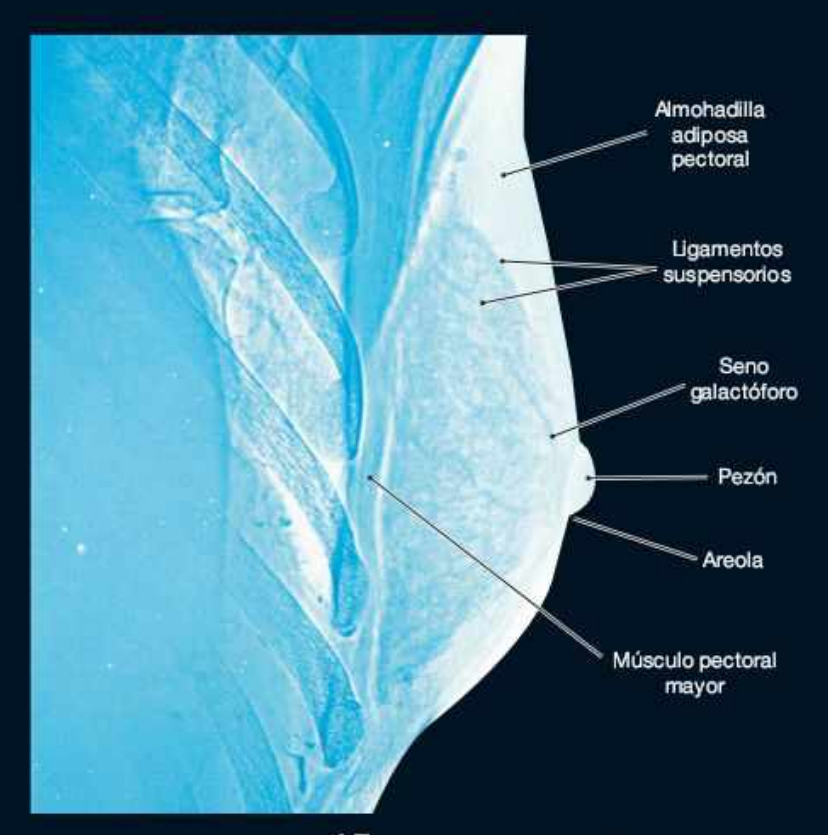
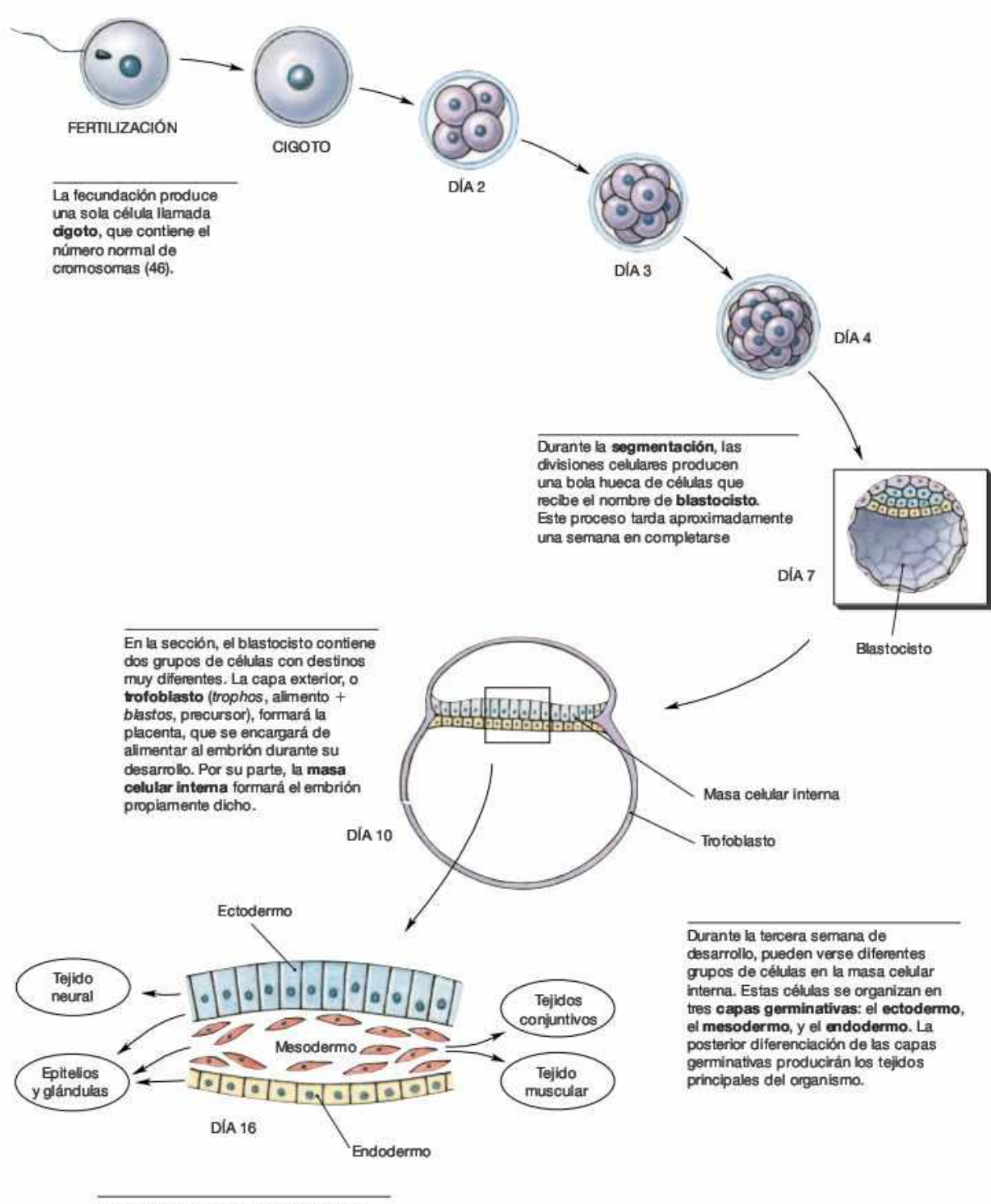
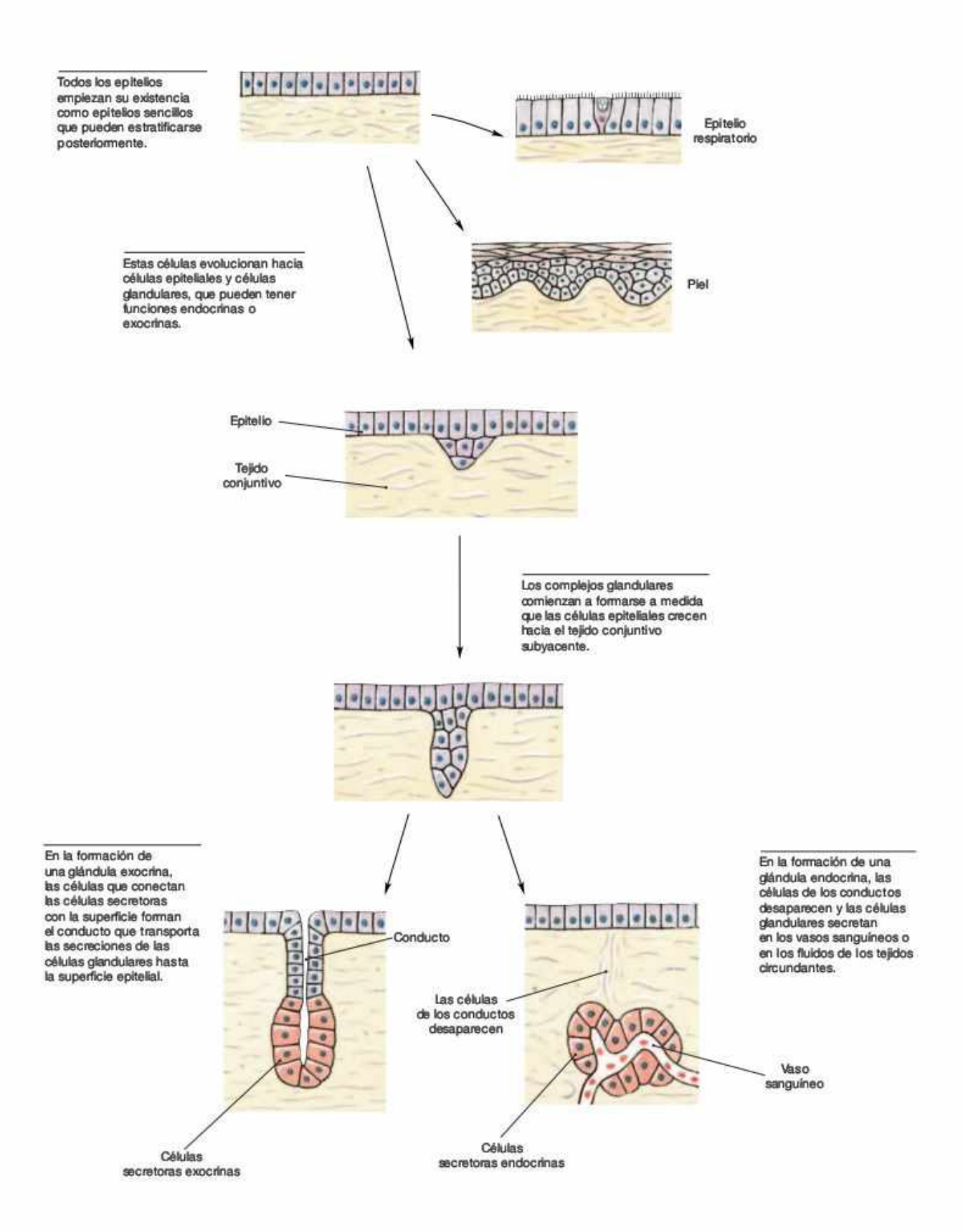
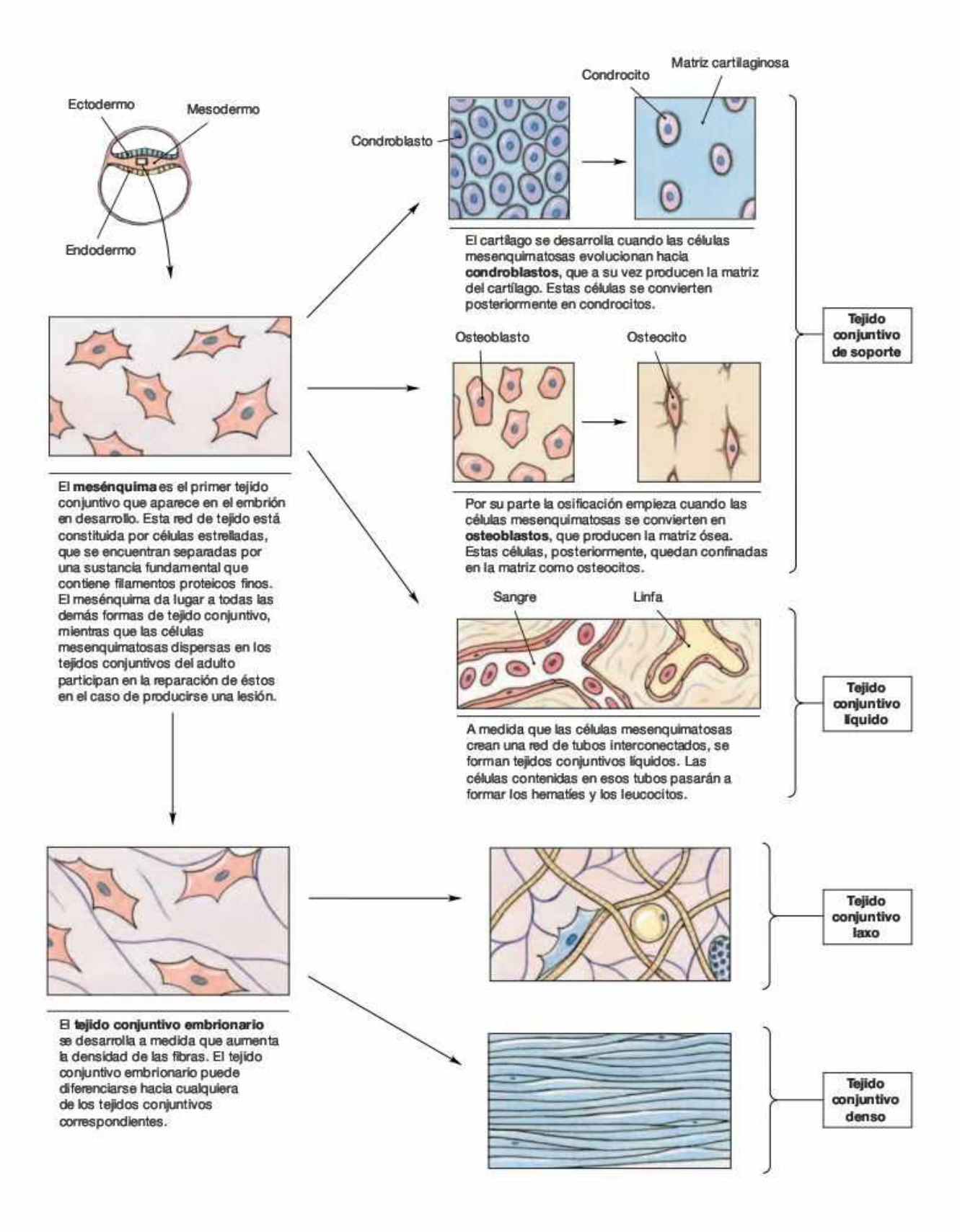


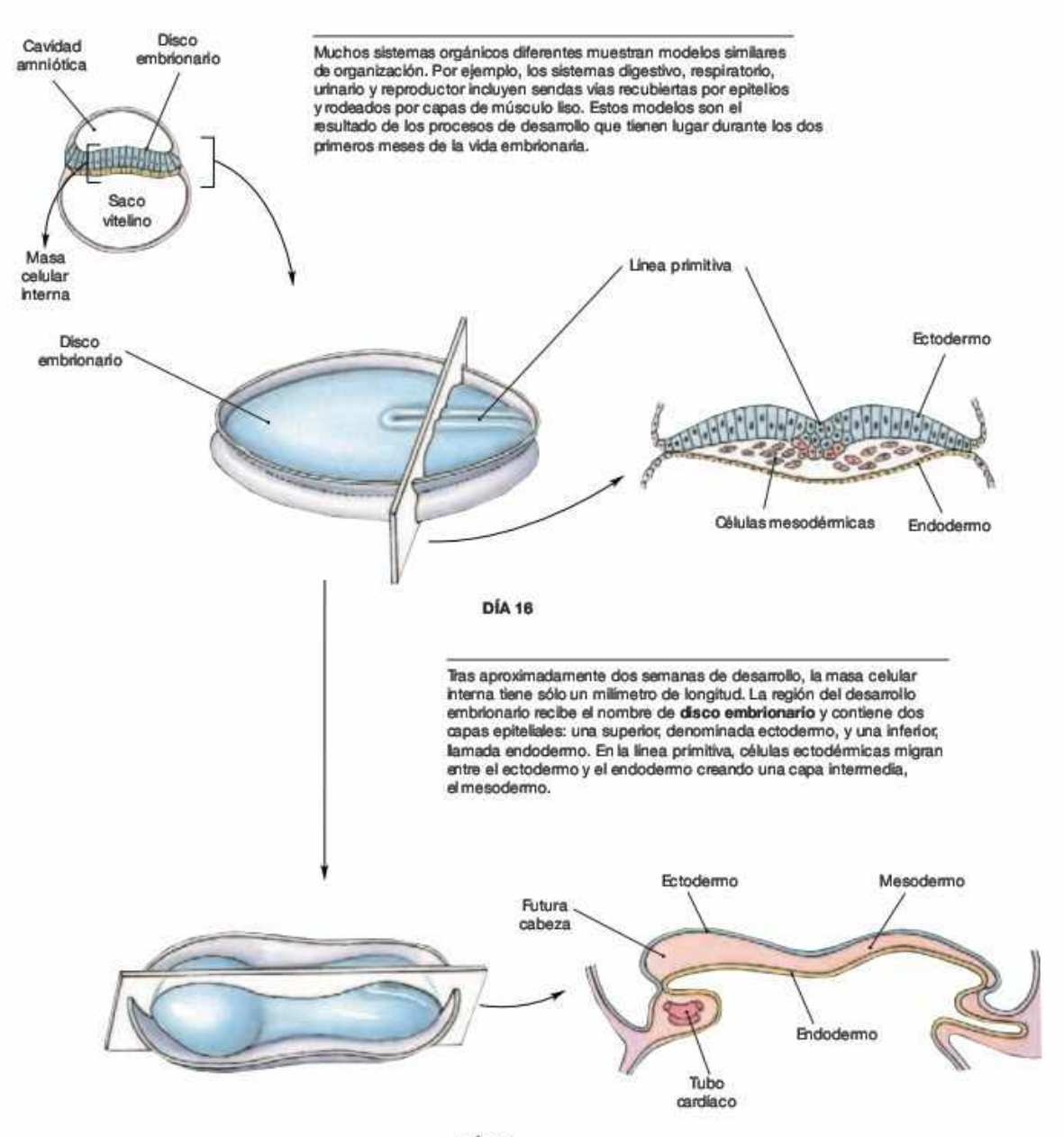
IMAGEN 15 XEROMAMOGRAFÍA



Las tres capas germinales participan en la formación de los órganos y de los sistemas orgánicos. En cualquier caso, sus interacciones se explicarán con más detalle en los resúmenes de embriología que se incluyen más adelante.



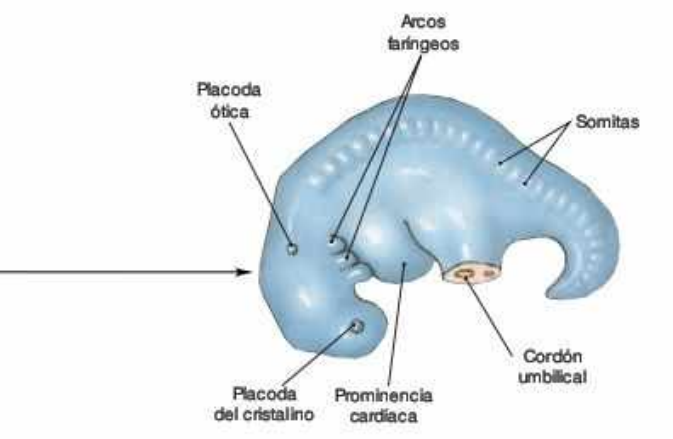


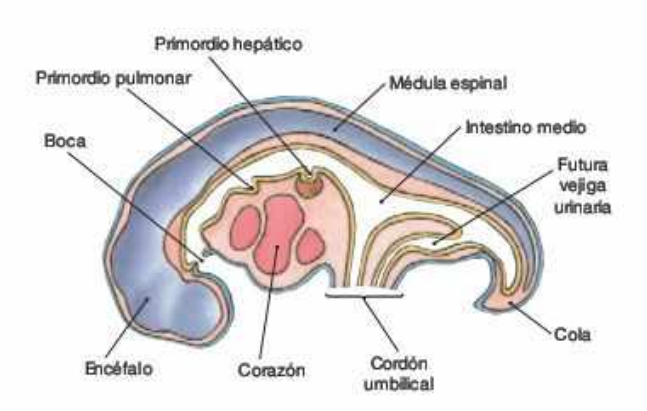


DÍA 18

Aproximadamente en el día 18, el embrión ha empezado a separarse de la superficie del disco embrionario. En este punto ya se han formado el corazón y muchos de los vasos sanguineos, ya que esto sucede mucho antes de que se desarrollen los demás sistemas orgánicos. A menos que se indique lo contrario, las explicaciones relativas al desarrollo de los sistemas orgánicos que se incluyan en los capítulos posteriores comenzarán en este estadio.

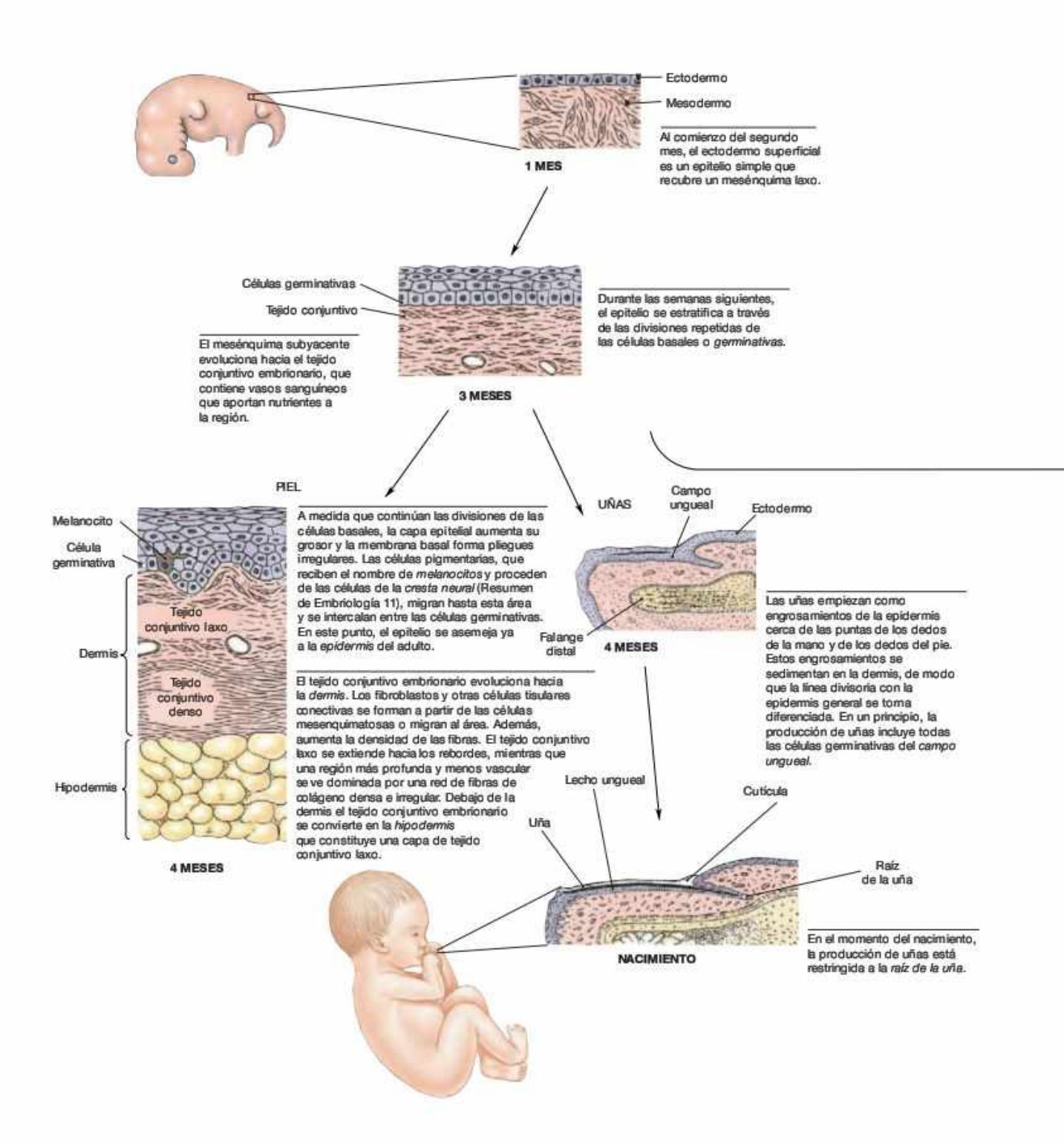
DERIVADOS DE LAS CAPAS GERMINATIVAS	
Formaciones ectodérmicas:	Epidemis y derivados epidémicos del sistema integumentario, incluidos los folículos pilosos, las uñas y las glándulas que se comunican con la superficie de la piel (sudoriparas, mamarias y sebaceas). Recubrimiento de la boca, las glándulas sallivales, las vías nasales y el ano Sistema nervioso, incluido el encéfalo y la médula espinal Partes del sistema endocrino (glándula pitultaria y médula de la glándula supramenal) Partes del crâneo, arcos faringeos y dientes
Formaciones mesodérmicas:	Recubrimiento de las cavidades corporales (pleural, pericárdica, peritoneal) Sistemas muscular, esquelético, cardiovascular y linfático Riñones y parte del tracto urinario Cônades y la mayor parte del tracto genital Tejidos conjuntivos de soporte de todos los sistemas orgánicos Parte del sistema endocrino (partes de glándulas suprarrenales y tejidos endocrinos del aparato reproductor)
Formaciones endodérmicas:	La mayor parte del aparato digestivo: epitelio (excepto la boca y el ano), las glándulas exocrinas (excepto las glándulas salivales), el higado y el páncreas. La mayor parte del aparato respiratorio: epitelio (excepto las vías nasales) y glándulas mucosas Parte de los sistemas urinario y reproductor (conductos y las células madre que producen gametos Parte del sistema endocrino (timo, glándula tiroides, glándulas parotiroides y páncreas)

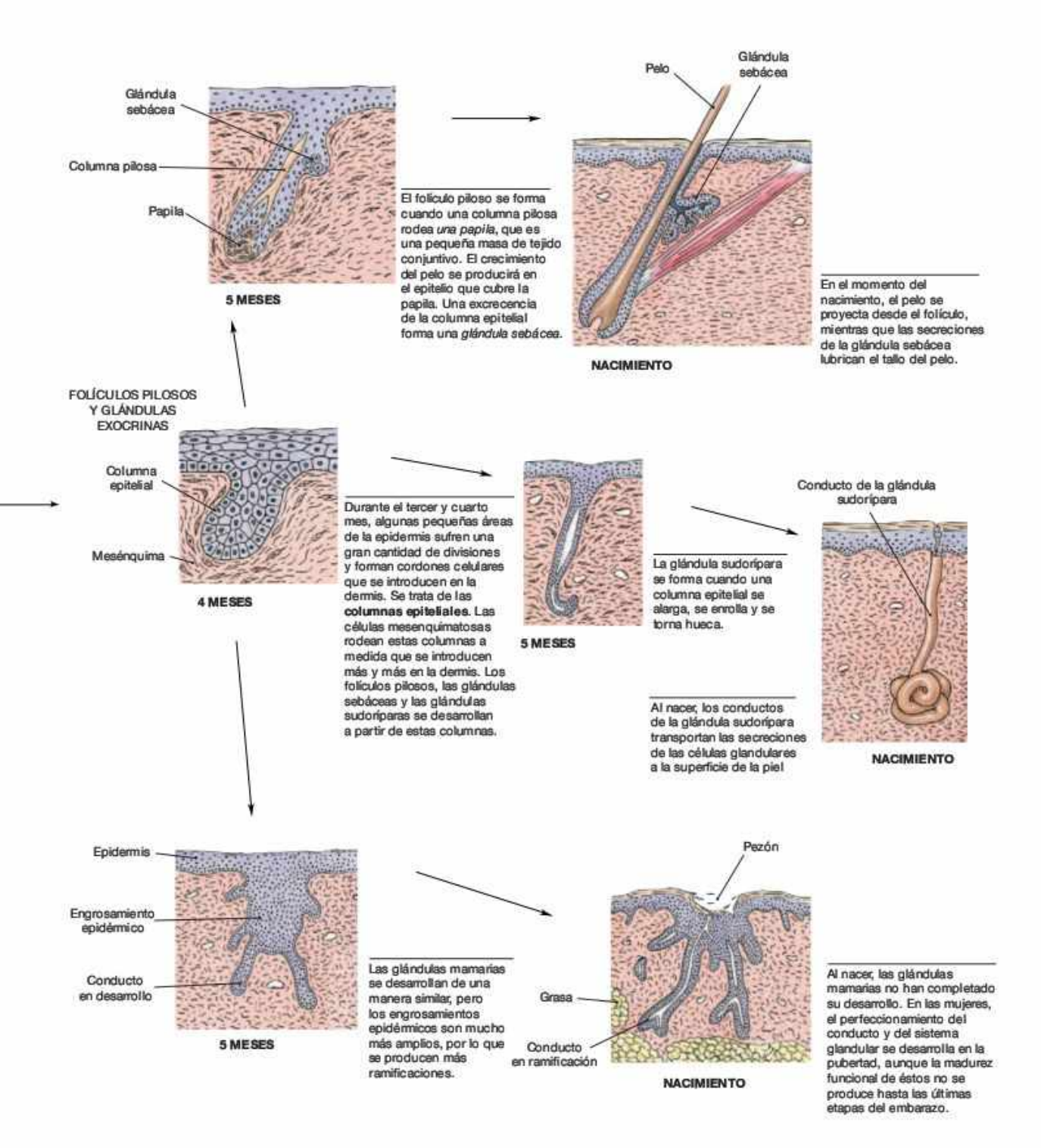


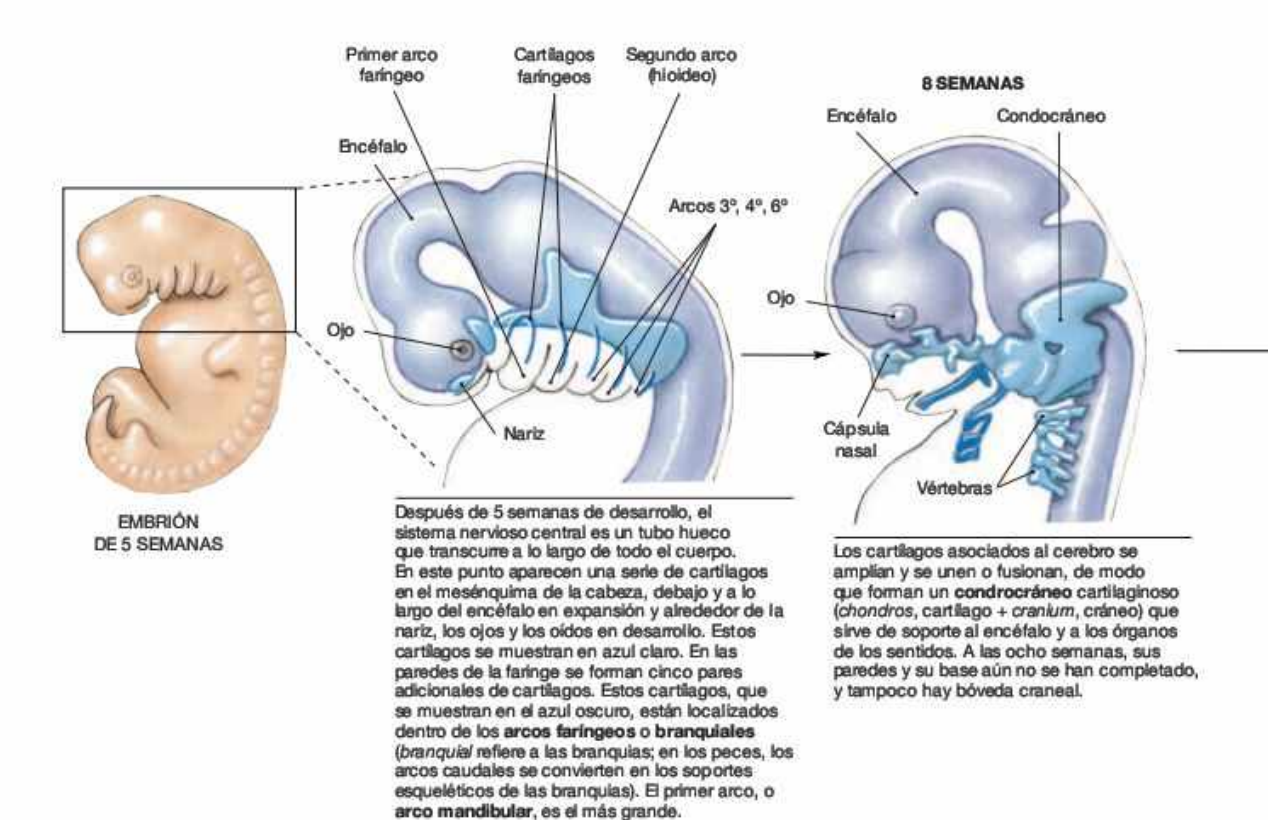


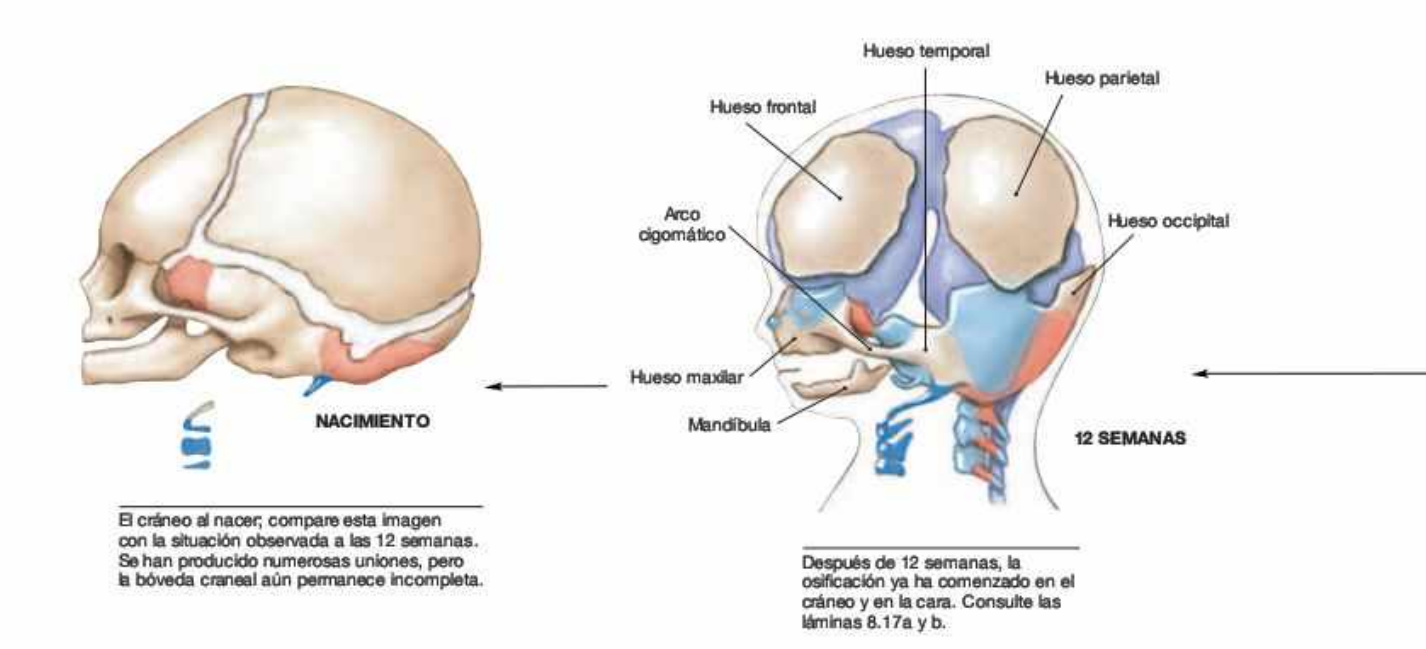
DÍA 28

Después de 1 mes, se pueden encontrar los comienzos de todos los sistemas orgánicos principales. La función que tiene cada una de las capas germinativas en la formación de los órganos se resume en la tabla adjunta. No obstante los resúmenes de embriología que se incluyen a continuación contienen más detalles al respecto.



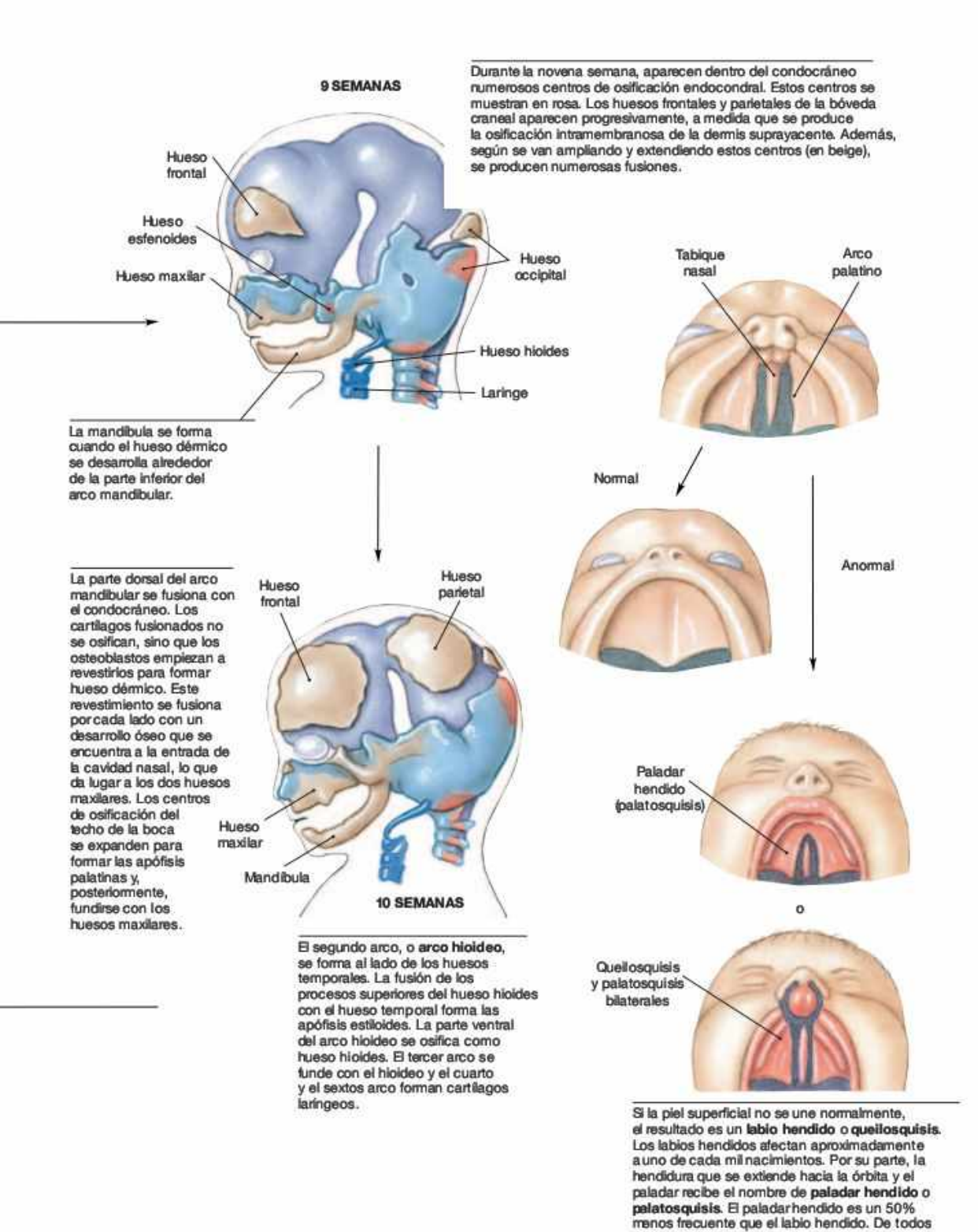


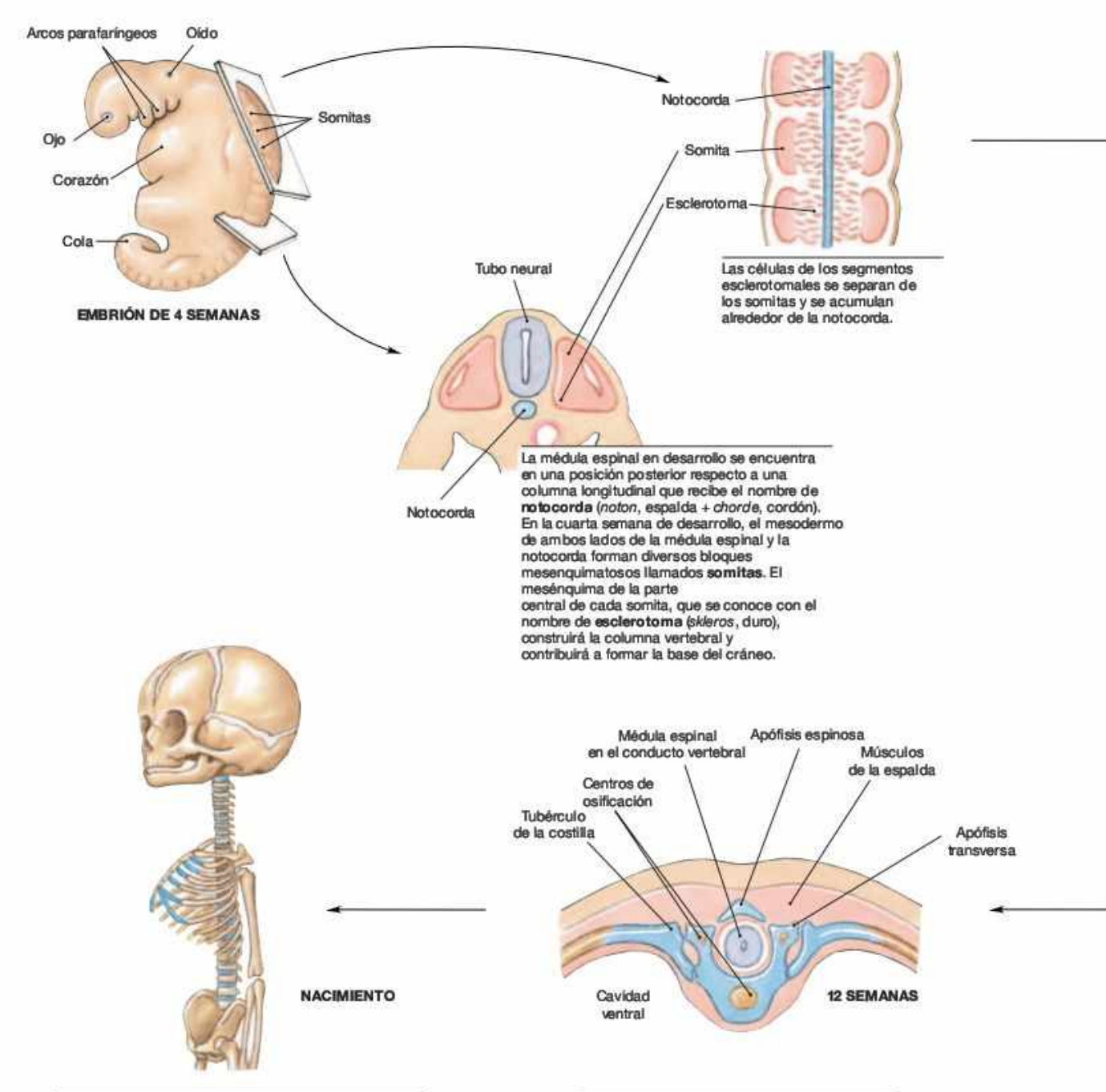




modos, ambas malformaciones pueden

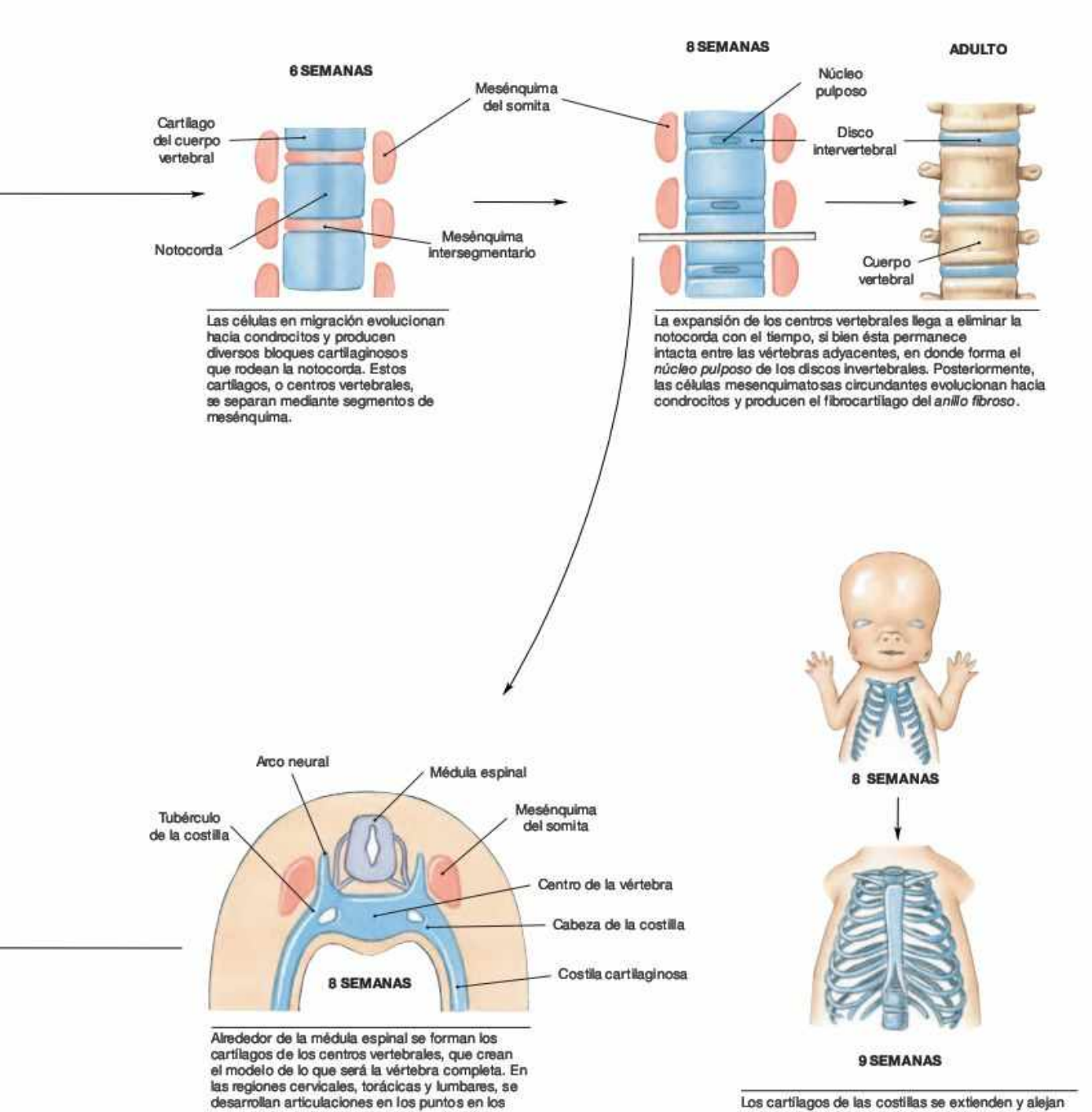
corregirse quirurgicamente.





Al nacer, las vértebras y las costillas están o sificadas, pero aún quedan muchas áreas cartilaginosas. Por ejemplo, las partes anteriores de las costillas siguen siendo cartilagos. El crecimiento de estas zonas se prolongará durante muchos años; así, en las vértebras, las bases de los arcos neurales seguirán ampliando su tamaño hasta una edad comprendida entre los 3 y los 6 años, mientras que el crecimiento de las apófisis espinosas y los cuerpos vertebrales se prolongará hasta una edad comprendida entre los 18 y los 25 años.

La osificación comienza aproximadamente cuando las costillas se separan de las vértebras. Sólo las costillas más cortas experimentan la osificación completa. En el resto, las partes distales siguen siendo cartilaginosas y forman los cartilagos costales. En el esternón aparecen varios centros de osificación, pero la fusión reduce gradualmente el número de las mismas.

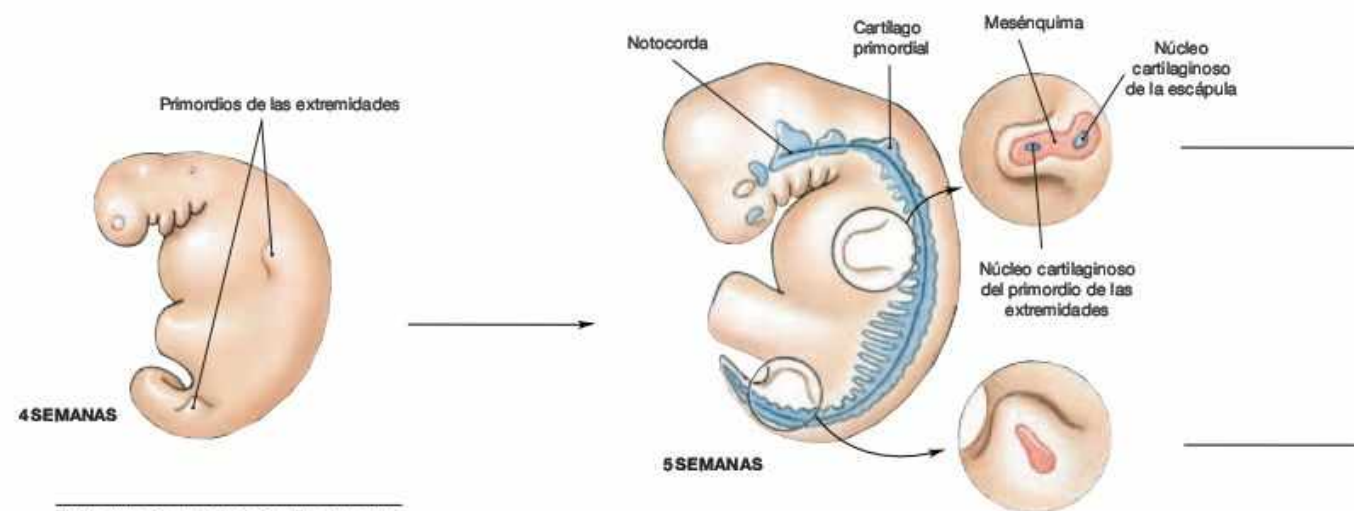


que bloques cartilagino sos adyacentes entran

en contacto unos con otros. Los cartilagos se

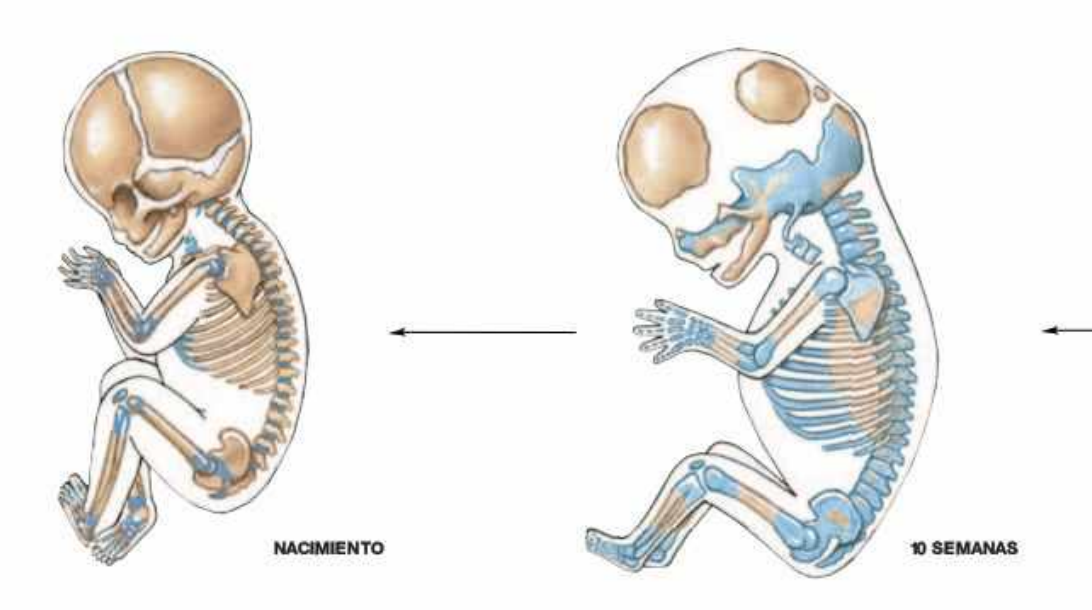
fusionan en el sacro y en el cóccix.

Los cartilagos de las costillas se extienden y alejan de la apófisis transversas de las vértebras, que están en desarrollo. Al principio, las costillas son continuas, pero hacia la octava semana ya se han separado de las vértebras. Así, se forma una costilla en cada vértebra, aunque en las regiones cervicales, lumbares, sacras y coccigeas, son muy pequeñas y acaban fundiéndose con las vértebras que aún están creciendo. Las costillas de las vértebras torácicas siguen ampliando su tamaño, siguiendo la curvatura de la pared corporal. Cuando llegan a la linea media ventral, se funden con los cartilagos del esternón.

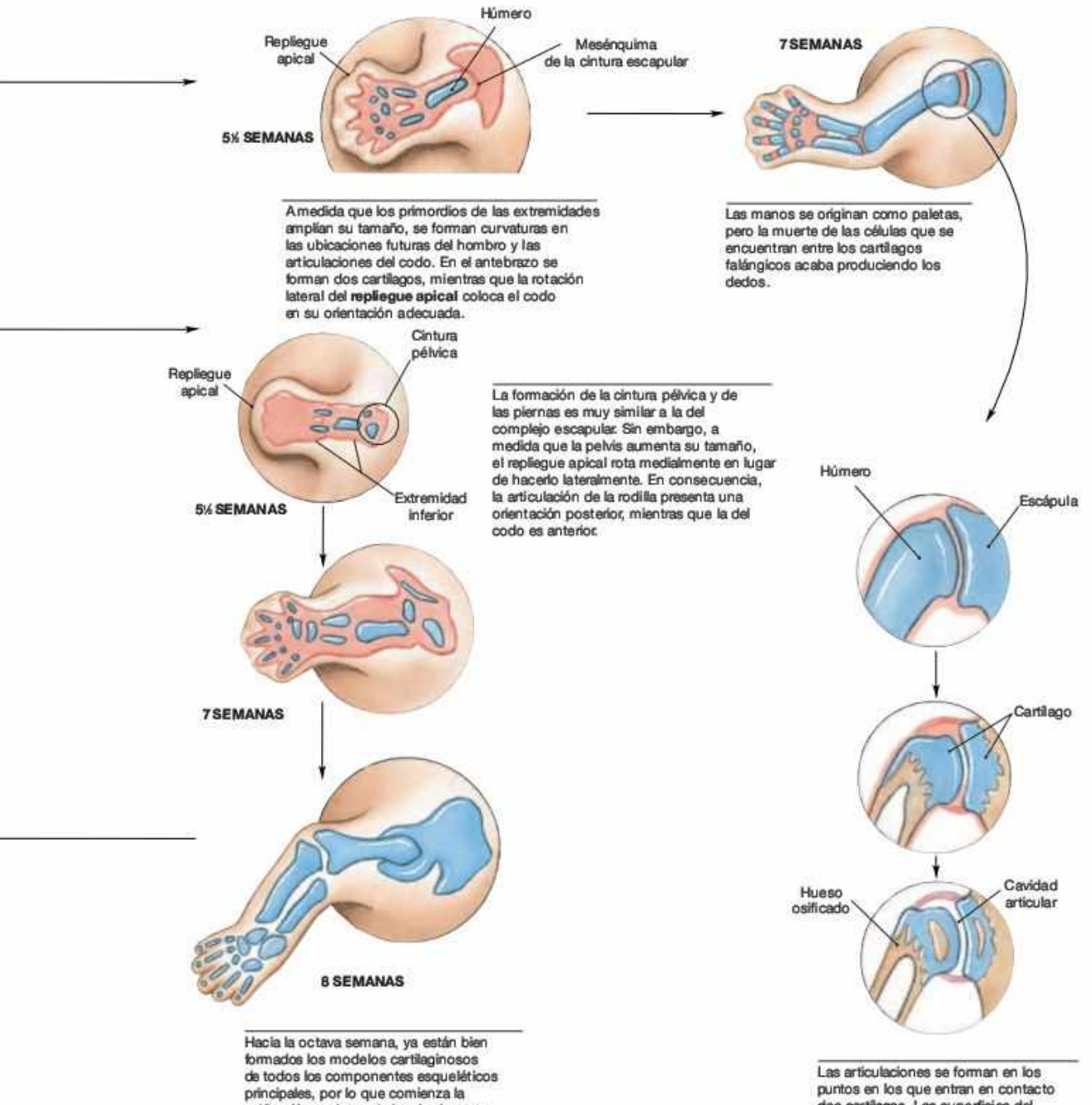


En la cuarta semana de desarrollo, aparecen surcos a lo largo de los fiancos del embrión, los cuales se extienden desde justo detrás de la faringe hasta justo antes del ano. Estos surcos se forman cuando las células mesodérmicas se congregan debajo del ectodermo del fianco. El mesodermo se acumula gradualmente al final de cada surco, con lo que forma dos pares de primordios para las extremidades.

Después de cinco semanas de desarrollo, los primordios escapulares presenten un núcleo cartilaginoso, mientras que en el mesénquima del tronco se forman los cartilagos escapulares.



Esqueleto de un recién nacido. Observe las extensas áreas de cartilago (azul) en la cabeza humeral, en la muñeca, entre los huesos de la palma de la mano y de los dedos y en los coxales. Observe también la aparición del esqueleto axial, teniendo en cuenta los Resúmenes de embriología 6 y 7. Osificación en el esqueleto embrionario después de aproximadamente diez semanas de desarrollo. Los cuerpos de los huesos de las extremidades están experimentando una rápida osificación, mientras que los huesos distales del carpo y el tarso siguen siendo cartilaginosos.



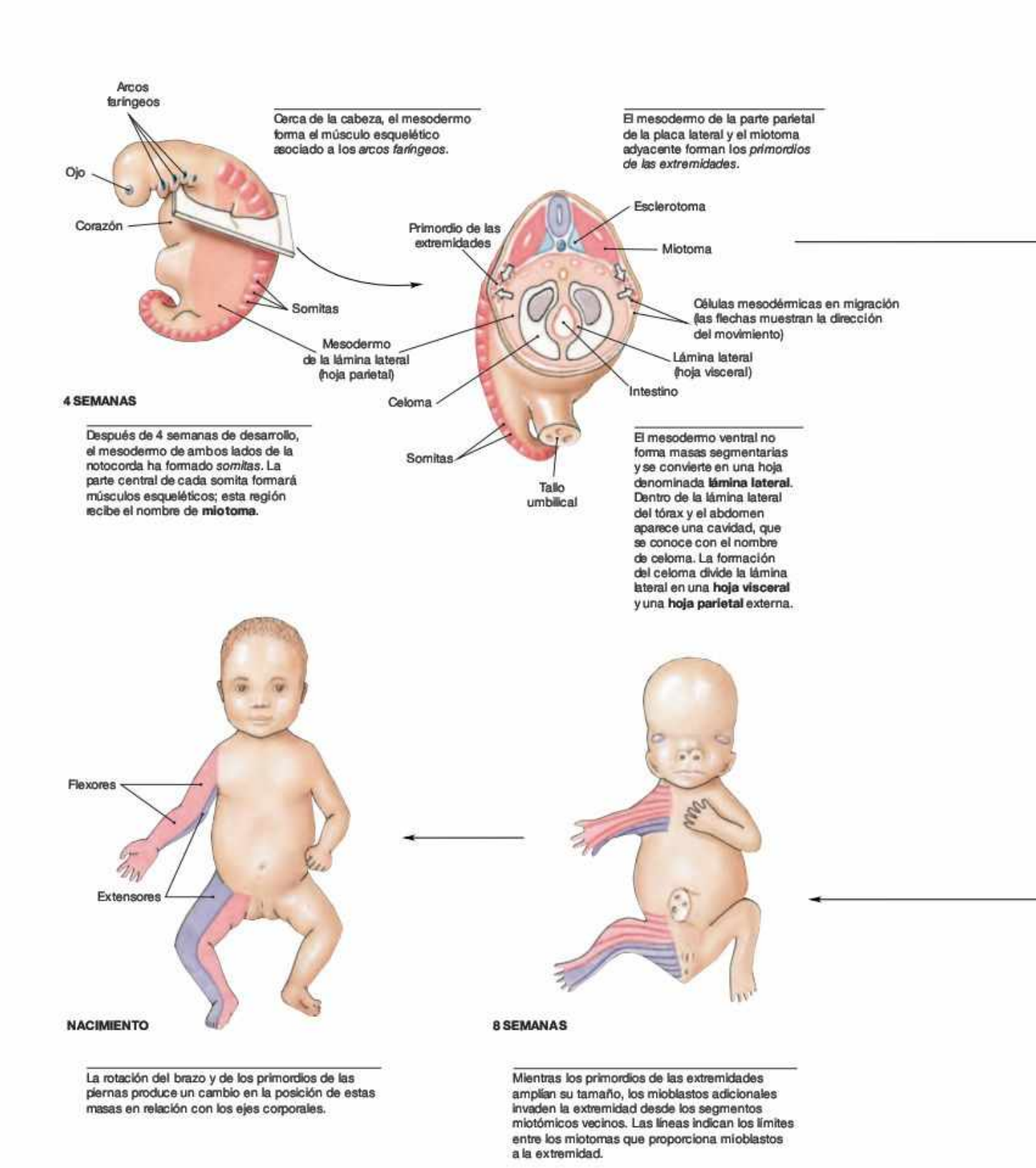
osificación endocondral en los huesos de los futuros miembros. La osificación

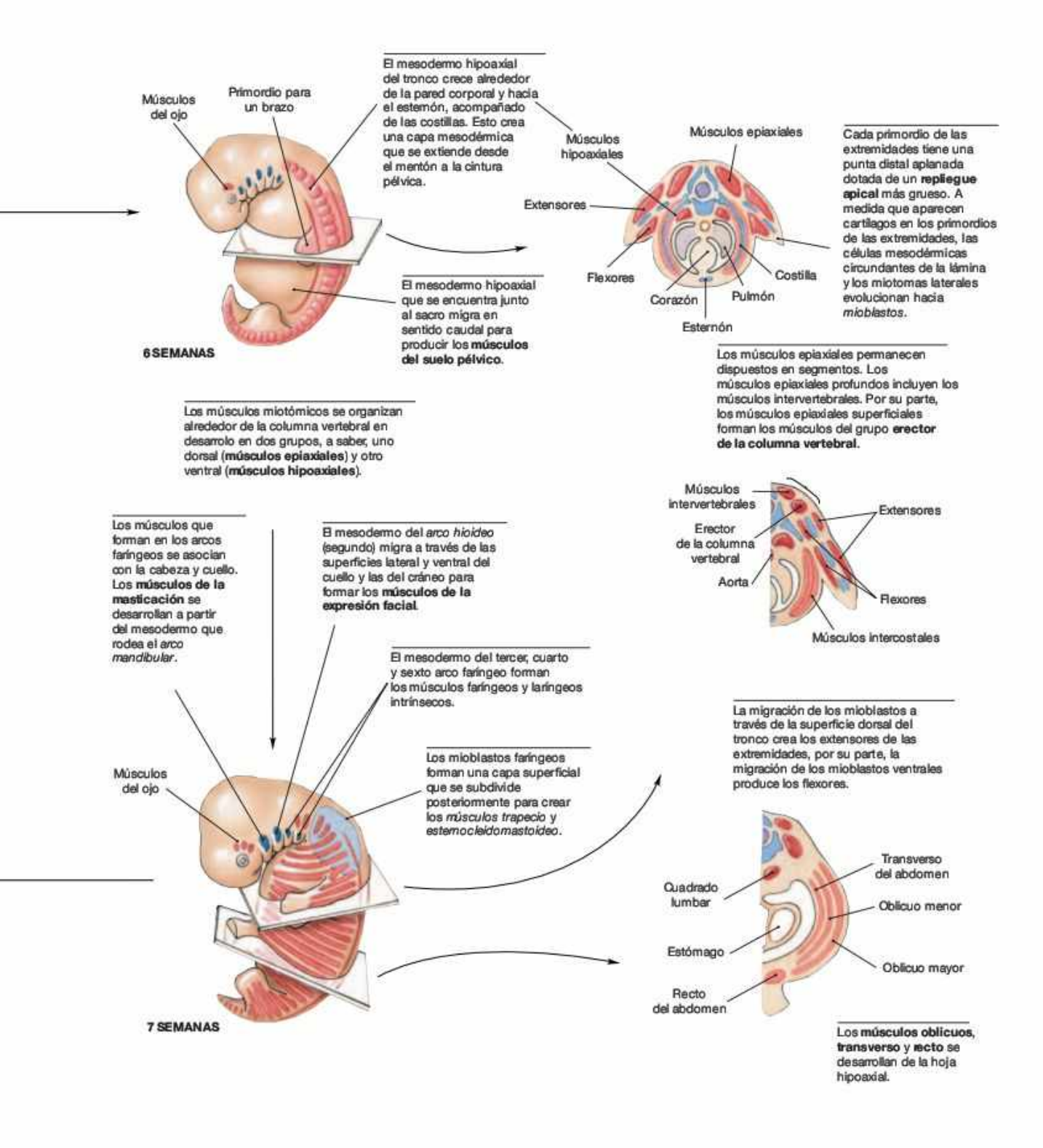
del coxis empleza en tres centros

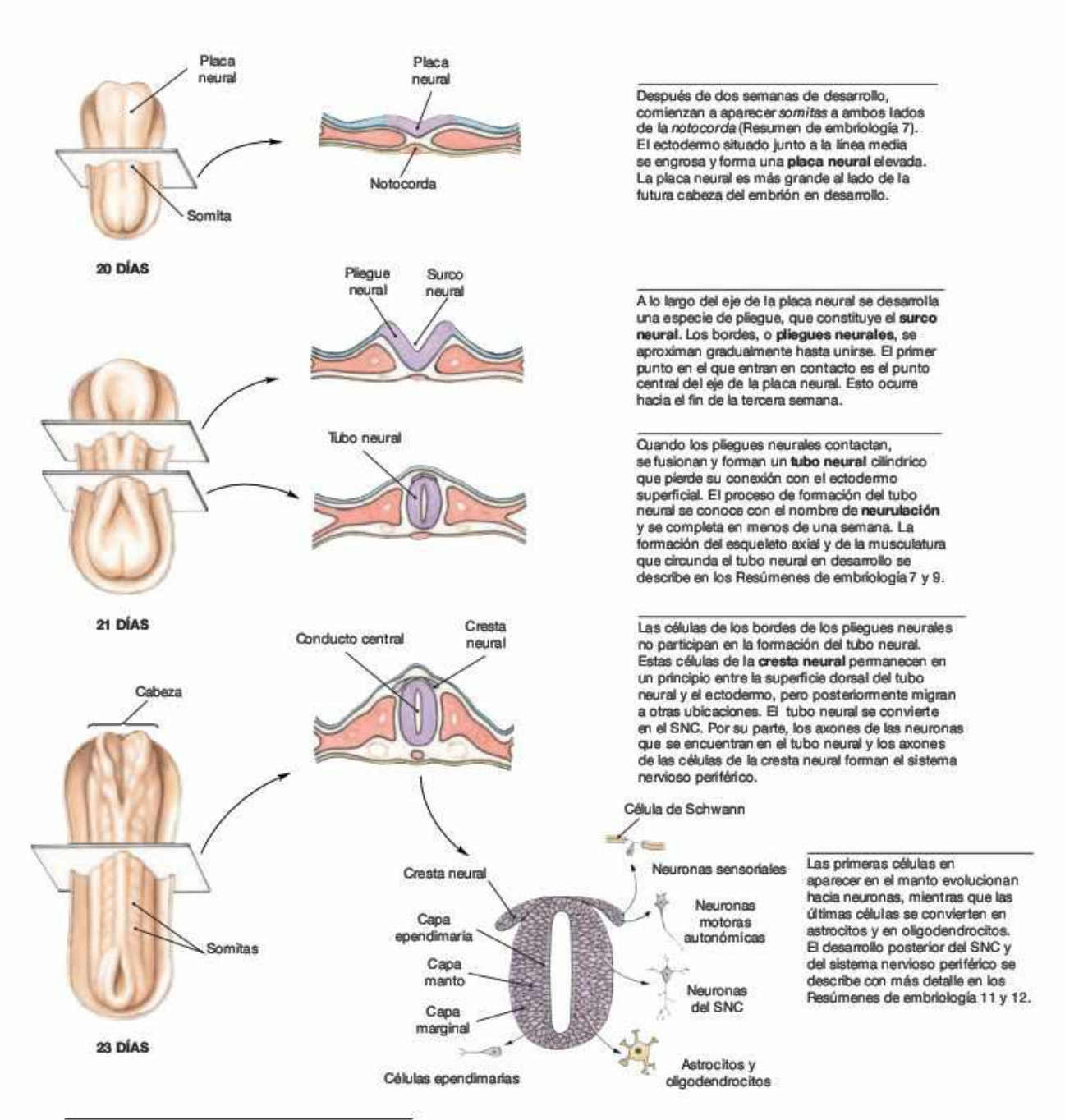
separados que amplian su tamaño

gradualmente.

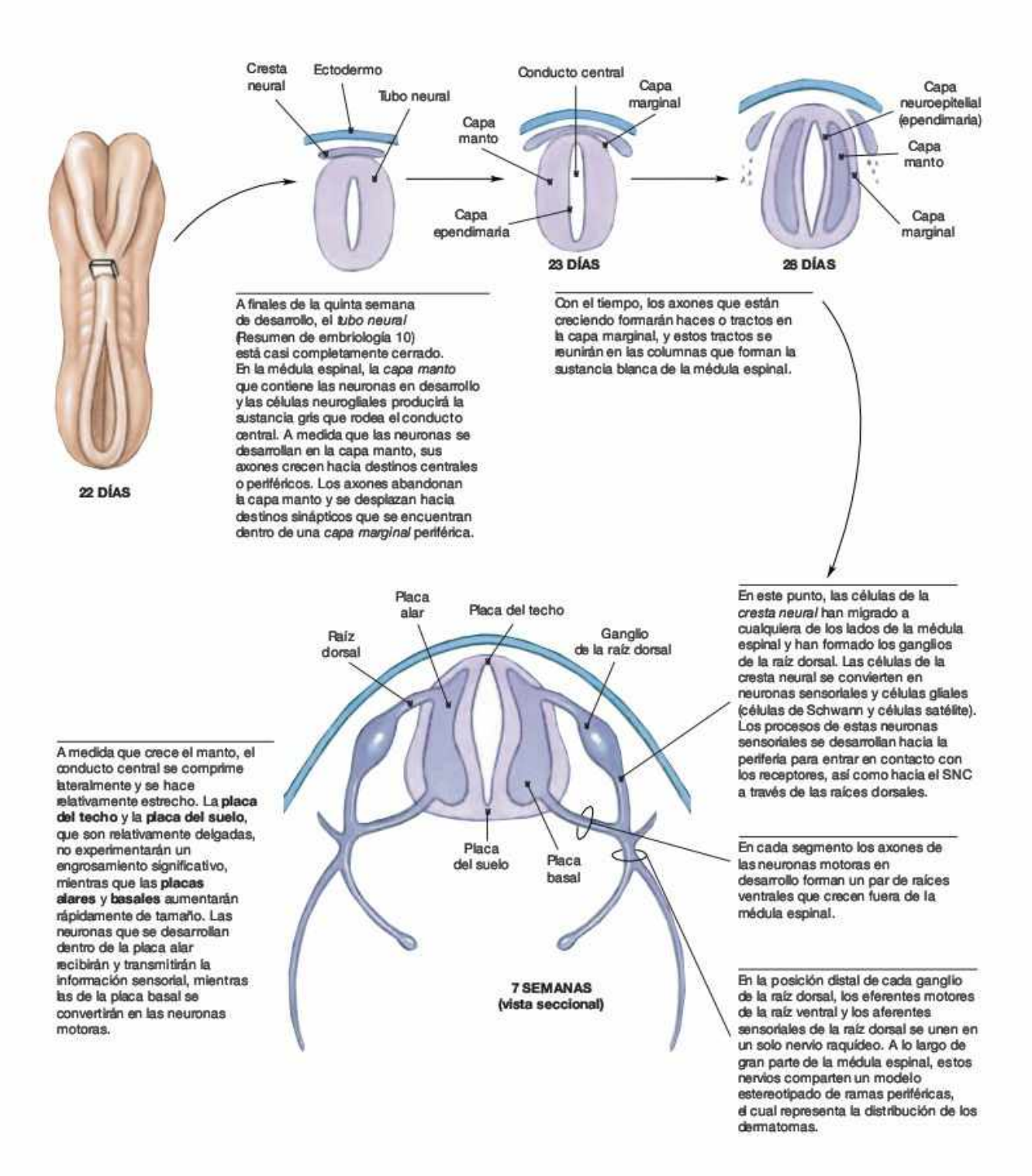
Las articulaciones se forman en los puntos en los que entran en contacto dos cartilagos. Las superficies del interior de la cavidad de la articulación siguen siendo cartilaginosos, mientras que el resto de los huesos experimenta una osificación.

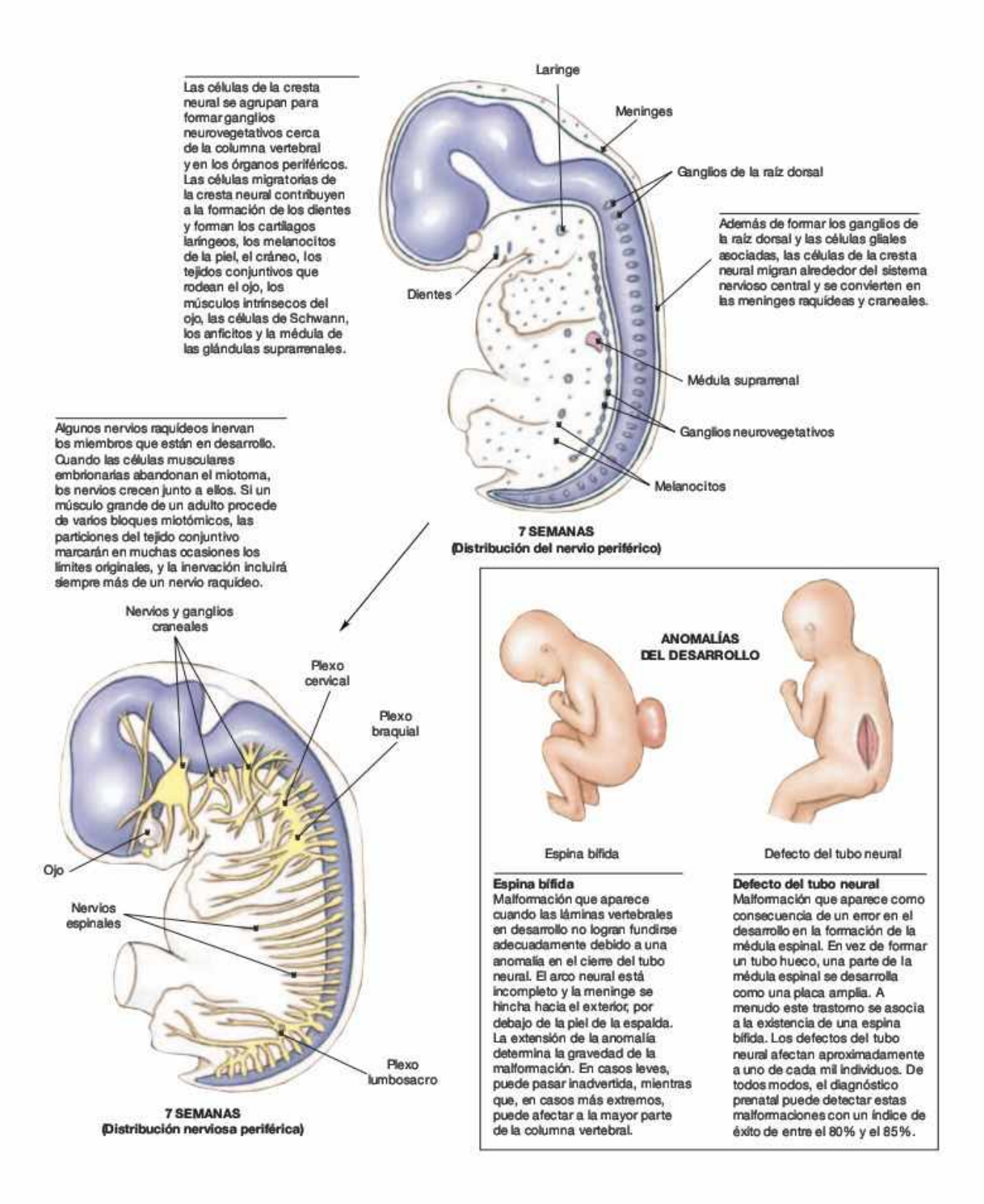


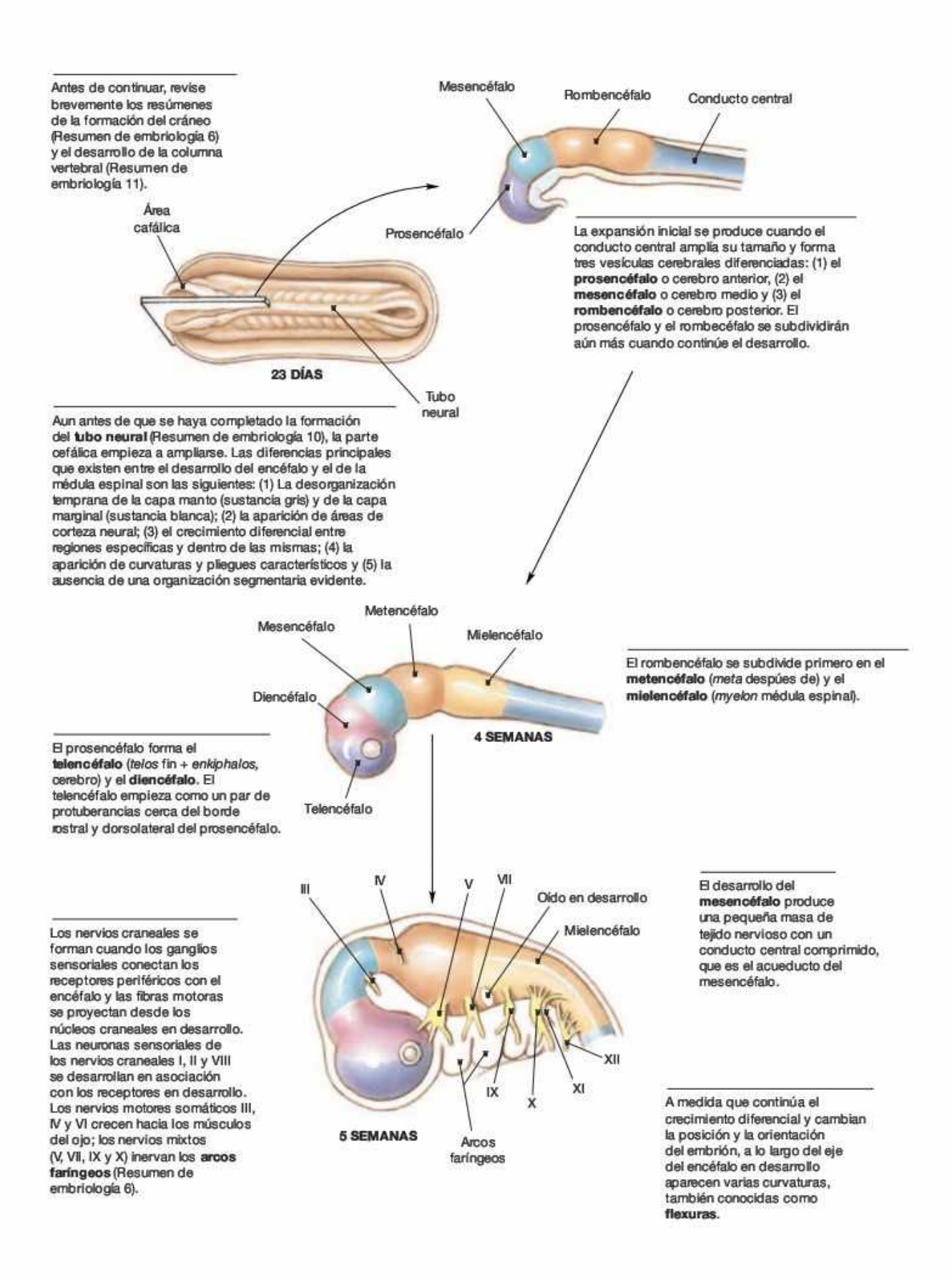


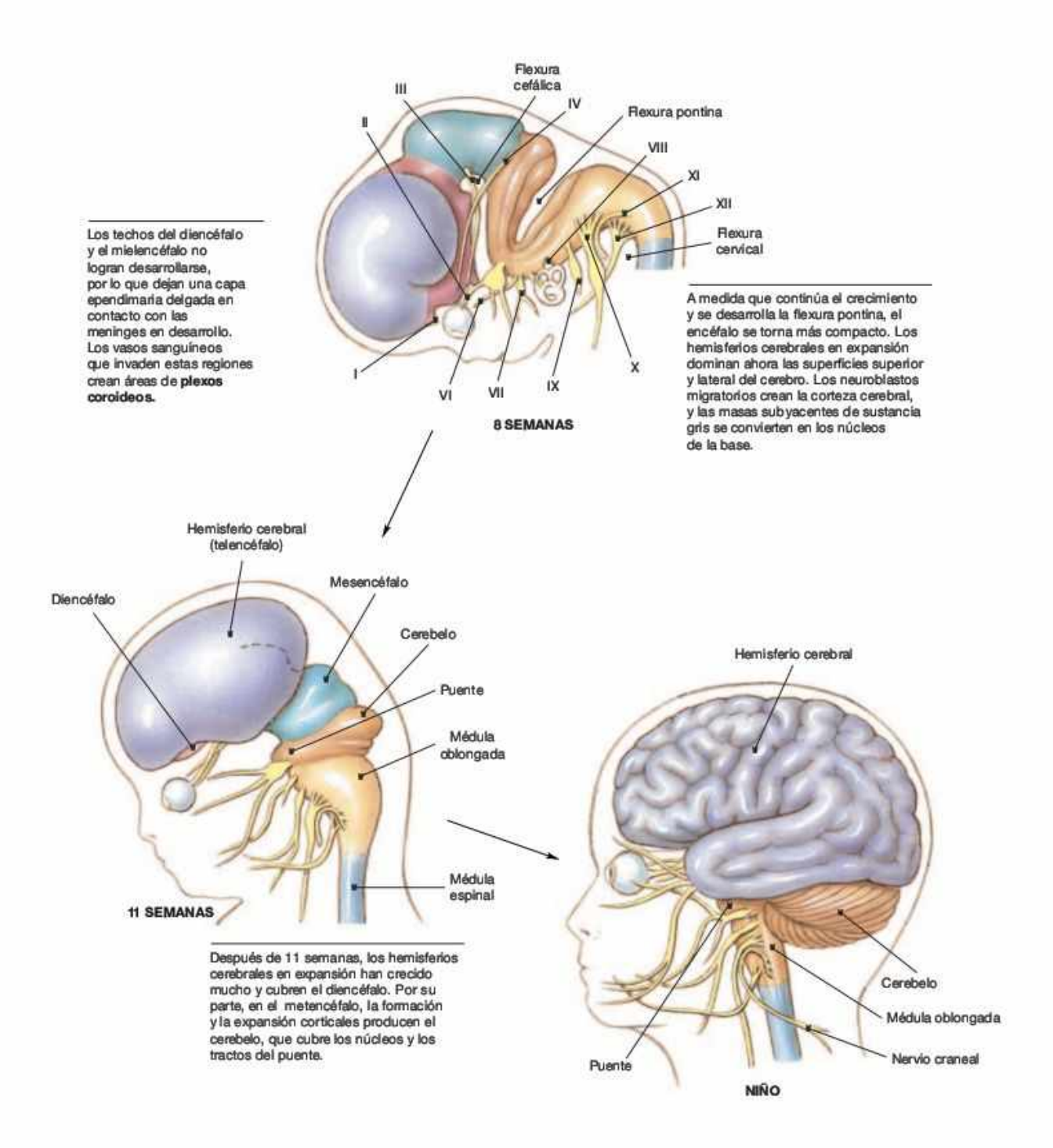


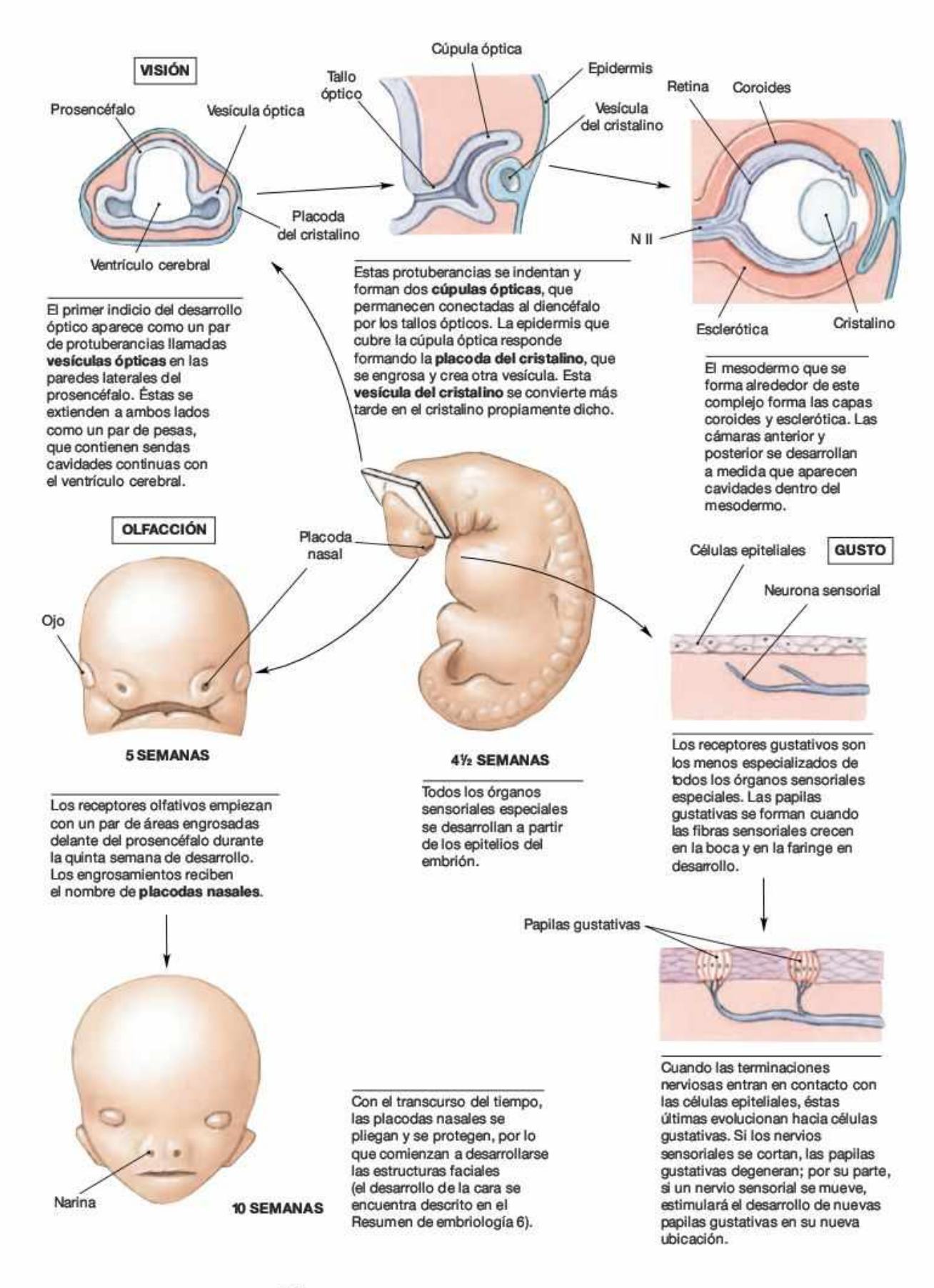
El tubo neural aumenta en su grosor a medida que su recubrimiento epitelial experimenta mitosis repetidas. Hacia la mitad de la quinta semana del desarrollo, ya hay tres capas diferenciadas. El epéndimo tapiza la cavidad adjunta, o conducto central. Las células ependimarias continúan la mitosis, mientras que las células hijas crean la capa manto circundante. Los axones de las neuronas en desarrollo forman una capa marginal superficial.

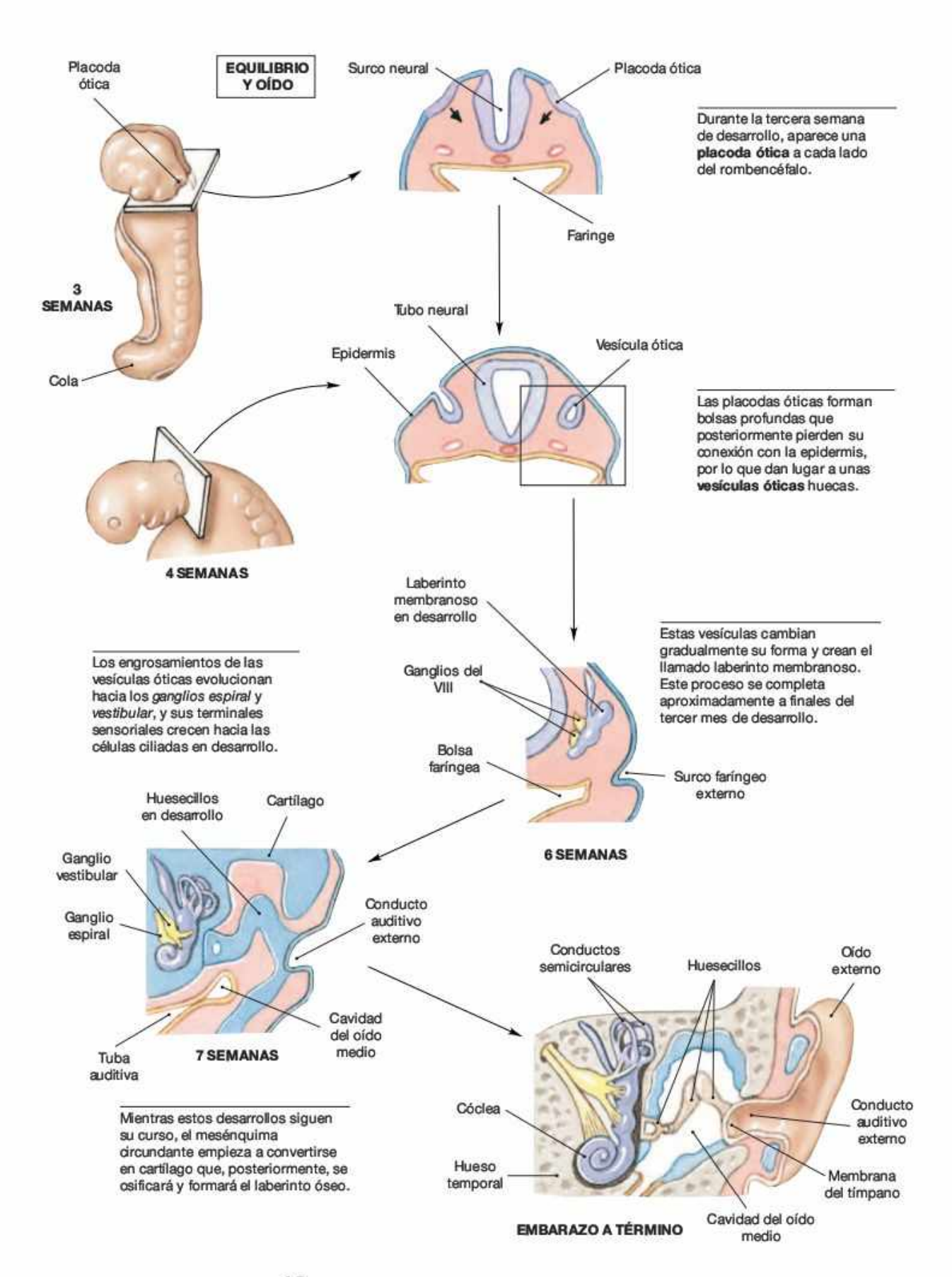


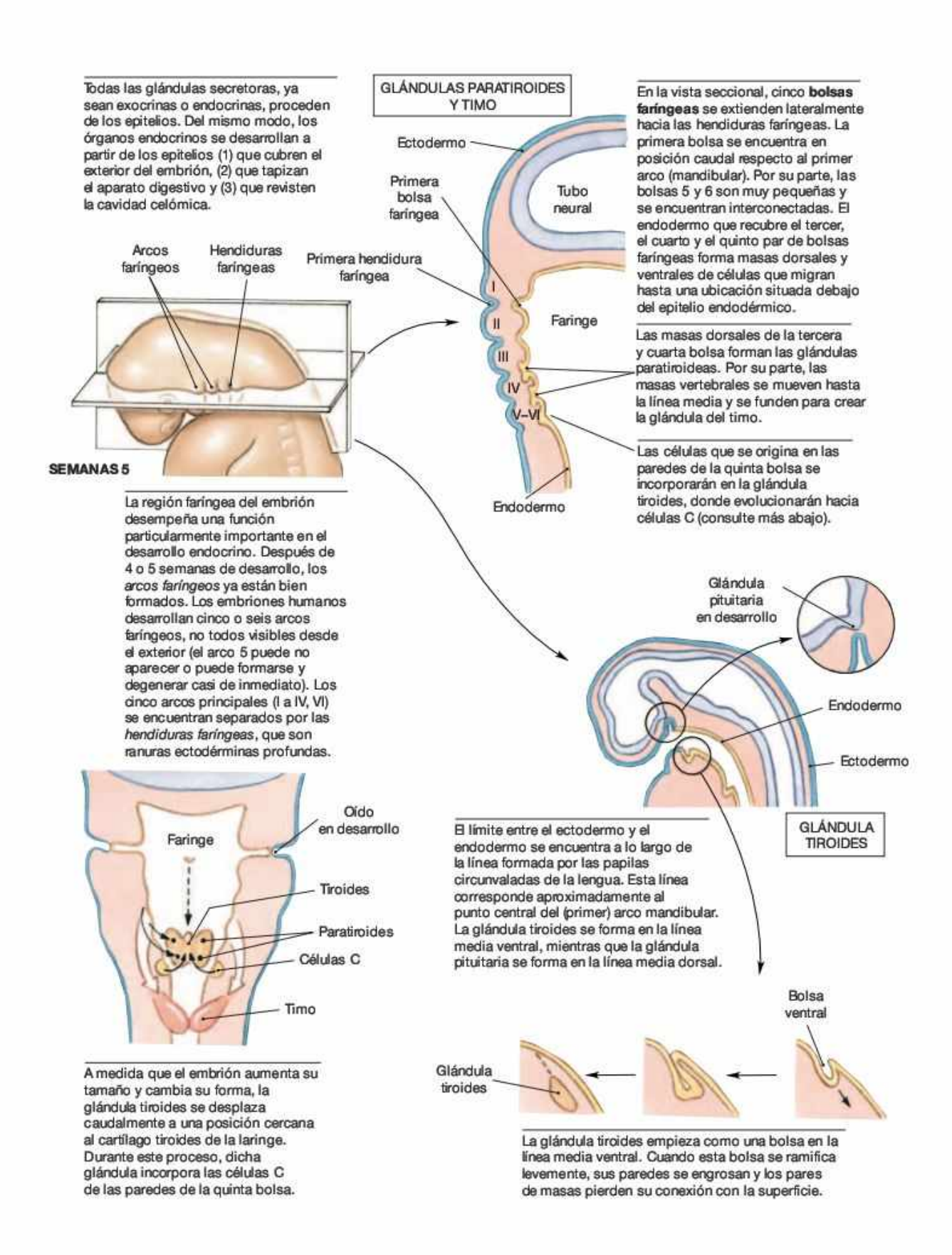






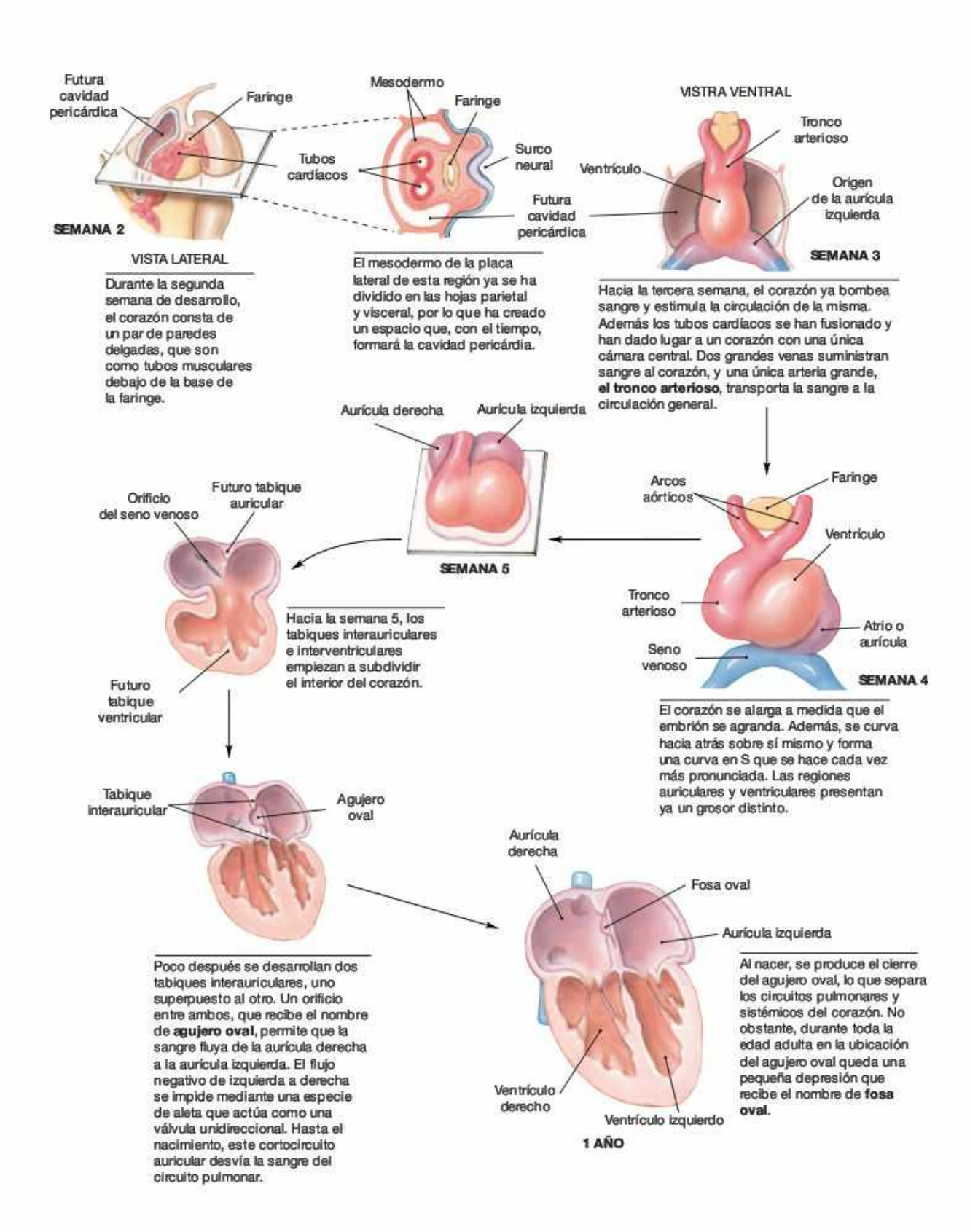


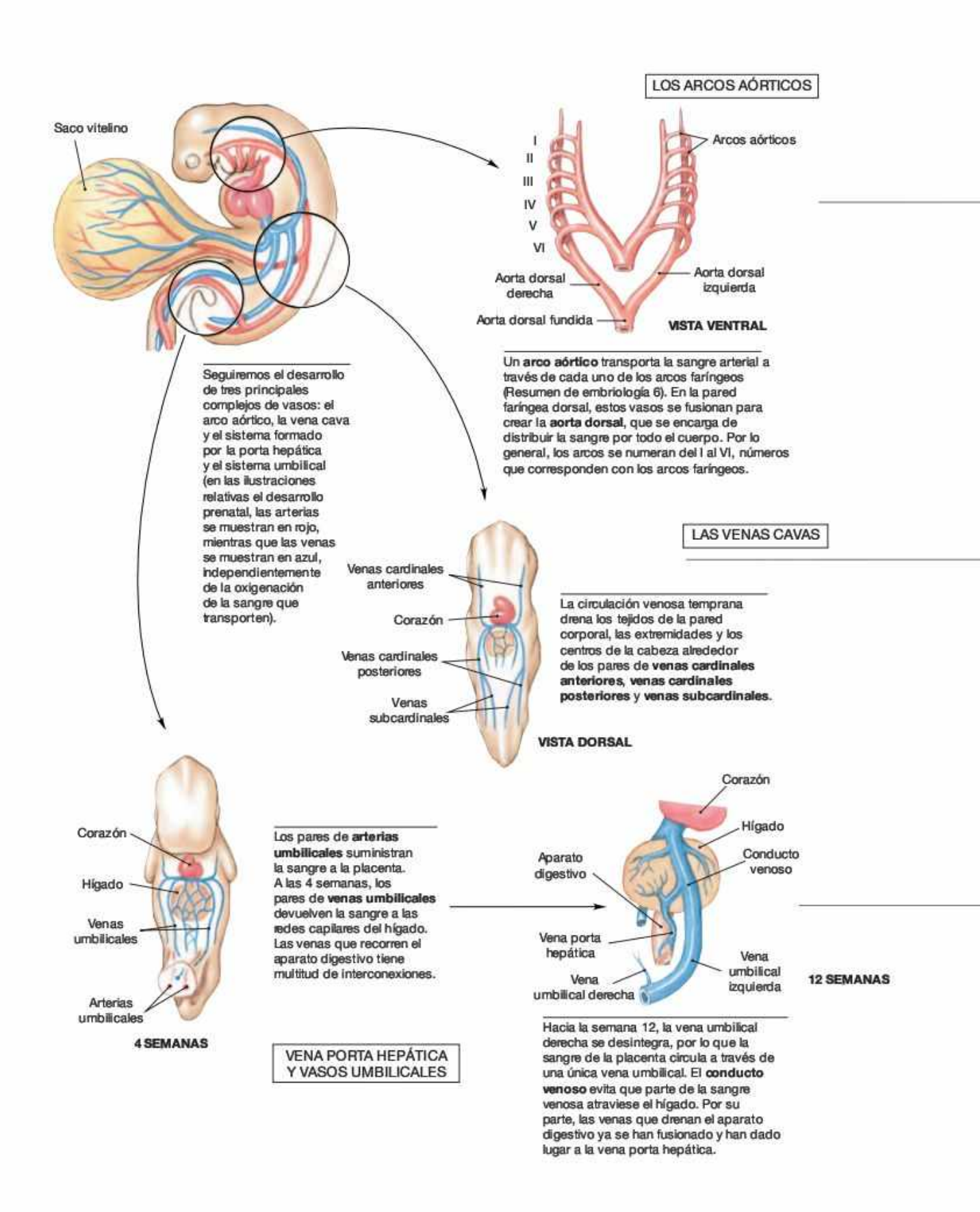


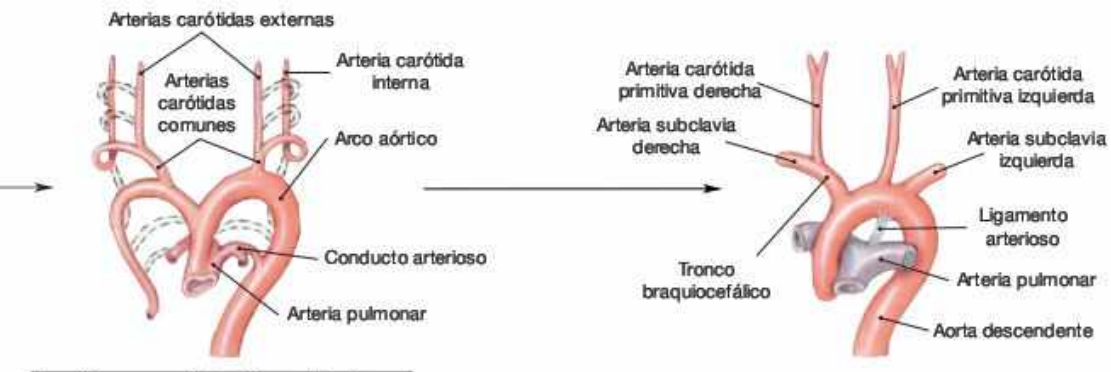


GLÁNDULA SUPRARRENAL Células Arcos faringeos migratorias Médula espinal de la cresta neural Ganglio de la raíz dorsal Futura médula Ganglio de la cadena suprarrenal simpática Tubo digestivo Las glándulas suprarrenales tienen también un origen compuesto. Poco después de la formación del tubo neural, las células de la cresta neural abandonan el SNC. Esta SEMANA 5 migración provoca la formación de los ganglios de la raíz dorsal y de los ganglios neurovegetativos. Además, a cada lado de la cavidad celómica, las células de la cresta neural se agrupan en una masa que se convertirá en una médula suprarrenal. GLÁNDULA Polsa ectodérmica **PITUITARIA** Hipotálamo Masa de células de la cresta neural La glándula pituitaria tiene Revestimiento de la un origen compuesto. El cavidad celómica primer paso consiste en la formación de una bolsa ectodérmica en la línea media dorsal de la faringe. Poco después, esta bolsa pierde su conexión con la faringe, por lo que crea una bola hueca de células debajo de la base del diencéfalo y detrás del Fibras preganglionares quiasma óptico. simpáticas Mesotelio Médula suprarrenal A medida que estas células se Corteza suprarrenal dividen, la cámara central desaparece gradualmente. Esta masa endocrina se convertirá en Las células epiteliales suprayacentes el lóbulo anterior de la glándula responden dividiéndose, y las células pitultaria. El lóbulo posterior de la hijas rodean las células de la cresta neural glándula pituitaria empieza como una para forma una corteza suprarrenal gruesa. depresión de la base del hipotálamo y crece hacia el lóbulo anterior en desarrollo. Lóbulo posterior Si desea obtener detalles relativos al desarrollo de otros Lóbulo órganos endocrinos, consulte los Resúmenes de anterior

embriología 16 y 18 a 21.

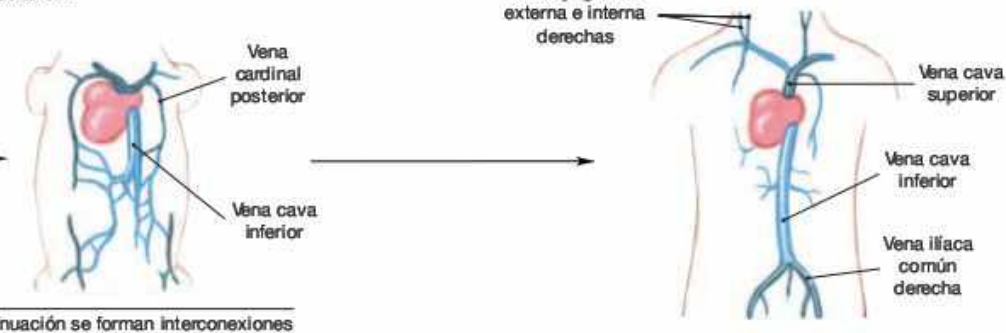






A medida que continúa el desarrollo, algunos de estos arcos se desintegran. Por su parte, el conducto arterioso produce un cortocircuito externo entre los circuitos pulmonar y sistémico, que evita que la sangre atraviese los pulmones y hace que ésta pase por el conducto arterioso o a través del agujero oval del corazón.

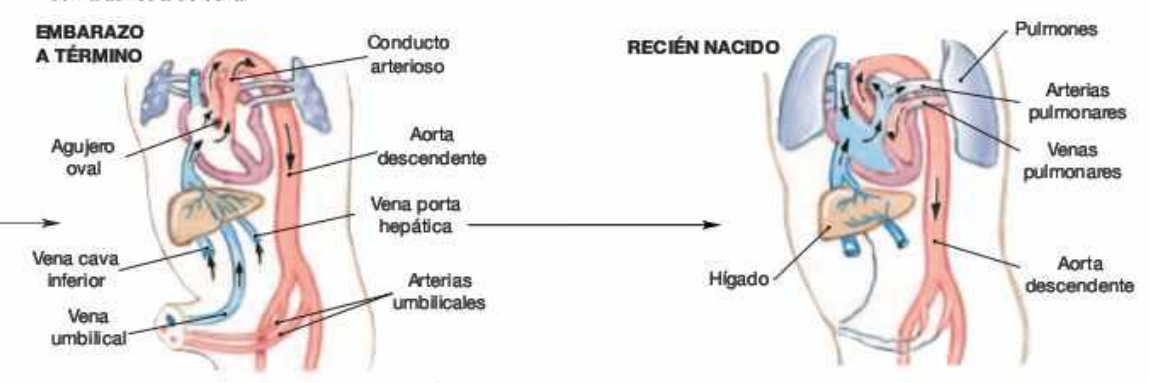
La mitad izquierda de arco IV acaba convirtiéndose en arco aórtico, que transporta la sangre desde el ventriculo izquierdo.



Venas yugulares

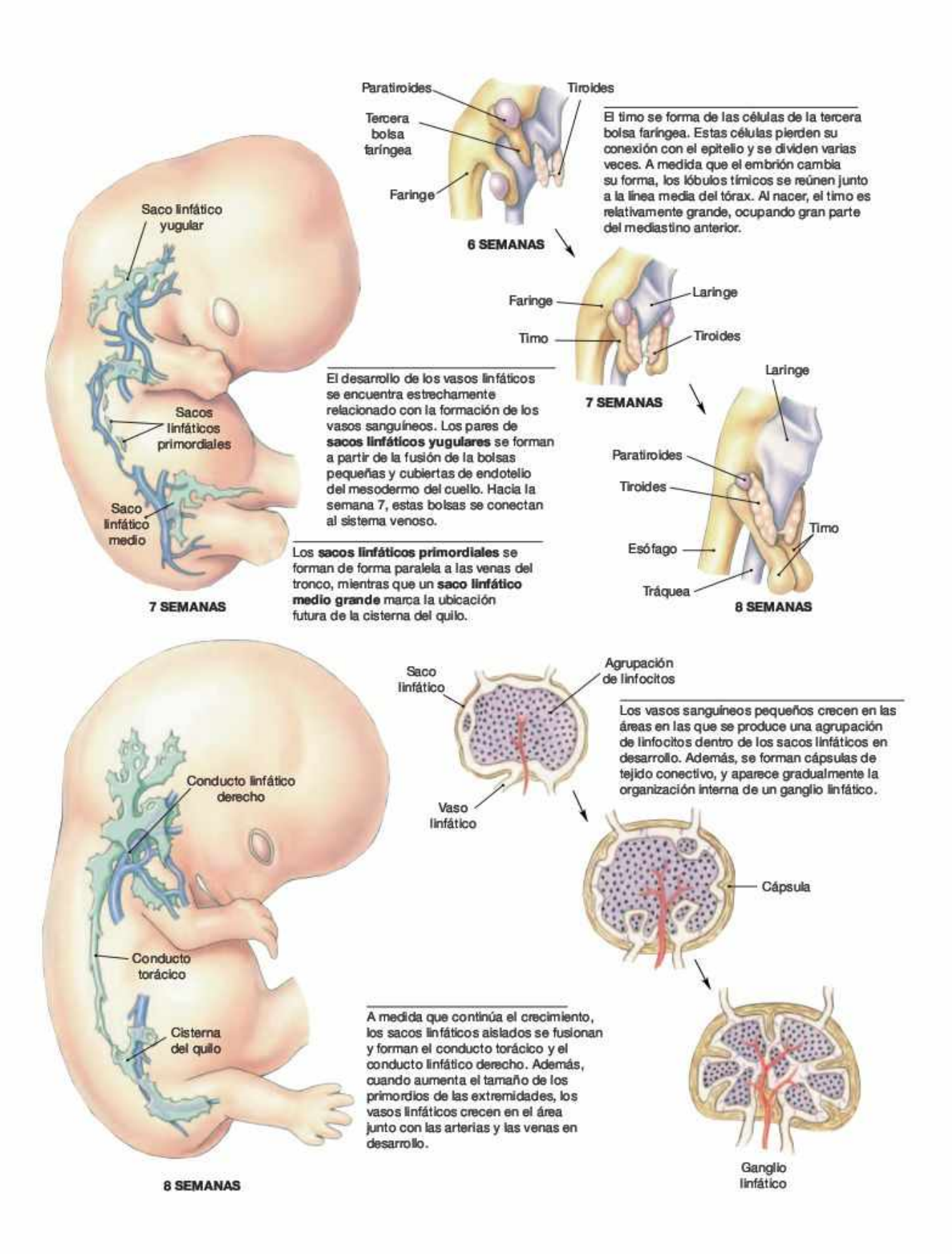
A continuación se forman interconexiones entre estas venas, mientras que una combinación de actividades de fusión y desintegración produce conexiones, más directas y de mayor diámetro, con la aurícula derecha.

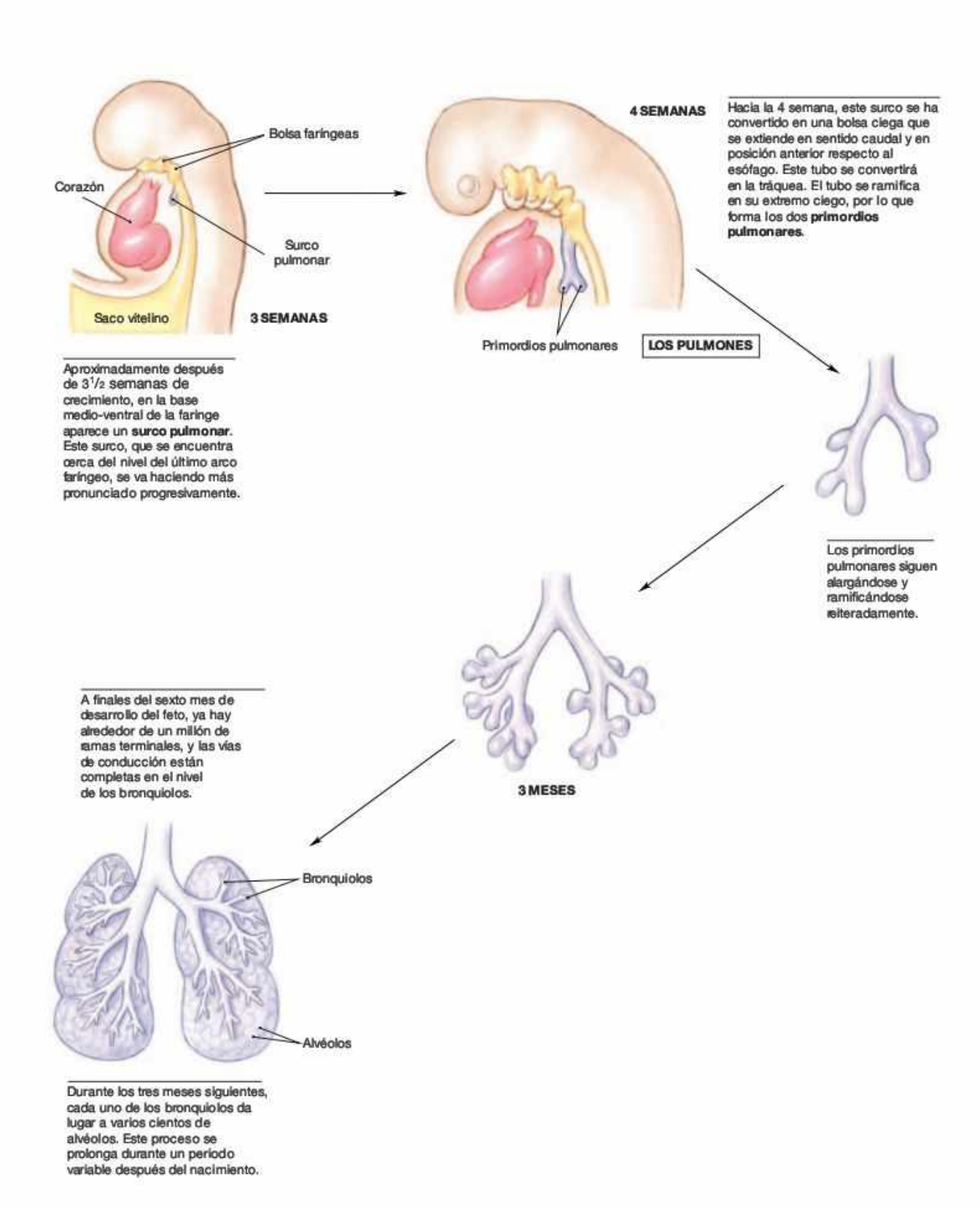
El proceso continúa y acaba creando las venas cavas superior e inferior.

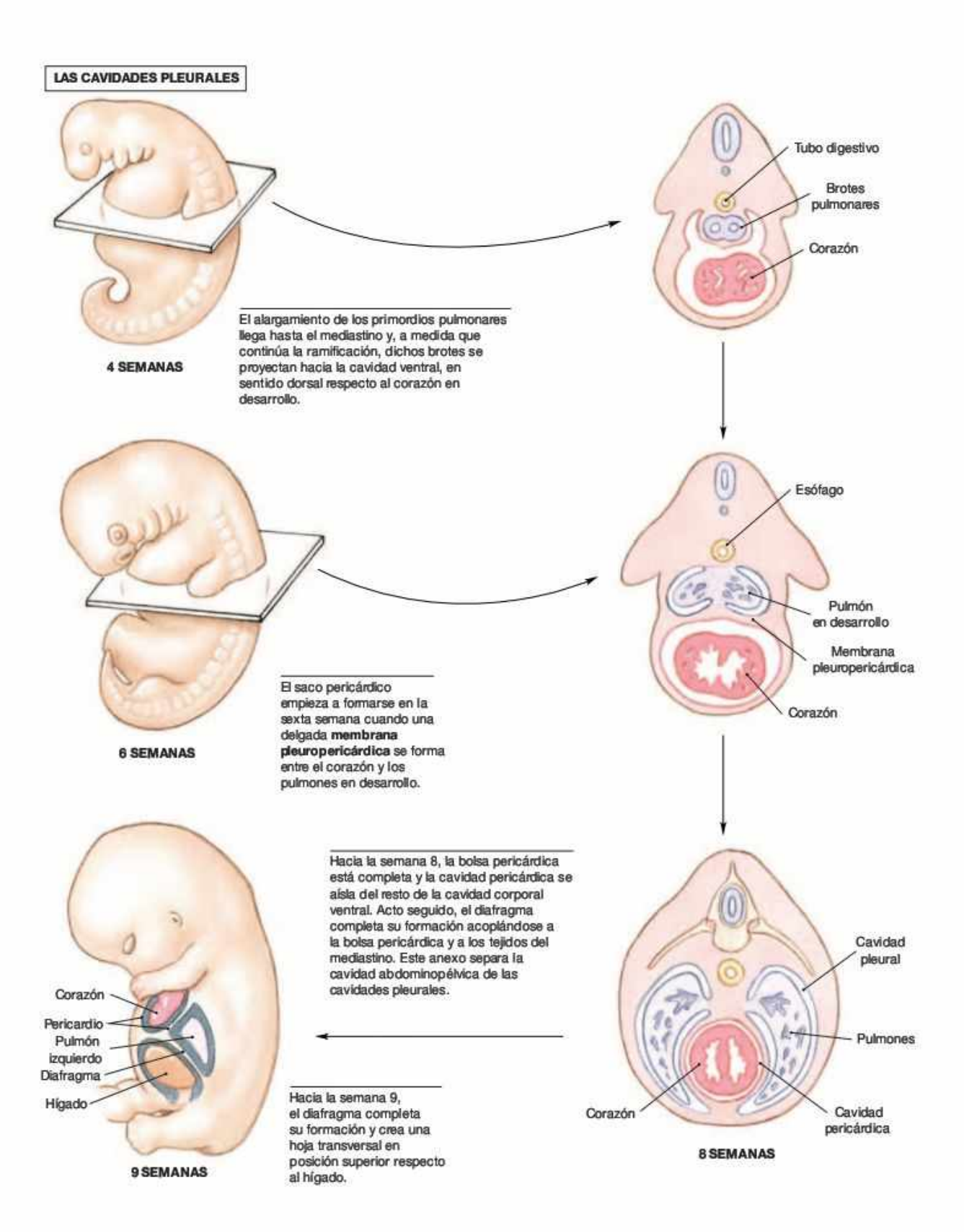


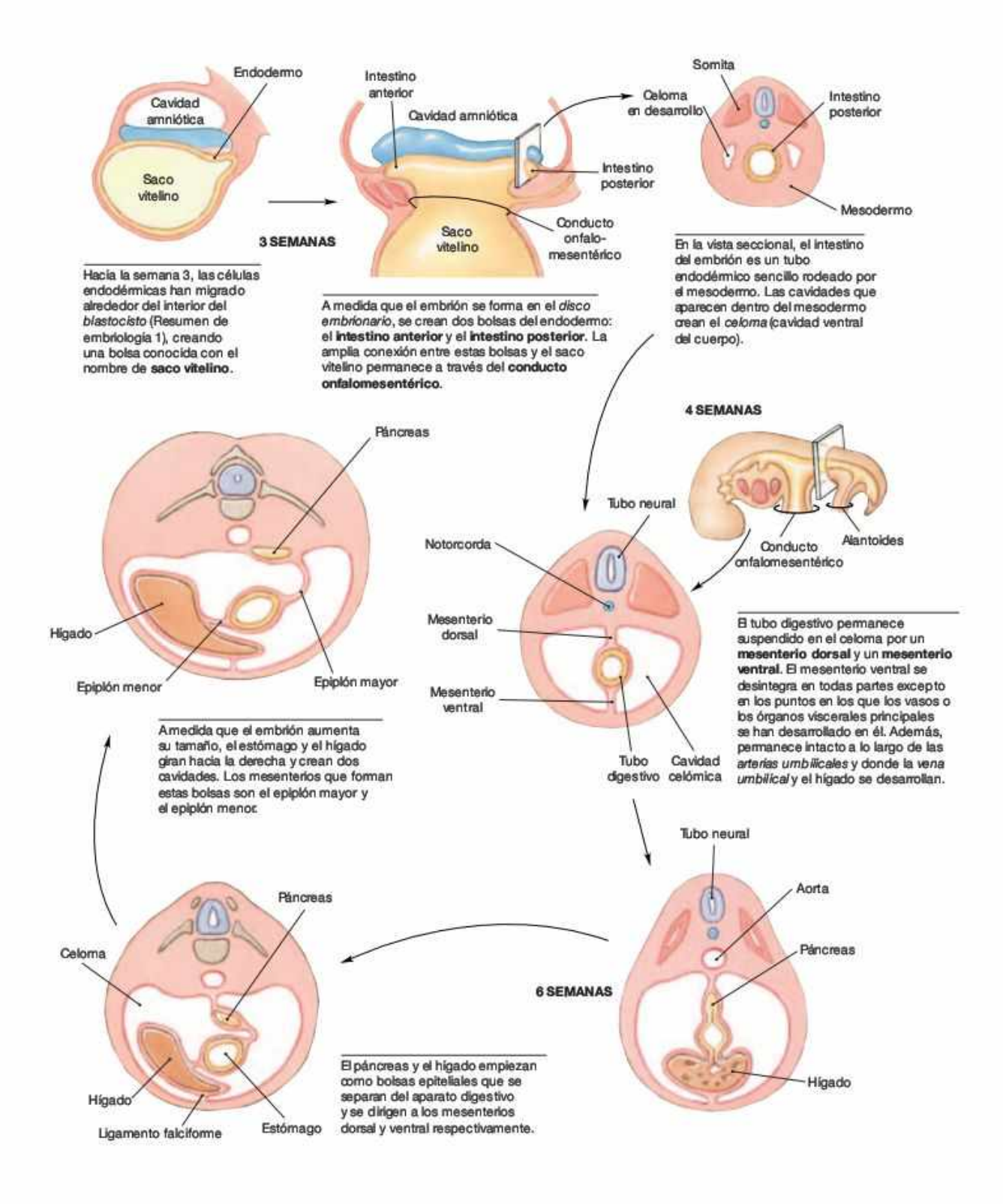
Poco antes del nacimiento, la sangre procedente de la placenta atraviesa el higado y el conducto venoso para llegar a la vena cava inferior. Gran parte de la sangre suministrada por las venas cavas omite los pulmones y, en su lugar, atraviesa el agujero oval y el conducto arterioso.

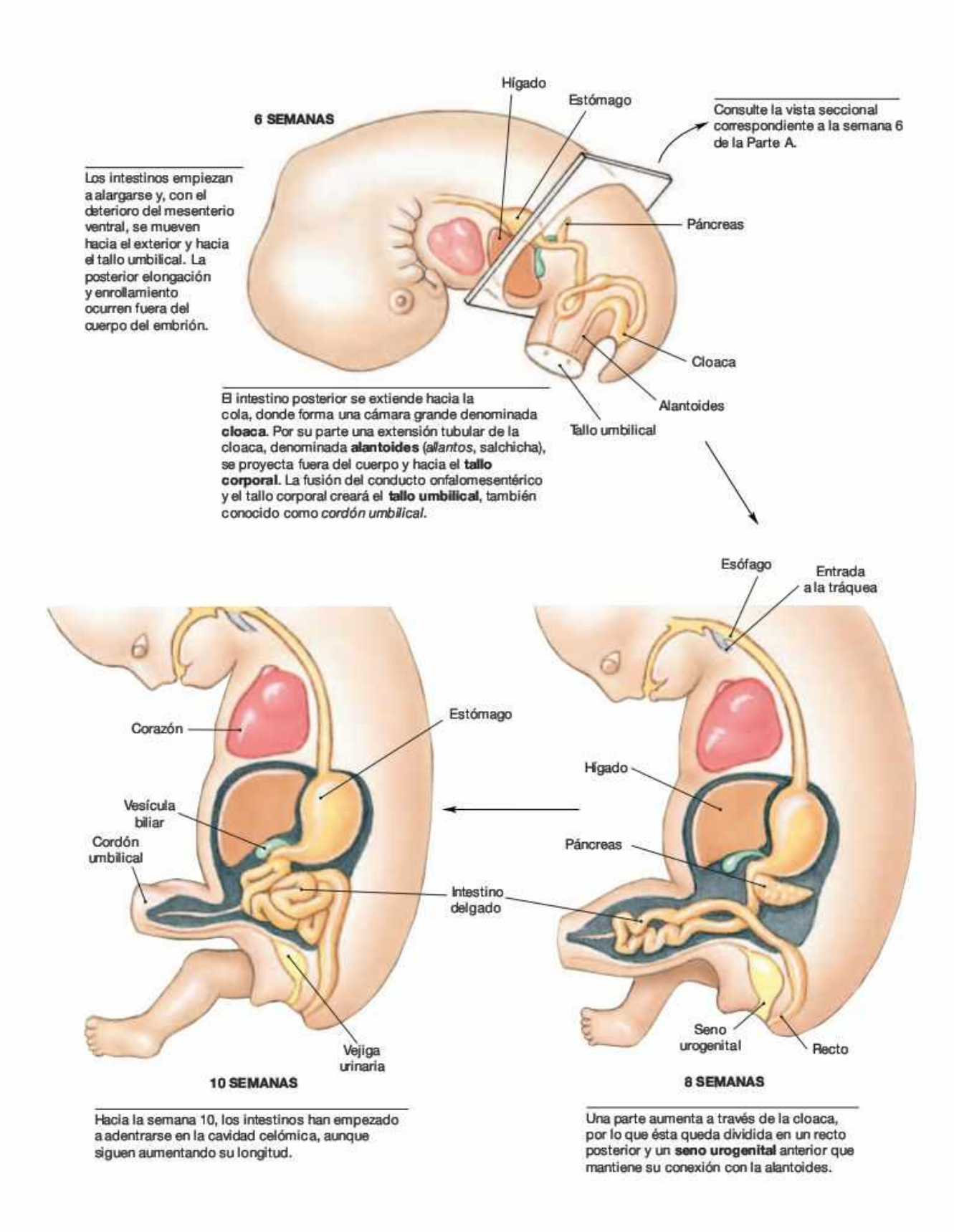
Al nacer, la presión de las cavidades pleurales desciende, justo en el momento en el que el tórax se expande y el bebé respira popr primera vez. Al mismo tiempo los vasos pulmonares se dilatan y los pulmones reciben un mayor flujo sanguíneo. Además, la presión de la aurícula derecha desciende, mientras que la presión más alta de la aurícula izquierda cierra la válvula que protege el agujero oval. Los músculos lisos contraen el conducto arterioso, que acaba conviertiéndose en el ligamento arterioso, que es una especie de cordón fibroso.

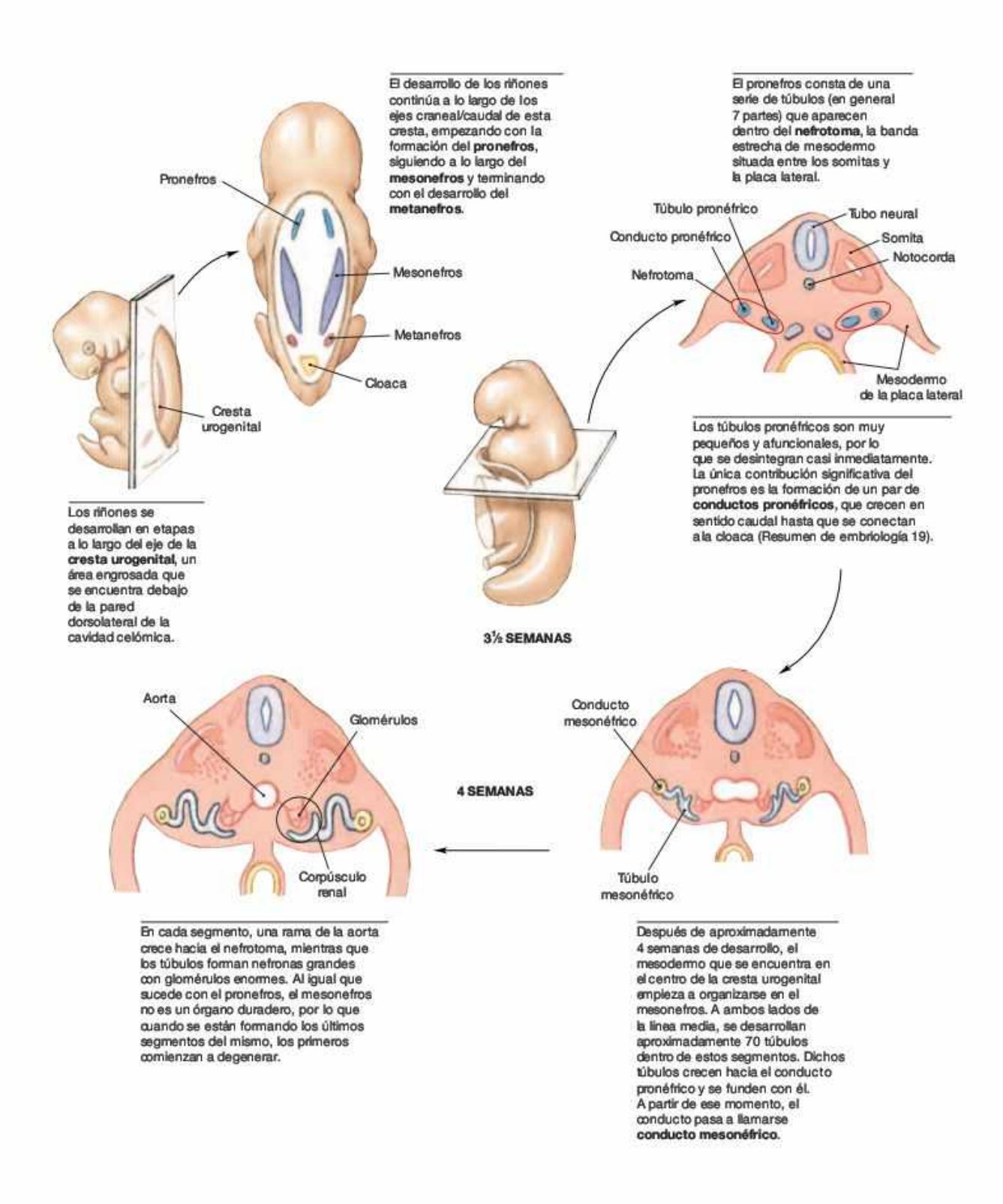


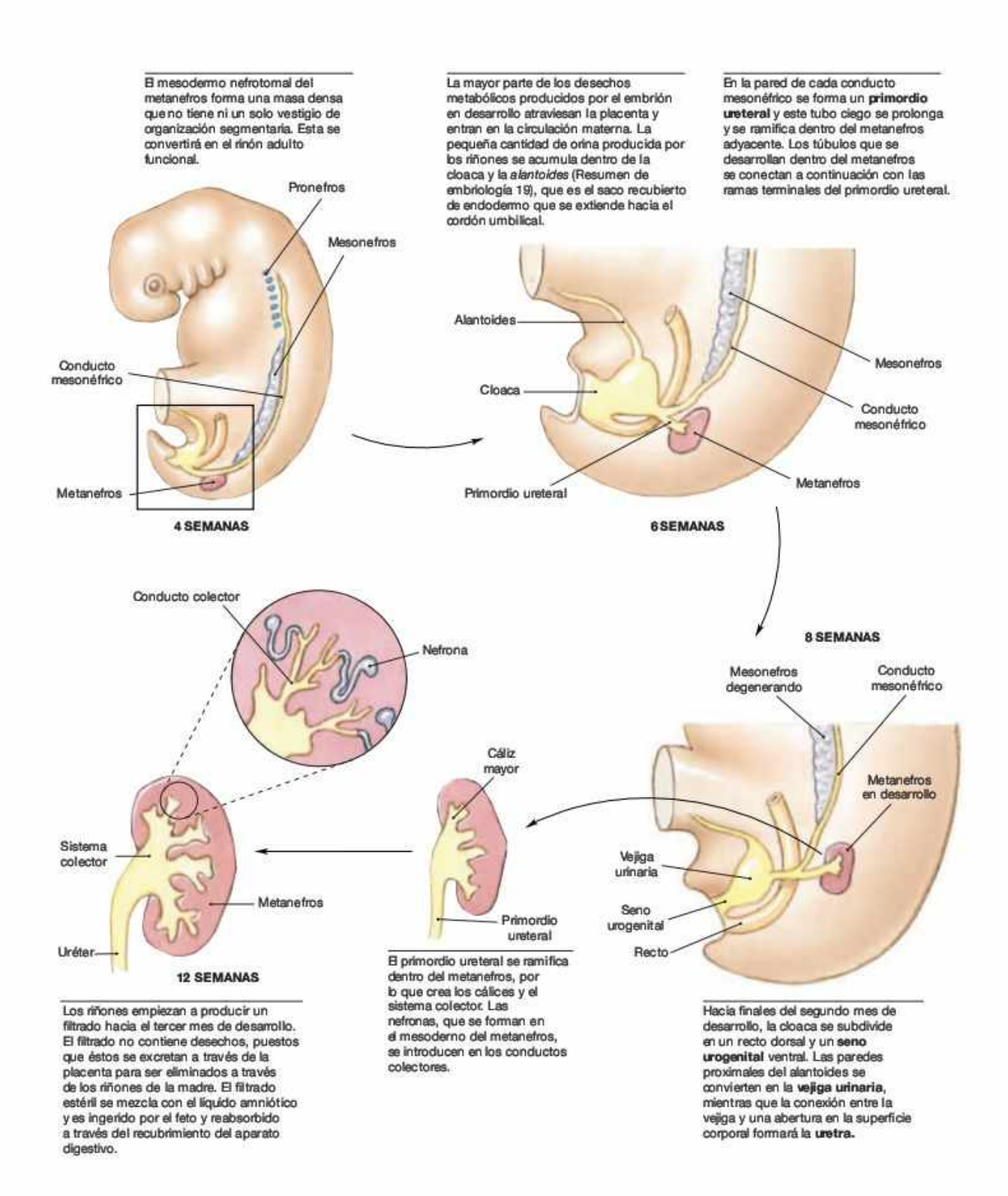










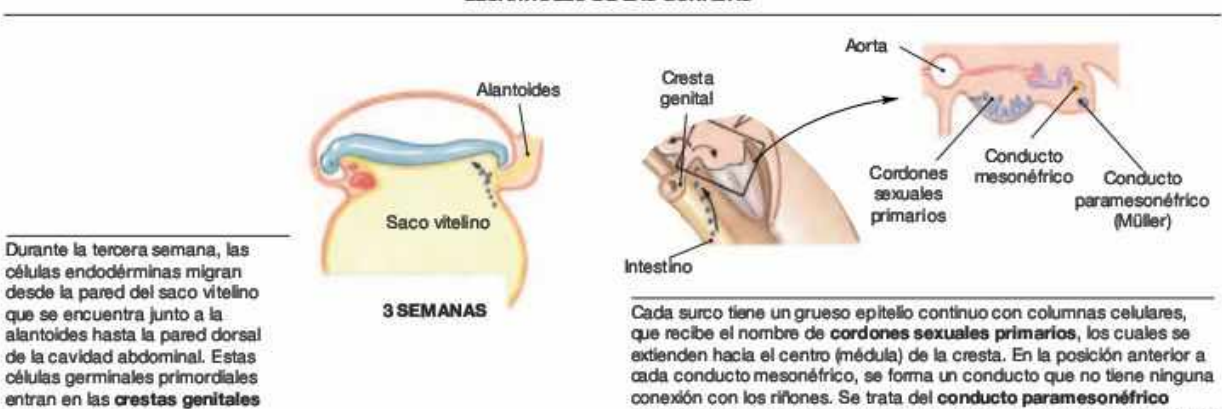


(Müller), que se extiende a lo largo de la cresta genital y continúa hacia la cloaca. En este estadio indiferenciado del sexo no es posible distinguir

bs embriones masculinos de los embriones femeninos.

ESTADIOS INDIFERENCIADOS DEL SEXO (SEMANAS 3 A 6)

DESARROLLO DE LAS GÓNADAS



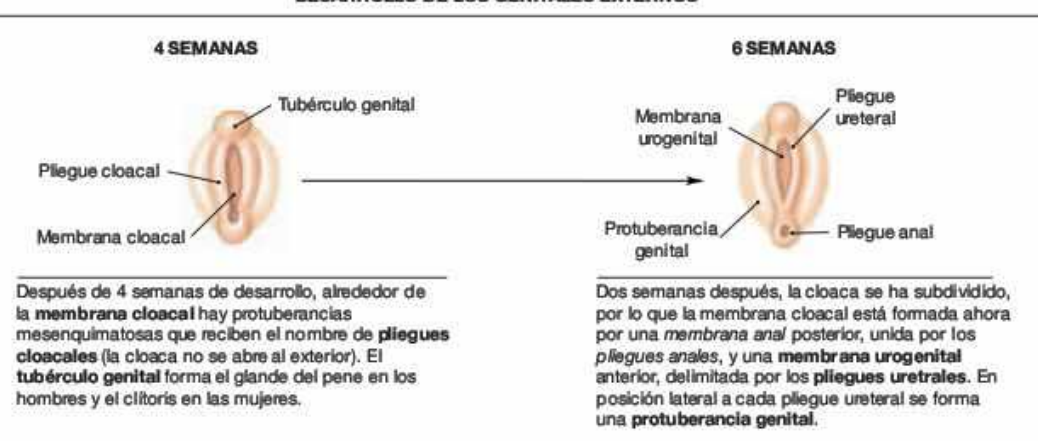
DESARROLLO DE LOS CONDUCTOS Y DE LOS ÓRGANOS ACCESORIOS

que se encuentran paralelas al

mesonefros.



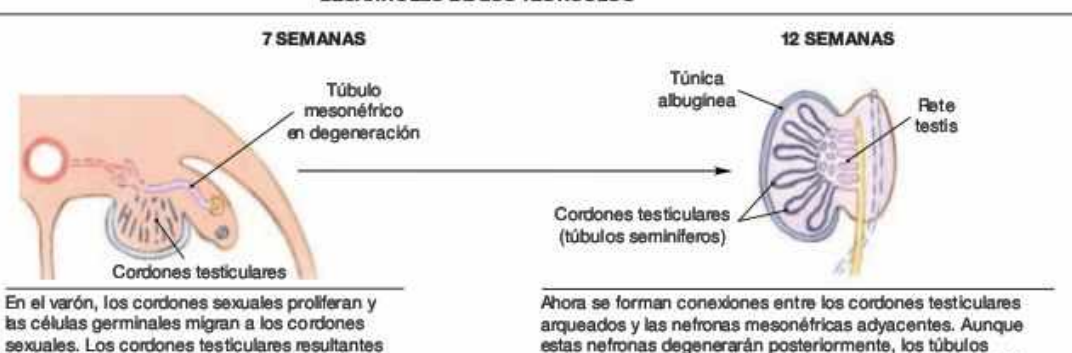
DESARROLLO DE LOS GENITALES EXTERNOS



formarán los túbulos seminíferos.

DESARROLLO DEL SISTEMA REPRODUCTOR MASCULINO

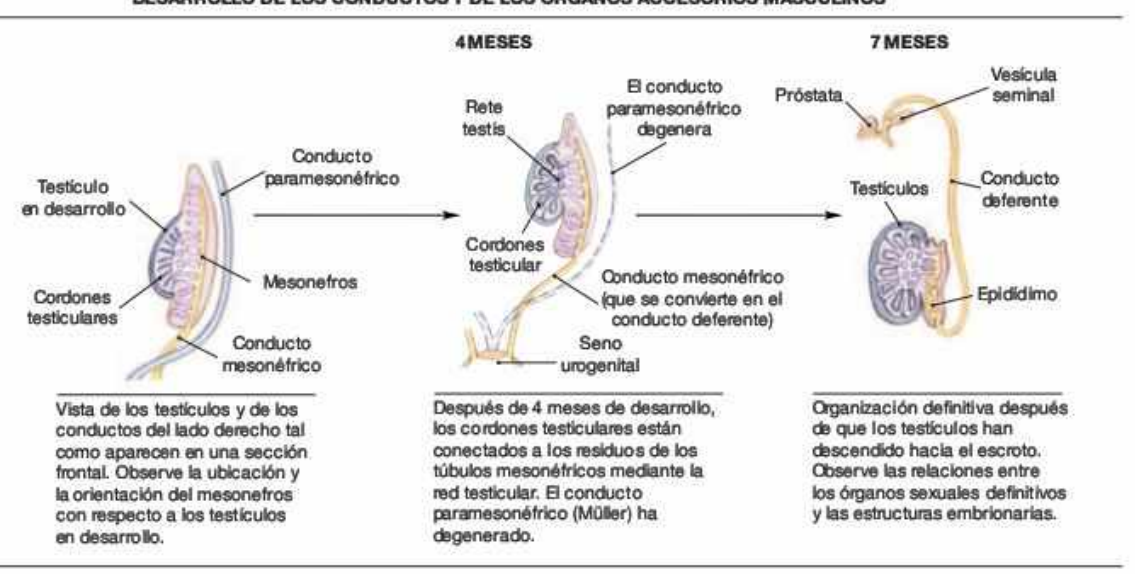




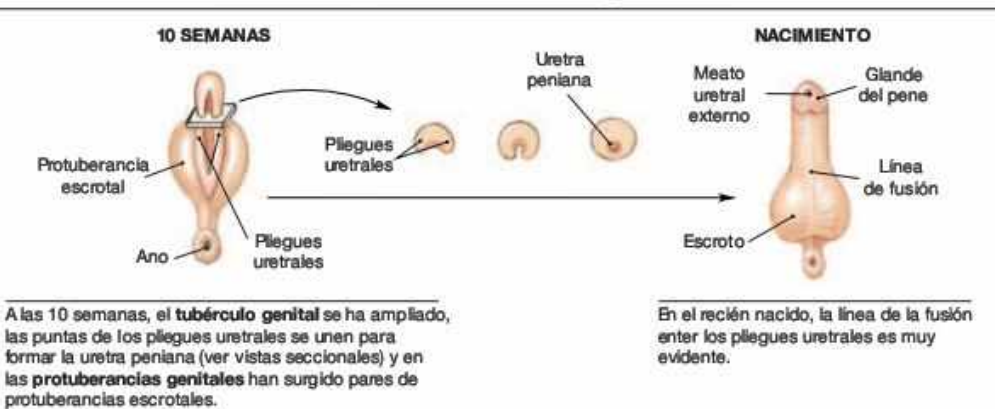
estas nefronas degenerarán posteriormente, los túbulos

seminiferos permanecen conectados al conducto mesonéfrico.

DESARROLLO DE LOS CONDUCTOS Y DE LOS ÓRGANOS ACCESORIOS MASCULINOS

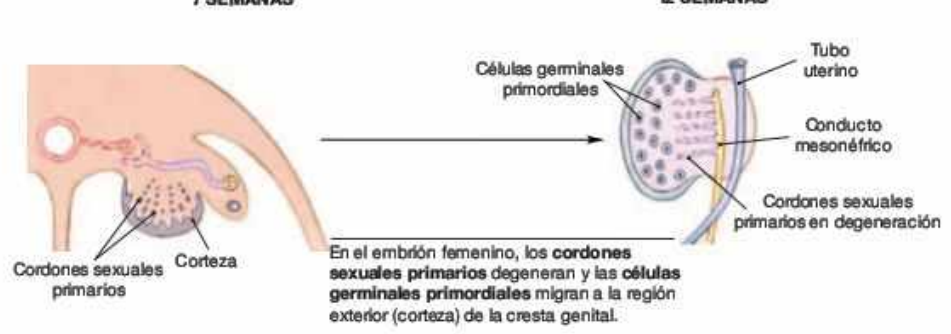


DESARROLLO DE LOS GENITALES EXTERNOS MASCULINOS

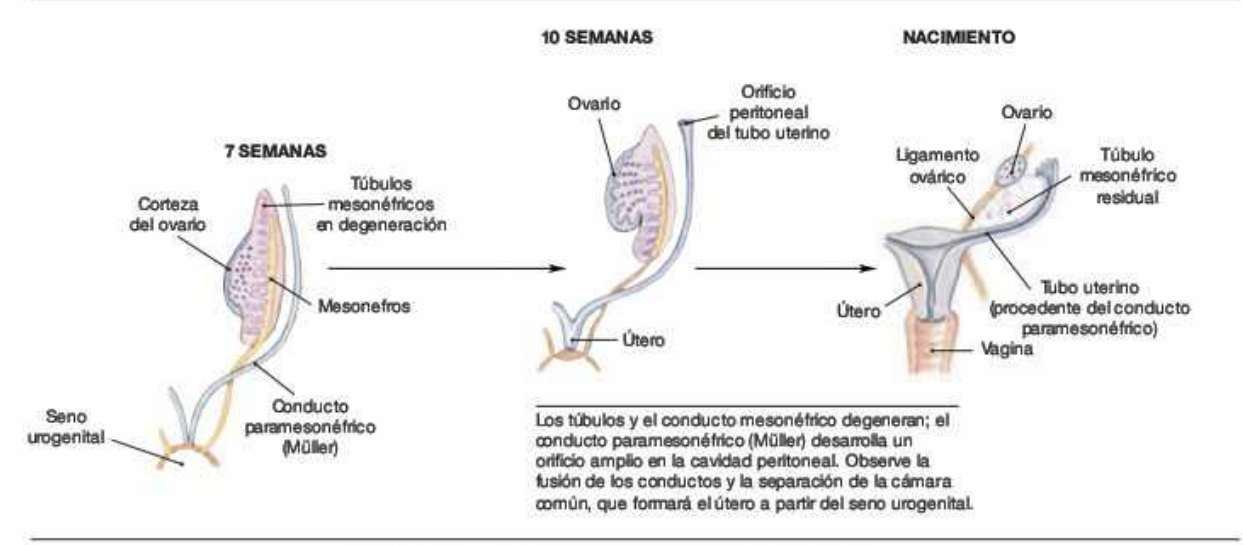


DESARROLLO DEL SISTEMA REPRODUCTOR FEMENINO

DESARROLLO DE LOS OVARIOS 12 SEMANAS 7 SEMANAS Tubo Células germinales uterino primordiales

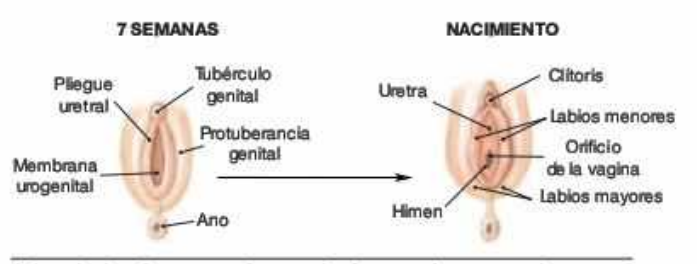


DESARROLLO DE LOS CONDUCTOS Y DE LOS ÓRGANOS ACCESORIOS FEMENINOS



DESARROLLO DE LOS GENITALES EXTERNOS FEMENINOS

COMPARACIÓN DE LOS GENITALES EXTERNOS MASCULINOS Y FEMENINOS Hombres Muieres Clitoris Pene Telido eréctil Cuerpo cavernoso Bulbos vestibulares Cuerpo esponjoso Eje proximal al pene Labios menores Uretra peniana Vestibulo Glándulas bulbouretrales Glándulas vestibulares mayores Labios mayores Escroto



En la mujer, los pliegues uretrales no se funden; en su lugar, se convierten en los labios menores. Las protuberancias genitales formarán los labios mayores. El tubérculo genital se convierte en el clitoris. La uretra se abre al exterior en sentido inmediatamente posterior al clitoris. El himen queda como un resto de la membrana urogenital.

Créditos relativos a las fotografías

Láminas

1.1, 1.2, 2.1a-c, 2.2a-e, 2.3, 2.4c-g, 2.5a-b, 2.6a, 3.1, 3.2, 3.3, 3.4, 3.5, 4.2, 4.3, 4.4, 4.5a-d, 4.6a-c, 5.2a-b, 5.3a-d, 5.4, 5.5, 6.2a-d, 6.3c, 6.4b-i, 6.5a, 6.6b, 7.4a-b, 7.5a-g, 7.7a-b, 7.7f, 7.7h, 7.8a-b, 7.8d-e, 7.9c-d, 7.10a-c, 7.11a-b, 8.1a, 8.2, 8.4, 8.5a-b, 8.7a, 8.7c-f, 8.8a, 8.10a-b, 8.11a-b, 8.12a-b, 8.13a, 8.14a, 8.14c-d, 8.15c, 8.16a, 8.16b, 8.17a-b Ralph T. Hutchings 4.1, 6.5b, 6.6a, 8.9 Patrick M. Timmons/Michael J. Timmons 5.1a-c, 6.1a-c, 6.3a, 6.4a, 7.1, 7.2, 7.3a, 8.1b, 8.3, 8.8b, 8.12c, 8.13b, 8.14b Mentor Networks, Inc. 6.3b, 7.3b, 8.7b Custom Medical Stock Photo, Inc. 7.6c-d, 7.10d-e Courtesy of Michael J. Timmons and Ralph T. Hutchings/WARD'S Natural Science Establishment, Inc.

Imágenes

1a-e, 2a-d, 3c, 4a, 7a-f, 8b-c, 9a-e Dr. Eugene C. Wasson, III, and staff of Maui Radiology Consultants, Maui Memorial Hospital 3a Michael Siegfried, M.D. 3b, 4c, 8a, 12a, 15 Ralph T. Hutchings 3d Siemens Medical Systems, Inc. 4b, 6b, 7g-h, 10, 11a, 11d, 13b University of 11b Medichrome 11c, 12d Photo Re-Toronto searchers Inc. 11e Visuals Unlimited 12b, 14 Dr. E.L. Lansdown/University of Toronto 12c, 13a Christopher J. Bodin, M.D., Tulane University Medical Center Custom Medical Stock Photo



las de Anatomía Humana Frederic II Martini

Este **Atlas** es un complemento perfecto como apoyo a cualquier texto de Anatomía Humana.

Contiene:

160 fotografías anatómicas, más de 53 escáner de radiografías y 21 resúmenes de embriología.

Las fotografías:

de cadáver acercan al estudiante a la realidad de la Anatomía Humana.

Incluye:



un CD-ROM con visualizaciones en 3-D y posibilidad de rotación, además de diversos ejercicios interactivos.





